

日本船舶振興会 昭和47年度補助事業  
“船体の構造計算方法の精密化に関する開発”

研究資料 No. 177

第 1 3 2 研究部会  
実船塔載用波浪計に関する研究  
報 告 書

昭 和 4 8 年 3 月

社 団 法 人  
日 本 造 船 研 究 協 会

## はしがき

本報告書は、日本船舶振興会の昭和47年度補助事業「船体の構造計算方法の精密化に関する開発」の一部として、日本造船研究協会が第132研究部会においてとりまとめたものである。

第132研究部会委員名簿（敬称略、順不動）

部 会 長	田 審 真	(東京大学)
幹 事	泉 晃	(三菱重工業)
	井 上 篤 次 郎	(神戸商船大学)
	岩 柳 順 二	(船舶技術研究所)
	植 竹 信 次 郎	(日立造船)
	河 村 四 朗	(気象庁)
	雁 野 昌 明	(日立造船)
	坂 井 欣 一	(海上保安庁)
	高 石 敬 史	(船舶技術研究所)
	高 橋 幸 伯	(東京大学)
	竹 沢 誠 二	(横浜国立大学)
	田 口 賢 士	(大阪府立大学)
	前 田 久 明	(東京大学)
	樹 田 吉 郎	(日本海事協会)
	光 易 恒	(九州大学)
	山 内 保 文	(船舶技術研究所)
	渡 辺 四 郎	(川崎重工業)
委 員	岡 田 高	(沖電気工業)
	梶 田 悅 司	(石川島播磨重工業)
	立 木 正 昭	(佐世保重工業)
	西 樹 正 美	(日本造船工業会)
	根 角 幸 明	(日立造船)
	福 田 淳 一	(九州大学)
	藤 田 孝	(三菱重工業)
	藤 原 芳 夫	(名村造船所)
	望 月 光 宣	(三井造船)
	山 口 雄 三	(住友重機械工業)

## 目 次

1. 研究概要 .....	1
1.1 当初研究計画 .....	1
1.2 当初計画の変更 .....	2
1.3 次年度以降にわたる計画 .....	3
2. 水圧式波浪計(Ⅰ) .....	5
2.1 試作機の計画 .....	5
2.2 試作した水圧式波浪計 .....	6
2.3 初期の機器 .....	8
2.4 今後の問題 .....	10
3. 水圧式波浪計(Ⅱ) .....	14
3.1 波浪計の概要 .....	14
3.2 性能試験 .....	18
3.3 実船計測 .....	23
4. 加速度波浪計 .....	26
4.1 概要および改良点 .....	26
4.2 試験結果 .....	26
5. クローバー型波浪計測装置 .....	33
5.1 クローバー型波浪計の改良 .....	33
5.2 クローバー型波浪計の性能 .....	33
5.3 測定データーの処理 .....	34
5.4 測定結果 .....	35
5.5 結論 .....	36
6. レーザ波浪計 .....	41
6.1 まえがき .....	41
6.2 レーザ波浪計の問題点 .....	41
6.3 レーザ波浪計の改造 .....	44
6.4 仕様 .....	45
7. 反射型波浪計 .....	47
7.1 反射型波浪計本体 .....	47
7.2 船首支柱の概略設計 .....	55
7.3 船体近傍の動的水位変動に関する理論計算 .....	68
7.4 船体近傍の動的水位変動に関する模型実験 .....	82
8. レーダーによる波向計測法 .....	93
8.1 研究の目的 .....	93
8.2 レーダーによる波向観測システムの持つべき機能 .....	93
8.3 レーダー本体の検討 .....	93
8.4 波向観測レーダーシステム案 .....	99
8.5 波向測定法調査 .....	103
9. 進徳丸による実船実験 .....	135

9.1 実験の目的	135
9.2 実験の内容	135
9.3 参加機器	135
9.4 参加人員	136
9.5 実験実施日程	136
9.6 結果	136

## 1. 研究概要

### 1.1 当初研究計画

昭和47年4月21日第9回幹事会において、47年度事業計画は前年度最終委員会で承認された原案どおり実施することが確認され、各担当者において銳意目的達成のための努力をつづけることになった。計画は大別して1)波浪計の改良と開発、2)比較実船試験、3)関連する調査研究からなっている。

先づ波浪計の改良については、テレメータ方式によるダイ型波浪計として水圧検知式のもの2種、加速度検知式のもの1種について、性能の改善とともに、洋上実船での計測、取り扱いに適するよう投下装置を含めて改良をはかるとした。

新方式波浪計の開発としては次の4項をとりあげた。

#### (1) フローバー型波浪計測装置

各種波浪計検定用の波浪計として性能の向上をはかり、洋上で取り扱いを容易にするための工夫を加える。

#### (2) 反射型波浪計

昭和48年度実施予定の総合実船試験に舶載用波浪計として使用するため、全く原理で使用実績のある青雲丸（航海訓練所）に装備のレーダーシステムを用いたものを開発することとし、周波数をあげて装置の軽量小型化、分解能向上をはかる。

#### (3) レーザ波浪計

舶載用波浪計として今後発展の可能性が大きいが、前年度研究の結果問題点がかなり明らかになったので、レーザビームの高出力化をはかり、基礎研究を継続し実用化のための資料をととのえる。

#### (4) レーダによる波向計測法の研究

陸上基地からミリ波レーダで波向を観測することが行われているのでこれを船上で舶用レーダを使用して実施し、波向、波長、波速について情報を得ようとするもので、既存の舶用レーダでとりあえず調査研究を行ひ、あわせて陸上からの観測方法、資料について実地調査を行ふ。

以上による各種波浪計測装置につき、実船を使用して海上で波浪計測を行い、性能の確認と相互比較を行ひため、実船試験を計画した。

最後に関連する調査研究の主なものは反射型波浪計に関する事項であつて、

次の実験、計算、設計である。反射型波浪計についてはその設置位置と、支持方法について種々意見があつた。そこで一方で理論計算と模型実験により、船体近傍における船体による擾乱波の大きさをたしかめるとともに、他方支持構造については、使用予定船を想定し、いくつかの案について調査と基本設計を行なうこととした。

年度頭初においては、48年度総合実船試験についてなかなか不確定の部分が多く、使用予定船も未定であったが、その実施時期は48年秋～冬と考えられ、おそらく一年前に実施船を具体的に決めて準備をするべき装置（たとえばレーダー波向計）があり、各担当者とも分担項目の研究計画実施をできるだけ促進する必要があつた。

## 1.2 当初計画の変更

本研究は船体構造計算法開発研究の一環として実施され、SR関係では124、131、132、133 各部会がそれぞれ分担を定めて研究開発を行なっている。48年度には理論計算ならびに模型実験から推定される事項を、総合実船試験によってチェックし、その結果はさらに理論、実験にフィードバックされる予定となつていい。総合実船試験の実施はSR124が、使用波浪計の製作はSR132が担当するが、この試験の具体的な目的を定め、その目的にそって実施船や時期を定め、計測項目、計測方法および計測値の処理方法を決定するには、SR131、133の研究結果にもとづく意見が十分に尊重されなければならない。

そのため47年1月以降関係者が集り、総合実船試験の目的、性格と、その実施具体案について数回意見の交換を行なった。この会合において波浪計としてどの型式を使用すべきかにつき種々の意見があり、当部会としては、船体より遠方の波をマイ型（吸収型）波浪計によって計測すると共に、船体近傍の出合波浪をなるべく船体による擾乱の小さな位置で計測することだ、波浪情報としての特性と、波浪計の性能の現状から考えて適切である旨を力説した。しかし会合における意見の大勢は、①船載型を船首に支持するこれが権船者側よりみて不便であり、②船首波浪外力によつて破壊されるおそれが大きく、③船体擾乱が前方においても無視しえない上、④波浪計の種類が増すために研究労力が分散され速度も低減する等の理由から、当部会の主張と危険視する方向に傾き、かつ今回の試験段階では船体構造側よりの計測値、処理や判断に際し、遠方の（相似）静止海上における波浪情報の方がより重要かつ適切であるとの見解が示された結果、7月24日の会合の結論として反射型波浪計と総合実船試験に採用することは取止めと決定された。同時にこれまで計画に入つていなかつたが、太平洋の波浪情報を少しでも多く收集し、これを造船技術発展に役立て

るため、SR 125 はもとより当部会から波浪計を供給し、相互協力をを行うことが決定された。

この結果、部会は8月3日急きよ早に2回幹事会を開催し、必要な当初事業計画の変更を審議立案し、9月26日の第4回委員会で承認を得た。変更の要旨は次のとおりである。

- (1) プライ型波浪計の種類をとりあえず水圧横知式2種類にしておき、改良研究の段階でも投票をたてまえとして製作件数をふやし、投下装置についても至急開発を急ぐ。
- (2) 反射型波浪計は4才年度総合実船試験には使用しない。ただし他船に使用する目途はあるので、本体の製作は予定通り行う。
- (3) レーダ波向計についてでありますだけ早期に海上で資料を得るよう研究計画を促進する。

このような変更とともに今まで前節に記した3)周連する調査研究の主要項目が不要となつたが、研究はこの時点ですでに完了していた。

上記のように各課で計画変更のやむなきに立至つたが、総合実船試験の実施予定船も定まり、これにともなつて試験実施時期もはつきりしてしまつたので、クローバー型およびレーダ波浪計以外の担当者においては、必要な準備を実施予定期間等と直接接触して具体的に急速にすゝめることができるようになつた。

于は本年度比較実船試験は航海訓練所の協力のもとに、道徳丸を使用して2月中旬に千葉一潮岬一博多の航海中に行われた。

#### 1.3 次年度以降に閣する計画

既述したように当部会が担当して製作する波浪計は47年7月24日の結論に従つて、SR 124 と SR 125 にそれぞれ供給せられる。両部会の実船実験航海の時期が近接しているうえ、SR 124 は大型肥大低速船、SR 125 が高速コンテナ船を供試船とするなどを考慮し、2種のプライ型波浪計は1種づつを両部会で専用することとし、投下装置も1種のプライについてはつとも取扱い易く設計製作することとした。

レーダ波向計はSR 124 において使用する予定でその準備をすゝめているが、当初本船備付けの船用レーダとは別個に、ミリ波レーダを用意する案は取止め、たゞ本船の航海計器としての本来業務にいさざかの支障をも招来せずに観測を行はうとする。又他船たまできだり転用できるよう配慮してある。SR 125 においても可能な限りこの方法を利用して波浪情報を多く得たため、勘力研究の態勢がとらわれている。

実船における観測データの大部分は、不規則乱雑な時系列をなして居り、その量も大きいので、計測値の解析処理の具体的方法まで十分検討して船上実測を行わなければ、あとで無駄な時間を消費したり、計測値の精度を落したりすることになる。このため SR 124 と協力して解析処理方案を調査し、なるべく統一的に処置しようと考えたが、実際には研究組織上の問題や処理計算機利用上の手続、予算等に色々問題があり、むしろ個々の項目ごとに最適と考えられる線で処置した方が現実的と判断されたので、すべてを一貫した処理方式にまとめることは見合せることとした。なお波浪情報についてはその処理を当部会が行った上で、必要な部会に必要な形で提供する予定になつてある。ところが当部会自身は、えられた波浪情報のすべてを将来の波浪計測のために自ら利用することなる。

## 2 水压式波浪計(I)

水压式波浪計の作動方式記録の方式に関する検討は、昨年夏におおむね終了した。今年夏は、投げ下り型水压式波浪計を試作し、その性能と実際海面等を調べた。一方、記録部と解析方法との関連において、一部の追加機器を製作した。

### 2.1 試作機の計画

波浪計の、綜合実船実験において使用された予定であるが、今年夏試作機は、試験目的（即ち性能と満足度）とともに、軽量かつ取扱い容易さも考慮されなければならない。また、実船実験での使用環境よりして、記録部等の周辺機器も作動確実かつ軽量小型であることが望ましい。

#### 2.1.1 本章の性能

実船実験において、観測する波の範囲は以下の程度と定められた。

波高 20 m以下、精度±10%程度

波長 波周期で4~17秒（または2~20秒）の波長相当周期  
上記の波を観測する波浪計として、底石部と水中に吊り下げるか吊り下げる型の水压式波浪計によることとし、寸法および外形等について以下のようないくつかの条件を設定した。

- (1) 波浪計は実験室員一人の扱いの大ささと重量を有し、必要あれば連続的に投下可能な1.5mランチヤーを用いる形態とすること。
- (2) 観測開始後少くとも15分間は、データ通信による電源を持つこと。
- (3) 船のブリッジ等の高所よりの投下使用に向ふことをこと。
- (4) 底石部の水中の深さはできる限り短くすること。底石部の深さを小さくするためには必要な条件があるが、波浪計を軽量小型にするためには深さの制限もやむをえない。図2.1.1(a)~(d)は波浪計モデルによる底石部の深さと観測精度の比較実験の一例である。図によれば、底石部深さの影響は小さく底石部位置による圧力補正と波スペクトル上で行えば、波高の推定値は、実用上、許さる精度を有すであろう。周期については全く様である。

#### \* 注:

- (1) 大阪大学水槽にて実施。不規則波の表面を上部水中にて計測した。
- (2) 図中のHは底石部（トヨダ工機）の水深を示す。
- (3) 底石部を吊り下げるパイの直径30cmの円形である。

## 2.1.2 データの伝送と記録

感圧部の圧力信号は A/D 変換器により digital 信号に変換され、無線テレメータにより実験船上の信受器に伝送する。船上における記録は、解析の便利性において優れていた紙テープによるものである。別にモニタとして、受信信号を D/A 変換してデータ記録(テープ)装置と配する。上記のうち、受信機および穿孔器は 46 年度製作の機器を用いる。

無線テレメータによる記録の伝送距離は、前述の波浪計の作動時間中に生じた波浪計と実船との距離より大体 1 キロメートル程度である。波浪中ににおける実船の船速が 14 ノット程度とすれば、上記の距離は水上を 1.5 km 程度とする。

## 2.1.3 補助的機器

試作機の検定および海面での作動テスト時に必要となる補助機器として、以下のものを予定する。

a. 波浪計の調整・検定用電力付加装置および圧力表示器

b. 波浪計の探索用のセンサー

46 年度製作した大型ブイ用の圧力式波浪計の感覚自動調節装置を製作し、圧力式波浪計の改良を助ける。

## 2.2 試作・在水圧式波浪計

前述の条件により下記波浪計の項目決定の前に、送受信器の調節改良と新しく本波浪計に用いる電波についての申請と許可の請願手続き終了した。これは、前述条件のうち、センサ部分と A/D 変換器と二点を除く送信器に関する請試験を実施するため、大阪府立大学附属の新しい水圧式波浪計について数次のテストのうえ、最終的に次表に示す性能を波浪計 2 台を試作した。

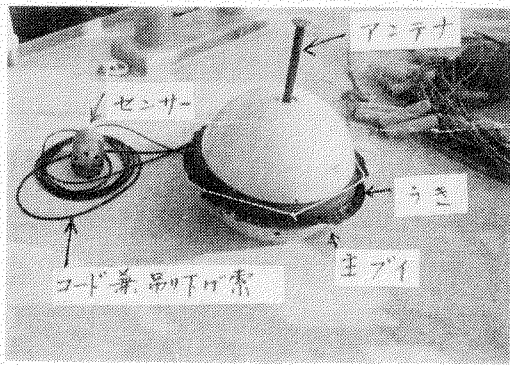
表 2.2.1 試作波浪計の仕様

1. 外形	直径 50 cm 以下の球状
2. 材質	主ブイは合成樹脂、感圧部は真鍮製保護筒に收容
3. 作動	着水と全時に、アンテナおよびセンサー部分を空中および水中で展張する。水中に浮かぶとき全時に、発信を開始する。上記の動作はすべて自動的にに行なわれる。
	計測終了後は、予め設定された時間の至過後、主ブイおよびセンサーの全体が水中に没する。
4. 重量	20 kg 以下
5. 信号方式	デジタル方式
6. データ数	1CH, 2 行 (10 進)
7. 使用周波数	43.85 MHz
8. 送信可能範囲	0.15 km

9. 送信可能時間 20分  
 10. データサンプリング時間 0.5秒  
 11. 測定可能最大波高値 0~20m  
 12. 壓力素子取付最大長さ 50m  
 13. 最小分解能波高値 測定可能波高値の 1/9  
 14. 測定波高値設定レベル 3段切換可能 (試作機 25, ±10, ±15m)  
 15. 基地側データ方式 8CD 8BIT 紙穿孔テープ記憶方式  
 16. 検出素子 差圧検出方式 (ストレインゲージ) 新興通信 PR-10B  
 17. 総合精度 ±3% 以下  
 18. 耐衝撃 水面上 20m までの落下衝撃に耐えうる事

## 2.2.1 試作機について

昭和48年1月試作機2台が完成した。完成時重りは、往復前後の通りである。  
重量は24kg(主アレイ16kg, 水中感圧部8kg)とやや重くなつた。  
写真は使用后船上に揚収した状態の試作機を示す(本來は投げ下り型である。  
テストのため一部改造して回収型にしてある)。



試作機の外観

投入前の波浪計はアンテナおよびセンサーはすべて主アレイの中には格納され、外觀は完全に球形である。着水とともに瞬時にアンテナ、センサーおよびテープが伸展するは膨脹する。

### (1) 試作機の性能

本機の基本的な作動は、類似の大蔵府立大学所属の水压式波浪計によって確実化されたものである。1月18日完成以后実施したテスト結果は以下の通りで満足な状態である。

(a) 昭和48年1月19日 神戸商船大学練習船「深江丸」よりのテスト

試験海面 紀淡海峡

気象・海象 NW 06.10%, 日視波高最大 15m 程度

作動状況

(1) 耐衝撃：水面上 6m まで投下

(2) アンテナ、センサーの伸展：着水時と離陸時に瞬時に空氣

(3) テープの送信：センサー調整不十分でデータ送信せず

図2.2.1は全時に投入した大阪府立大学の波浪計による記録の一例を示す。

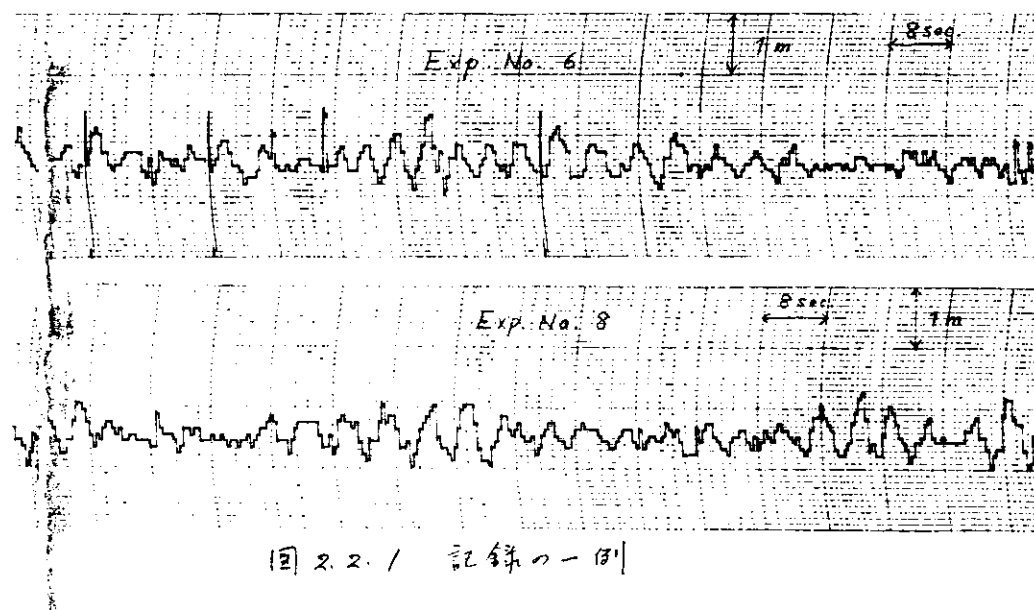


図2.2.1 記録の一例

(6)昭和48年2月3日、2月4日 テスト

試験水面 琵琶湖・近江舞子沖

気象海象 快晴、風浪なし

作動状況 良好

図2.2.2は電界強度測定の結果を示す。図中Aは試作機であり、空中線電力が3.4mW、Bは大阪府立大学のものであり、空中線電力は600mWである。測定範囲は50Hz 20kHz帯域雑音9db、信号対雑音比3dbと、当日の復調可能範囲を図に示す。凡て40kmは信号の受信は可能と思われる。同様の水面での到達性能については、実船実験を数次実行することによって、明らかにされよう。

### 2.3 周辺の機器

以下の機器を作成した。

#### 2.3.1 コードコンバータ(仕様)

(1)パルセサイト (1)入力 TTL ロジックレベル

8BIT

奇数パリティチェック

(2)出力 沖電気 TE-2000 リステム順序

(2)リードサイト (1)入力 沖電気 TE-2000 リステム順序

(2)出力 TTL ロジックレベル

8BIT

### 奇数パリティチェック

#### 2.3.2 テレメータ付属性回路(仕様)

(1) テレメータ 沖電気製 TE-2000

(2) 附属回路 (1) 信号開閉、マッケン回路一式

(2) 電源、ライン・フィルター

以上は46年交製作の穿孔器とともにデータの記録部を構成する。これはも順調に作動した。一方、モーター用のD/A 変換器は48年交に整備された。

#### 2.3.3 ダイサーチセンサー(仕様)

1. 使用周波数 27MHz, 42MHz 帯 (スポット受信)

2. 方探受信感度 100mV/m

3. 方位探測角度 360°

4. 方位探測方式 手動探測

5. 方位探測空中線 回転式ループ空中線

6. 方位角表示 ダイヤル方式

7. 方位決定方式 消音決定

8. 受信機構成 ダブルス-バー ヘテロダイン方式

9. 使用電源 DC 12V, AC 100V 50/60Hz

10. 重量 12kg

#### 2.3.4 圧力付加装置(仕様)

1. 圧力調整範囲 0~10kg/cm<sup>2</sup>

2. 加圧方式 圧縮空気

3. 設定精度 0.1% full scale

4. 空気流量 1L/min

5. 使用電源 AC 100V 50/60Hz

6. 構成 空気ボルト、コニデンサー、圧力設定、圧力表示。

以上は波浪計の探索方式センサーの調節用であり、以下も順調に作動した。

#### 2.3.5 波高計遠方差圧調整装置(仕様)

1. 調整方式 サーボ制御による自動および手動制御

2. 制御方式 (1) 自動

波浪振幅自動検出による自動浮正面設定。

(2) 手動

トリマー ポテンショメータによる手動設定

3. 差圧調整精度 波高 ± 2.7m 以下

4. 制御調整範囲 バランス差 ± 5m

利得調整 1:10

校正レベル 5段

### 5. 電源 主ダイ ク中の電源の用意

上記は、46年交製作の大型吊り下式波浪計の自動(半動)深交調整機器であるが、投げ下式型の小型波浪計には使用されてない。順調に作動した。

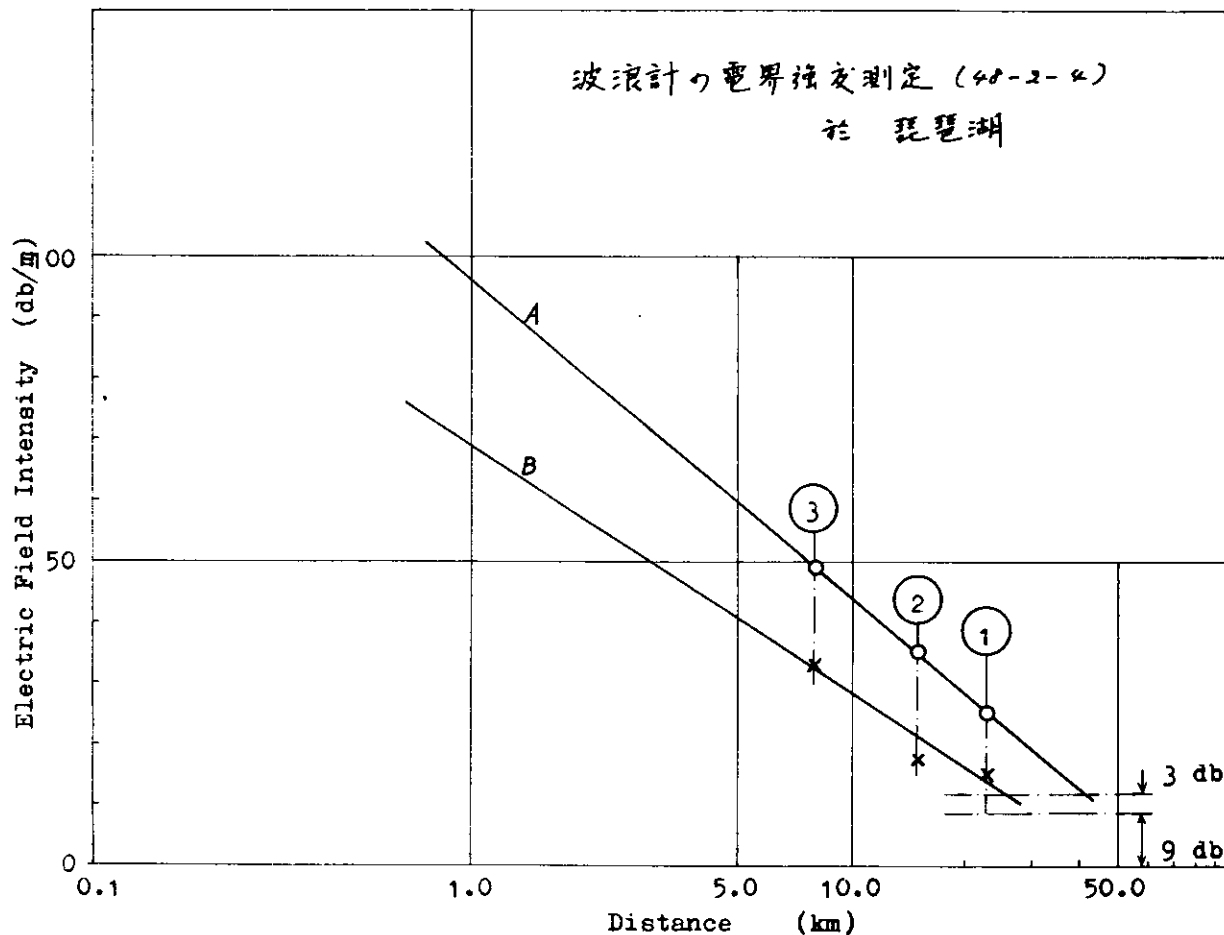


図 2.2.2 試作機の性能の一例

### 2.4 今後の問題

#### 2.4.1 波浪計の改良

本報告をまとめて、現段階では、試作波浪計は開発テストは一部を除く、未だ実施していないところ、二小等は、2月中旬に予定されている実船実験によって更に明確にされるであろう。現在担当者がかけて指摘している改良点は次のようなものがある。

- (1)信号の伝送距離の増大をはかること
- (2)ゲイ全体の重量を更に軽くすること
- (3)量産する上での部分設計の改良などを

#### 2.4.2 受信および記録部の改良

波浪計の送信部の改良とともに、確実にデータを受信するためには、受信機の

改良もまた同時に考えねばならぬ。記録部は小数の計測員でも過ぐなく操作するにあたるが、人手を要する以上、改良なし必要である。更に、波浪記録状況のモニターを今後配置して、綜合実船実験に備えねばならぬ。

#### 2.4.3 その他

球形の波浪計を適當な格納しがつ、簡単な操作によって安全に波浪計を投下するランチャーハウジングの構造様式については、波浪計の計画時に検討されたものである。本報告では発表するまでの間到つたところ、これまで、2月の実船実験での具体化した二式にならう。

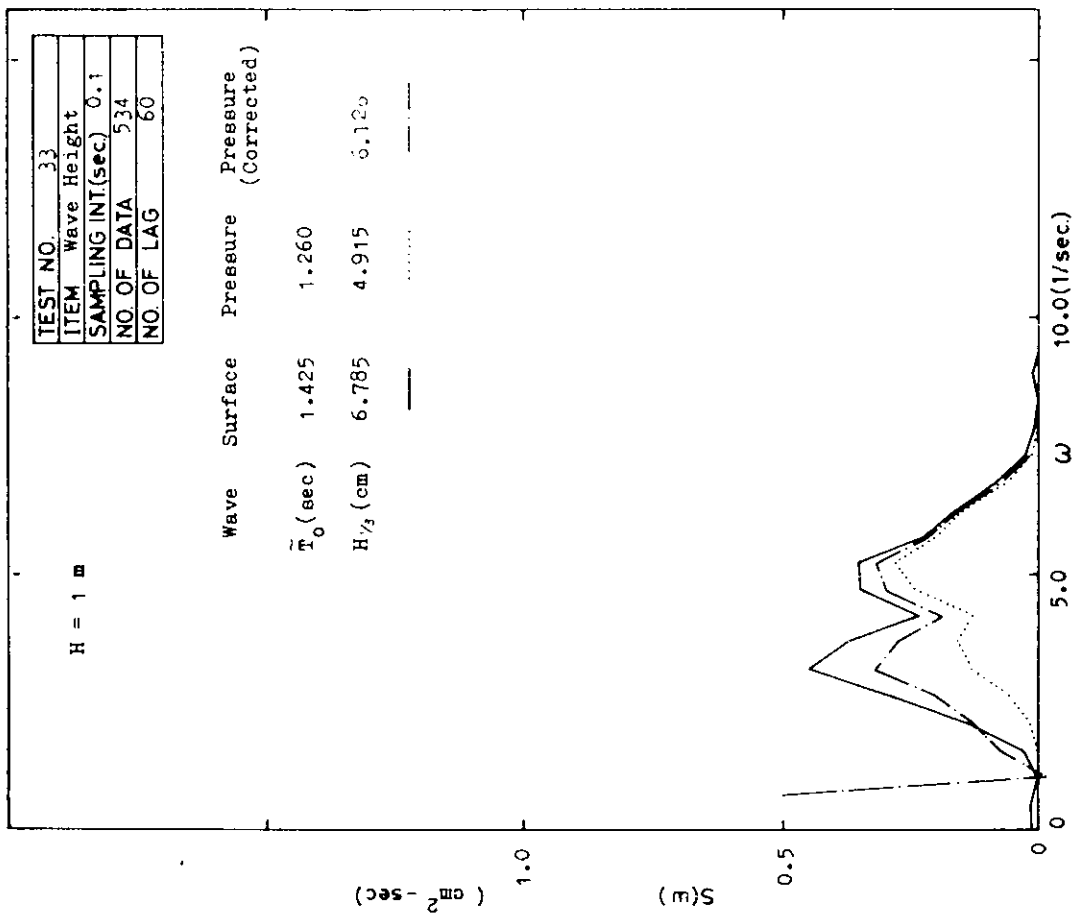


FIG. 2.1.1(b) ESTIMATED POWER SPECTRUM

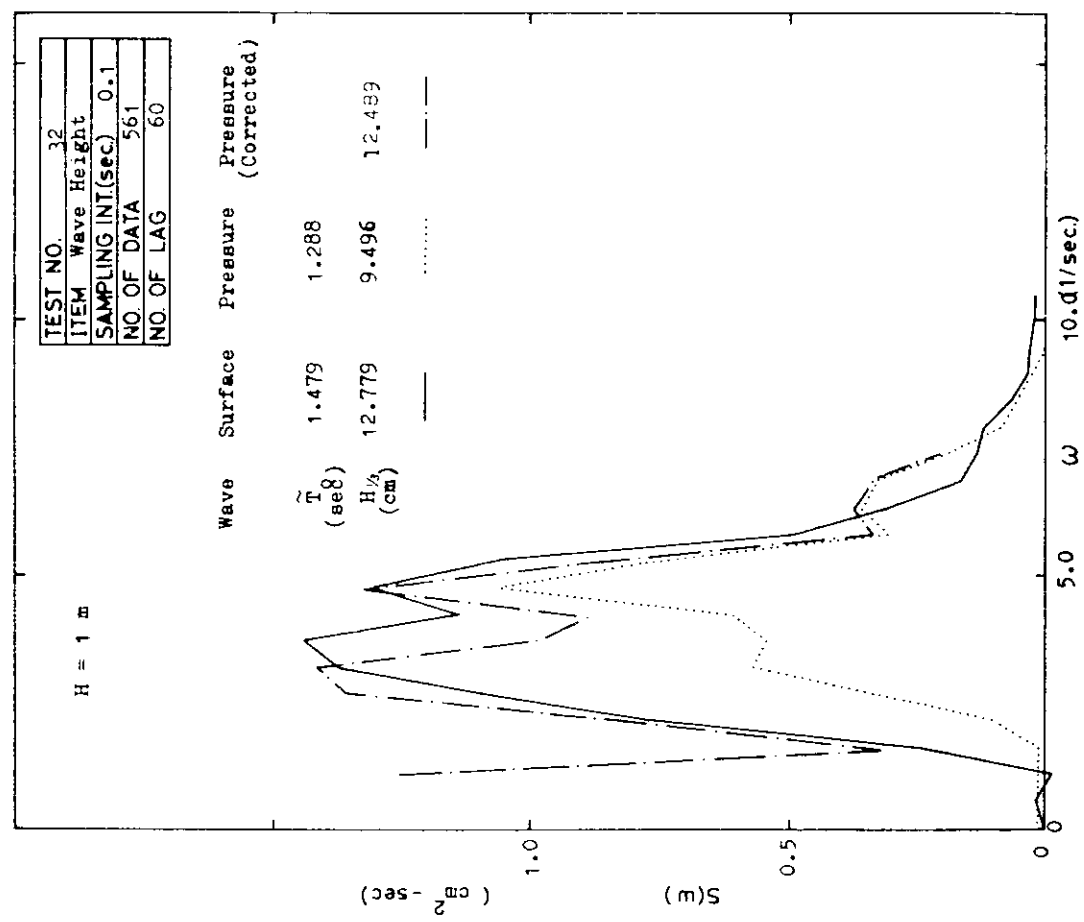


FIG. 2.1.1(a) ESTIMATED POWER SPECTRUM

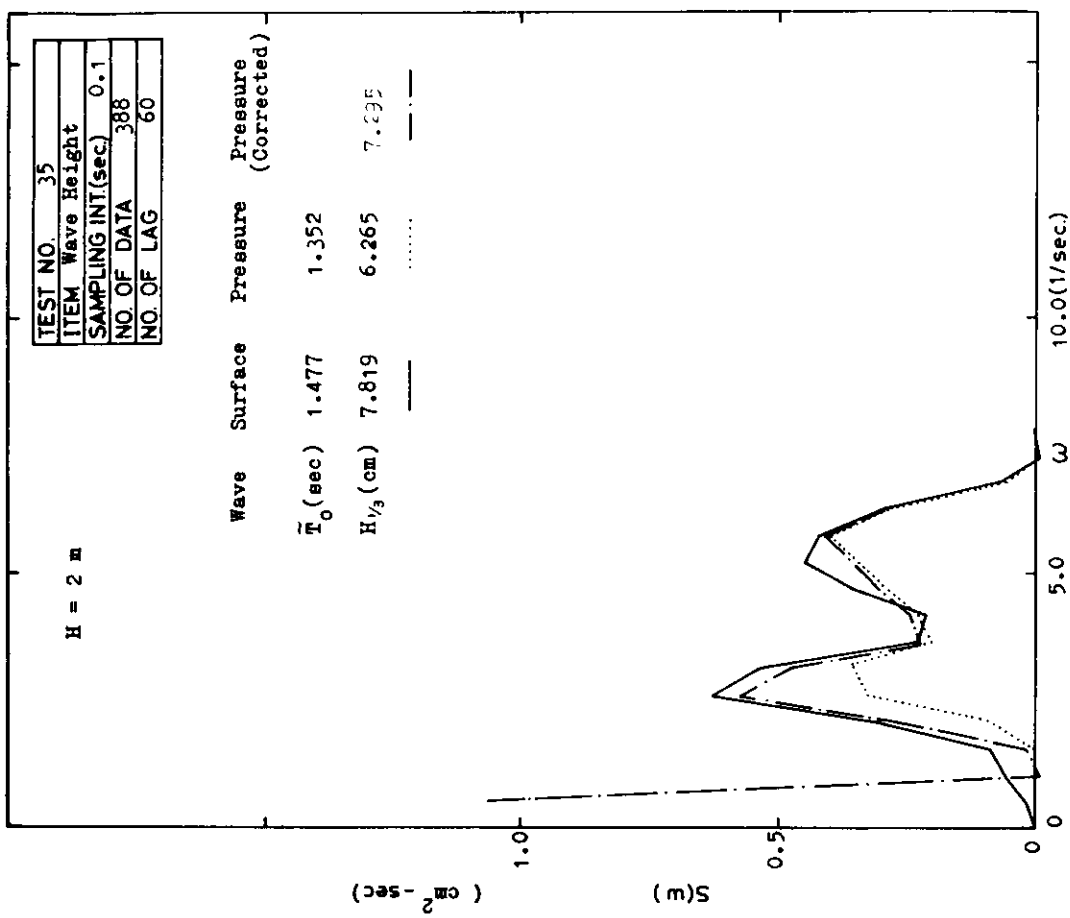


FIG. 2.1.1(c) ESTIMATED POWER SPECTRUM

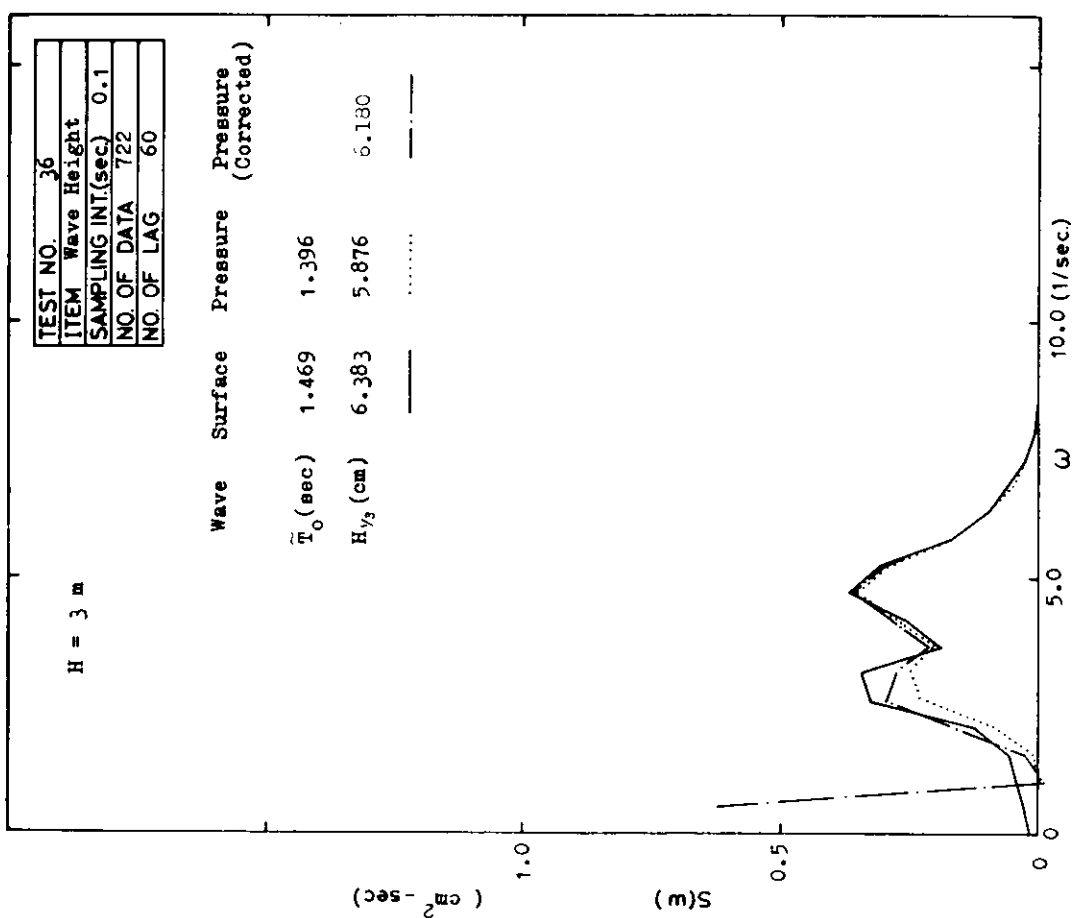


FIG. 2.1.1(d) ESTIMATED POWER SPECTRUM

### 3. 水圧式波浪計（Ⅱ）

#### 3.1 波浪計の概要

##### 3.1.1 まえがき

本波浪計は、当部会の昭和46年度の報告書（研究資料No.164）に記載されていいる水圧検知式波浪計と原理的には同一のものである。また、本協会第125研究部会において昭和46年度から開発してきたものである。

外洋における波高の観測は目視に頼っているのが現状である。この限りにおいては、観測者によって波高値にばらつきが出ることは避けられない。また波高値の連続記録をとることは不可能である。そこで、目視と同程度かそれ以上の精度で、客観的にしかも簡単に波高値の連続記録をとることを目的として本波浪計は開発されたものである。

本波浪計は、船上より投下し、波浪計より送信される波高値を伝送する無線信号を船上の受信装置によりアナログ量として受信し、波高値を記録するものである。計測終了後は回収せず自沈させて廃棄する。

本波浪計は、水面に浮かせておく浮子と送信機部、空中線ならびにこの浮子より水中に吊下げておく水圧検出部よりなる。波長に対して適当な深度に水圧検出部をおくときは、水圧検出部は浮子が水面に従って上下することにより与えられる水圧を検出する。この検出水圧信号を無線を介して船上の受信装置に送信する。船上の受信装置は送られてきた無線信号を受信し、水圧変動を波高値に変換して、それをデータレコーダー等により記録する。

##### 3.1.2 波浪計

波浪計本体の構成は図3-1にみられるように、浮子、空中線、回路收容筒（送信機部）、感部ケーブルそれと水圧検出部よりなる。

浮子：高さ33cm×直径24cm、浮力約12kg。発泡スチロール製。回路收容筒とは紙ヒモで結ばれている。海上に投下後2～3日でこの紙ヒモが溶けて自沈する。

送信機部：ブロックダイヤグラムは図3-2に示す。本波浪計の特徴は水圧検出部によって検出された絶対圧から、電気的にその変動分だけを取り出す方式を用いていることにある。つまり電気的な差圧をとっている。したがって水圧検出部の深度、いわゆるならば感部ケーブルの長さも水深に応じて任意に設定することが可能である。ただし深度を浅くした場合には、検出水圧における波のOrbital velocityの影響分を修正しなければならない。

感部ケーブル：直径約5mmの二芯  
シールド線。水圧  
検出部の吊索も兼  
ねている。投棄前  
の状態では、感部  
収容筒に約75mの  
長さためたって巻  
きつけてある。

水圧検出部：長さ20cm×直径6cm  
重量約3kg。  
半導体式圧力変換  
器を用いている。  
投棄前の状態では  
回路収容筒の下端  
と水溶性ビニール  
で結ばれている。  
海上に投下後約30  
秒で水溶性ビニー  
ルのヒモが溶けて  
自動的に降下する。

空中線： $\lambda/4$ ダイポールなら  
びに $\lambda/8$ ダイポール  
下端ローディング。回路収容筒

総重量：14.5kg.

また波浪計本体の目標とした仕様  
は下記の通りである。

測定範囲 波高 1m～15m

波周期 3sec.～20sec.

測定精度 波高 1m～5m 近誤差 0.5m未満

" 5m～15m " 1.0m "

搬送周波数 40.65 MHz

発振方式 水晶制御

副搬送波 3.9kHz、波振幅 $\pm 7.5m$ に対するFSは $\pm 7.5\%$

信号伝送方式 FM-FMアナログ伝送方式

電源 AM-2×9、UM-3×9

計測時間 1時間以上

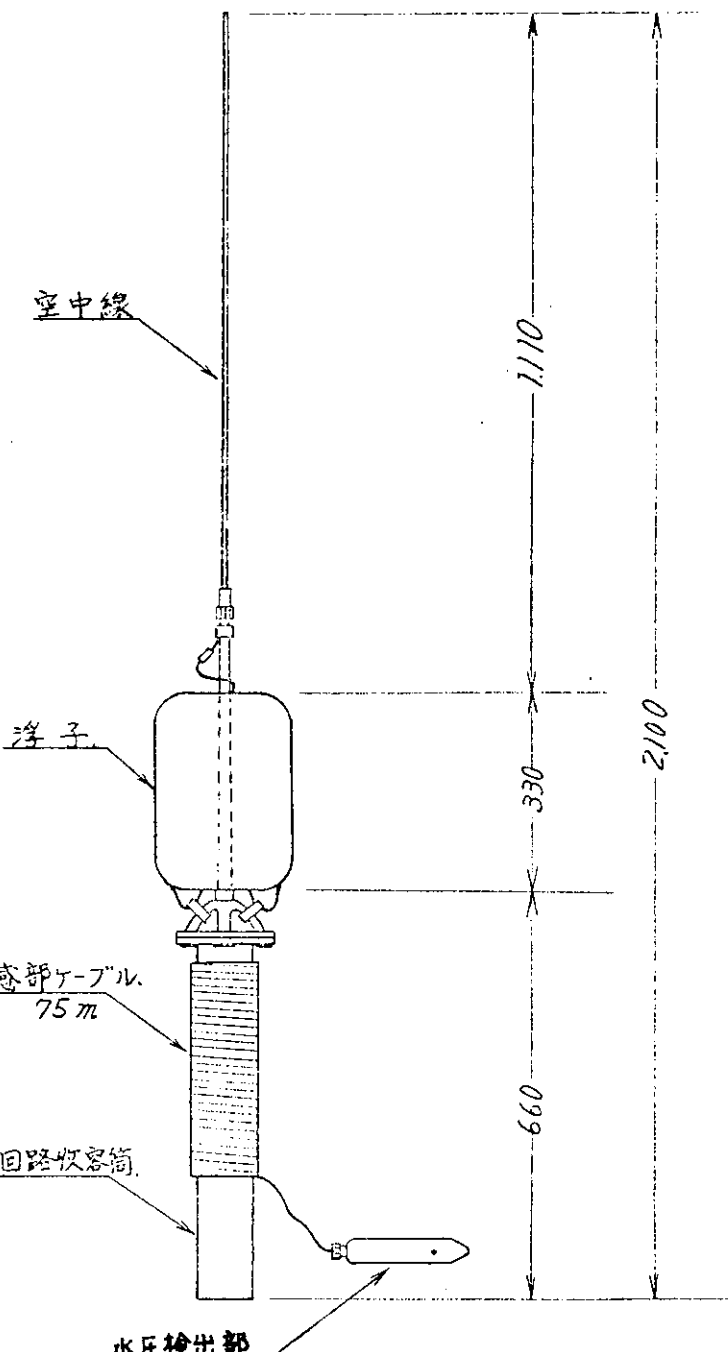


図3-1 波浪計外観図

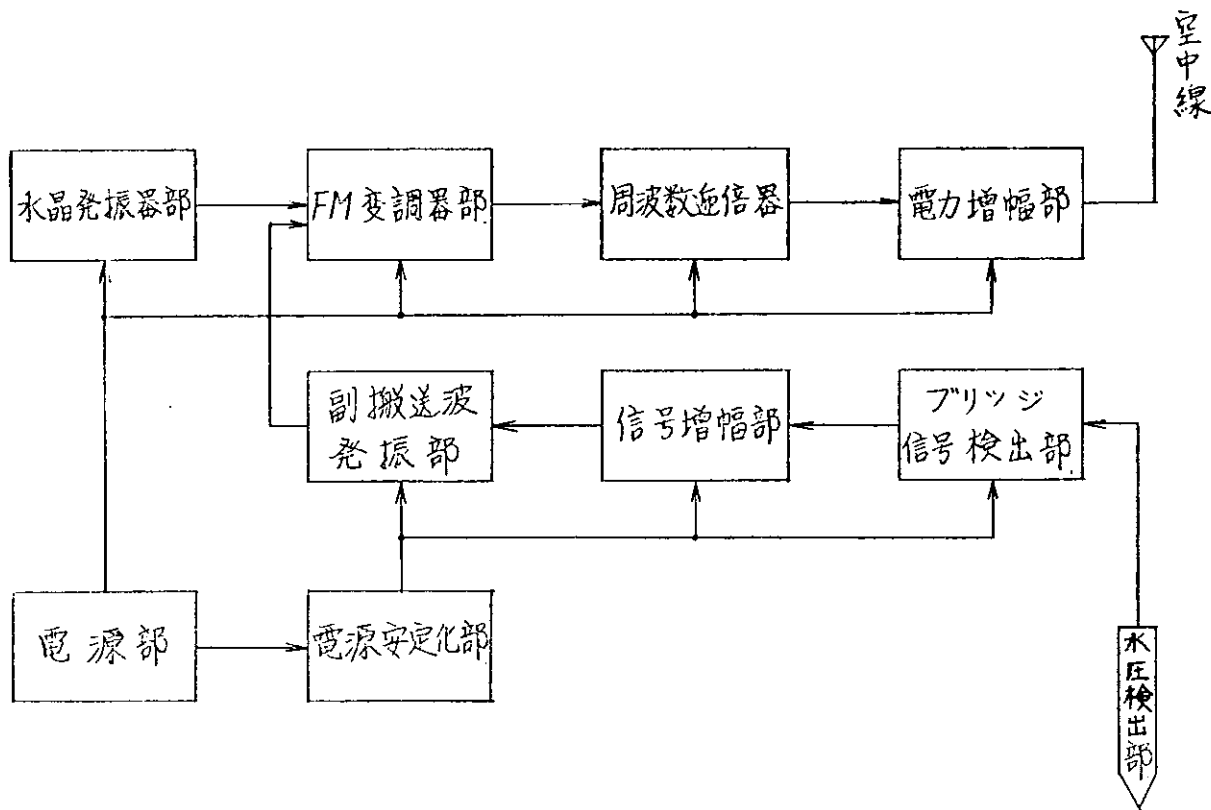


図 3-2 波浪計 ブロックダイヤグラム.

信号通達距離 13 Km 以上

送信出力 0.75 W

耐衝撃性 水面上 15m よりの落下衝撃に耐えること。

重量 15 kg 以下

動搖の固有周期 1.0 sec. 以下 (Heave に対して)

操作方法 電源スイッチ投入で完了するワンタッチ構造

### 3.1.3 受信装置

受信装置の構成は空中線と受信機による。

空中線：入力ダイポール無指向性垂直偏波ならびに 4 素子ハムアンテナ

受信機の仕様は下記の通りである。

受信機：水晶制御スーパー ヘテロダイン方式。ブロックダイヤグラムを図 3-3 に示す。

電 源：AC 100 V ± 10%，50/60 Hz

出 力：波高が 0~5m / 0~10m / 0~15m に対応する三段切換の出カレンジをもっており各レンジとも DC ± 1V (共通)

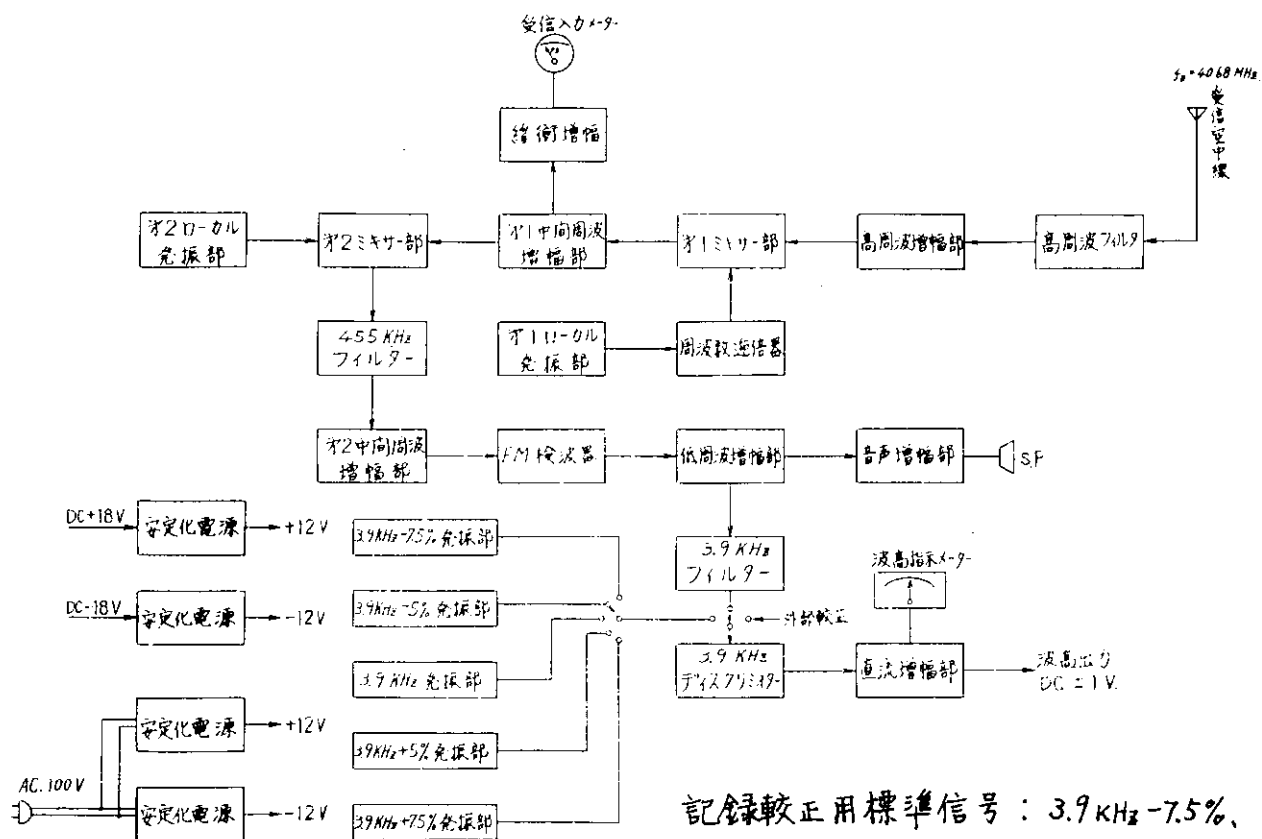


図.3-3 受信装置ブロックダイヤグラム

記録較正用標準信号：  
 3.9 kHz -7.5%、  
 3.9 kHz -2.5%。  
 3.9 kHz、  
 3.9 kHz +2.5%。  
 3.9 kHz +7.5%  
 の5周波数。

重量、寸法：重量は20kg未満、標準  
 ラック寸法とする。

その他：測定波高指示メータ付  
 電界強度指示メータ付

装置の外観図は図3-4に示す。

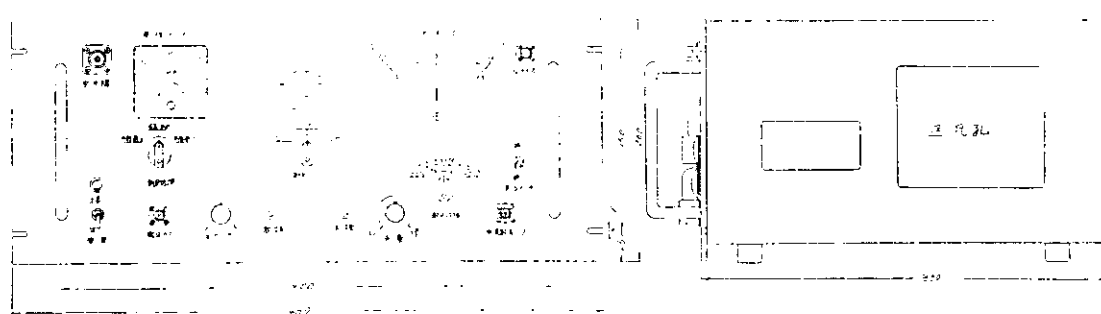


図.3-4 受信機外観図

### 3.1.4 ランチャーハウス

従来の投棄式波浪計では実験者が舷側より波浪計を投棄する方式となっていた。この方式では荒天時には危険でありまた操作も面倒である。そこで昭和48年度からの実船実験では、観測室内からの指令で波浪計を自動的に投棄する方式がとられることに決定した。ここに、波浪計を自動的に投棄する装置をランチャーハウスと称する。昭和47年度にこのランチャーハウスの試設計を行った。

ランチャーハウス概略図を図3-5に示す。動作は下記の要領で行われる。

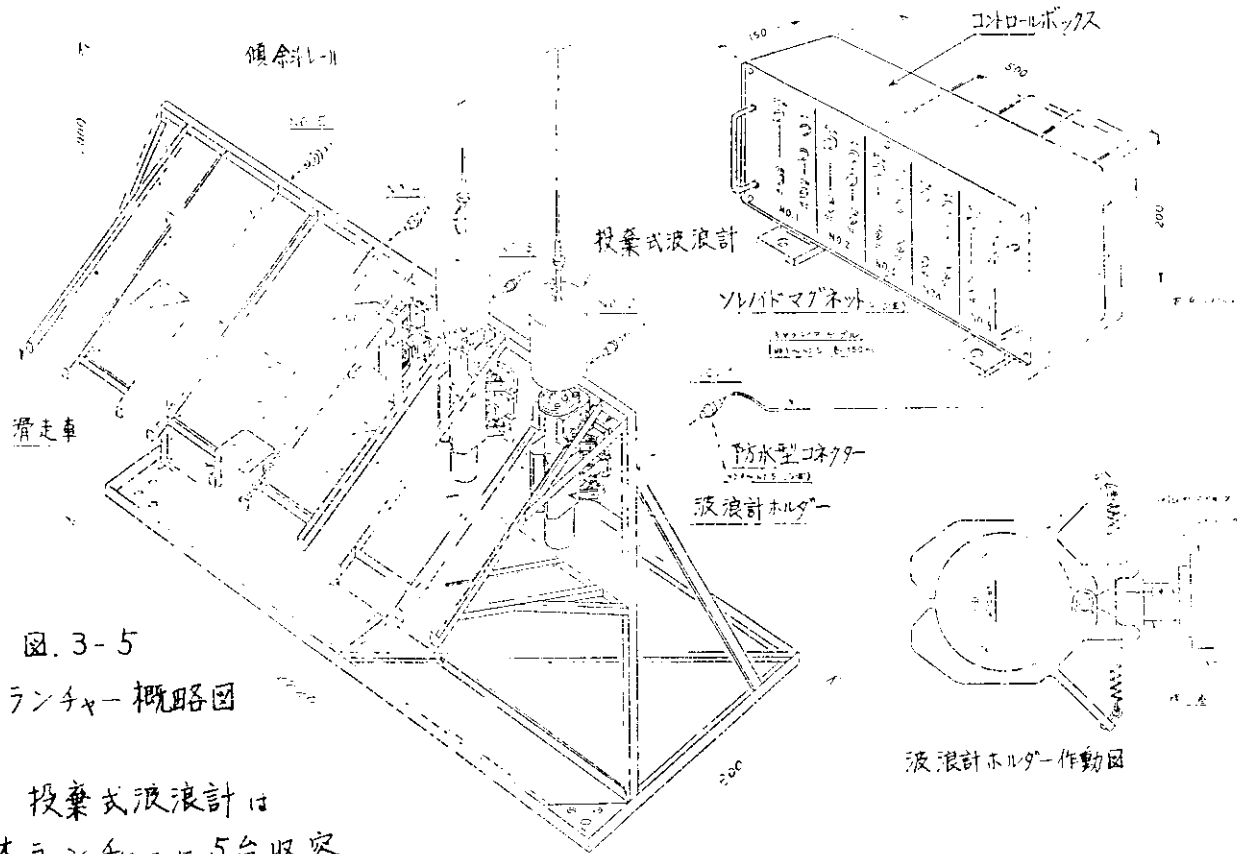


図.3-5  
ランチャーハウス概略図

投棄式波浪計は  
本ランチャーハウスに5台収容

可能で、コントロールボックス  
の操作で、任意の波浪計に対し電源投入、投棄をすることができる。

滑走車に投棄式波浪計をさせ、そのまま波浪計ホルダーで胴管を抱えこんで閉じると、プロランジャーがホルダーストップバーにはまり、波浪計は保持される。波浪計、電源スイッチはホルダーに装置してからONにする。

任意の番号、POWスイッチをONでその番号の波浪計の電源が入る。おなじく、MTスイッチONでソレノイドマグネットが動作し、ホルダーが開口して波浪計は滑走車と共に傾斜レール滑りおり、滑走車がレールの先端でストップするショックで、滑走車を離れて投棄される。

## 3.2 性能試験

### 3.2.1 耐圧、水密試験

水圧検出部は水深75mに位置し高压による破壊と漏水が心配され、また送信機部は回路収容筒に收められて水面下に位置しているため漏水の不安がある。そこで日光中禅寺湖において感部ケーブルを75mに伸ばして実験を行った結果耐圧、水密性が確保されていることが確認された。

### 3.2.2 衝撃試験

本波浪計は乾舷の高い大型船での使用が予定されていることを考慮して、少くとも15mの高さから水面に落下した際の衝撃に耐えなければならない。耐衝撃性を調査するため、木製床上30cmの高さから、波浪計本体の落下試験と、船舶技術研究所艦装部落下衝撃試験施設において水面上15mよりの落下試験を行った。さらに2万トン級の貨物船とNY航路のコンテナ船による実船実験も行った。これらの結果、回路部の耐衝撃性は確認された。また感部ケーブルと回路収容筒あるいは水圧検出部との結合部、さらに自沈用の紙ヒモの強度に問題があることがわかったり、これらを補強することによって一応波浪計の耐衝撃性が保証された。ただしNY航路コンテナ船においては投棄した波浪計5台中、1台は投下直後に信号が途絶えた例もあり、耐衝撃性についてはいま一歩のつめが必要である。

### 3.2.3 波浪計本体動搖試験

本波浪計の初期に設定した仕様では heaving の固有周期を1.0秒以下としたわけである。ところで図3-6よりわかるように本波浪計の固有周期は1.4秒前後のところにあるが、波周期が3.0秒以上の波にあっては波浪計と波との相対水位は殆んど零となっており、いいいえるならば波面に対する波浪計の追従性が良好であって、本波浪計の固有周期で十分であると結論される。なお実海面における波浪計の波面に対する追従性を調べたものが図3-7である。この図は、

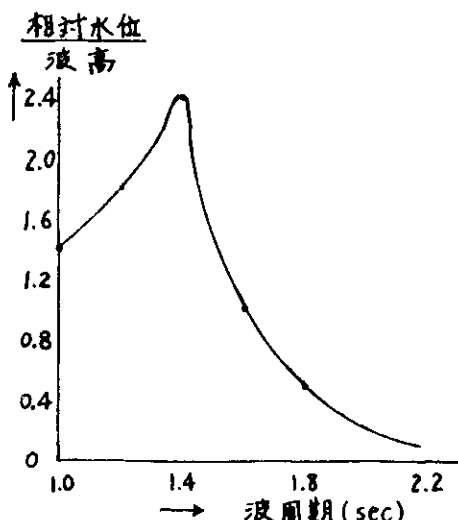


図.3-6 波浪計本体動搖試験

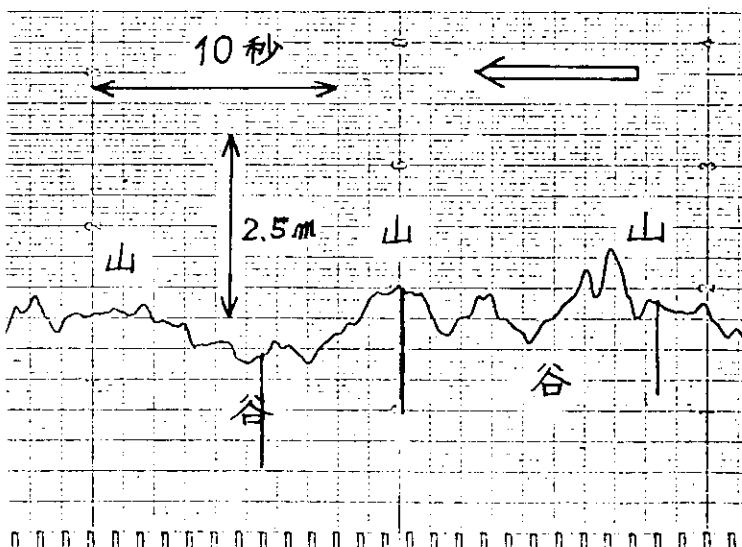


図.3-7 波浪計の追従性

波浪計成波の山にきたる谷にきたるかを目視で観察し、その都度波浪計の記録に書き入れたものである。

### 3.2.4 感部応答特性試験

水圧検出部を各周期毎に一定振幅で周期的に水中で上下動をさせた時の波高値の周波数特性を調べた。この結果を図3-8に示す。

図中のA,B,C曲線は、電気的差圧をとる部分の回路のコンデンサ容量と、水

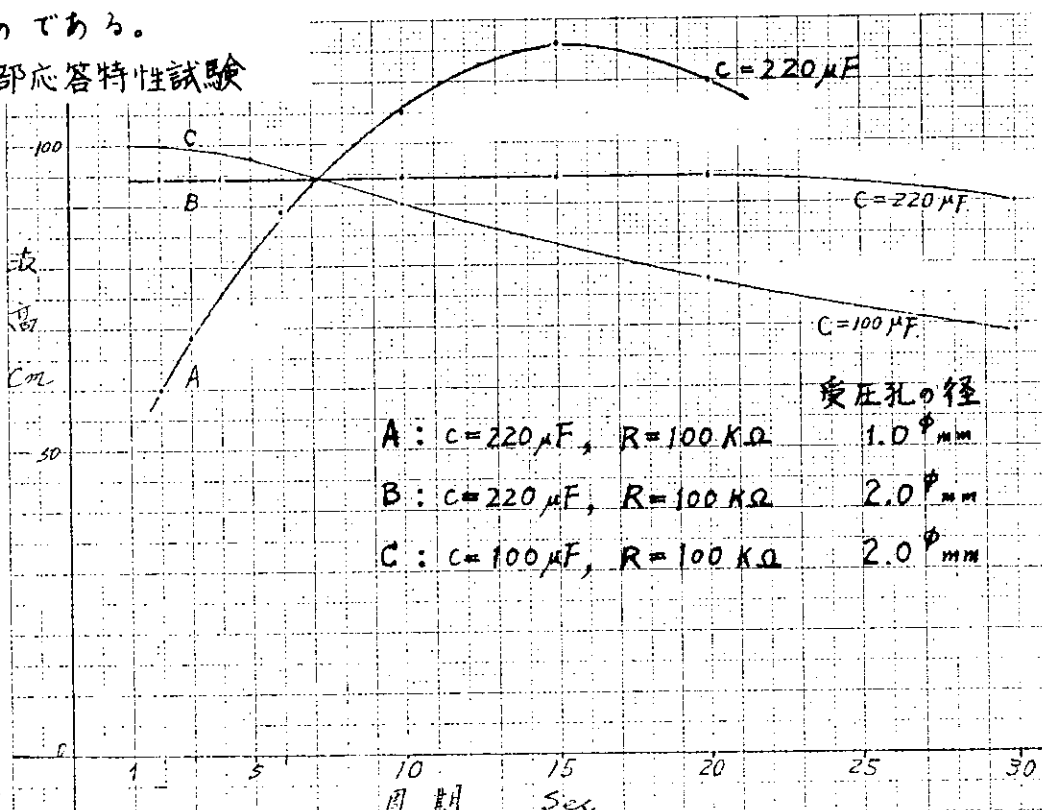


図3-8 感部応答特性試験

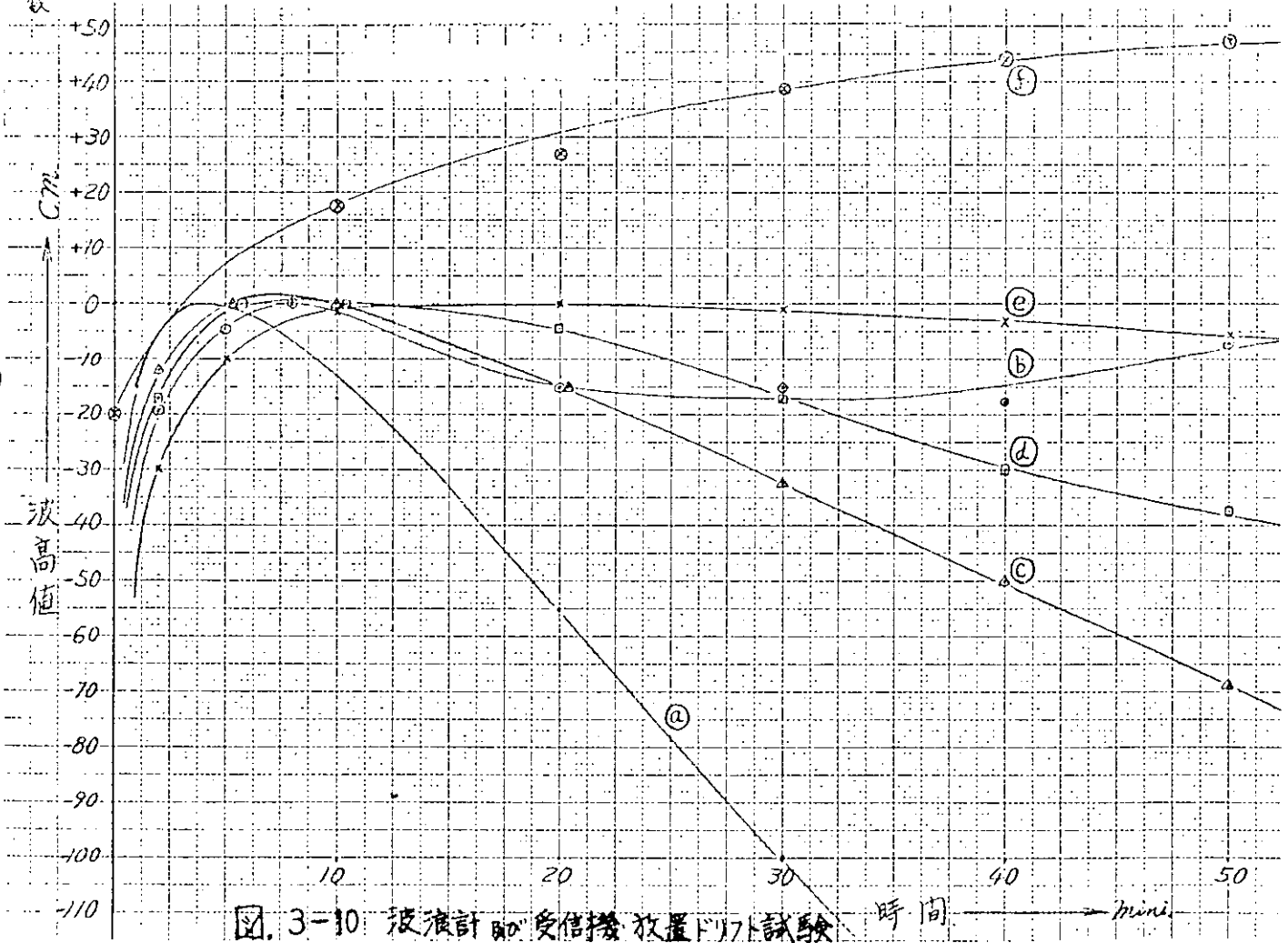
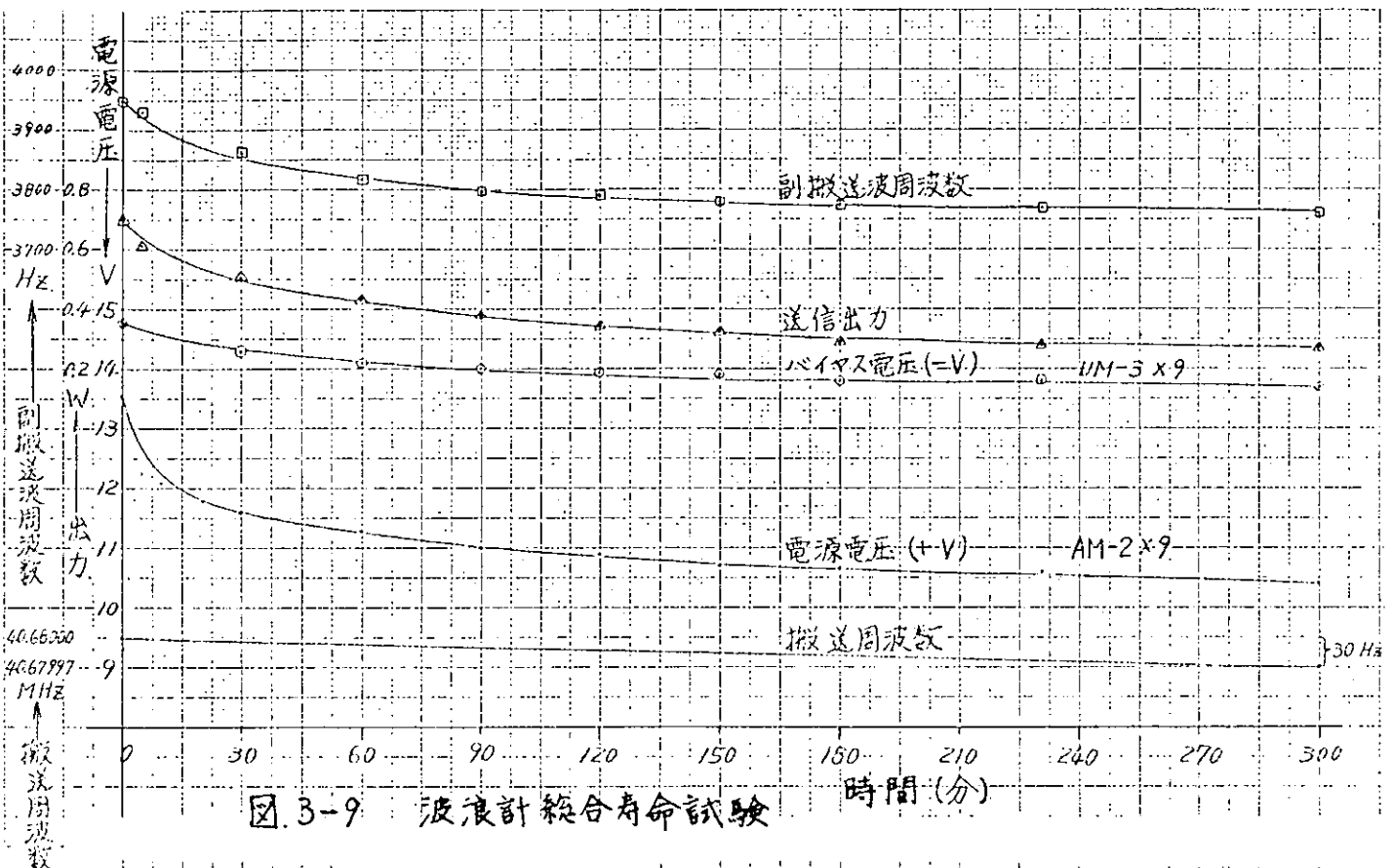
圧検出部の受圧孔の径を変化させたものに対応している。これよりB型であれば3秒から20秒までの波周期に対して良好な周波数特性が得られることがわかる。

### 3.2.5 波浪計総合寿命試験

波浪計の電源投入後放置して、副搬送波周波数、送信出力、バイアス電圧、電源電圧、搬送周波数を5時間にわたり記録したものと図3-9に示す。この結果から、副搬送波周波数は5時間後に波高値に換算して約2.5mドリフトするが、電界強度が十分な距離にあっては少くとも本波浪計は5時間はもつといえる。初めに設定した計測時間1時間以上という仕様は満足していることが確認された。

### 3.2.6 波浪計および受信機の放置ドリフト試験

波浪計による波高値の零ドリフトが大きいと観測後のデータ処理に不具合が生じる。3.2.5項の寿命試験に用いた従来型の波浪計にあっては電源投入後30分ほどの間のドリフトが特に顕著である。そこで回路の一部に温度補償をすることによって、図3-10に示すように約1時間内のドリフトを波高値換算で10cm以内に入れることができた。図中④⑥⑦は温度補償がされていないものの、②③は温度補償がされているものの、①は従来型である。④と⑤ではマルチバイオレ



ーターの温度補償方法が異なる。この結果②が電源投入してから10分以上経過した後の特性が最もよいことがわかる。ただし電源投入直後のドリフトはかなりあり、したがって使用法として波浪計は電源投入後10分経過してから投棄することが望ましい。また図中の⑦は受信機のドリフト特性であり、電源投入後50分以降はドリフトが皆無である。したがって受信機は50分以上温めた後使用することが望ましい。

### 3.2.7 受信機復調部直線性

受信機復調部の直線性は、波高が±20mに至るまでは保証されていることが確認された。

### 3.2.8 電波到達試験

電波到達試験においては、副搬送波通達試験と搬送波の電界強度測定との2種類の試験を行った。副搬送波通達試験においては、波浪計の空中線は従来型と称する入/4ダイポールを使用し、受信側の空中線は入/2ダイポールを用いた。波浪計を実船より投入した後、本船が現場を離れて行き、その間の波高値の連続記録をとっておき、記録の具合から信号の通達距離を判定する方法をとった。この結果8Km以上になると雑音の混入が激しくなり、スペクトル解析等のデータとしては使用不可能と判定された。また受信側空中線を4素子ハムアンテナに変更しても、この間の事情に変化はなく、副搬送波の通達距離は8Kmしかとれないことが判明した。

搬送波の電界強度測定においては、波浪計の空中線を4種類使用して阿字、浦海岸において比較試験を行った。受信側空中線は入/2ダイポールを用いた。結果は図.3-11に示す。図中の④は計算値、⑤は入/8下端ロードイングコイル付4Φmmステンレスアンテナ、⑥は入/4ガラスウールアンテナ、⑦は入/8センターロードイングコイル付ガラスウールアンテナである。この結果、入/8下端ロードイングコイル付4Φmmステンレスアンテナが最も効

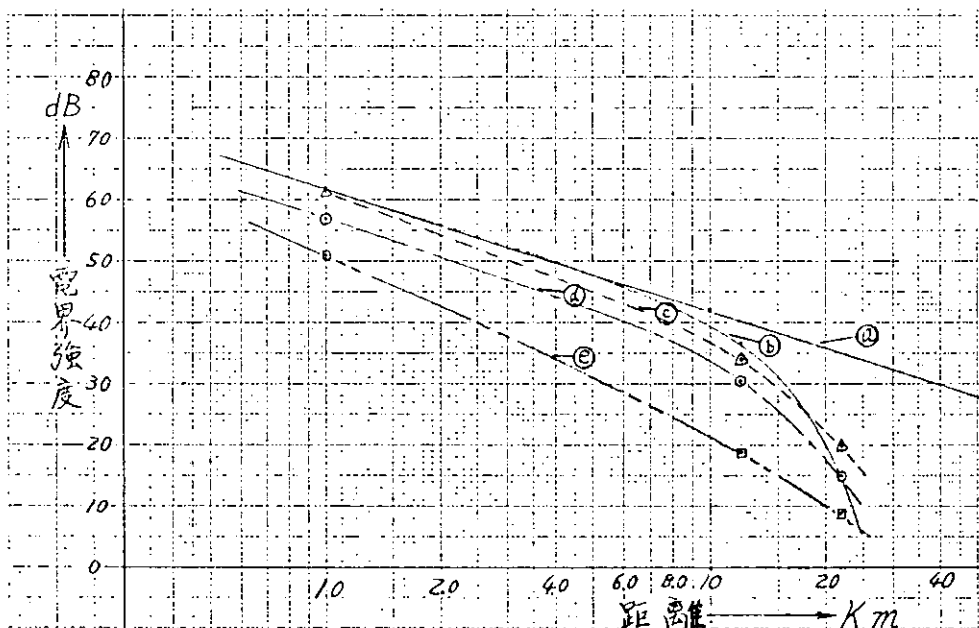


図.3-11 電界強度測定

-22-

れていると結論される。

また、電界強度測定に使用した4種類の空中線を用いてダミーの副搬送波による電波到達試験を、東京湾口の久里浜、金谷間で行った。

この結果、距離17kmでは従来型以外は測定可能であり、距離26kmでは⑥と⑦が少し雑音が混入するが測定可能であつた。空中線に海水をかけても変化はなかった。また波浪計を強制的にRollingさせた場合⑥と⑦ではごくわずか雑音が増えるにすぎないが、①では雑音の混入が激しく測定不可能となつた。

### 3.3 実船計測例

実船計測に用いた波浪計は全て、3.2.6項、3.2.7項における従来型と称するものを用いている。また受信側空中線は $\lambda/2$ ダイポールを使用した。

#### 3.3.1 2万トン級貨物船

昭和47年8月11日 館山沖において行った実験結果を図3-12, 13に示す。自動平衡型の記録器による結果である。

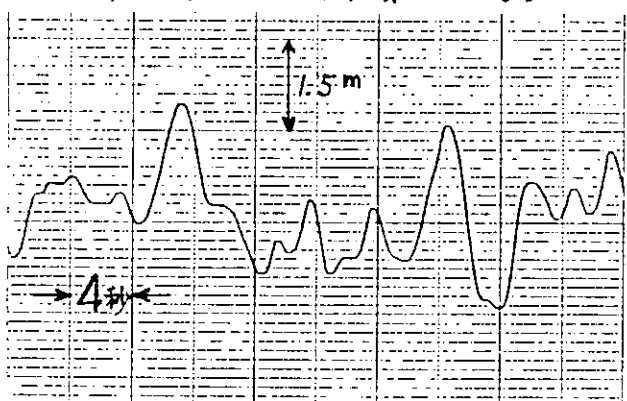


図.3-12 投入直後

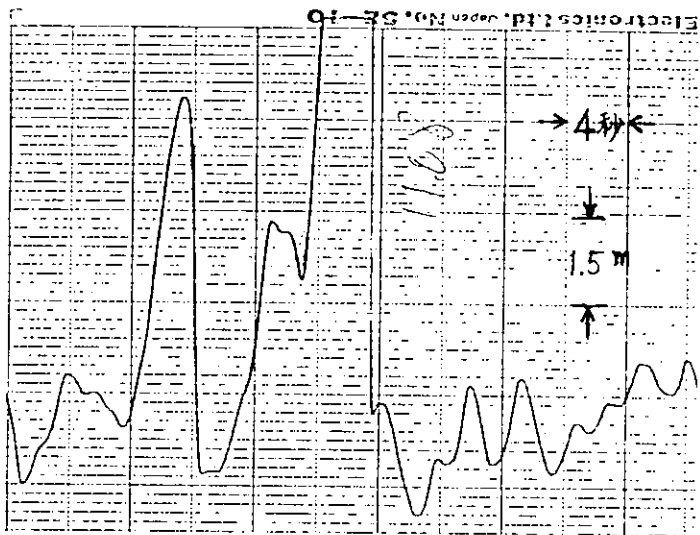


図.3-13 雜音混入例

#### 3.3.2 海上保安庁測量船 天洋

昭和47年11月14日～16日 館山沖において加速度式波浪計と共同で実験を行った。加速度式波浪計とは搬送波の周波数が同一であるため比較試験は行われていない。当日の外界条件は第4章表4.2.1に示されている。記録はレクチグラフによった。図3-14～20に通達距離が0.3kmから14kmにわたって離れてゆく際の雑音混

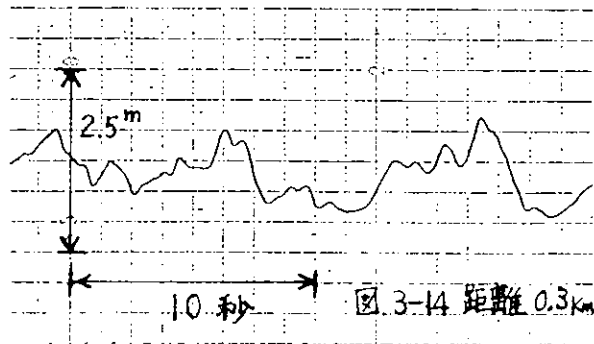


図.3-14 距離 0.3km

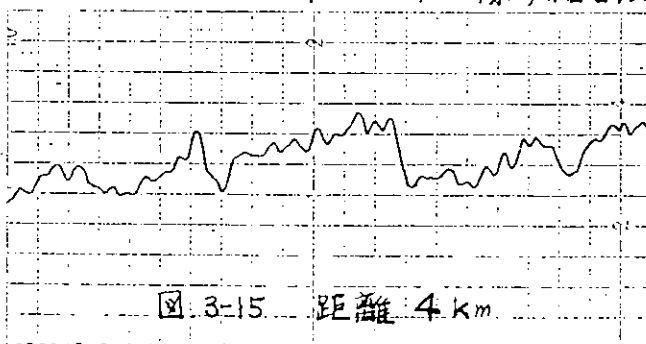


図.3-15 距離 4 km

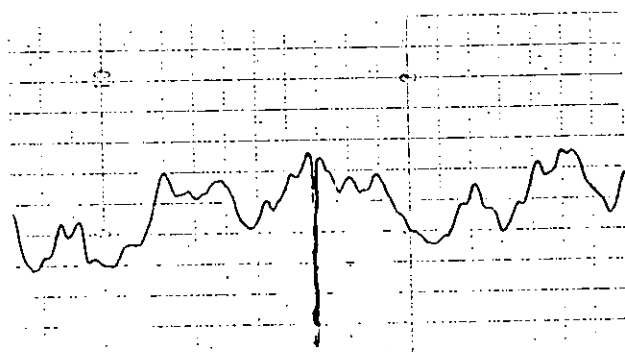


図. 3-16 距離 6 Km

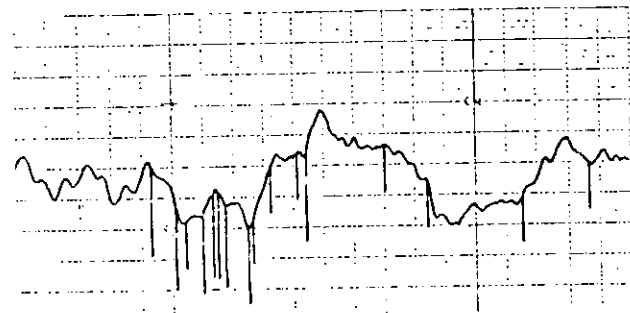


図. 3-17 距離 8 Km

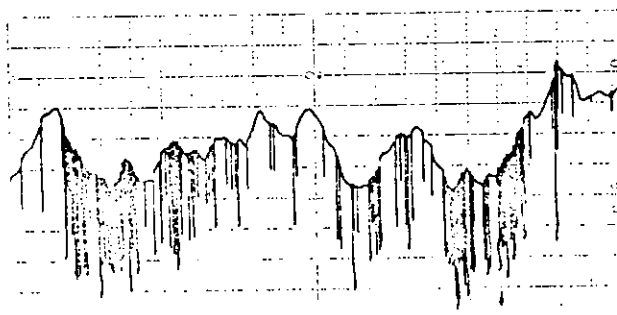


図. 3-18 距離 10 Km

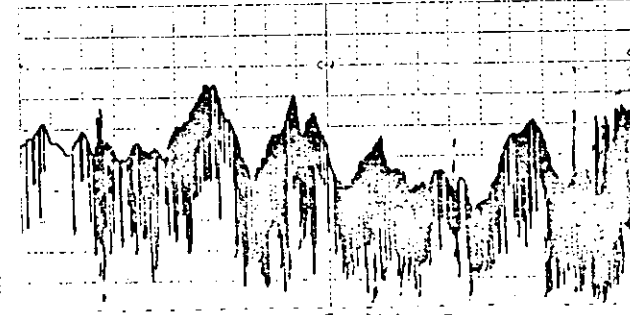


図. 3-19 距離 12 Km

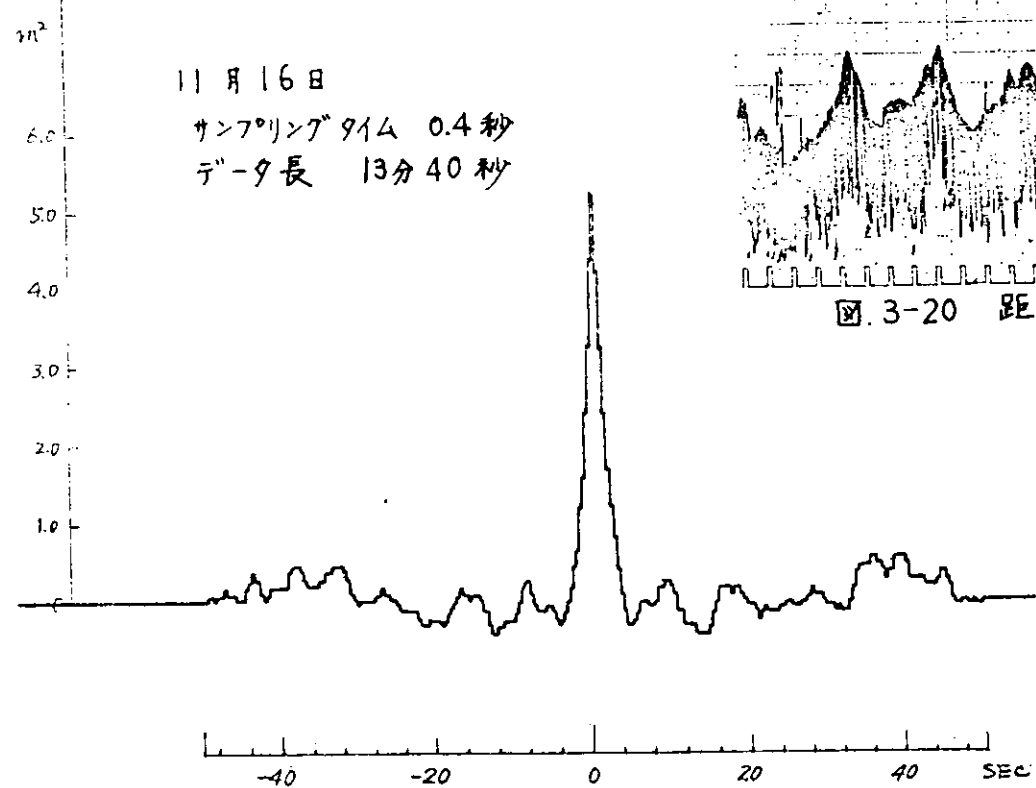


図. 3-21 自己相関

入の状況を実測例により示す。また図.3-21, 22に投入直後14分間の自己相関とエネルギースペクトルを示す。

### 3.3.3 SR125 ニューヨーク航路コンテナ船

昭和47年11月～12月 大西洋上において5台の波浪計を投入し、うち1台は

投入と同時に信号が途絶えた。2台は雑音混入激しくまたドリフトも激しく解析不可能であった。残り2台は良好な記録がとれた。この場合も電波到達距離は約8km程度であった。また受信側の空中線に折損事故が発生した。

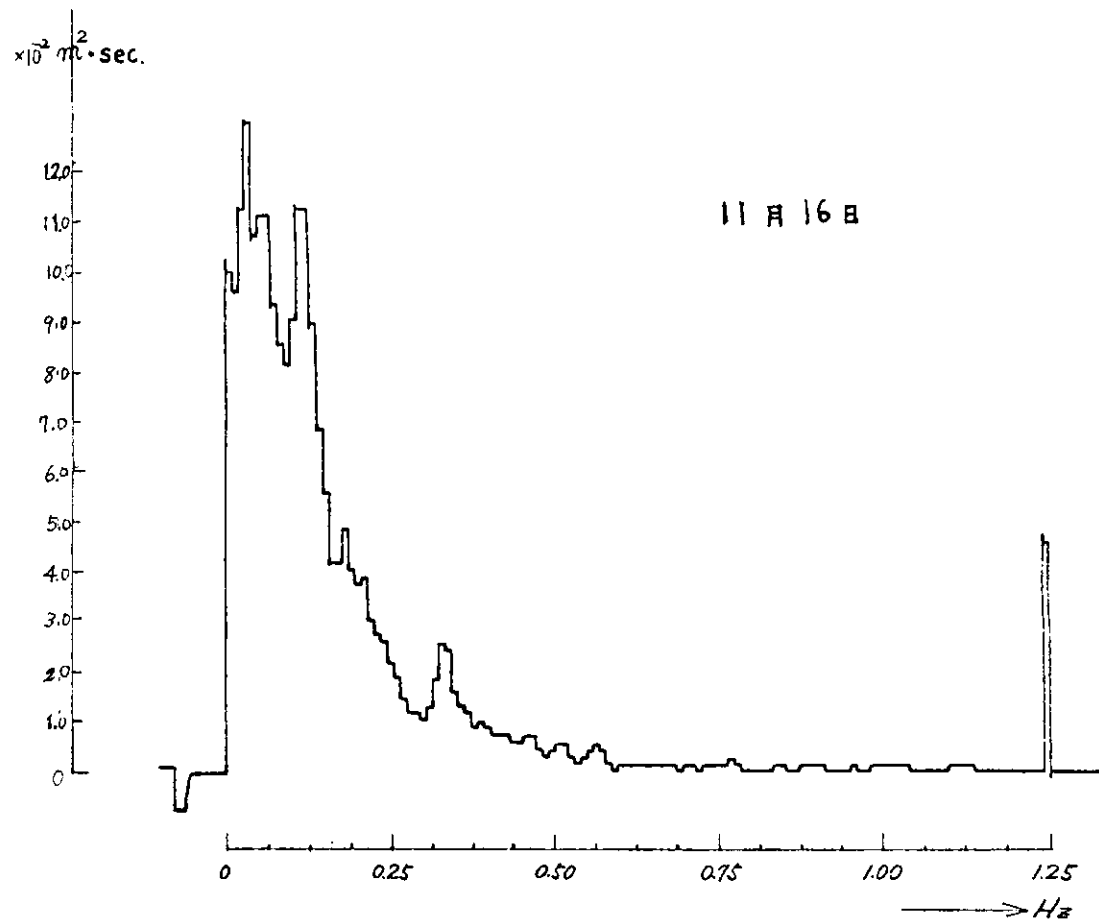


図. 3-22 エネルギースペクトル

## 4 加速度式波浪計

### 4.1 構造および改良点

加速度式波浪計の原理および仕様概要は、昨年度報告したものと同じで、洋上に投下したダイの上下加速度の変動を無線伝送し、本船上で受信したのち、電気的に2回積分してダイの上下動変位として記録するものである。

計画仕様では、測定範囲は波高 0.05~15 m, 波周期 3~20 sec, テレメーターは 40.68 MHz の FM-FM 方式となっている。検出素子は、抵抗率ひずみゲージを応用した小型加速度計で、ジンバル吊りの重錠中に組込み、常に水平方向を保って、鉛直方向の加速度成分のみを取出すようにしたものである。

これまでの試験結果では、波高の変動曲線に長周期の変動(ドリフト)が重畳して、解析に困難を感ずることが多くなった。これは、検出素子を搭載した重錠の支持構造が不完全で、人工水平支持が完全ではないことと、二重積分回路にも若干問題があることの、両方に原因があるものと考えられる。そこで、本年度はそれらに対していくつかの改善策を講じた。

重錠支持については、ジンバル部のペアリングの改良と、重錠箱の中に入れ、減衰用のシリコン油の粘度の調整を行なった。二重積分回路にも若干の改良を加えた。

ダイの形状については、本方式で最初に試みたオ124研究部会の実船計測以来、いくつもの改良試作を行なったが、その概要を略示すと 図4.1.1 のとおりである。

I型は円筒形のもので、最初に試みたものであるが、ダイ自体の上下動(heaving)が大きく、好みくないものと思われる。

II型およびIII型は、重量が相当あることと高所から投下したときの衝撃が大きいという点を除けば、ダイ自体の運動性能はいいものである。

IV型は加速度検出部を水中に下ろし、ダイ自体は複数の救命ダイ+利用+に簡易型のものであり、V型はさらに軽量化を計ったものである。

### 4.2 試験結果

昭和47年11月14~16日、房総沖において海上保安庁の測量船“天洋”に便乗して行なった試験結果の一例を以下に述べる。比較すべき他の計測装置による同時計測結果が少ないのが、精度については何ともいえないうが、ほぼ満足すべき

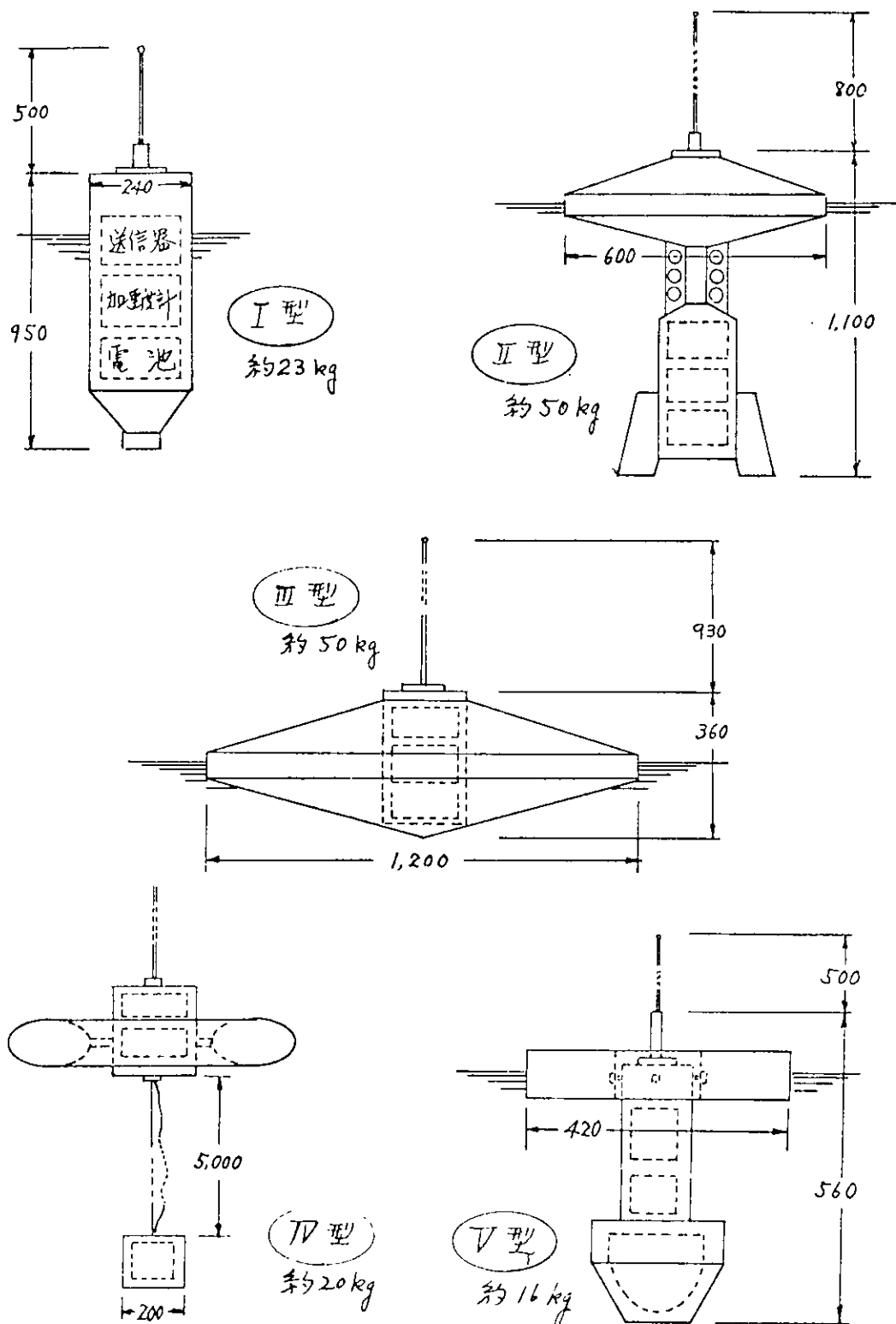


図4.1.1 加速度式波浪計ブイ外観

結果が得られたものと思う

精波の較正については、昭和48年2月中旬 連航者船海訓練計練習船“進徳丸”に便乗して、定電式の波高観測塔がリドウ2バーリーフ型波浪計との同時計測を行なったが、その結果は以下解説整理中である。

今回はⅠ型、Ⅱ型およびⅣ型ブイについて計測を行なった。Ⅳ型ブイは、水中垂下部の重量、垂下長さなどが必ずしも適当ではなかったようだ、計測結果は全く好ましいものではなかった。他の2種については良好な計測結果が得られた。前年度同様になつた航行曲線の実レベル(平均値)のドリフトは1度とんどみられなかった。

Ⅱ型のうち1個は、比較的蒸れに海面に投棄し、受信側の本船と速力9ktで遠ざかっていくが、40分間以上前の記録ができ、以降若干雜音が混入するより11分零長ドリフトを日立つて止むが2時間10分ほどは動作していた。

今回の計測に用ひたブイの外観(図4.2.1)および図4.2.2に示す。



図4.2.1 Ⅱ型ブイとⅢ型ブイ



図4.2.2 Ⅳ型ブイ

図4.2.3 はⅡ型デイによる記録曲線の一例である。直接ペンレコーダで記録したものと、磁気テープ式のレコーダの再生出力と描かせたものを並べて示してある。波高の再生記録(最上段)に高周波のノイズが重畠しているのは、データレコーダの不備によるものである。

図4.2.4 はペンレコーダ記録を手動解析したもので、波高および波周期の頻度分布を示したものである。(A),(B),(C) 各ケースの外界条件は概略表4.2.1 の通りであった。

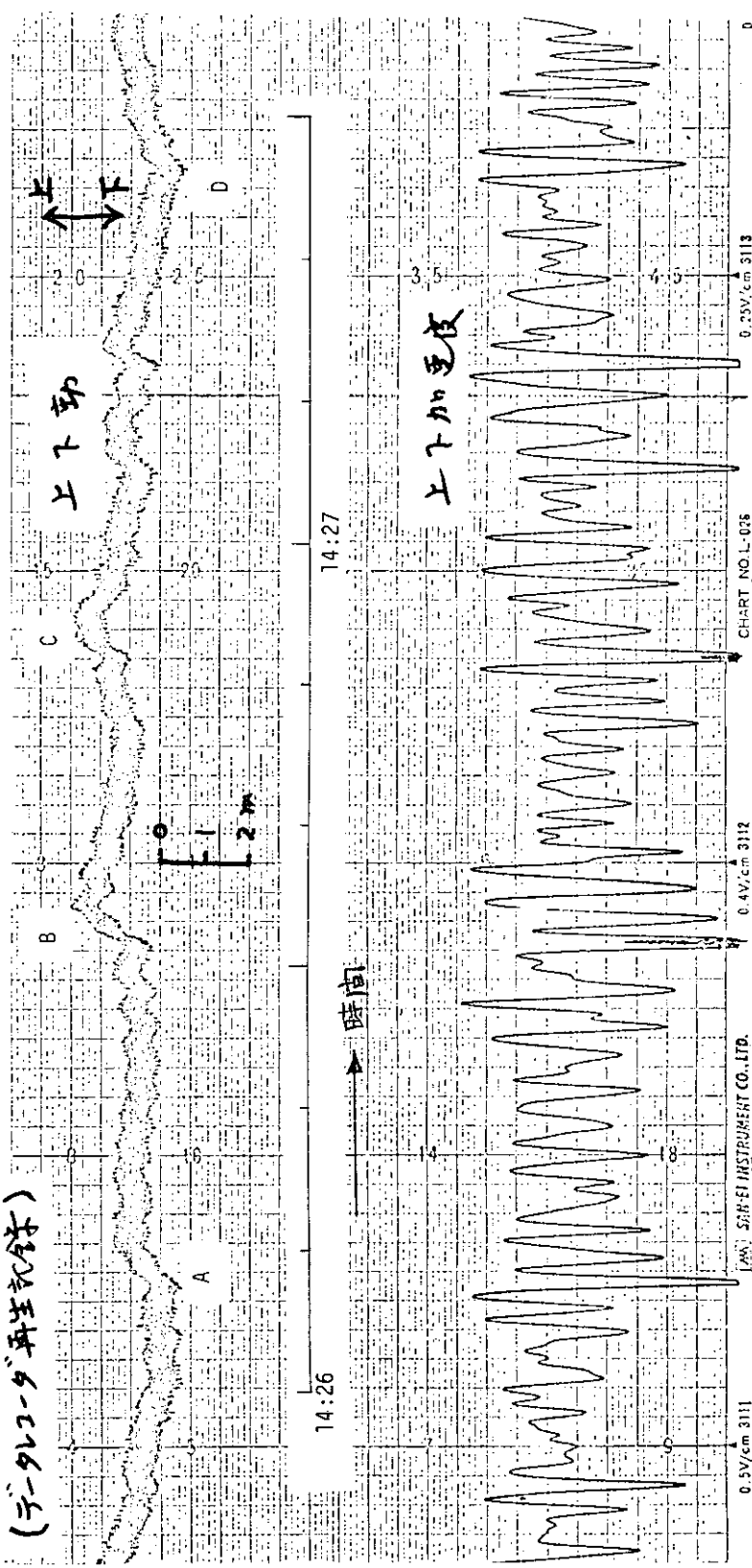
表4.2.1 計測時外界条件

ケース	日 時	目視波高(m)	風速 (kt)
(A)	昭和47.11.14 : 13:50	0.5~1.0	10
(B)	47.11.15 : 14:20	2	23
(C)	47.11.16 : 8:40	2	6

図にみられる通り、(A)の場合には小波( $H_{1/3} = 0.6 \text{ m}$ ,  $\bar{T} = 3.3 \text{ sec}$ )の上に、比較的周期の長い大波( $H_{1/3} = 1.8 \text{ m}$ ,  $\bar{T} = 17.1 \text{ sec}$ )が重畠している現象が認められる。実際にこの通りのうねりが存在していたのか、計器は周期的なドリフトを起す要因がいくつあるのかなどといふことは、現段階ではまだはっきりしない。 (B) および (C) の場合にはこのような現象はままたくみられない。

図4.2.5 は、上記(A)の場合の磁気テープ記録を再生処理して、自己相關およびエネルギースペクトルをとったものである。このスペクトルからみれば、図4.2.4 の (A) の周期のヒストグラムに  $T < 2 \text{ sec}$  の部分がはまっているのは不合理であるが、これはペン書き記録の読み取り精度以下のところである。

(直達波記録)



(直達波記録)

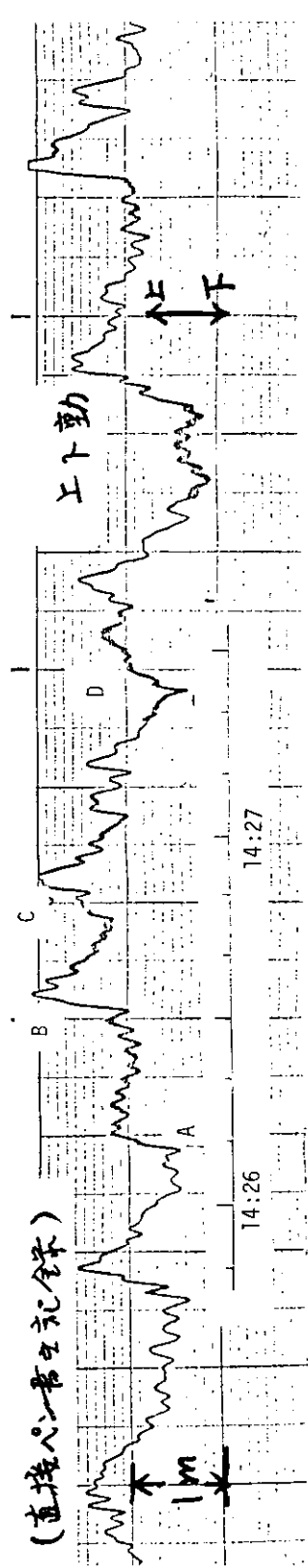
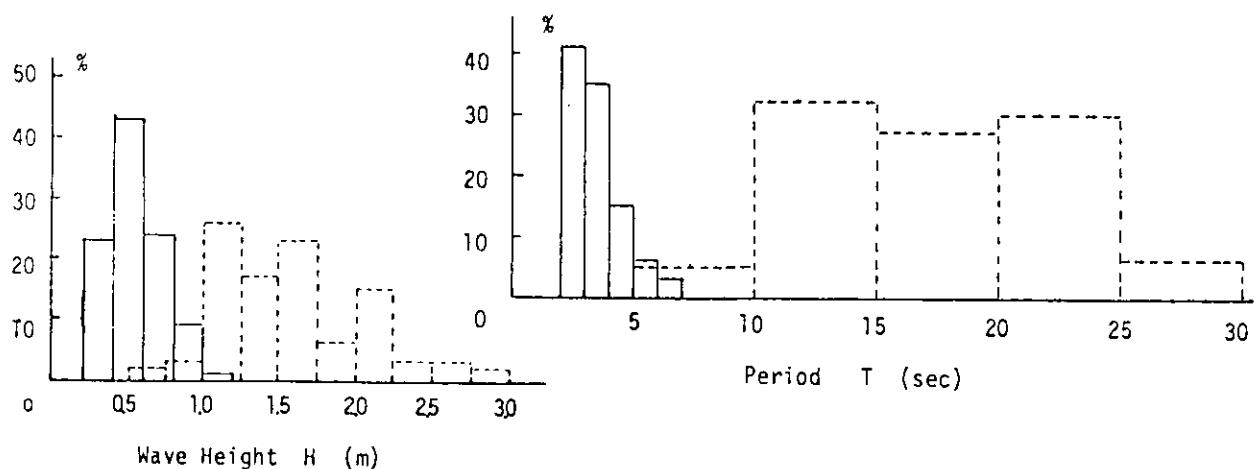


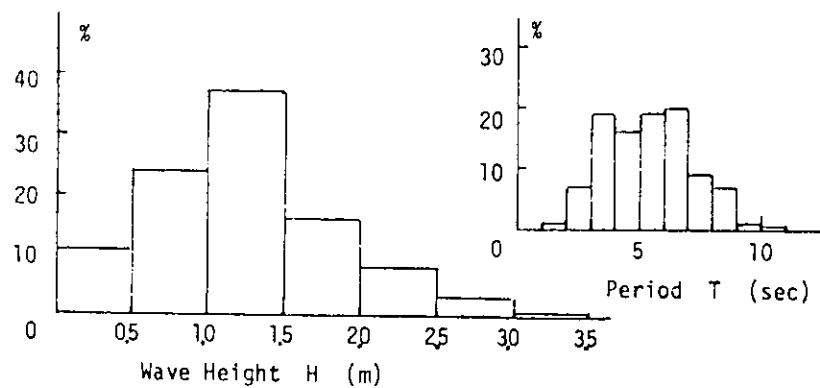
図 4.2.3 記録曲線例

(A) II型アメ  
Nov. 14, 1972



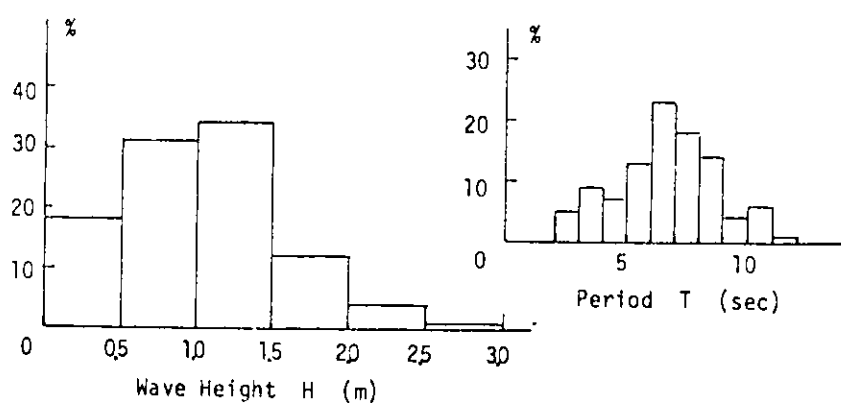
(A) II型ハイ  
Nov. 14, 1972, 13:50

$N = 140$  (70)  
 $\bar{H} = 0.5$  (1.6) m  
 $H_s = 0.6$  (1.8) m  
 $\bar{T} = 3.3$  (17.1) sec



(B) II型ハイ(波高)  
Nov. 15, 1972, 14:20

$N = 160$   
 $\bar{H} = 1.0$  m  
 $H_s = 1.6$  m  
 $\bar{T} = 5.4$  sec

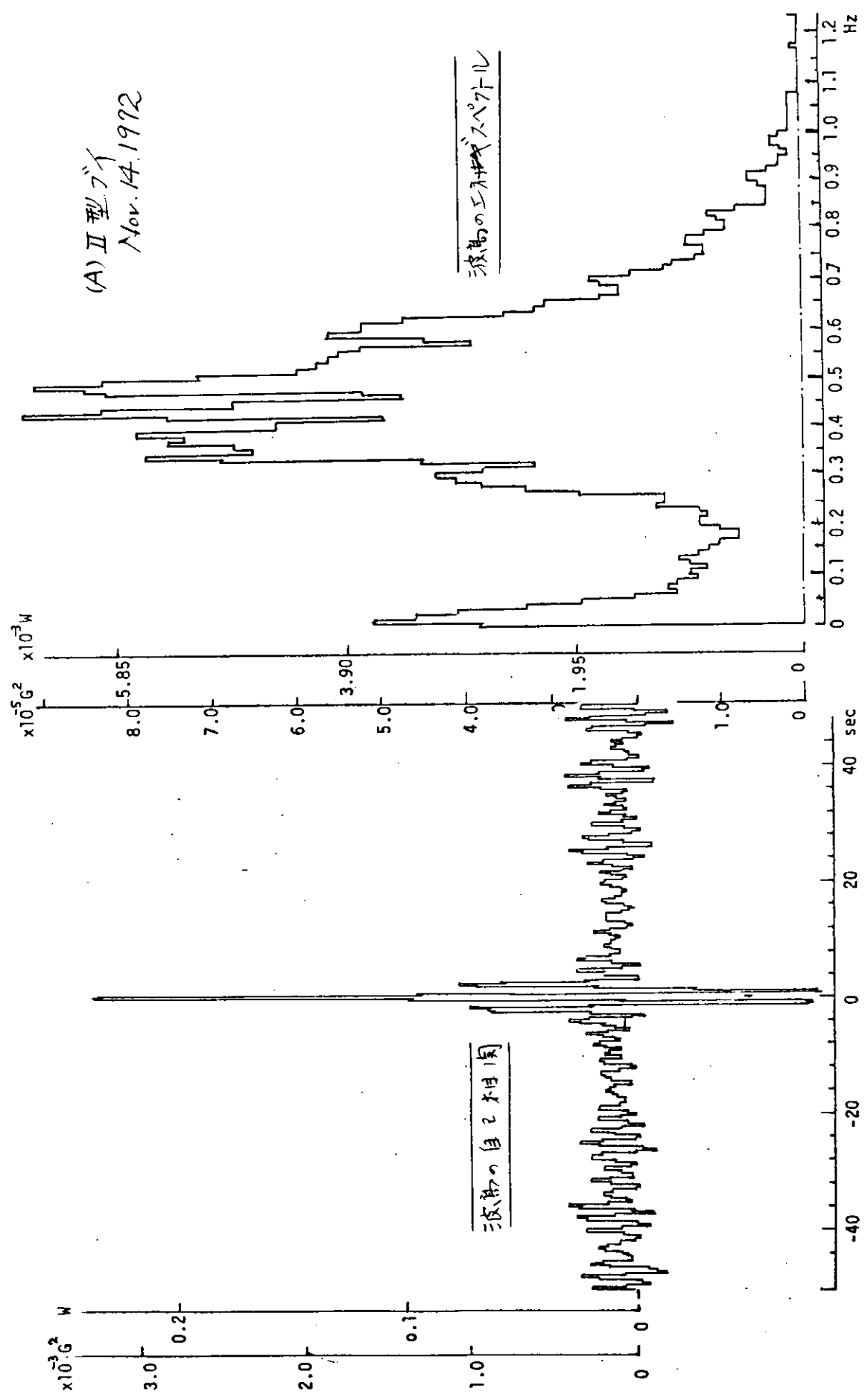


(C) III型ハイ  
Nov. 16, 1972, 08:40

$N = 150$   
 $\bar{H} = 1.1$  m  
 $H_s = 1.3$  m  
 $\bar{T} = 6.9$  sec

図 4.2.4 波高分布と波周期

図4.2.5 自己相関ホルムズペクトル



## 5. クローバー型波浪計測装置

波の方向特性まで含めて精密に計測することの可能な波浪計として、クローバー型波浪計測装置が、昭和46年度に開発され、博多沖においてこの波浪計ならびに他の波浪計を使用した最初の現地実験が昭和47年1月に実施された。昭和47年度には、昭和46年度に行なわれた各種のテストならびに現地実験の結果をもとにして、このクローバー型波浪計の改良、計測結果の詳細な解析、などが実施された。その結果、この装置は波の方向スペクトル測定用の実用的な波浪計として、一応完成することが出来た。

### 5.1. クローバー型波浪計の改良

昭和46年度に時々生じた計測時のトラブルを解消（装置の信頼度を向上するため）に実施した主要な改良点は次の通りである。(1) フロートの傾斜角検出用のポテンショメーターのシレットを強化して、軸と歯車との間のスリップを生じないようになした。(2) ジャイロ・ケースとのケーブル取出用防水ゴネクターを交換して強度を増加し、接觸不良の除去ならびに防水性の向上を行った。(3) 上下加速度の信号にまれに混入するノイズを除去するため、ジャイロカルトリビアに加速検出用の電気回路の再調整を実施した。以上の比較的小規模な改良に加えて、方位検出用のコンパスの大半が改良が実施された。ブイの方位を検出するため、マグネット、角速度出用のランプ、ホトセル系および符号板ならびに電気回路等を含むマグネット・コンパスを使用しているが、昭和46年度に開発したもののは、符号板の切れ目の所にホトセルが来ると信号がとんで、時々方位がはっきりとくらるるようなトラブルを生じた。このため、今年度には符号板のコードをこのような欠点を生じにくくするものに変更するとともに、ランプ・ホトセル系の改良ならびに全体の小型化などを含む大半のコンパスの改良を行った。

以上のように、開発当初問題となつた諸点の大半が改良により、クローバー型波浪計測装置は、昭和47年度に全体的にはほぼ実用上さしつかえない程度に改良された。図5.1は、クローバー型波浪計の全体図を示したものである。

### 5.2. クローバー型波浪計の性能

完成された装置の主要性能をまとめて示すと表5.1のとおりである。

クローバー型波浪計の波に対する応答特性に関しては、前回の報告において、かなり詳しく報告されているので、今回はその概要のみを述べる。直徑1mのフロートを中心間隔2mで正三角形状に配置した現在の装置の波に対する応

答がほぼ1に近くなるのは、周期2.5秒以上（周波数0.4Hz以下）の波に対してである。測定可能な波の上限に関しては現在の所あまりはっきりしないが、現在の所、周期15秒程度では有りないと考えている。ただし、周期だけでなく波形勾配にも依存するので、波形勾配が非常に小さくなるなどの場合にはもう少し短周期の所で測定精度の低下が生じる可能性がある。このような応答からみて測定精度の点で望ましい周波数範囲を規定するものはブイの広がり、すなわち大きさである。したがって、一つのブイですべての周波数範囲をカバーするのではなく、内海の小規模な風波の測定用、と外洋の大規模な波の測定用としてブイの大きさを変えることによつて問題を解決することが出来るであろう。現在のブイの大きさは、どちらかと言えば外洋の標準的な波の測定に適したものと云うことが出来る。

この装置について、もう一つの非常に重要な性能は、波の方向の分解能である。波の上下方向の変位 $\eta_{(t)}$ あるいは加速度 $\ddot{\eta}_{(t)}$ 、水面の傾斜 $\theta_{(t)}$ 、水面の曲率 $\kappa_{xx}$ 、 $\kappa_{yy}$ 、 $\kappa_{xy}$ の4つの量を基にして求め得るのは波の方向分布関数 $f(\theta)$ を

$$f(\theta) = \frac{1}{2} + \sum_{i=1}^N w_i [A_i \cos i\theta + B_i \sin i\theta]$$

とフーリエ分解した場合の係数の第4項まですなわち、 $A_i$ 、 $B_i$ 、 $i = 1, 2, 3, 4$ である。フーリエ係数を第4項で打ち切ることは、実の $f(\theta)$ に一種のフィルターをかける効果を生じ、そのフィルターの中は、適当な重み関数 $w_i$ まで考慮すると、約±33°となる。すなわち、このブイの方向分解能は約33°であるが、この値は、もう少し簡便な方向スペクトル測定用の波浪計であるピッカ・ロールブイの分解能約±65°に比べると、波で非常に分解能がすぐれることがわかる。しかしながら、ほとんどの方向より来ている波、あるいは隣接した2方向より来ている波などの計測結果を解釈するに際しては、このような分解能を頭に入れておくことが必要である。

### 5.3 測定データーの処理

クローバー型波浪計で計測された4つの測定量は図5.2に示されたような流れで処理される。すなわち、アナログ型の磁気テープに記録されたデーターはマルチフレクサーで順次切り換えられてA-D変換され数値化されて計算機に送り込まれる。計算機内で検定値その他とともに、数値の変換ならびに計算に便利なようなデータの編集が行なわれる。その際必要に応じて、方位の修正が行なわれる。編集されたデーターは高速フーリエ変換でフーリエ分解され、その結果をもとにクロススペクトルの計算ならびに方向スペクトルの計算が一つの流れで実行される。一方、必要に応じて、加速度信号をフーリエ分解

して求めた各項を順別に二回積分した後再合成して 表面波形  $\eta(t)$ 。あるいは、フーリエ係数をもとにしてパワーの計算を実行して周波数スペクトルが計算される。結果はすべてラインプリンタードット表として、X-Yプロッターで図化してそれぞれ打ち出される。現在の所、以上の処理を通して行、た場合が少ないので、処理時間の正確な値が得られていないが、現在使用している電子計算機システム下 ACOM 270-20 (DATAAC 500 データ収録装置を含む) を用いて、1分間の1つの波のデータを処理するのに上記の処理を全部行なうと準備時間と含めて 4~6 時間程度を要する。

### 5.2. 測定結果

測定結果の一例は図 5.3、図 5.4 および図 5.5 に示されている。図 5.3 は加速度信号を 5.3 で述べた方法で二回積分して求めた表面波形  $\eta(t)$  である。ただし、フーリエ合成する際に  $0.1 \text{ Hz}$  以下 ( $T > 10 \text{ sec}$ ) の波の成分はこの場合切り捨てられている。二回積分は、低周波側に混入するわずかのノイズ、あるいは計算の過程で他の周波数成分よりしきい出して来る信号を非常に増大させて非現実的な結果を生じる場合がある。したがつて、合理的な値を得るために、低周波領域に混入する各種のノイズを出来るだけ減少するようにハードウェアならびに計算法の改良を行なう一方、最終的には適当な周波数の所より低周波の成分を切り捨てる必要がある。現在考えている切り捨て周波数の判定規準はスペクトルのピークの周波数  $f_c$  の半分すなはち  $f_c/2$  である。一般に、風波のスペクトルのピークより低周波側ではエネルギー密度は急速に低下し、 $f_c/2$  附近あるいはそれ以下ではほとんど無視出来ない大きさとなる。したがつて、 $f_c/2$  以下の成分の切り捨ては全体のエネルギーあるいは波形に対してほとんど影響しない。ただし、現在までの所あまり経験はないが、適当に遅延した風波の低周波側にエネルギーが重っているような時に切り捨て周波数の判断がまづかしいような場合が生じるかもしれない。このような場合には例えば水压型のものに変換器の変更が必要があるかもしれない。

図 5.4 は図 5.3 の  $\eta(t)$  に対応するパワースペクトルである。これより、今回の場合  $f = 0.1 \text{ Hz}$  以下の周波数成分を切り捨てたことの妥当性が一定程度推察される。このスペクトルの形は、太平洋で計測されたものであるが、無次元化すると筆者等が以前博多湾で観測した代表的な湾内発生波のスペクトルに極く近く、いわゆる Pierson - Moskowitz のスペクトルに比べると非常に集中度が大きいことがわかる。たゞして、同様な多くの外洋の波のスペクトルを調べた結果、場合に応じて、実験水槽の風波のように非常にスペクトル密度の集中度の高いもの、湾内発生風波程度の集中度のもの、あるいは Pierson - Moskowitz スペ

クトルのように集中度の小さなものが様々に周波数スペクトルの形が生じてゐることがわかった。

図5.5は同じ波のスペクトルの周波数成分別の方々分布関数  $\alpha(\theta)$  を示したものである。先ずこの波の主方向がNEであること、周波数の増大とともに集中度が低下していること、などわかる。すなはち、成分波の低周波成分は比較的集中した方向より進んでいるが高周波成分は、風の主方向とはここで色々な方向より来襲していることに在る。点線で示されている曲線は、上下加速度  $g_{\text{ss}}$  より波面の勾配  $\alpha$ 、仰のみを使用して求めたいわゆるピック・ロールバーに對応する) 方々分布関数である。この場合には  $\alpha(\theta)$  のフーリエ係数が第2項までしか決定されないので、フィルター中は約  $65^{\circ}$  となり、分解能が低下する。その結果を反映して測定された  $\alpha(\theta)$  は大半に平滑化されてしまうことがある。

### 5.5 結語

以上のようにして、クローバー型波浪計の装置自体、改良点と共にこの装置で計測されたデーターの処理および解析のたり、ソフトウェアを消化二昭和47年度ご一応完成することが出来た。部分的には、今後もう少し洗練されたものに改良する点が残されているが、実用的波浪計として完成されたものと薄々くい。ただし、荒天時における波浪計の船上よりの上げ下しの作業は、現在の手法では、限界があり、風速にして  $15 \text{ m/sec}$ 、波高にして  $2 \text{ m} \sim 3 \text{ m}$  の普通の  $300 \sim 400$  トン級の觀測船の場合には限界のようである。この問題を解決するための検討が色々と行なわれたけれども、根本的な解決は、ブイ昇降用の専用の装置を開発することに帰するであろう。

表 5.1 クリーバー型波浪計の性能

- (1) 鉛直加速度  $\Sigma_{tt}$  (加速度計)
  - a) 測定範囲 :  $\pm 2 \text{ g}$
  - b) 直線性 : 1 % 以内
  - c) 分解能 : 0.1 %
  - d) 周波数振動数 : 47.5 Hz
  - e) 減衰係数 : 0.7
  
- (2) 傾斜角 (ピッチ・ロール)  $\Sigma_x, \Sigma_y$  シャイロ + ポテンショメーター
  - a) 測定範囲 :  $\pm 55^\circ$
  - b) 直線性 : 0.5 % 以内
  - c) 分解能 : 0.1°
  - d) 自立精度 : ピッチ  $+ 0.15^\circ$ , ロール  $- 0.25^\circ$
  - e) 自立速度 :  $20^\circ/\text{s}$
  
- (3) フロート傾斜角  $\Sigma_{x(i)}, \Sigma_{y(i)}$  ( $i=A, B, C$ ) ポテンショメーター
  - a) 測定範囲 :  $\pm 30^\circ$
  - b) 直線性 : 0.2 %
  - c) ポテンショ分解能 : 0.056 % (角度で  $\pm 0.04^\circ$ )
  
- (4) 方位角  $\theta$  マグネット・コンパス
  - (符合板、フォトセル等含む変換器)
  - 32 方位 (分解能 :  $11.25^\circ$ )

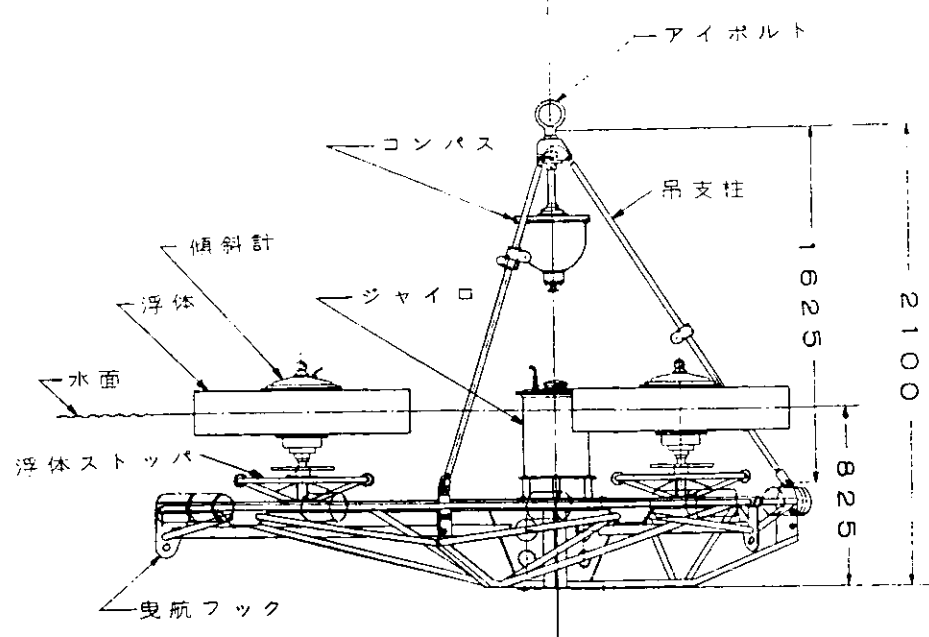
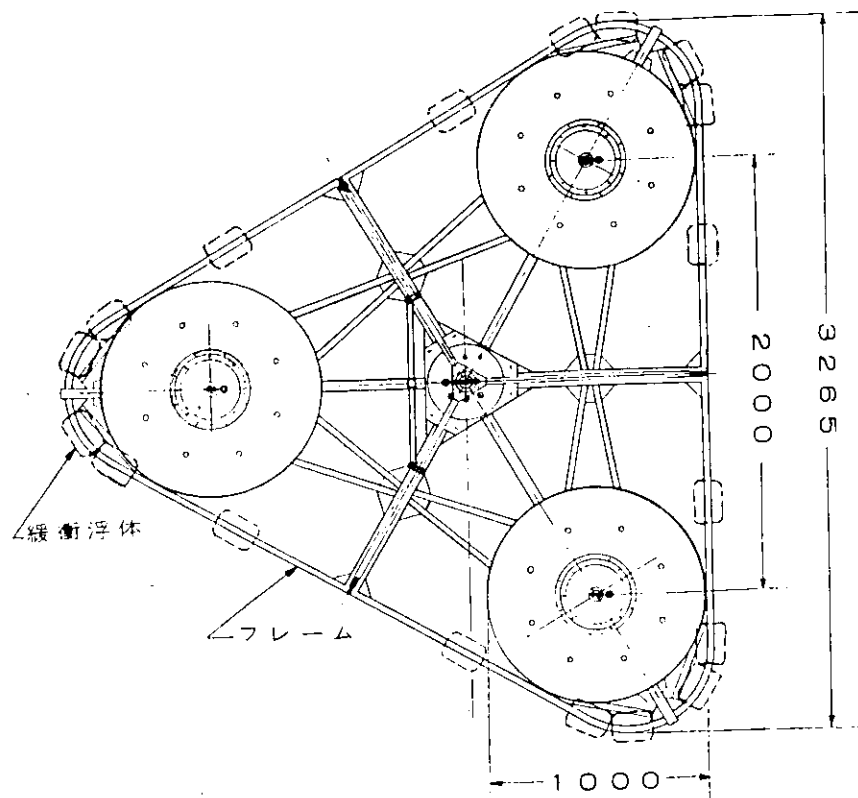


図5.1 クローラー型 波浪計

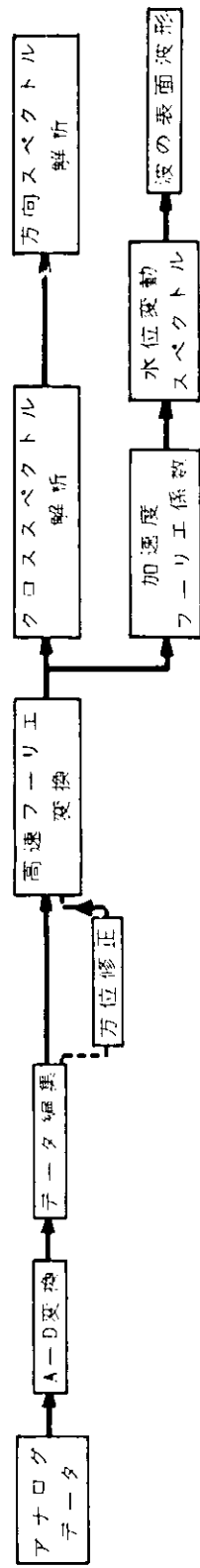


図 5.2 データ処理の流れ図

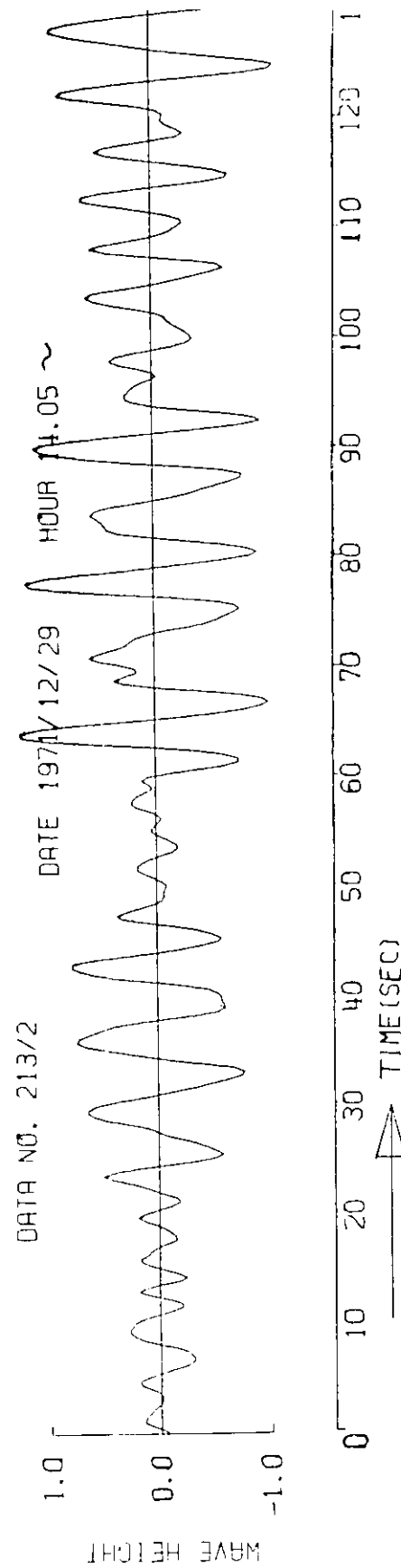


図 5.3 海洋波の波面の時間的変動  $\eta(t)$

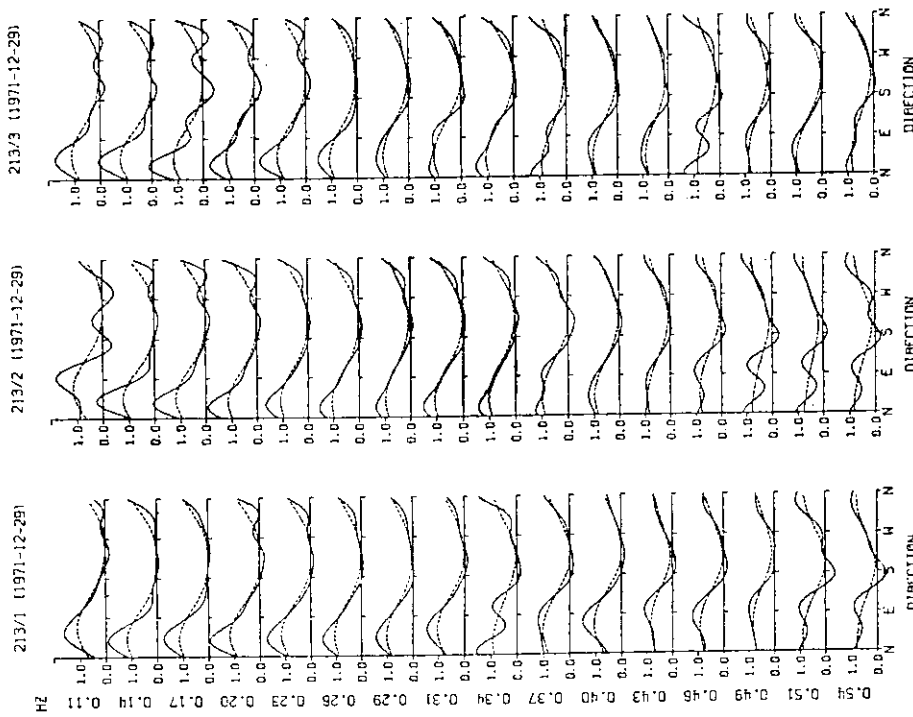
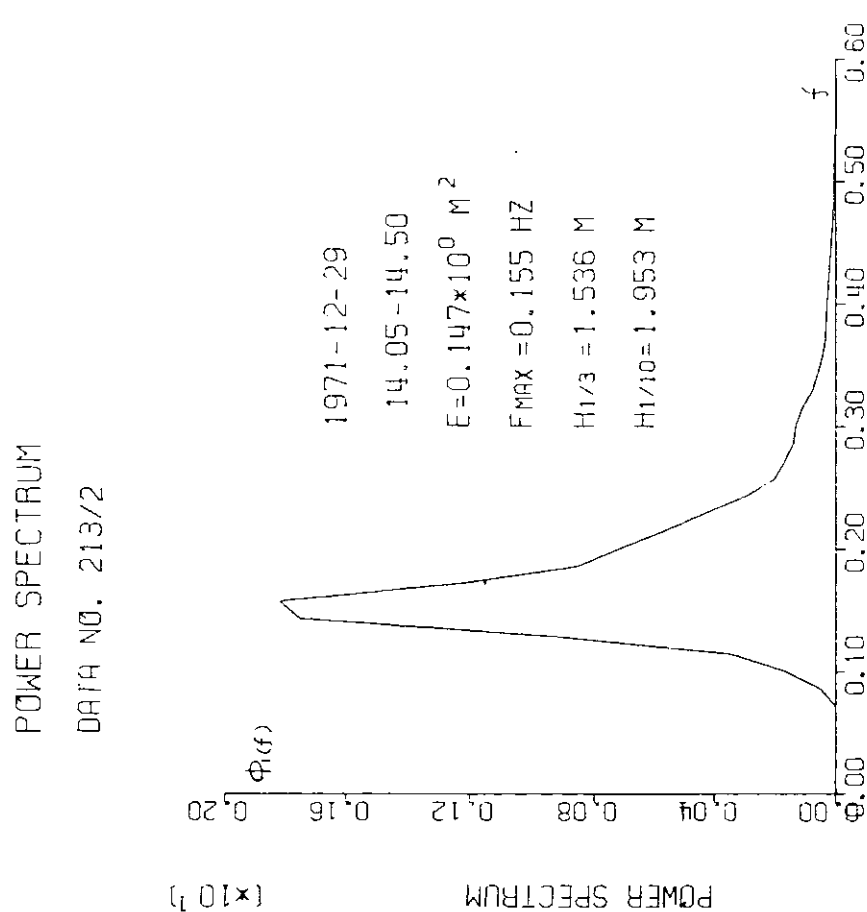


図5.5 海洋波の方向分布関数  $\Phi(\theta, f)$

図5.4 海洋波の周波数スペクトル  $\Phi(f)$

## 6 レーザ波浪計

### 6.1 まえがき

レーザ波浪計の開発に関する研究は、レーザの持っている多くの特徴を利用して、波高測定のセンサーとしての実用計器を開発することを目的としている。このために、昭和46年度において、変調波位相差測距方式による、レーザ波浪計を試作し、その性能試験を行なった。その結果は、昨年度の報告書に述べたが、要約すれば次の通りになる。この波浪計で、もっとも問題となるのは、波浪の発生している水面よりのレーザ反射光の強度である。これについて実験した結果、静水面の反射率は、1%強であり、さらに、風をともなった水面よりの反射は、微弱なパルス光となつた。この反射光の検出に対し、もっとも大きな雑音源となるものは、1KW/m<sup>2</sup>の強大な太陽光の反射であるが、前年度試作のものは、十分なS/N比が取れず、使用は、たとえば夜間などに制限される。

さらに、装置の安定性が低く、厳しい海象、気象条件で使用できるには多くの改良すべき点があることがわかつた。もっとも大きな故障としては、変調器のKDP結晶を使用した変調素子が、潮解性のために、レーザ光の透過率が非常に低下し、距離計としての性能を実験することができなかつたことである。このような経過から、レーザ波浪計を、48年度以降に行なわれる実船実験において実船搭載用波浪計として採用することは取り止めた。しかし、なお将来の問題として、レーザ使用の波浪計の実用化は必要と考えられるので、47年度においても基礎研究を続けることとなつた。

### 6.2 レーザ波浪計の問題点

昨年度および今年度の研究によって明らかになつたレーザ波浪計の問題点の主なものは、次の通りである。

#### 6.2.1 受光感度の不足

距離測定が完全に行なわれるためには、海面の反射光のレベルが、受光系の受光感度にくらべ十分でなければならない。波高指示の位相計入力は、50μV以上のレベルを必要とする。反射ミラーの反射光に対する受光出力は、位相計入力のところごと1~5mVである。この場合には、ミラーの移動に対し距離出力は明確に得られる。これを図6.2.1に示す。静水面による反射は、微弱であつて測定困難であるが、反射率より推定して、15~60μV程度であり、受感レベルぎりぎりであり、実際に距離指示は不安定で、測定不能

範囲があらわれる。これを図 6.2.2 に示す。さらに、送風機によって、6 cm 程度の波を水面におこすと、反射光量は激減する。反射光を写真撮影したもののが、図 6.2.3 である。露出時間の減少とともに、フィルム面上にあらわれる光点は、小さいスポットに分離し、反射光の構造がほぼわかる。この光量は、光の点の面積より算出すれば、鏡面反射に比しさらに  $1/100$  程度であり、電気的測定によれば  $1/3000$  ~  $1/1000$

であると推定される。いずれにしても、受感レベルよりはるかに低く、測定不能となることは明らかである。

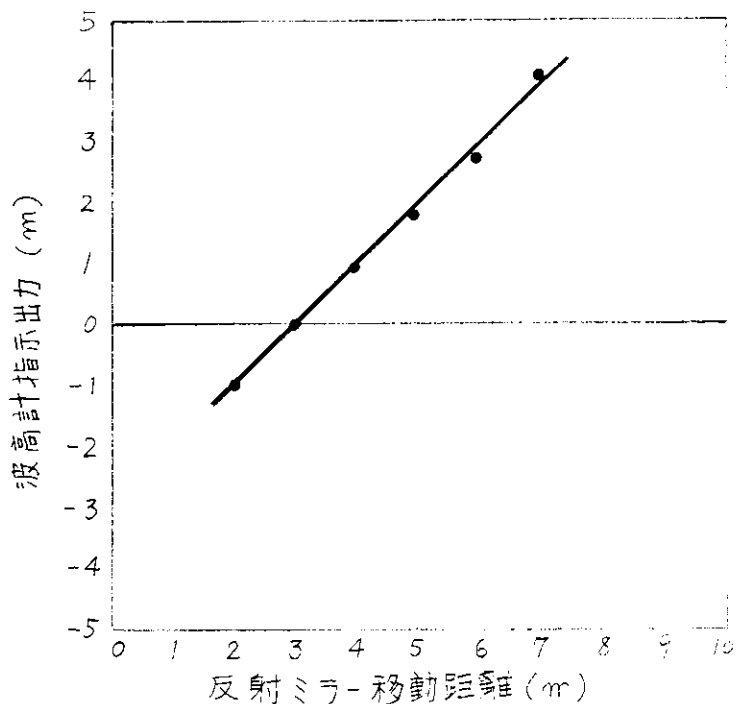


図 6.2.1 波浪計の強い反射光に対する精度

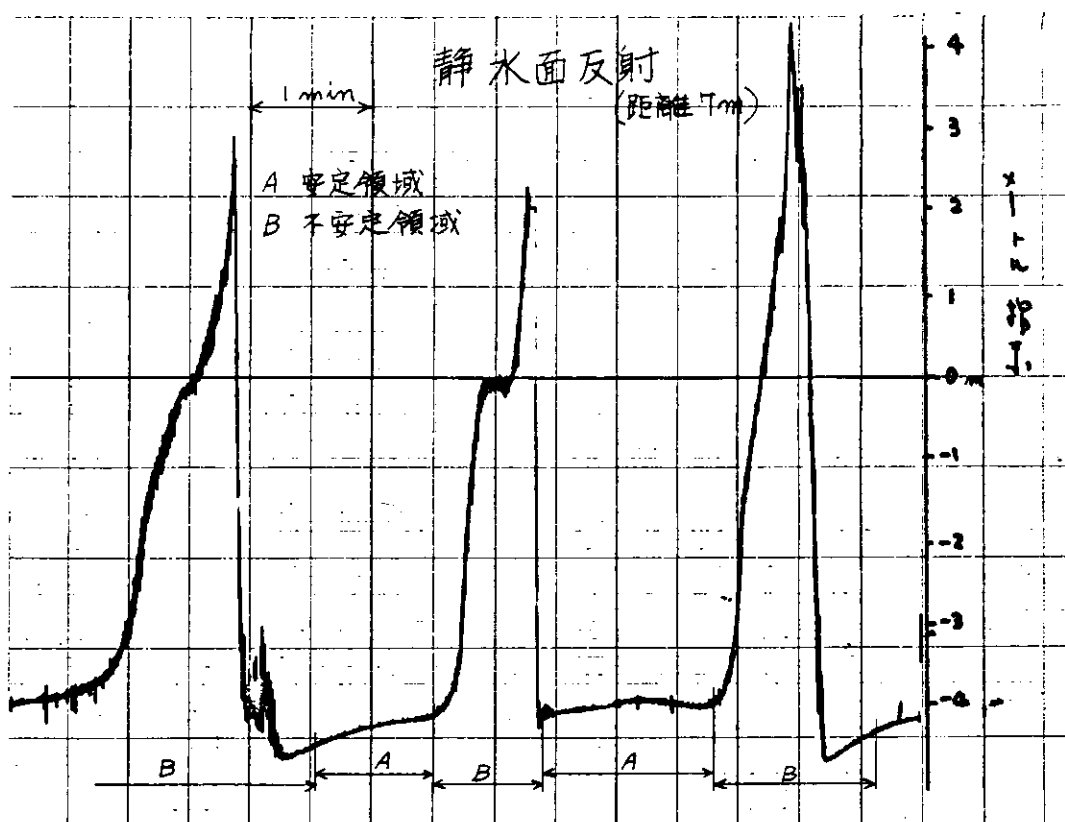


図 6.2.2 反射強度の小さいときの距離指示の不安定性

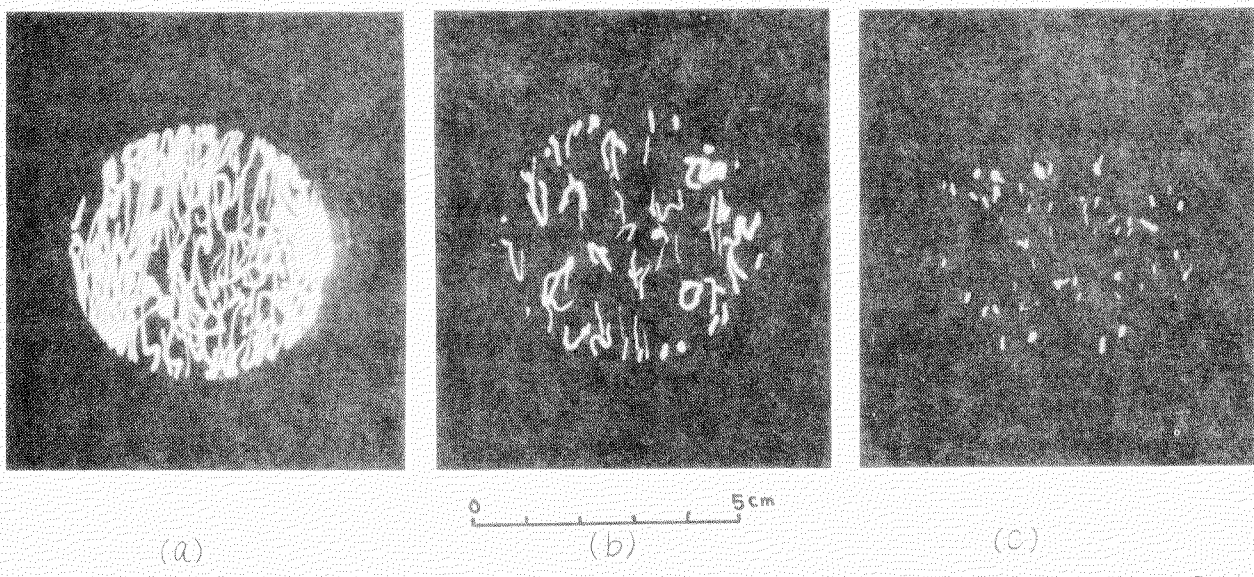


図 6.2.3 波面によるレーザ反射スポット 波: 波高 0.24 cm, 周期 0.19 sec, 波長 5.6 cm, 阻長 1.4 m

露出時間: (a) 1/15 sec, (b) 1/60 sec, (c) 1/250 sec  
(f 5.6)

## 6.2.2 太陽光の影響

受光系のフォトマル出力における種々な源としては、太陽光より来る背景ノイズがもっとも大きく、ショットノイズ、サーマルノイズ、暗電流ノイズは、2桁以上小さくて無視できる。太陽光の影響は、前報に述べたように、海面に入射するパワーの比として、垂直入射の場合

$$S/N = P / 110 \Delta \lambda \cdot S \quad (6.1)$$

であらわされる。ただし  $P$ : 海面に入射するレーザパワー ( $mW$ )

$\Delta \lambda$ : フィルターの通過幅 ( $\text{\AA}$ )

$S$ : 受光系に入る反射面積 ( $m^2$ )

である。前年度の装置では、 $P = 1 mW$ ,  $\Delta \lambda = 120 \text{\AA}$ ,  $S = 1 m^2$  として

$$S/N = 1/13,000$$

となり、測定は不可能である。

## 6.2.3 装置の不安定性

実験を行なうとき困ったことに、装置全体の不稳定性がある。これはほとんどすべての部分について云えるが、主なものは、レーザ光源と変調器であった。

変調器は、温度補償を行って安定化してあるが、それでも長時間使用すると、レーザ光の偏光面が回転し、変調光の位相が  $180^\circ$  逆転し、その間に使用不能範囲が生じ、さらに安定化される必要がある。

### 6.3. レーザ波浪計の改造

レーザ波浪計について 6.2 で述べた問題点を明らかにした後、これらを解決するため、本年度においてレーザ波浪計の改造を行なった。その主な点を次に述べる。

#### 6.3.1 受信感度の向上

受信感度が大幅に不足していることは、6.2.1 に述べたが、これについて次の対策を取った。

##### (1) レーザ光源の出力増強

前装置のレーザ光源は、最大定格  $10 \text{ mW}$  であるが、実際には  $6 \sim 8 \text{ mW}$  の範囲で使用可能であった。これを、安定化された定格  $15 \text{ mW}$ 、最大  $18 \text{ mW}$  のレーザ光源と交換して、出力の 2~3 倍アップをはかった。出力増強には、変調器の変調率の増加も有効であるが、予算不足で見送ることとした。

##### (2) 高感度フォトマルチプライヤの採用

前装置のフォトマル(浜松テレビ CK102)は、分光特性、感度の点で不適当であった。これを、He-Ne レーザで高感度の特性を持つ RCA-8645 と交換し、感度の 2 衡以上の改善となる。

##### (3) 低雑音高周波増幅器の使用

レーザ出力の増加と、フォトマルの感度増加によつてもなお不足する受信感度は、 $30 \sim 40 \text{ db}$  の低雑音増幅器によつて補うこととした。

#### 6.3.2 S/N の向上

太陽光の影響を大幅に減少させなければ測定不可能であることは、6.2.2 で述べたが、これに対する対策を次に述べる。

##### (1) レーザ出力の増加

これは、6.3.1 にも述べたが、(6.1) 式の  $P$  を大きくすることによる  $S/N$  の向上である。

##### (2) フィルター通過幅の減少

(6.1) 式の  $\Delta\lambda$  の減少であり、 $120 \text{ \AA}$  を  $20 \text{ \AA}$  に減少させた。

##### (3) 反射面積の減少

(6.1) 式の  $S$  の減少である。前装置では、レーザ送受信の光軸が、角度を持っている光学系である。これは、受光系の見る反射面の中で、反射面までの距離の変化によって、送信ビームが動きまわる余裕が必要であり、必然的に、太陽光の影響が受光レンズに入る面積が大きくなる。そこで、本年度の改造では、送受信光軸を一致させ、光学系に粗野絞りを付け、反射面積  $S$  を大幅に減少させることにした。 $S$  は  $20 \text{ m}$  の距離で  $30 \text{ mm}$  中の円となり、 $\pi \times 10^{-4} \text{ m}^2$  となる。

以上によつて S/N は、(6.1) 式より

$$S/N = \frac{2.5 \times 6 \times 10^4 / 7}{13000}$$
$$= 1.6$$

となり、垂直入射の場合でも測定可能となる。

### 6.3.3 変調器

変調器については、変調度、ビーム集束性、ビーム特性、位相安定性について不備が残るが、今回は改造を見送ることとした。変調素子として、性能のよいものが開発されつつある現状で、2,3 年先の見通しは明るい。

### 6.4 仕様

以上の構想によつて改造した、レーザ波浪計の仕様は、次のとおりである。

#### 6.4.1 構成

ロックダイヤグラムを図 6.3.1 に示すように、同一光軸を持つ送信部、受信部およびエレクトロニクス部より成る。破線は、非改造部分である。

#### 6.4.2 各部仕様

##### (1) 送信部

###### (a) ガスレーザ

###### (i) 型名

NEC GLG 2016

(ii) 波長 He-Ne 6328 Å

(iii) 出力 15 mW 以上

###### (2) 受信部

###### (a) 受信光学系

(i) 受信視野 20 m 光で約 30 mm Φ の視野絞り付き

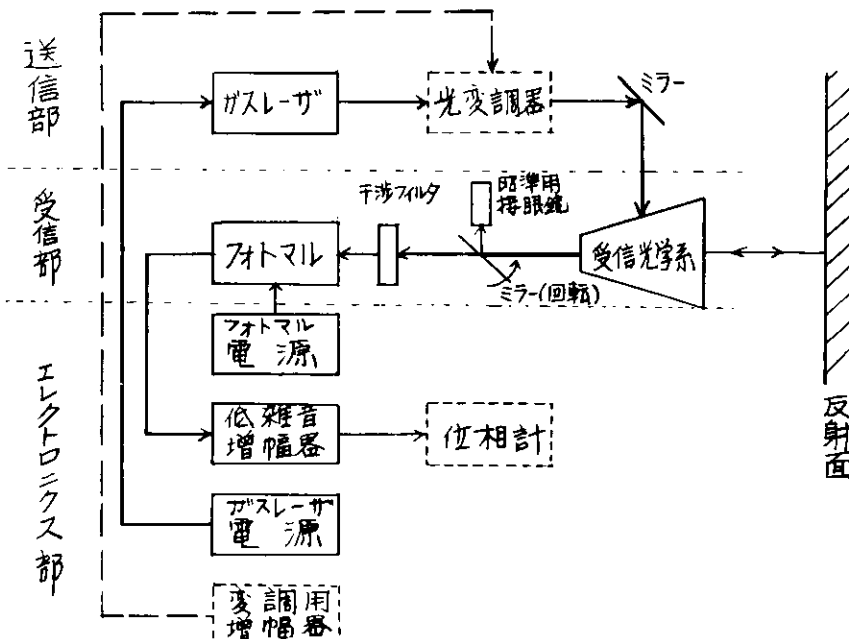


図 6.3.1 レーザ波浪計改造のブロック図

- (ii) 有効口径 約 100 mm  $\phi$
  - (iii) 照準用接眼鏡 ミラーにより受信切換使用
  - (b) 干渉フィルター
    - (i) バンド幅 約 20 Å
    - (ii) 透過率 65% 以上
  - (c) フォトマルケプライヤ
    - (i) 型名 RCA - 8645
- (3) エレクトロニクス部
- (a) ガスレーザ電源
    - (i) 型名 NEC GLS 2016
  - (b) フォトマル電源
    - (i) 型名 John-Flake Model 412B
    - (ii) 出力電圧 0 ~ ± 2100 V D.C.
  - (c) 低雑音増幅器
    - (i) 中心周波数 7.5 MHz
    - (ii) 帯域幅 ± 10 KHz 以下 (3 db down)
    - (iii) 雜音指数 6 db 以下
    - (iv) 利得 約 40 db
    - (v) 入出力インピーダンス 50 Ω
    - (vi) 最大出力電圧 0.5 V peak 以上
- (4) 機械構造
- (a) ベンチ  
送信部および受信部を同一光学ベンチエ位に固定。送受の実装は注意に行なえること。
  - (b) エレクトロニクス部  
標準架台装備。

## 7 反射型波浪計

### 7.1 反射型波浪計本体

#### 7.1.1 まえがき

1. 研究概況において述べられているように、船舶搭載型波浪計として、船体近傍の波浪を、船との関連において観測するためには、現時莫においては、青雲丸に搭載されている出合波浪計システムを用いるのが最善であろうとの議論が昨年度の委員会でなされた。その結果、本年度において、7.1に述べる反射型波浪計の製作とともに、これに関連する波浪計用船首支柱の設計、船側水位と波高の関連、および、船体近傍の動的水位変動についての模型実験の諸研究が行なわれることになった。本年度に入り、実船試験において使用する波浪計の種類の決定についてさらに検討が続けられた結果、実船試験には、投棄ブイおよびレーダー波向計を採用することに決定した。しかしながら、同時に、反射型波浪計本体は、計画どおり製作、性能試験を行なった後、必要なときには、適当な工事を行なえば使用できる状態で保管することも決定された。7.1においては、その反射型波浪計本体について述べる。

#### 7.1.2 反射型波浪計の原理

反射型波浪計は、波高測定のセンサとして、電磁波の水面による反射を利用するため名づけられたものである。これを、実船に装備した状態を

図7.1.1 波浪計シス

テムを図7.1.2に示す。

このシステムは、センサと水面との相対距離を計測するレーダー波高計、センサの変位を計測する上下加速度計、加速度より上下変位を求める二重積分回路、相対波高とセンサの上下変位より絶対波高を求める演算回路、有義波高を求める演算回路、相対波高、絶対波高、上下加速度等の出力を

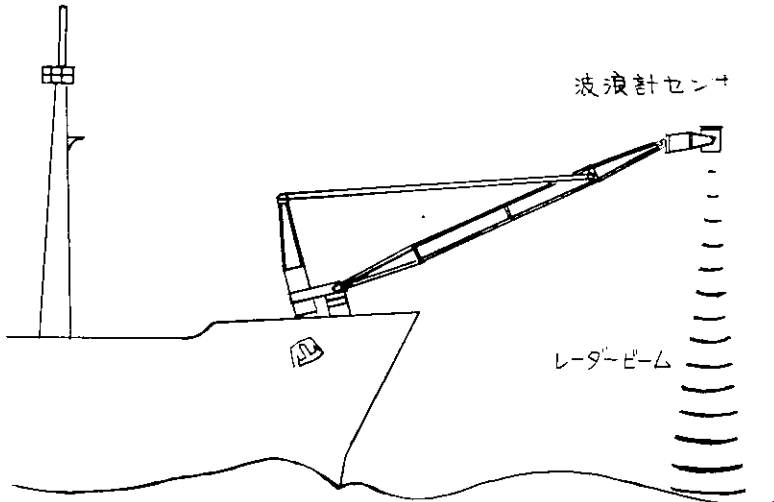


図7.1.1 反射型波浪計の概略

記録する記録装置、センサを納めるドームを、電波の発射方向がつねに正確に垂直下方になるように制御する人工水平面設定装置等によりできている。

レーダー波高計は、変調波位相差方式の電波距離計である。すなわち、送信ホーンより水面に発射される電波を適当な変調周波数  $f$  MHz で振幅変調する。水面よりの反射波は、距離によって定まる変調波のある位相で受信ホーンに受信される。そこで、この位相を測定することにより、距離を求めることができる。位相測定が、 $0 \sim 180^\circ$  の範囲で、 $\pm 0.1^\circ$  の精度で測定できれば、測定可能な最大波高  $H_{MAX}$  は、変調波の波長を  $\lambda_m$  とすれば、

$$H_{MAX} = \lambda_m / 2$$

であり、測定精度  $\Delta H$  は、

$$\Delta H = \lambda_m \Delta \theta / 360$$

となる。この反射型波浪計では、 $\lambda_m = 80\text{ m}$ 、すなわち、 $f = 3.75\text{ MHz}$  に選んだ。測定精度は、位相差測定器の精度に依存する。土  $1^\circ$  で測定できれば、 $0 \sim 40\text{ m}$  の距離を、ほぼ  $0.2\text{ m}$  の精度で測定できることになる。

レーダー波高計より出る電波ビームは光のビームのように細いビームにはならず、広がりを持った指向性をもつ。指向性はホーンの径と波長の比を大きく

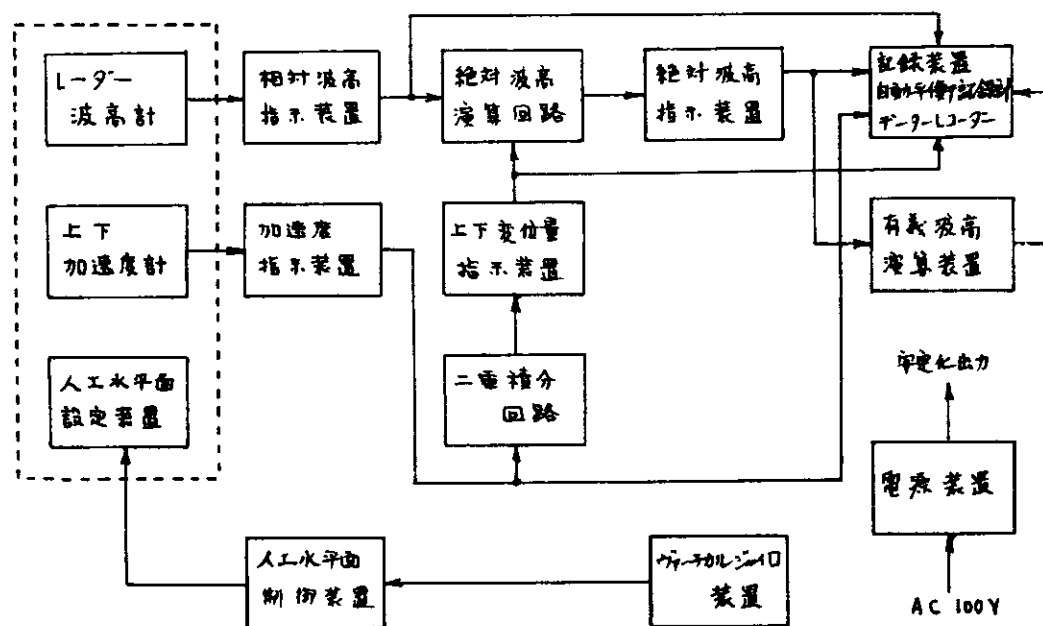


図 7.1.2 波浪計システムのブロックダイヤグラム

することによって改善されるので、寸法に制限のあるときは、短波長の方が多くのビームが得られる。波高の測定値を正確に定義するには、電波反射面の面積が小さい必要があるので、この波高計では、30 GHz のミリ波を採用した。

### 7.1.3 反射型波浪計の仕様

本波浪計は、青雲丸搭載の出合波浪計と原理的には同じであるが、いくつか改良点がある。まず、概略の仕様を述べ、次に青雲丸のものとの比較、主要部分の性能を説明する。

#### (1) 仕様

仕様を表7.1.1に示す

表7.1.1 反射型波浪計仕様

1. 主要性能		
測定範囲	相対波高	20 ± 17 m
	絶対波高	0 ± 17 m
測定精度	相対波高	± 0.5 %
	絶対波高	± 2 %
波周期	1 ~ 20 sec	
人工水平面	設定角度	ローリング 0 ~ ± 40°、ピッチング 0 ~ ± 10°
	精度	± 0.5 °
記録	出力	0 ~ ± 5 V, 20 mA
	記録成分	絶対波高、相対波高、有義波高、上下変位、上下加速度
電源	記録器	自動平衡記録計、データレコーダー
	ドーム部重量	AC 100V ± 10V
ドーム部重量		ドーム 30 Kg, 駆動部 80 Kg 合計 110 Kg

#### 2. 各部性能

レーダ波高計	測距方式	変調による位相差方式
	測定範囲	3 ~ 37 m
	精度	± 0.5 %
	電源	送信周波数 30 GHz
		電源の形式 持続波振幅変調
		変調周波数 3.75 MHz
		変調度 10 %
	送信ビーム	ビーム半值幅 5.7°、20m 距離ご直径 2 m
	記録用出力	0 ± 5 V, 20 mA

上下加速度計	検出方式	磁歪式
	測定範囲	± 1.5 g
	精度	± 0.01 g
	ドリフト	0.2% / 4時間
	応答周波数	200 Hz
	制御方式	バーチカルジャイロ 傾斜角によるワード制御
人工水平面 設定装置	設定角度	ローリング "0 ~ ± 40° ピッキング "0 ~ ± 10°
	精度	± 0.5°
	周波数レスポンス	± 40° で 0.09 Hz, ± 10° で 0.36 Hz
バーチカル ジャイロ	検出範囲	ピッチ、ロールとも ± 70°
	起立精度	± 0.2°
	自立速度	2°/分 ~ 6°/分
	検出器	ポテンショメータ 分解能 ± 0.2°
演算回路	出力	0 ~ ± 10 V
	方式	アナログ演算式
	振幅特性	周期 1 ~ 20 sec で 0.1 db 以内
	位相遅れ	周期 1 ~ 20 sec で 5° 以内
	ドリフト	1%、ドリフト補償付
	入力電圧	0 ± 10 V
有義波高 演算回路	方式	アナログ演算式
	波周期	1 ~ 20 sec
	ドリフト	± 0.5%
	精度	± 2%
電源装置	入力	AC 100 V ± 10 V, 15 A, 50 ~ 60 Hz
	出力	DC 6.3 V 1 A
		DC 2500 V 40 mA
		DC -200 V 10 mA
	計測用	DC ± 15 V 3 A 精度 0.05%
その他	ドーム部をドームと駆動部に分割し、可搬型とする。 電気計測部は、二つのラックに分割し、自動平衡記録計、バーチカルジャイロをその一方に納める、データレコーダは独立させ、データレコーダ用の端子をパネル面にもうける。	

## (2) 青雲丸の波浪計との比較

青雲丸の波浪計と本波浪計の仕様上の主な相違点を表 7.1.2 に示す。そのうち重要なものについて説明する。

表 7.1.2 青雲丸波浪計との相違点

	青雲丸	本波浪計
相対波高	10 ± 7 m	20 ± 17 m
出合波浪周期	1 ~ 30 sec	1 ~ 20 sec
有義波高	指示なし	指示あり
電波周波数	9.65 GHz (セニタ波)	30 GHz (ミリ波)
ビーム幅	20 m の距離で 2 m 中	10 m の距離で 2.6 m 中
二重積分	時定数の小さいフィルタ	時定数の大きい (600sec) フィルタと時定数切換回路
ドリフト補償	で補償	
ドーム部	人工水平台 2 台 全重量 160 Kg	人工水平台 1 台 全重量 110 Kg
ケーブル	中継箱なし	中継箱でケーブルを連結 可搬型として便利

### (a) ドーム部

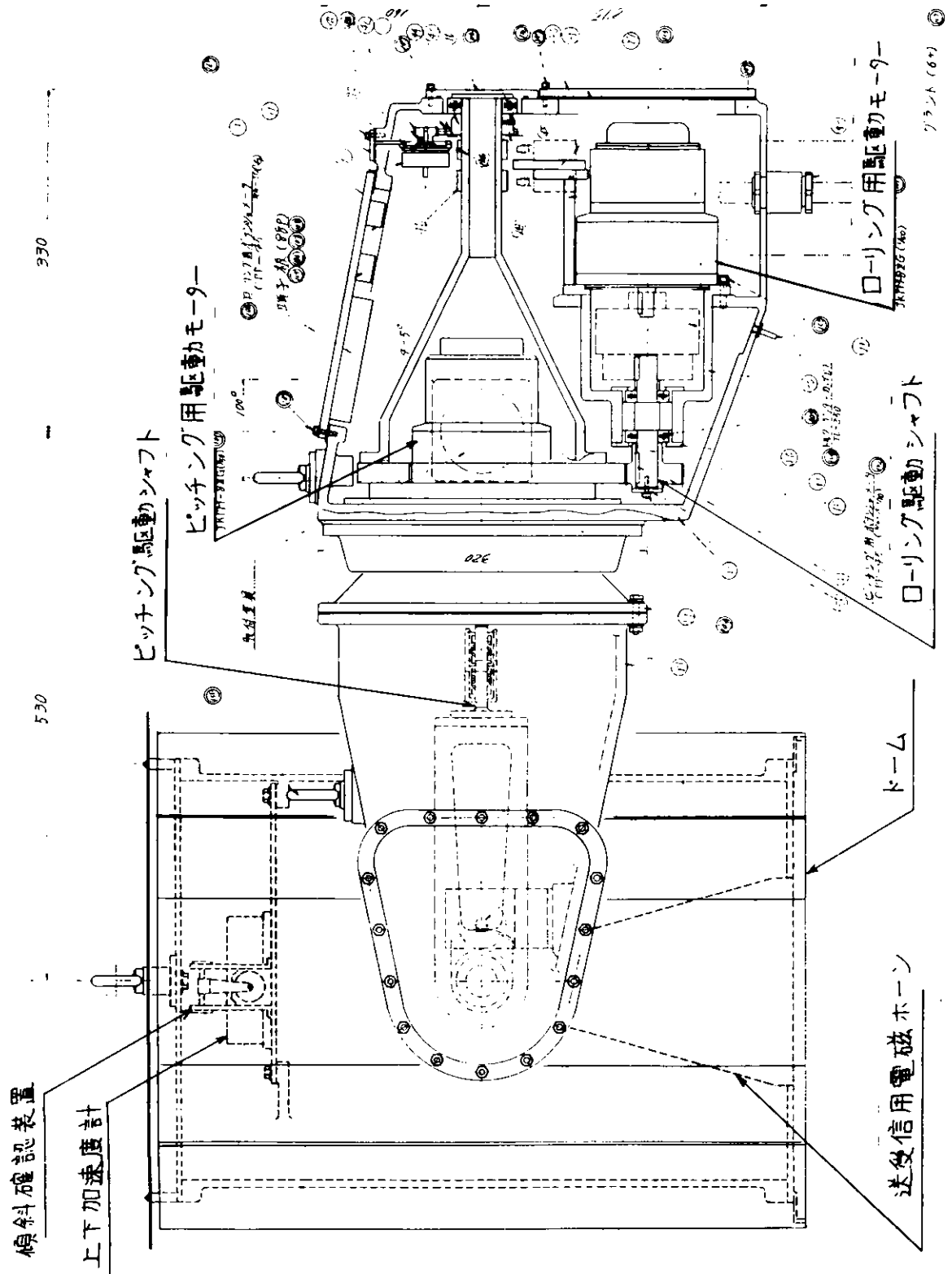
人工水平台の性能を向上させ、青雲丸のヒミレーダ波高計用と加速度検出部用の 2 台使用したのにに対し、1 台だけにした。また、ドーム部を、ドームと駆動部とに分け、レーダ波高計電磁ホーンおよびマイクロ波立体回路、加速度検出部、付属電気回路を 1 つの小さな防水ケース ( $480 \times 640$ ) に収容して、人工水平台駆動機構部に連結し、青雲丸に用いた大きな形状のドーム ( $980 \times 1050$ ) は使用しないようにした。この構造を、図 7.1.3 に示す。

### (b) 電気装置部

青雲丸のものと仕様がことなること、および、装置の小型軽量化のため、毫気回路においてかなりの改造を実施した。

#### (i) ミリ波の採用

ビーム幅を狭くすることおよび小型軽量化のために、搬送周波数を約 3 倍の 30 GHz のミリ波に上げた。クライストロン発振出力は、青雲丸とほとんど同一 ( $150 \text{ mW}$ ) であるが、電磁ホーンの利得が、青雲丸に比し 12 db 高くなつたため、受信レベルとしては 24 db (約 250 倍) 増加したことになる。



7.1.3 反射型波浪計ドーム部の構造

#### (ii) 二重積分回路のドリフト補償

積分器入力に、直流または超低周波の変動があると、積分出力にドリフトとなって現われ、精度を低下させる。これを防止するため、積分コンデンサーに並列に抵抗器を接続し、直流または超低周波数の電圧が積分コンデンサーに積分されるのを放電させて、ドリフトを抑える回路にしているが、その時定数を必要とする周期に比して十分大きくしておかないと、振幅誤差と位相遅れを生ずる。

しかし、時定数が大きいと、何等かの原因で入力に大きなドリフトの原因になる信号が発生したときに、ドリフトが出力に現れるが、この回復に長時間/を要する。

この回復時間を短縮するために、積分がある一定レベル(計測振幅以上の値)に達すると、自動的に抵抗値を下げて時定数を小さくし、速かに積分出力を零にもどす動作をこなす回路を用いた。積分出力が、最初零に達すると抵抗値をさらに高い値に切換えて時定数を上げ、再び零に達したときさらに高い抵抗値に切換える。この操作を数回繰返した後、正常状態の時定数に短時間にもどすことができる。この操作を行なっている期間は、出力に異状データを表示する。青雲丸では、このような時定数切替は行なわず、時定数をやや小さな値にし、ドリフトの補償を行なったため、出合波浪周期の長方で、大きな振幅の低下および位相遅れが出た。今回の積分器特性は、周期 20 sec で、振幅低下 0.1 db 以内、位相遅れ 5° 以内である。

#### (iii) レーダ波高計 AGC 回路

レーダ波反射の受信レベルは、海面の波傾斜の状態により、80 db 程度の変動が予想される。このレベル変動に対し位相ひずみを起こさない AGC 回路が必要である。

変調周波数増幅回路のみで 0 ~ 80 db の AGC 特性を持たせるのは困難であるので、マイクロ波受信回路に約 0 ~ 50 db の AGC 用減衰器を設け、さらに、3.75 MHz の増幅回路中に PLL (Phase Locked Loop) 回路を用いて、約 0 ~ 40 db の AGC 特性を持たせ、全体として 0 ~ 80 db の間で位相ひずみなく増幅することができる。

青雲丸では、変調周波数増幅回路(7.5 MHz)のみで、約 0 ~ 60 db の AGC 特性を持たせているが、位相ひずみを精度内に保つのは調整が困難であった。

#### (iv) 有義波高演算回路

波高を自乗演算回路によって自乗した後、平均値を求めて有義波高を指示するとともに記録する。平均値の算出は、アナログ量をその電圧に比例する周波数に変換した後、デジタルカウンタで積分し、D-A 変換する。平均時

間は5分とし、メモリ回路を2回路設けて平均値をホールドし、5分毎の有義波高を測定時間中連続指示する。

#### (V) 加速度検出部および積分器の安定化

この部の安定度は、本波浪計の精度保持上最も重要なので、電源は、二重の安定化回路を使用し、電気部品は、温度湿度特性を特に注意した。

#### 7.1.4 性能試験

この波浪計について、実船試験で起るような条件のもとで総合性能試験を行なうことは、そのような大きな動搖や変位を与える施設がないので、陸上では不可能である。実船に搭載して試験する以外に方法がないと思われる。そこで、今回行なった性能試験としては、各部の性能をそれぞれ試験すること、および、陸上で可能な範囲で総合性能試験を行なうこととに限られた。

実施した性能試験項目は、次のとおりである。

##### (1) レーダ波高計

###### (a) 距離検定

###### (b) 波傾斜による受信レベルの変化

##### (2) 上下加速度計

###### (a) 重力加速度による検定

###### (b) 水平加速度の影響

##### (3) バーチカルジャイロ

###### (a) 旋回水槽による水平加速度試験

##### (4) 加速度計上下変位試験

###### (a) 可変周期の上下変位検定

##### (5) 人工水平面制御試験

###### (a) 傾斜台による水平度試験

###### (b) 変動傾斜角に対する制御精度試験

##### (6) 総合性能試験

レーダ波高計と上下加速度計および二重積分回路を組立て、大型上下動試験機によって総合性能試験を行なう。

###### (a) 絶対波高の検定

###### (b) 相対波高、絶対波高の周期の変化による振幅特性、位相ずれ

## 7.2 船首支柱の概略設計

### 7.2.1 前言

レーダー反射型波浪計を船体のどこに装備するのが最善かは、船体によるどのよきりの大洋波の搅乱をうけた場合の性状をとる必要がある。しかししながら、規定には次の諸条件により、船体からの張り出し量は、有限で且つ絶対値的に大きな値をとることが出来ない。

(1) 支柱を設置する周囲の船体構造、及び配置により張り出し量に制約がある。

(2) 設備費上効率のよい張り出し量は、波浪計の計測可能な範囲内で、少なければ少ないう程度。

以上を考慮し検討の結果、支柱張り出し量の概略値は、次の如くとなった。

(1) 船体側面に設置の場合 ----- 船側より約 0.1 B

操作上の便を考慮した場合、船橋側部がよい。

(2) 船首部に設置の場合 ----- 前部垂線前方、約 5 ~ 6 % L<sub>PP</sub>

後述の如く、7.3 船体近傍の波浪の搅乱影響の計算、並びに 7.4 模型による実験等で、計測結果に対する修正量は船体前部及び側面とも比較的大きいものと分るが、船首前部の方が若干状況がよしと判断される。

従って、支柱については、船首前部のものについて検討することとした。

以下に検討の概要を述べることとする。

### 7.2.2 船首支柱の概要設計

#### (1) 取付台設計条件

取付台の設計は、波浪計の計測精度等より、下記条件に従った。

(a) 波浪計重量 100 Kg (直径: 約 1 m).

(b) 波浪計支持点 L.W.L. 上 20 m, F.P. 前方 15 m.

(c) 波浪計耐震性 1 G ± 1.5 G.

(d) ケーブル 15 ~ 16 本 (まとめて直径 3 cm).

(e) 設置対象船 笠井丸

$$(L \times B \times D \times d = 247.0 \times 40.7 \times 23.0 \times 16.0)$$

構造は耐震性を考慮して鋼構造とし、また波浪計の取付け、格納の便宜を計り、ターンテーブルを傾斜させた。なお、駆動源は、設置対象船が船口操作のために装備している油圧装置を使用することとした。

船上取付位置は、上記条件より、図 7.2.1、図 7.2.2 に示す通り船首樓前方甲板上となる。

#### (2) アーム設計方針

アームの設計条件として要求される事項には、下記のものがある。

- (a) 波浪計の計測精度上、振動を抑えること。
- (b) 波浪等の外力に耐え得ること。
- (c) アームを甲板に取付けることによる、船体への外力を極力小さくすること。
- (d) 本船の運転に支障のないこと。(特に、見通し、係船等。)
- (e) 船体への取付けが容易であること。

これらのこと考慮して、図7.2.3及び図7.2.4に示す通りの構造とした。アーム寸法は、波浪計支持点の条件より約15mとなり、相当重い自重(表7.2.1参照)となるので、耐震性を考慮し、アームは起倒式とせず固定し、タワーを立て、ハンギング・アームとアームの中間点を吊る構造とした。

波浪計の未使用時は、アームを船内に引き込んで格納する方式とする為に、アームを旋回格納するターンテーブルを設け、図7.2.8に示す旋回リングを用いた。

アームの波浪計取付け位置は、甲板上10m近くあり、アーム収納位置での波浪計の着脱が非常に困難であるので、ターンテーブルを傾斜させ、アーム振り出し位置に於ては、L.W.L上20mの位置に波浪計がくさと共に、収納位置では甲板上4mの位置に波浪計がくさようとした。

また、設計条件より、個々の部分に対して、設計上留意した点は次ぎの通りである。

#### (a) アーム

強度上、耐震性上、大きな剛性を要求されるので、アームは4本のハイアード構成した。また、4本のハイアードの相互固定位置は、座屈等を考慮して決定した。

ハンギング・アームとの支持点位置は、耐震性及び強度上より決定した。

#### (b) ハンギング・アーム

アームの耐震性上、ワイヤーを使用せずハイアード構造とし、また座屈等の強度上適当な間隔でリンクを設けた。

組立を容易にする為、及び節点部の応力を軽減する為にアーム及びタワーとの接続部はヒンジ構造とした。

#### (c) タワー

タワー基部に働くエーメントを軽減する為に、中心点に対しタワーをアームと反対側に取付けると共に、バランス・ウェイトを取り付けた。

本船の操船時の見通しをよくする為に、高さは強度上許す範囲内で最小となるようにした。

#### (d) デッキ・スタンド

船体への取付けを容易にすると共に、デッキの応力集中を避け、且つ船体

の補強を最小にする為、デッキ・スタンド底部は、デッキ・ロンジに乗るよう箱型とした。

アームの振動に関しては、振動数を船体固有振動数より大きくなるように設計し、電算機により詳細検討を行った。

計算は、アームを一様断面とみなし、タワーを剛体と仮定し、基部に上下の強制振動を与え、撓み振動として取扱った。

その結果は、下記の通りであり、設計条件を充分満足するものと考えられる。

- (a) 固有振動数は、1次モードで15 C.P.S. 程度である。
- (b) アーム先端の振幅の、基部の振幅に対する増加率を、パーセントで表すと次の通りである。
  - (i) 周期11秒程度のピッキングに対して1%以下である。
  - (ii) 船体固有振動数(40~50 C.P.S.)程度に対して5%位である。

#### (3) 付属装置

ターンテーブルを傾斜させたことにより、アーム振り出し点での固定に留意する必要がある。本装置に於ては、ウォーム・ギヤ(図7.2.9参照)を使用し逆転を防止すると共に、操作油圧回路(図7.2.10参照)をロックすることにより固定することとした。なお一層の安全の為には、ラッピング・チェーンを設けた。

波浪計の着脱作業の為に、波浪計吊上げ台(図7.2.7参照)及び作業台(図7.2.6参照)を設けた。波浪計吊上げ台は、アーム格納位置でのアーム固定の為にも使用するものとした。また、此等の配置については図7.2.5に示した。

波浪計の固定は、波浪計に耳を付け、耳を門にて押え、門をピンにて固定するものとした。

ターンテーブルの旋回速度は、0.25 r.p.m. とし、モーターは15 PS. のものを使用することとした。

なお、以上の方針で概略設計をした船首支柱の重量表を表7.2.1に、また価格表を表7.2.2に示した。

#### (4) 問題点

本検討は、船首支柱の製作費用算出の為の概略検討であり、詳細設計の前段階のものである。詳細設計に於ては、なお次ぎの事項について検討を要するものと考えられる。

(a) 船首前方の波浪が、バウに沿って打上れる波に対し未検討であり、詳細設計に於ては、考慮すべき問題である。例えば、アームの波が当ると想われる部分を補強するとか、ラッピング・チェーンを設ける等である。

(b) 本案の如き波浪計吊上げ台と作業台を不要とする作業方法が無いか再検討が必要と考えられる。

(c) 本案に於けるアーム・ストップバーは図7.2.11に示す通りであるが、詳細設計に於ては強度上の再検討が必要と考えられる。また、アームを機械的に固定する機構のストップバーを検討する必要があると思われる。

表 7.2.1 重 量 表

部品名	部材名	材質	寸法	重量 (kg)	重量小計 (kg)
ARM	Pipe	STPG 42	150×38.6 <sup>M</sup>	1,067	
	Plate(B <sup>KT</sup> )	SS 41	6~12 mm t	636	
	" (Piece)	"	25 mm t	11	1,714
HANGING	Pipe	STPG 42	150×12.0 <sup>M</sup>	332	
ARM	Plate(piece)	SS 41	50 mm t	22	
	Plate(B <sup>KT</sup> )	"		10	364
POST	Plate	SS 41	10~16 mm t	4,500	
ARM, HANGING ARM, 旋回 ペアリング取付台 を除く旋回部分	"	"	35 mm t	173	
I.A.	"			50	
F.B.	"			100	
Plate(piece)	"	25 mm t	11	4,834	
	Ballanced Weight				
D <sup>K</sup> STAND	Plate	SS 41		1,100	
ペアリング台を除く固定部分	"	"	35 mm t	150	1,250
Total	(Ballanced Weight を除く)				8,162
作業台	(図-8 参照)				827
波浪計吊上げ台	(図-9 参照)				2,654
OIL MOTOR (台を含む)				(予想)	500
TOPPING UNIT				(予想)	350
GEAR				(予想)	320
旋回リング				(予想)	600
CONTROL STAND				(予想)	242

表 7.2.2 價 格 表

1. 波浪計支持台本体	一式 470万円
(含 ARM, HANGING ARM, POST, TURN TABLE, BALLANCE WEIGHT, SLEWING RING, REDUCTION GEAR, OIL MOTOR, DECK STAND 及び DECK F 補強)	
2. 作業台、吊上台、TOPPING UNIT, CONTROL STAND 及び HYDRO. PIPE	77万円
3. 取付費(含岸壁費2日分32.5万円)	45万円
4. 取外費(含岸壁費1日分17.3)	25万円
5. スクラップ代	△ 27万円
6. 一般管理費	50万円
	合 計 640万円

注 :

1. 波浪計本体の取付、取外し並びにテスト費用は別途。
2. 波浪計の配線工事一切不含。
3. 岸壁工事とし入渠せず。

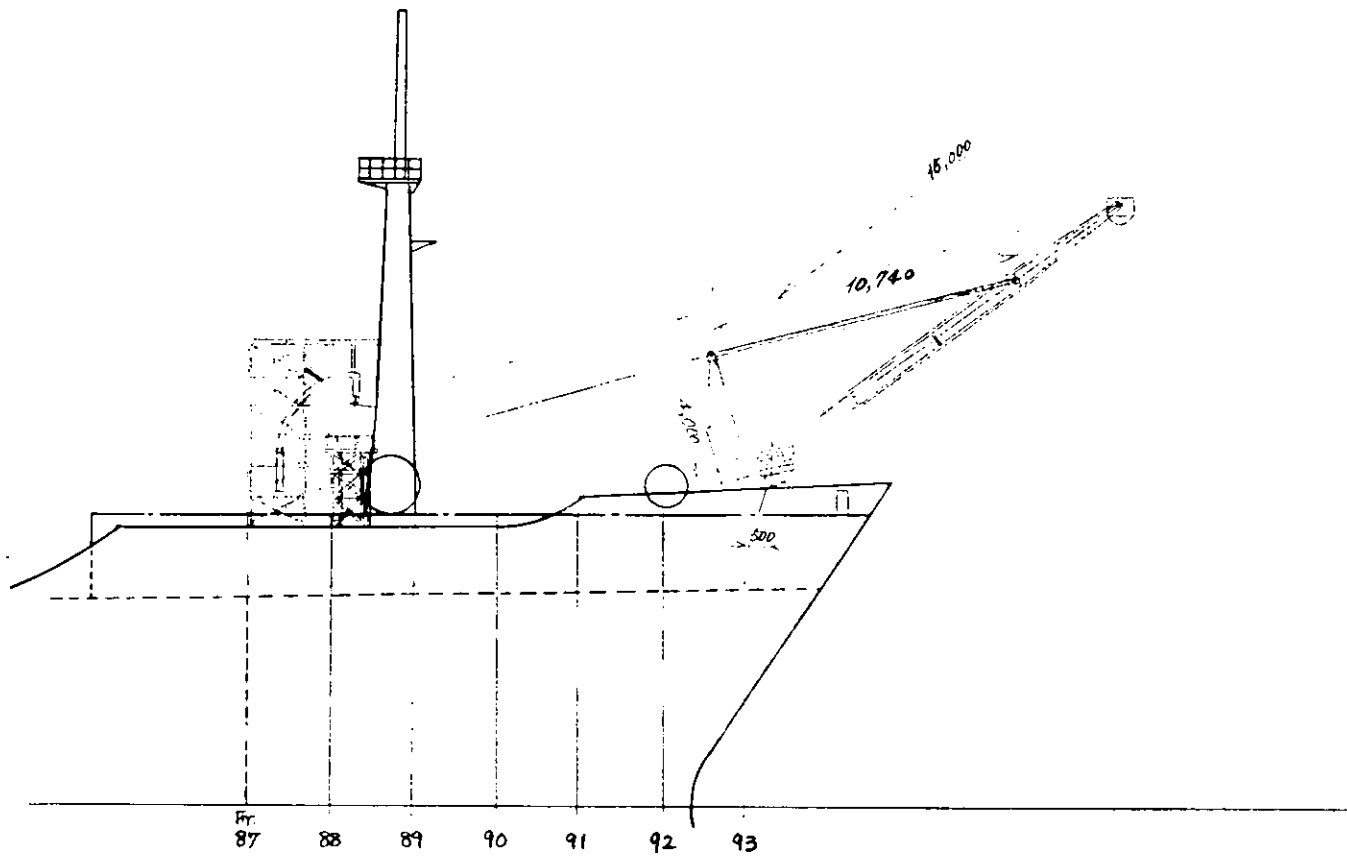


図 T.2.1 波浪計支持台配置図（側面図）

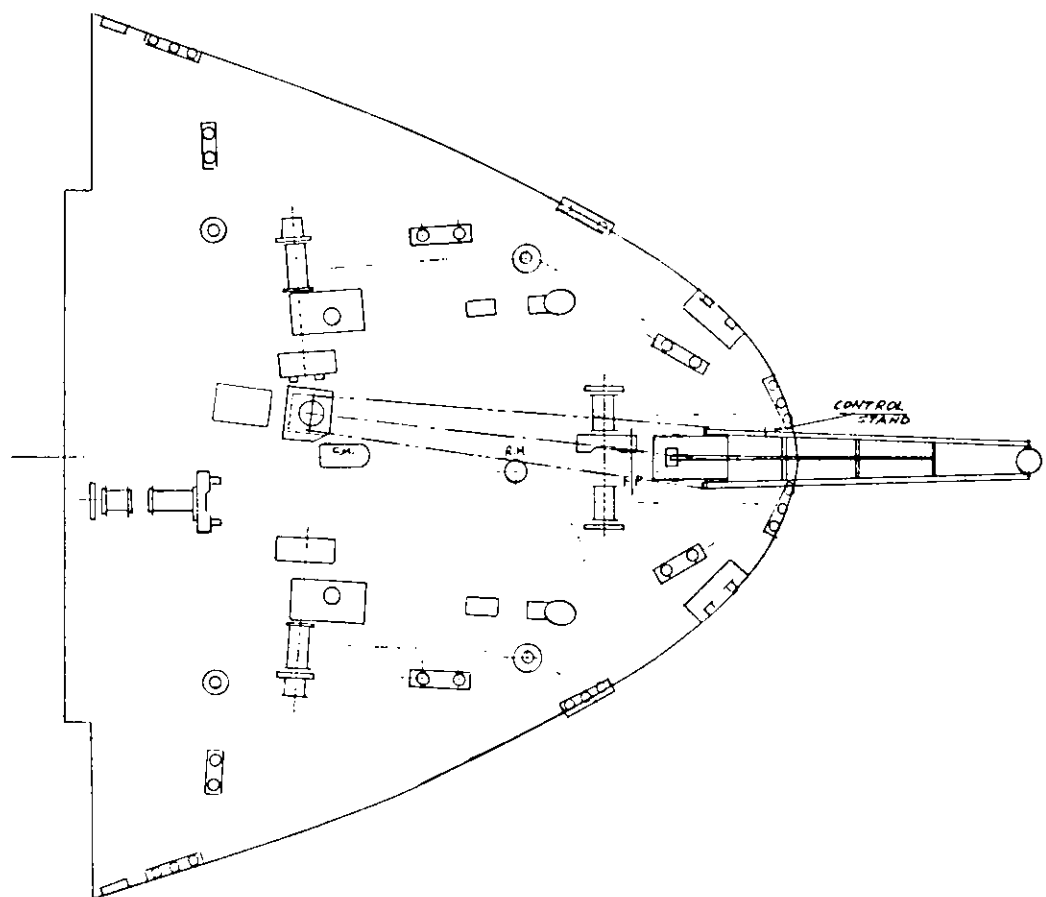
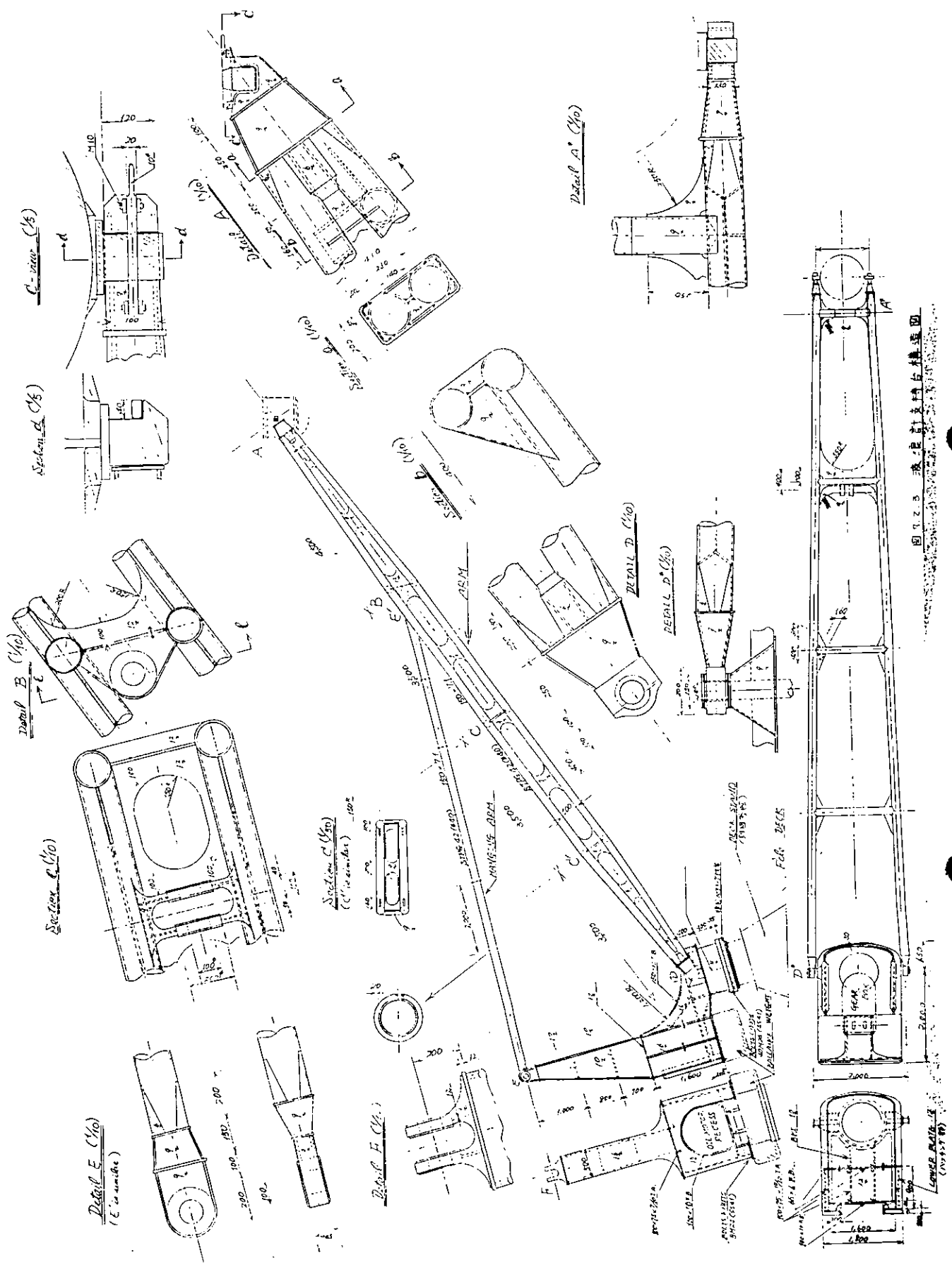
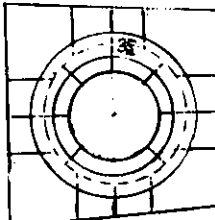
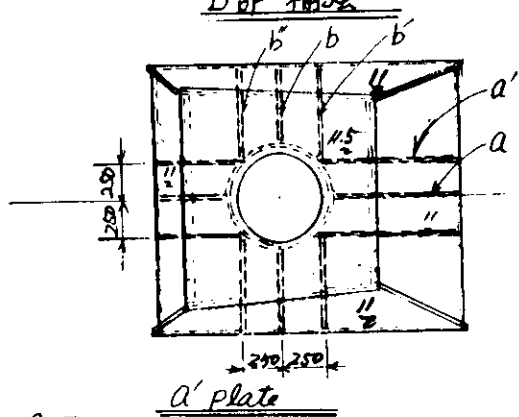
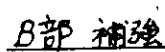
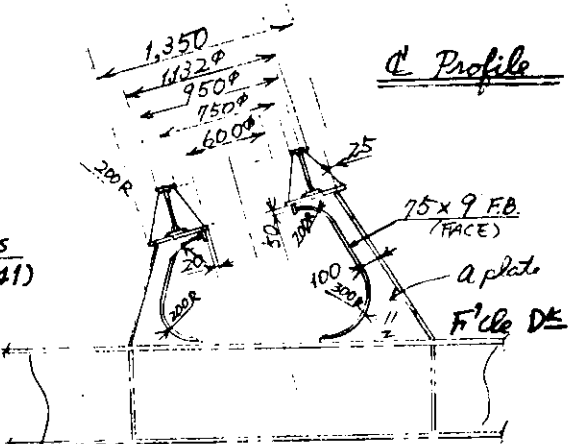
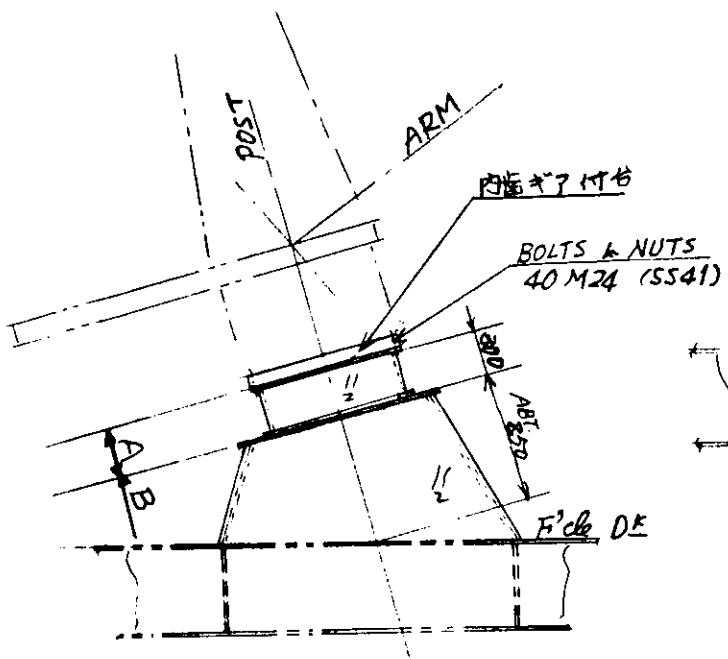
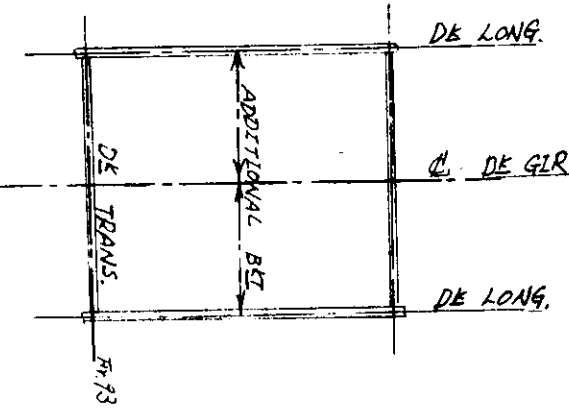
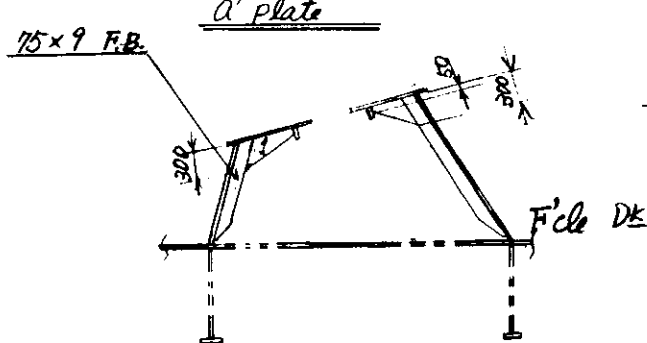


図 T.2.2 波浪計支持台配置図（平面図）

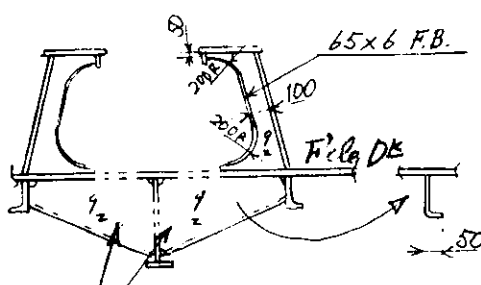
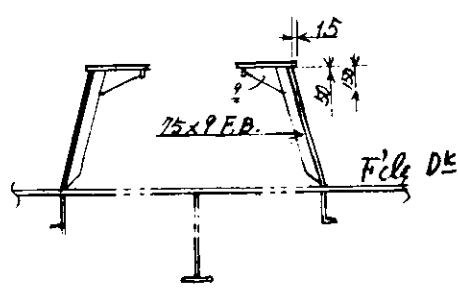




## A&F Bracket plan



b' plate  
(b' is similar)



additional bracket (船体補強筋)

図 7.2.4 テッキ・スタンド構造図

③1回波浪計吊上げ時の  
千石山を戸内ぐらんに設  
けたガイド・レールである。

① 波浪計吊上げ台

② 作業台

③ ガイド・レール

④ リッピング・ナリ

GUID RAIL

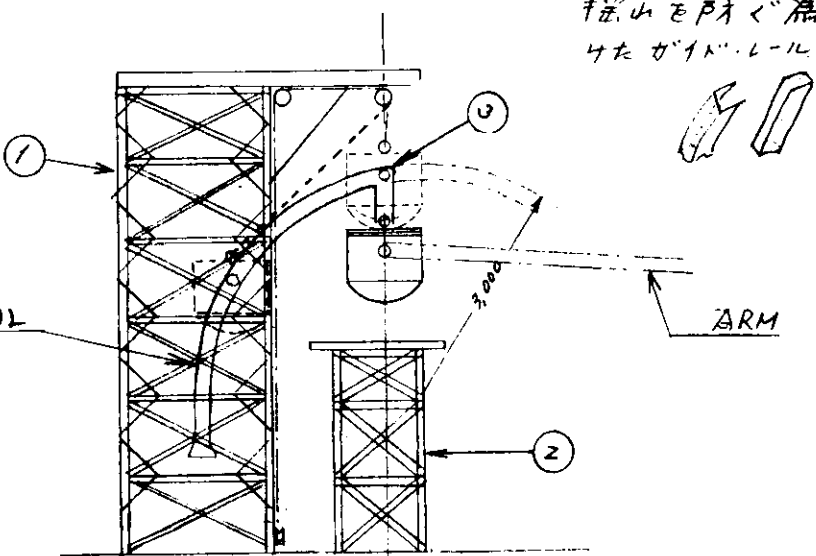


図7.2.5 波浪計吊上げ台及び作業台配置図

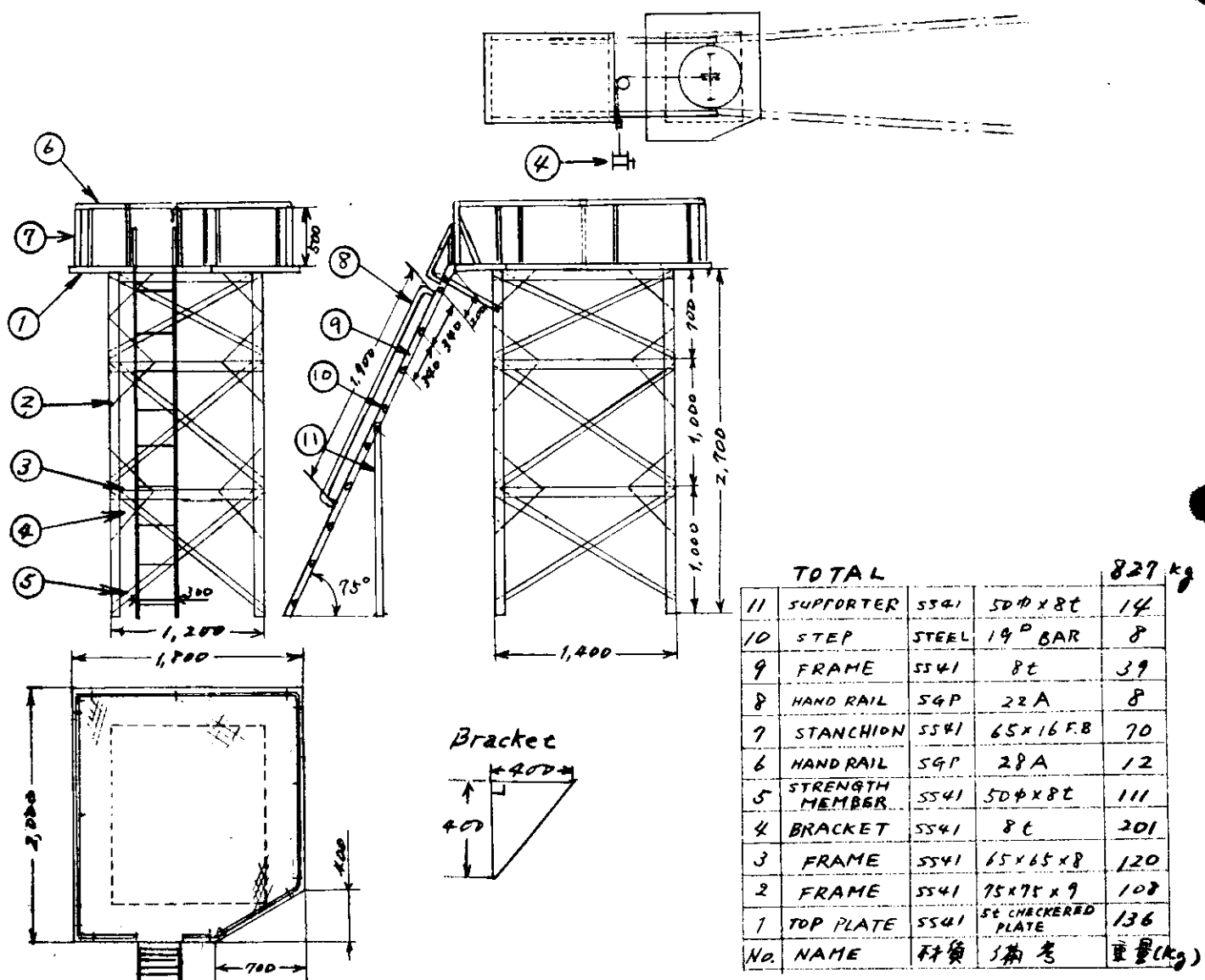
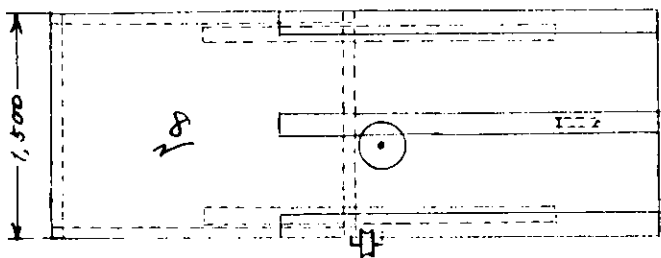
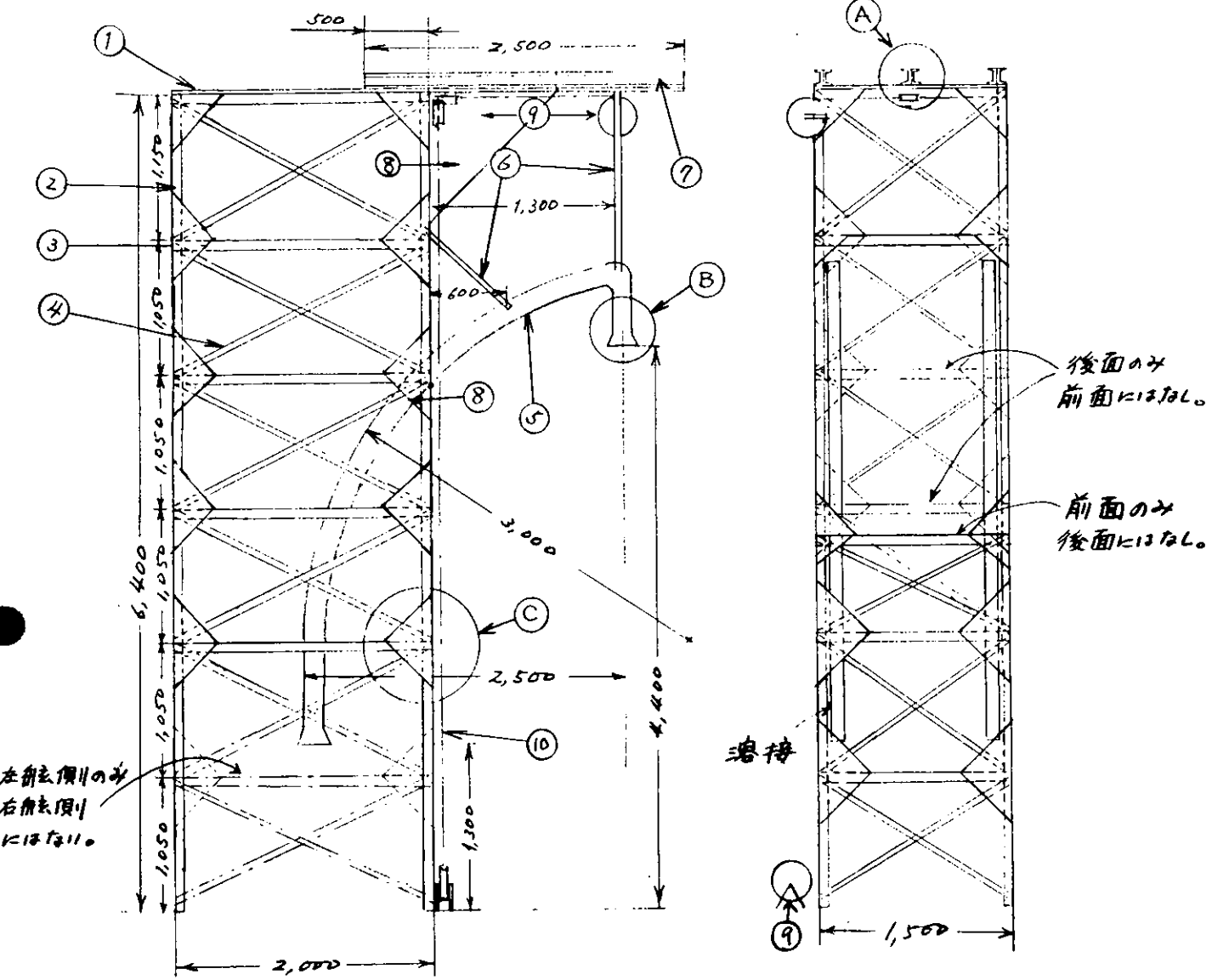
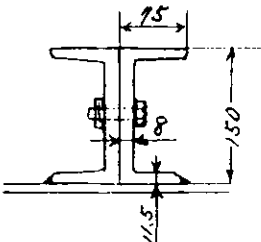


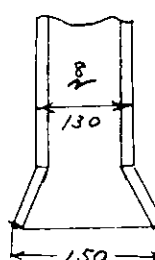
図7.2.6 作業台



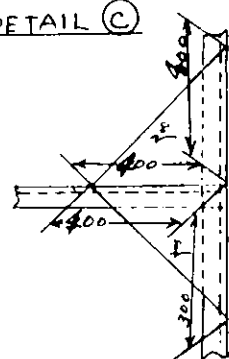
DETAIL A



DETAIL B

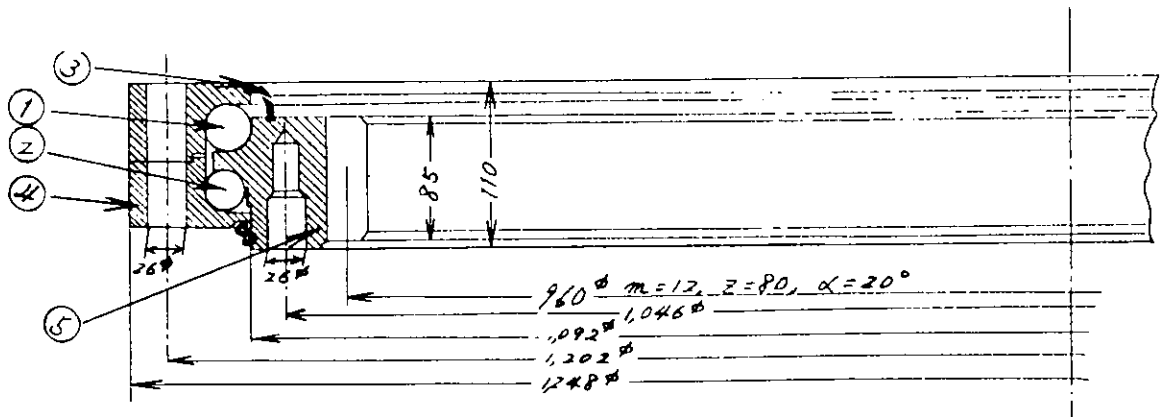


DETAIL C



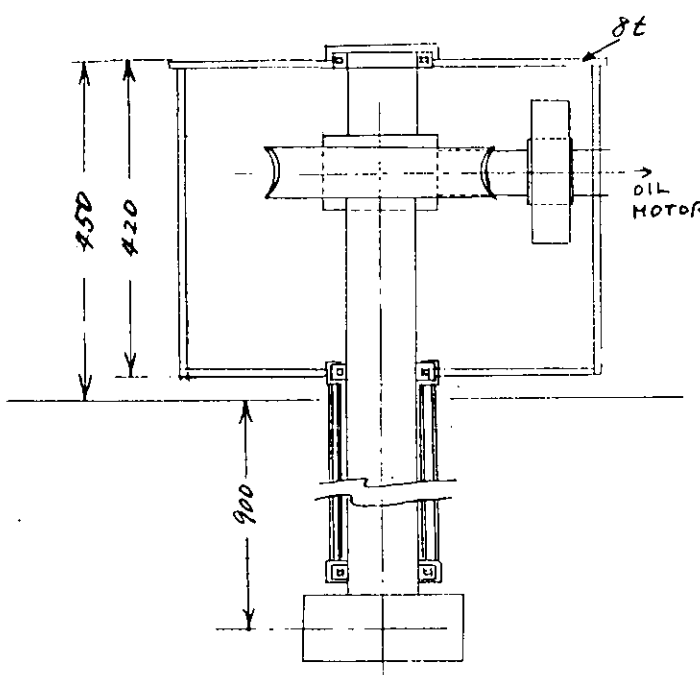
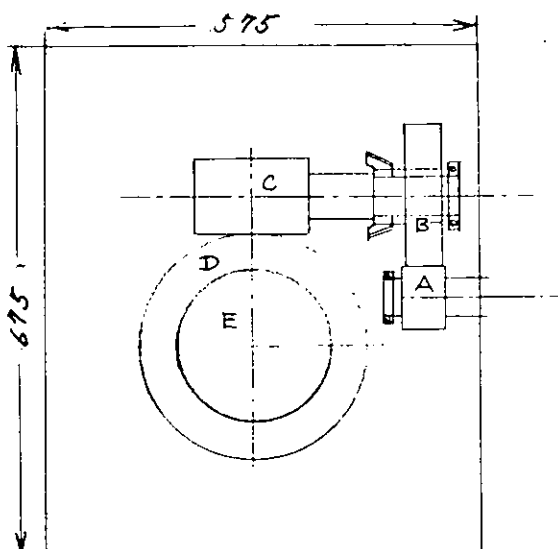
TOTAL			2,654
10	WIRE	8" (6x30) FSWR	6
9	E - 7	STEEL 230"	40
8	BRACKET	SS41 8T	402
7	RAIL	SS41 150x75x8	395
6	SUPPORTER	SS41 50" x 8T	8
5	GUID RAIL	SS41 8T	630
4	STRENGTH MEMBER	SS41 50x4x8T	252
3	FRAME	SS41 65x65x8	280
2	FRAME	SS41 70x70x8	213
1	TOP PLATE	SS41 8X	428
NO. NAME		杆頭	重量(kg)

圖 7-2-7 波浪計吊上岸台



1. 金剛球 SUJ2 1-3/8", 2 金剛球 SUJ2 1"  
3 防水シール  $\phi 77.0 - 77.2$  mm, 4 外輪 S48C 5 内輪 S48C

図7.2.8. 元定回りニゲ



GEAR TABLE						
MARK	NAME	SIZE	PCD	SH	ID	材质
A	PINION	4	21	84	55	S45C
B	WHEEL	4	47	188	50	S35C
C	WORM	8	1	100	150	S45C
D	WORM WHEEL	8	38	304	65	PBC-2A
E	PINION	12	17	204	90	SCH4
F	WHEEL	12	80	960	85	S48C

压力角 20° 速比 1/400

重量 BOX 115kg  
GEAR 205kg  
TOTAL 320kg (予想)

図7.2.9 三速歯車

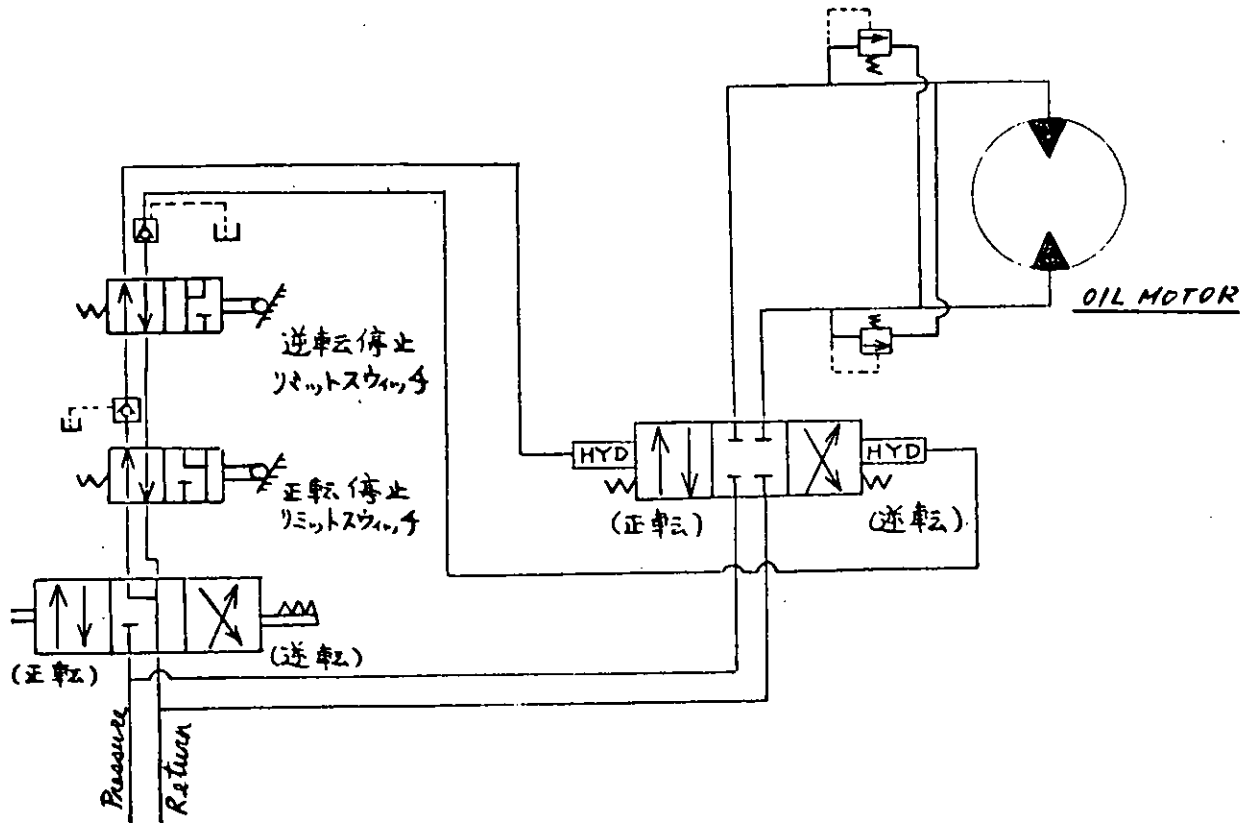
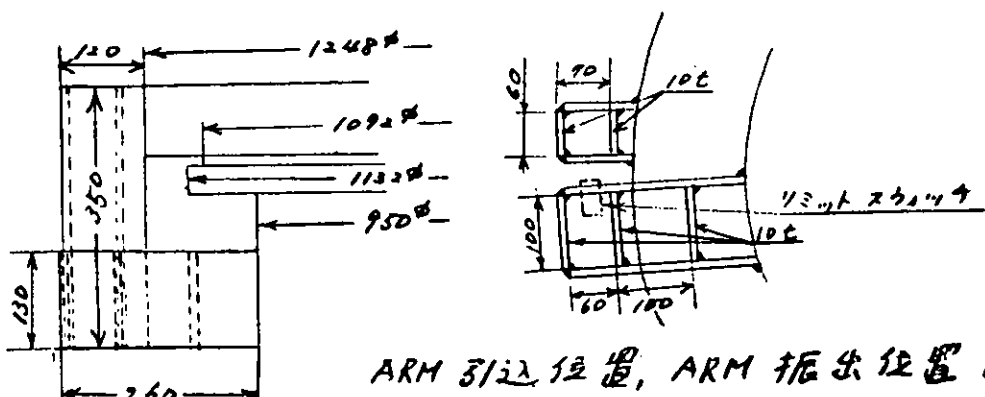


図 7.2.10 油圧回路図



ARM 3/2 仕立図, ARM 抜出位置 1:各々  
1倍目設け

図 7.2.11 アーム・ストラハ---

## 7.3 船体近傍の動的水位変動に関する理論計算

### 7.3.1. 船側水位と波高の関連

船側に取付けた相対水位計で、船体と波面との相対水位を測り、それから、船体動搖の変位を差し引いて波高を推定する場合、船が動搖することにより発生する波、および、船が波のオービタルモーションを乱すことにより発生する波のため誤差が入ってくる。

この誤差がどの程度のものか検討するため、田村<sup>1)</sup>の方法により、船側表面および、表面から少し離れた位置で、動的水位上昇を2次元的に計算し、波高計測誤差を求めた。

計算は笠木山丸<sup>2)</sup>のS.S. 1/2で行なったが、この位置を選んだのは、船側で計測する場合、計器取付、調整などの点からブリッジ付近が最も適当と考えたからである。

なお、模型実験との比較のためmidshipについても、1部計算を行なった。

#### (1) 計算方法

図7.3.1-1の座標系を用い、動搖を次のように表わす。

$$\left. \begin{array}{l} \text{上下揺れ: } z_g = z_{go} \cos(\omega_t + \epsilon_{zg}) \\ \text{縦揺れ: } \theta = \theta_0 \cos(\omega_t + \epsilon_\theta) \\ \text{左右揺れ: } y_g = y_{go} \cos(\omega_t + \epsilon_{yg}) \\ \text{船首揺れ: } \psi = \psi_0 \cos(\omega_t + \epsilon_\psi) \\ \text{横揺れ: } \varphi = \varphi_0 \cos(\omega_t + \epsilon_\varphi) \end{array} \right\} \quad (7.3.1-2)$$

この船体動搖による、船側での動的水位上昇は、Weather Side で次のように表わせる。<sup>3)</sup>

上下揺れに対し

$$\zeta_h = z_{go} \cdot \bar{\zeta}_h \cos(\omega_t + \epsilon_h + \epsilon_{zg})$$

縦揺れに対し

$$\zeta_p = -(x - x_g) \cdot \theta_0 \cdot \bar{\zeta}_h \cos(\omega_t + \epsilon_h + \epsilon_\theta)$$

左右揺れに対し

$$\zeta_s = y_{go} \cdot \bar{\zeta}_s \cos(\omega_t + \epsilon_s + \epsilon_{yg})$$

船首揺れに対し

$$\zeta_r = (x - x_g) \cdot \psi_0 \cdot \bar{\zeta}_s \cos(\omega_t + \epsilon_s + \epsilon_\psi)$$

横揺れに対し

$$\zeta_R = \frac{b}{2} \cdot \varphi_0 \cdot \bar{\zeta}_R \cos(\omega_{et} + \varepsilon_R + \varepsilon_\varphi) \\ + OG \cdot \varphi_0 \cdot \bar{\zeta}_s \cos(\omega_{et} + \varepsilon_s + \varepsilon_\varphi)$$

一方、入射波

$$h = h_0 \cos(kx \cdot \cos X - ky \cdot \sin X - \omega_{et}) \quad (7.3.1-3)$$

のオービタルモーションを乱すことによる動的水位上昇は、Weather Side で次のように表わせる。<sup>3)</sup>

オービタルモーションの上下方向成分に対し

$$\zeta_{zw} = -h_0 \cdot \exp(-kd) \cdot \left(\frac{\omega}{\omega_e}\right)^2 \cdot \bar{\zeta}_H \\ \times \cos(\omega_{et} - kx \cdot \cos X + \varepsilon_H)$$

オービタルモーションの左右方向成分に対し

$$\zeta_{yw} = -h_0 \cdot \exp\left(-\frac{1}{2}kd\right) \cdot \left(\frac{\omega}{\omega_e}\right)^2 \cdot \bar{\zeta}_s \\ \times \sin X \cdot \cos(\omega_{et} - kx \cdot \cos X + \frac{\pi}{2} + \varepsilon_s)$$

} (7.3.1-4)

したがって、船体と波面との相対水位から船体動揺の変位を差し引いたものは

Weather Side で

$$\zeta = \zeta_0 \cos(\omega_{et} + \varepsilon_\zeta) \\ = h + \zeta_H + \zeta_p + \zeta_s + \zeta_Y + \zeta_R + \zeta_{zw} + \zeta_{yw}$$

Lee Side で

$$\zeta = \zeta_0 \cos(\omega_{et} + \varepsilon_\zeta) \\ = h + \zeta_H + \zeta_p - \zeta_s - \zeta_Y - \zeta_R + \zeta_{zw} - \zeta_{yw}$$

} (7.3.1-5)

となる。船側の波高計で計測されるのはこのうちであるから、波高計測誤差は  $(\zeta_0 - h_0)/h_0$  である。

## (2) 計算結果と考察

対象とした船は、笠木山丸<sup>2)</sup>で、長さ 247 m、幅 40.6 m、吃水 16 m、横揺れ固有周期 11.04 秒であり、S.S. 1 1/2 の半幅深さ比  $H_0 = 1.1$ 、断面積係数  $\beta = 0.78$  である。

図 7.3.1-2 ～ 図 7.3.1-7 は船速 0 と約 10 kt ( $F_n = 0.1$ ) のときの船体表面での波振幅  $\zeta_0$  と入射波の波振幅  $h_0$  との比で、 $\zeta_0/h_0 = 1$  ならば正確に計測さ

れ、 $l_0/h_0 > 1$  ならば、大き目に、 $l_0/h_0 < 1$  ならば小さ目に計測されることになる。

これらの図から、波長が船長の2倍以上もあるような長い波ではかなり正確に計測出来るが、船長より短いような波の場合には、誤差が大きくなり、場合によつては 50% 以上の誤差となることがわかる。

また全体的にみて、波長の短い場合、Weather Side で計測すれば高めの、Lee Side では低めの値が得られることが分る。すべての波長にわたって全体として良いのは head sea と follow sea の場合である。

波高計を船体から離した場合の効果について検討したのが図 7.3.1-8 ～ 図 7.3.1-11 である。Weather Side の場合船体から離すことによって誤差が少くなる傾向が見えるが、その程度はきわめて小さく、実質的には、波高計を船体から離すことの効果は少いであろう。

以上のように船側に波高計を取付けた場合、船体動搖や波浪衝撃に關係の深い、船長と同程度あるいは船長より短い波の計測に大きな誤差が入りやすいという根本的な欠点がある。左右舷の波高計測値の平均をとるというようなことをしても、なおかなりの計測誤差はさけられなりであろう。理論計算の値を用いて計測波高を修正するといったことも考えられるが、そのためには、理論計算と模型実験との比較など、さらに詳細な検討が必要である。

### 参考文献

- 1) Fukuzō Tasai : "Wave Height at the side of Two-Dimensional Body Oscillating on the Surface of a fluid", reports of Research Institute for Applied Mechanics, Kyushu University, Vol. IX, No. 35, 1961
- 2) 日本造船研究協会：“大型鉱石運搬船の船首部波浪荷重および鉱石圧に関する実船試験<sup>1)</sup>”，オ124 研究部会，資料 No. 156，昭和47年3月
- 3) 雁野晶明：“斜航中を航行する船への海水打込みに関する一計算”，関西造船協会誌，オ145号，昭和47年9月

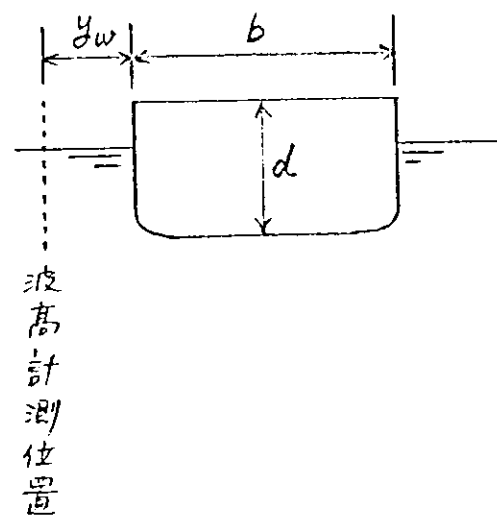
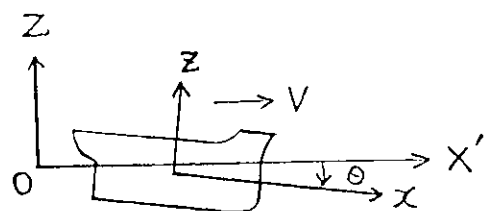
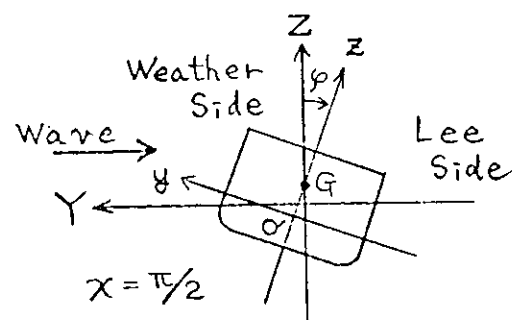
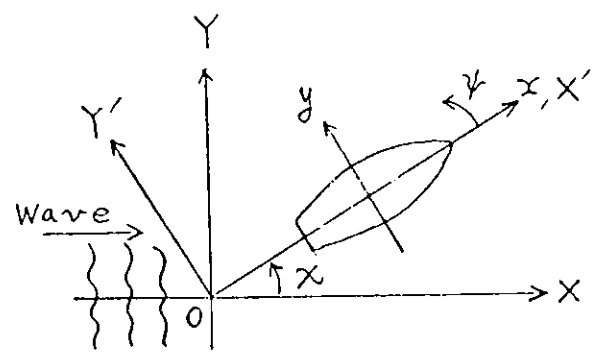


図7.3.1-1 座標系

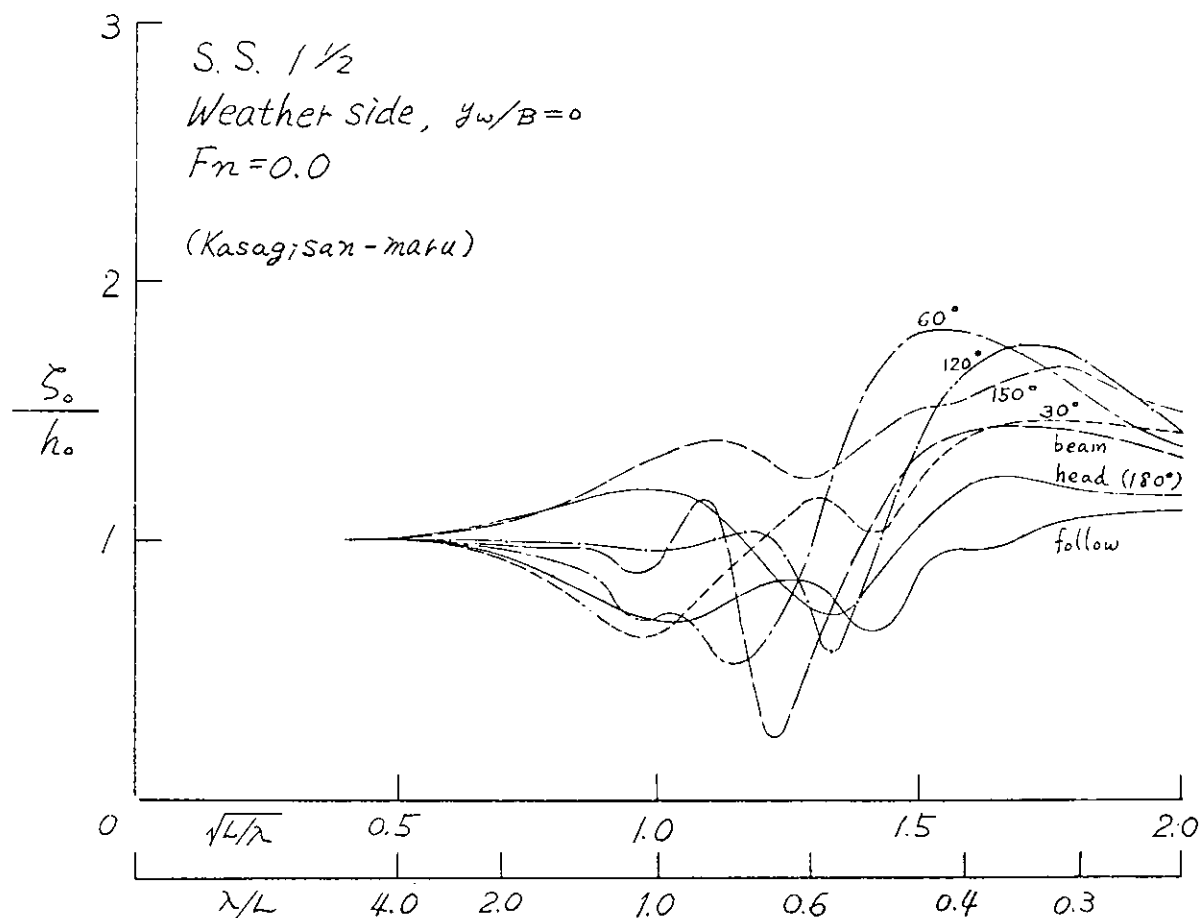


図7.3.1-2 船側の波振幅

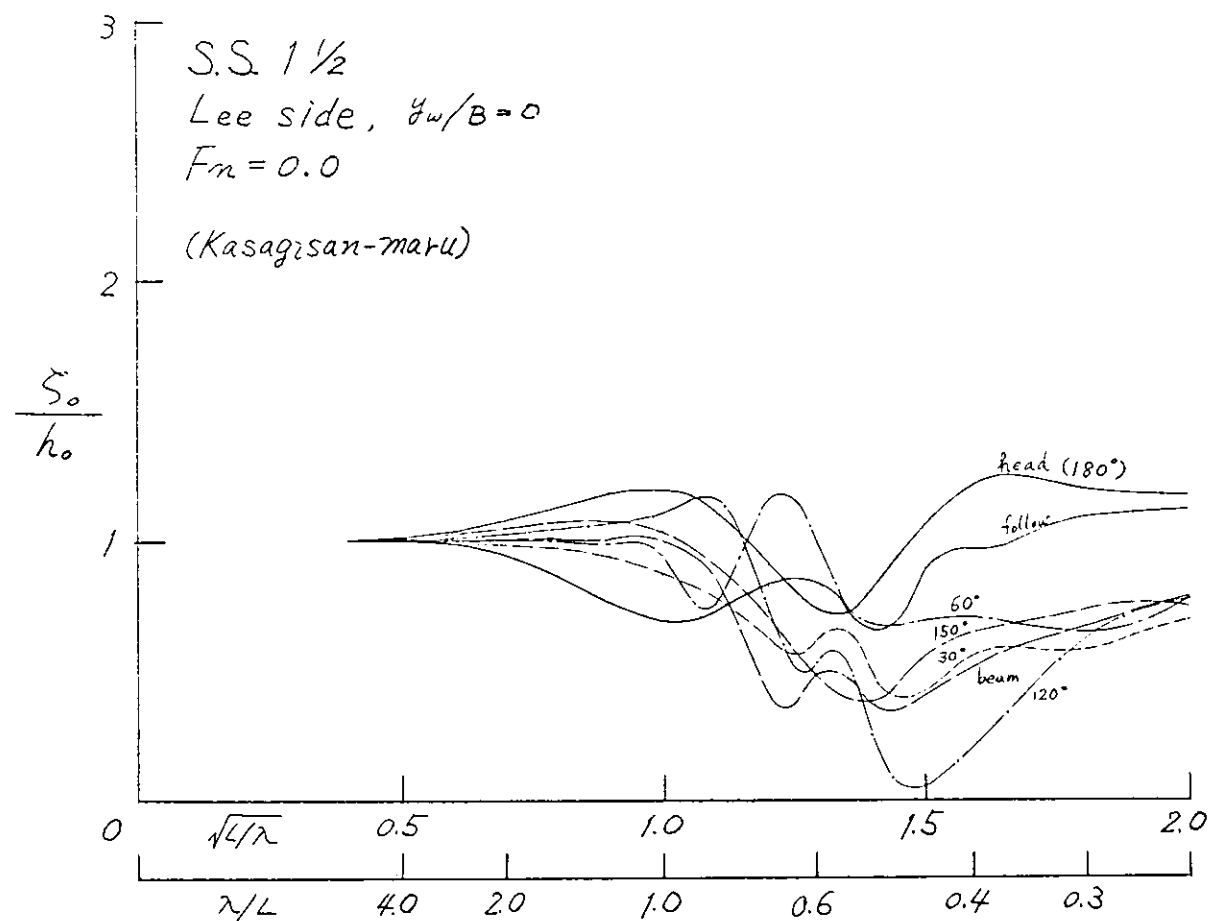


図7.3.1-3 船側の波振幅

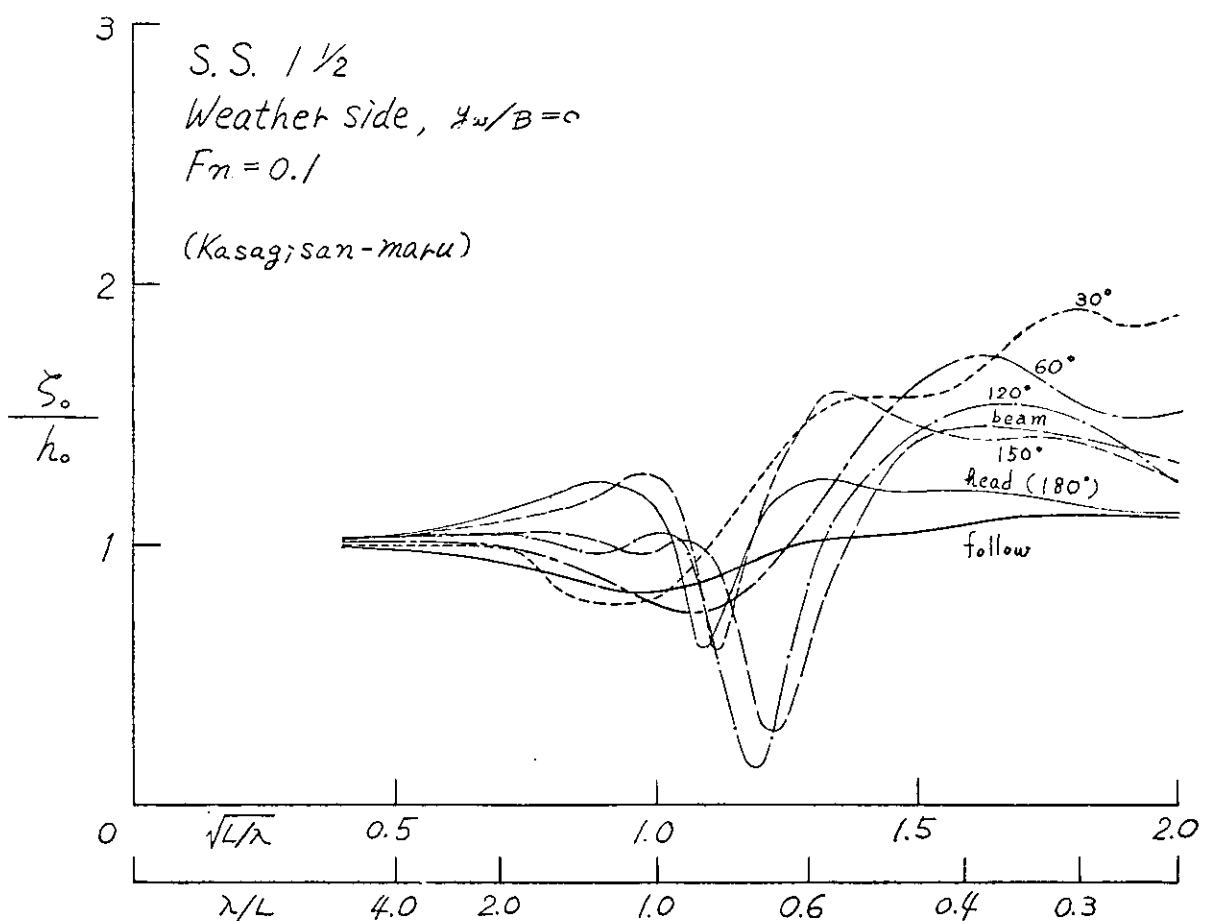


図7.3.1-4 船側の波振幅

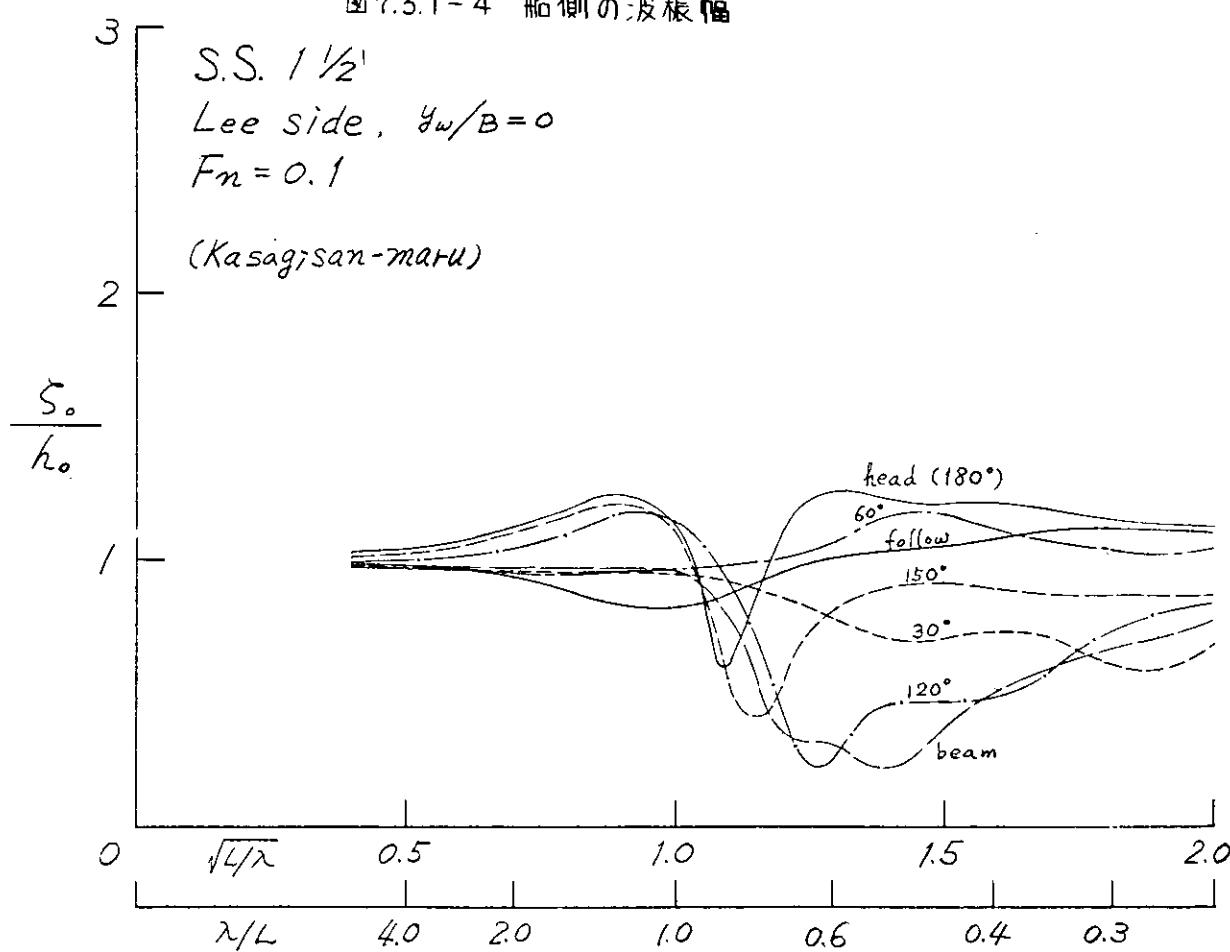


図7.3.1-5 船側の波振幅

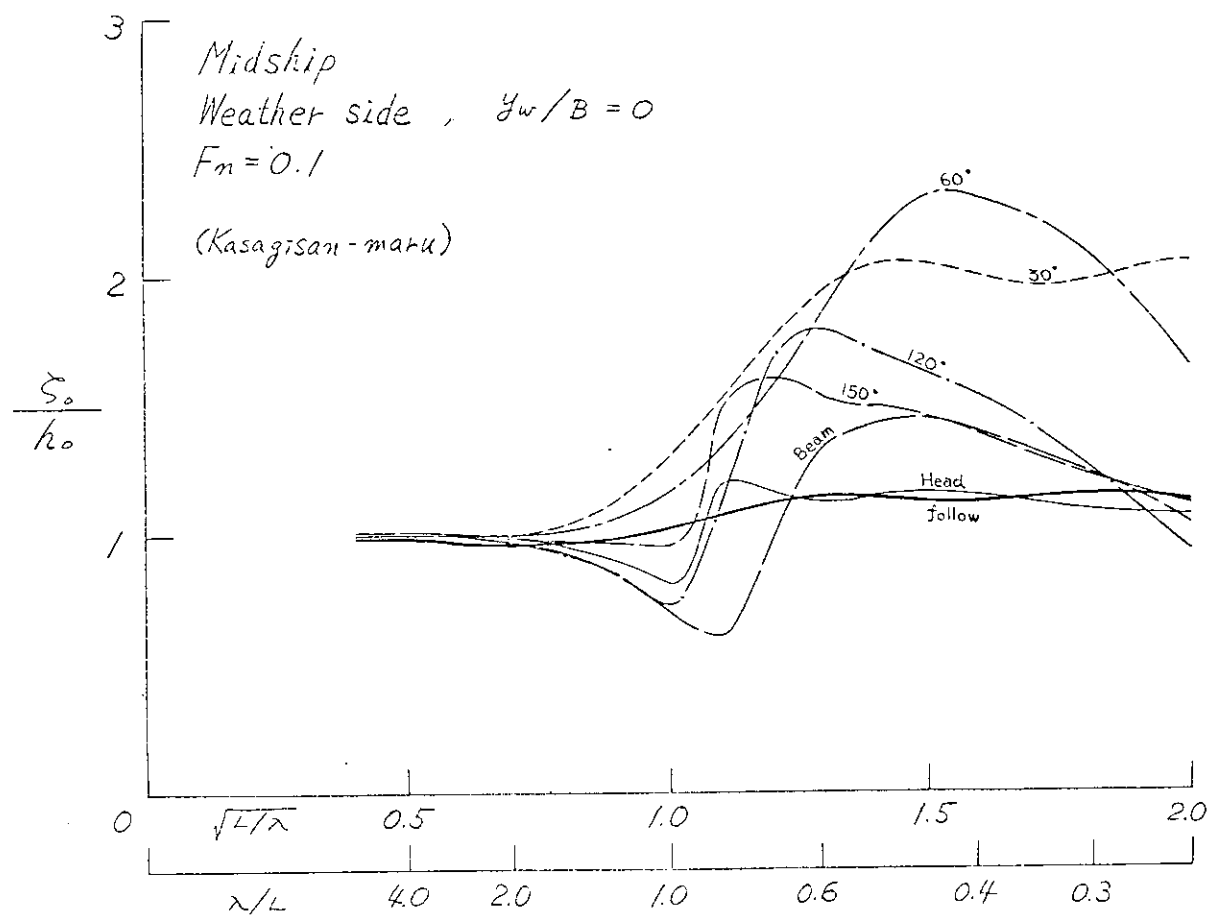


図7.3.1-6 船側の波振幅

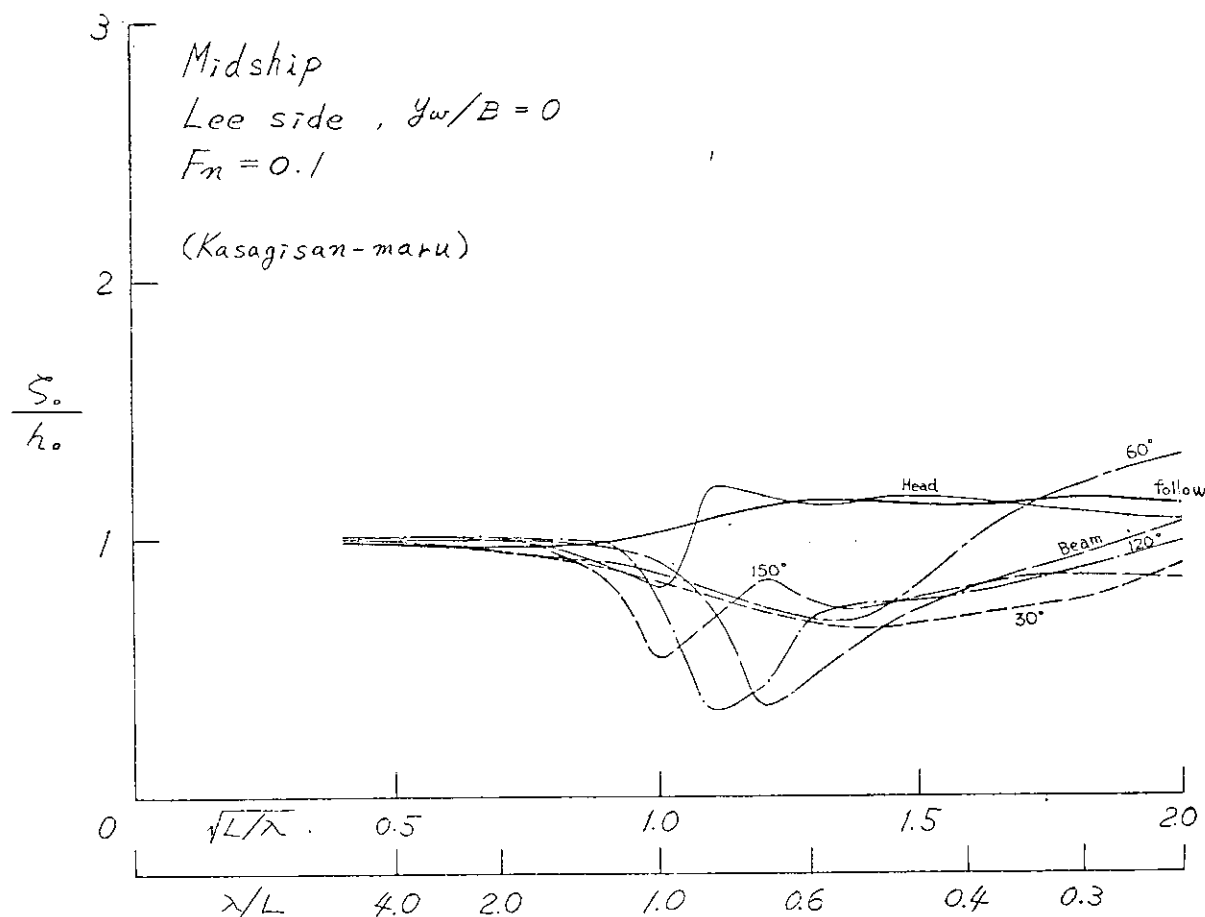


図7.3.1-7 船側の波振幅

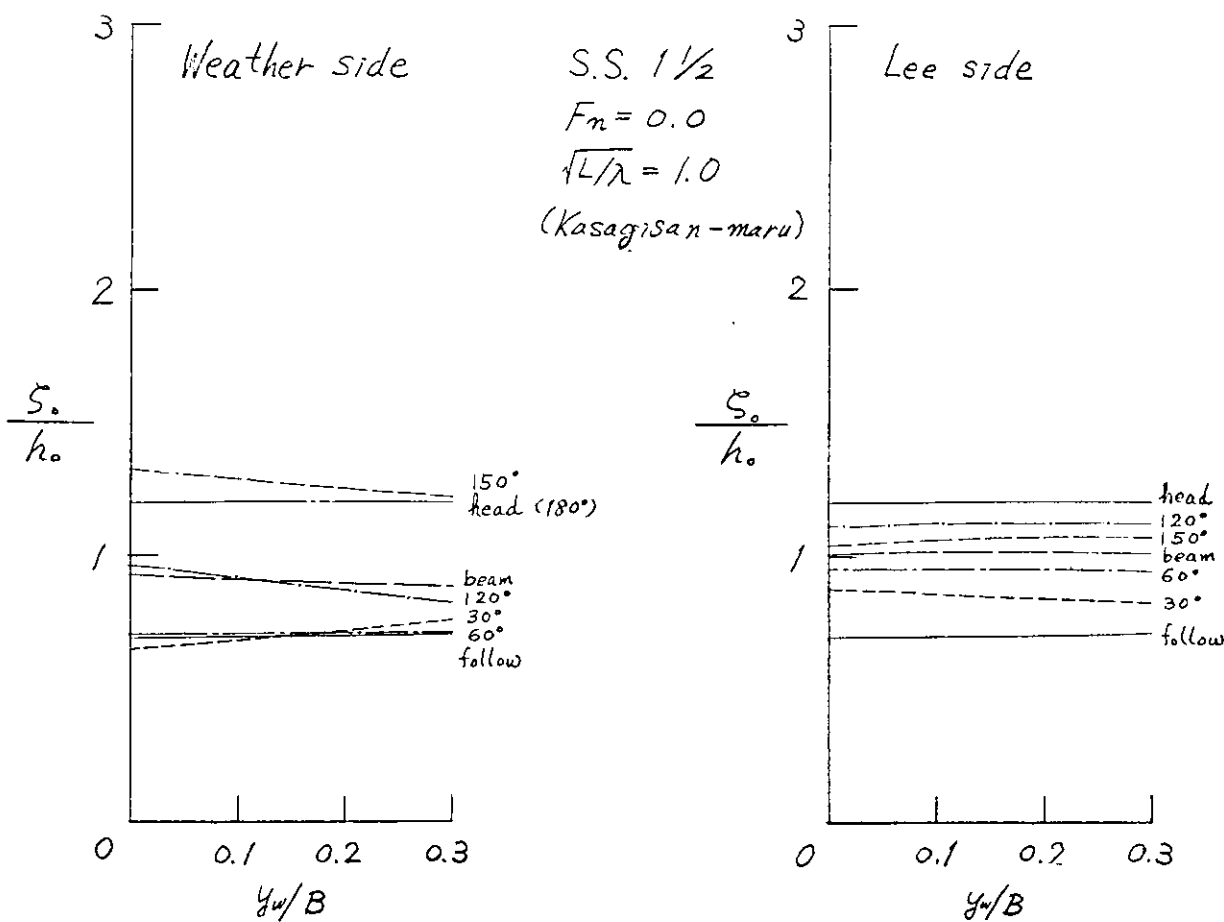


図7.3.1-8 船側の波振幅

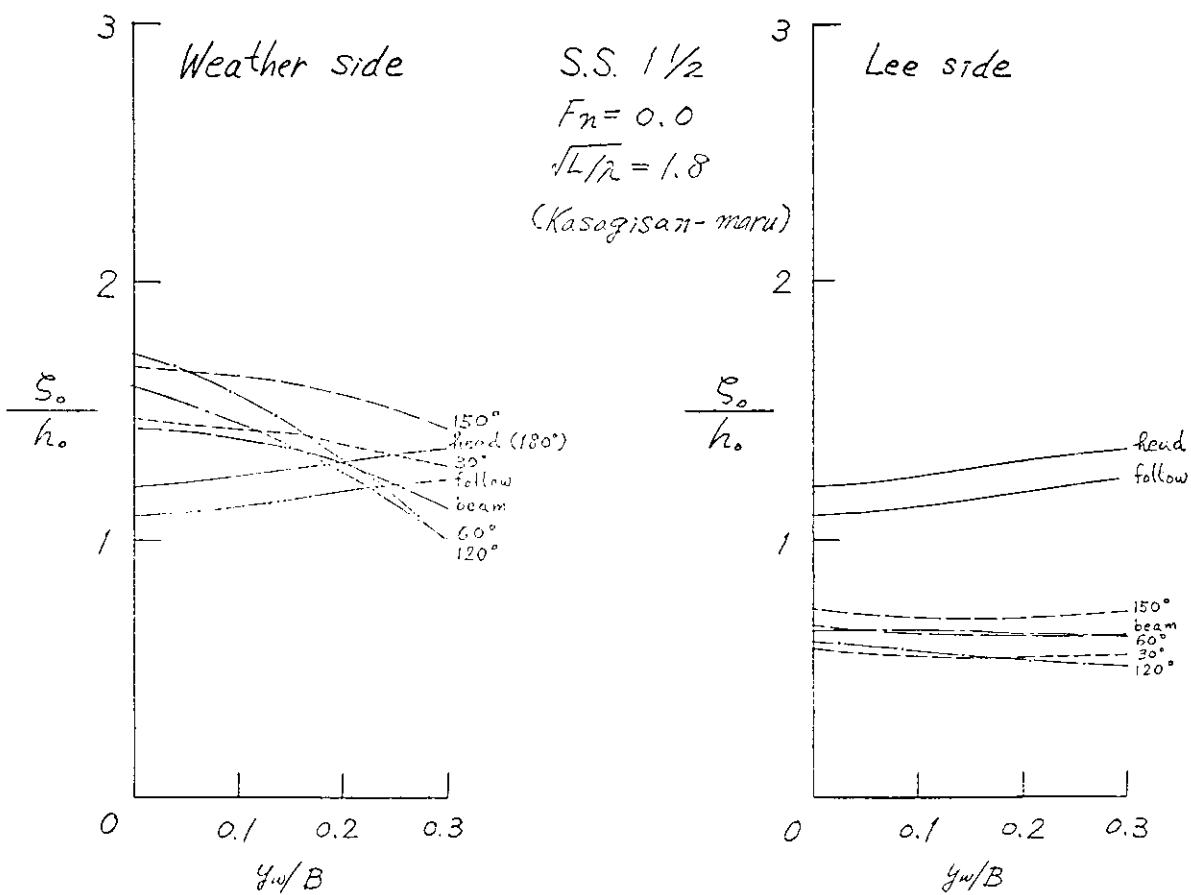


図7.3.1-9 船側の波振幅

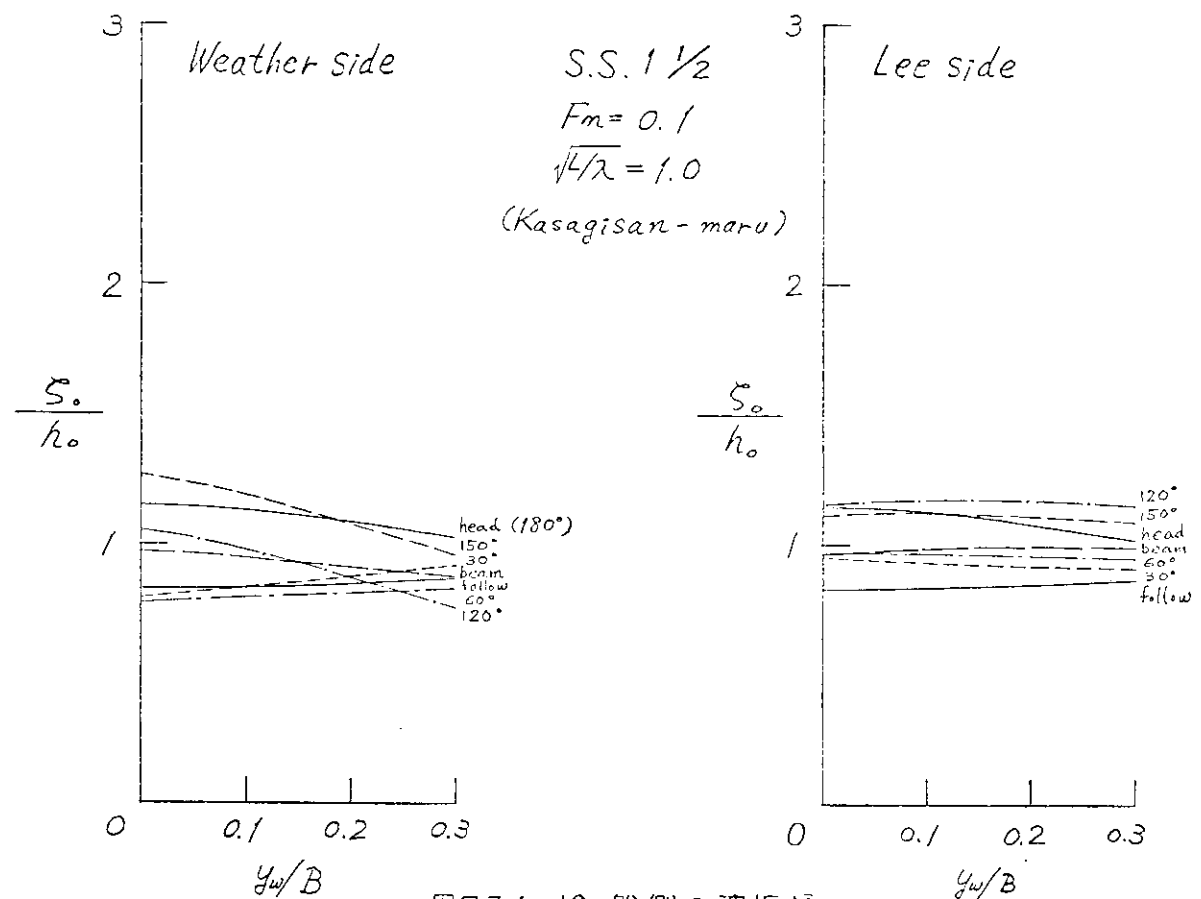


図7.3.1-10 船側の波振幅

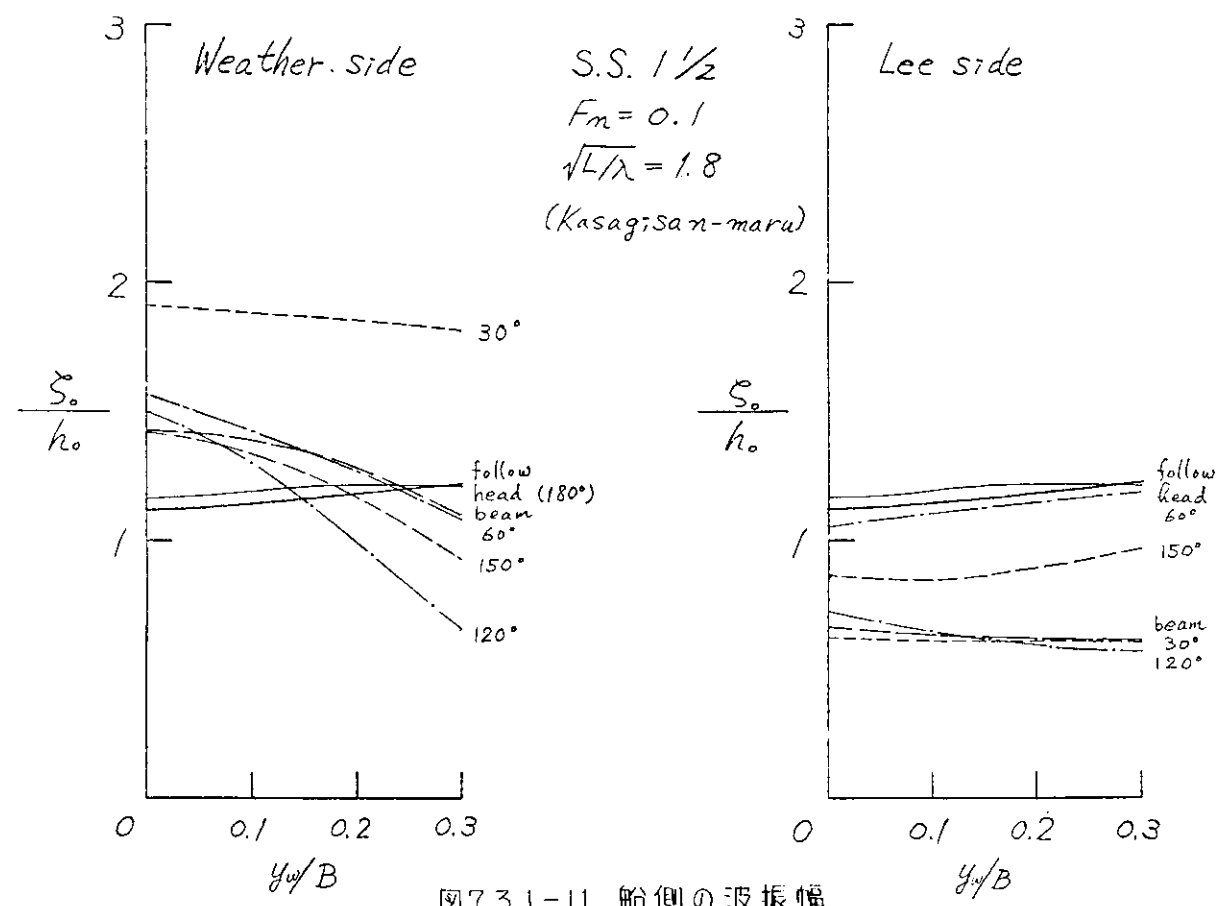


図7.3.1-11 船側の波振幅

### 7.3.2 船首前方における波高について

反射型波浪計の取付位置としては、船体中央部付近の舷側と船首とが考えられる。いずれの位置にしても、船体近傍といふことであれば、船体の存在による波高への影響は考慮がされることがでない。しかし、船体からはるかに離れた位置で波高の計測ができるならば、その影響は極めて小さくなることが容易に予想される。そこで船首前方にあっては、どれほどの距離を離して反射型波浪計を設置するならば実用的波高を測定できるかを、理論計算によつて検討を加えることにする。

船首前方の波は、入射波と船による入射波の散乱波、さらに船体が運動することによって生ずる発散波、これらを重ね合せたものと考える。ところが船首前方の波は三次元影響をうけるところであつて、Ordinary Strip Methodだけから求めることはできない。そこで便宜的に次のように考えることにする。船首部分を三次元軸対称柱体でおきがえることにする。発散波については、O.S.M.によつて求めた船首部分の上下方向の運動と同じ運動をする、球冠 $70^{\circ}$ のFootling のついた柱体の発散波をもつておきがえる。散乱波については、吃水無限大のパイル状の柱体の散乱波をもつておきがえることにする。計算上では、笠木山丸を対象船型として、それに該応する軸対称柱体を図7.3.2.1に示す。

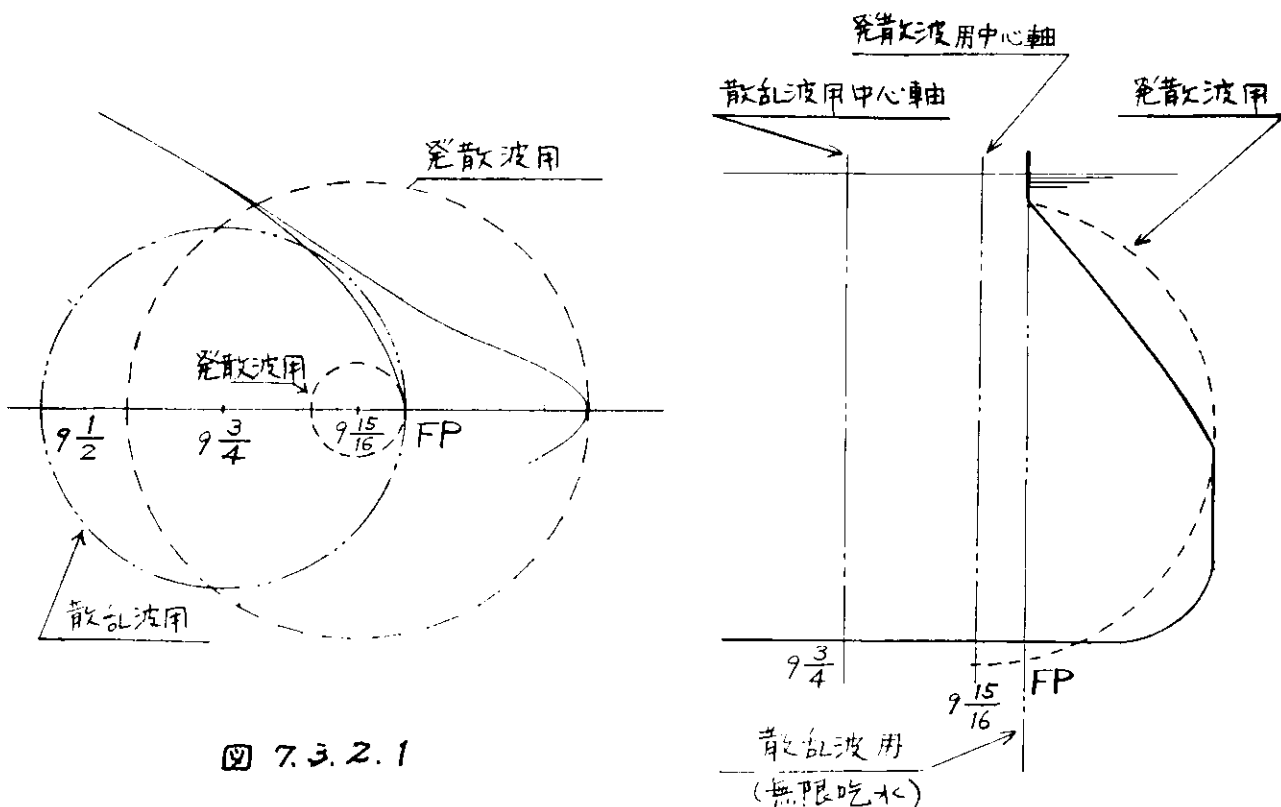


図 7.3.2.1

発散波に対する柱体の中心軸は SS 9 15/16 に、散乱波に対するそれは SS 9 3/4 にありた。

出会い角は主に船首前方の散乱波に影響をおよぼすもので、向波の場合の影響が最も大きい。波浪計を船首に設置することの適否を検討するための資料を得ることを目的としているので、出会い角は最も厳しい条件である向波だけを選んだ。船速の影響は、発散波の出会い周波数にだけあらわれるものと仮定した。また、座標系を図 7.3.2.2 のようにとり

$h_w$	入射波の振幅	$\bar{h}$	船首部の上下搖の振幅
$\Phi_w$	波の速度ポテンシャル	$\Phi_m$	運動による速度ポテンシャル
$\omega$	入射波の円周波数	$\Sigma$	$heave$ と $pitch$ の連成を考慮
$K = \omega^2/g$	波数		したがって運動と波との位相差
$\omega_e$	出会い周波数	$\alpha = \arg(-i\Phi_w)$	
$K_e = \omega_e^2/g$		$\beta = \arg(-i\Phi_m)$	
$R$	重心より計測点までの距離		

とおくと

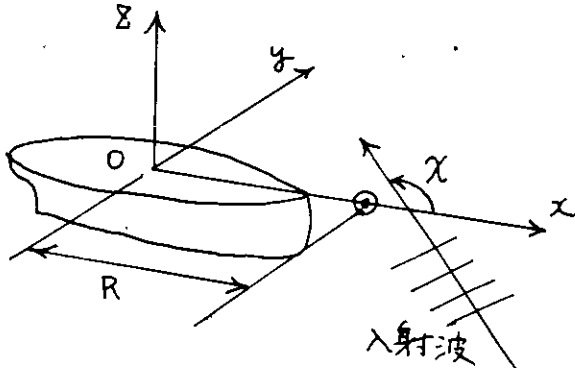


図 7.3.2.2

(入射波+散乱波) による波の振幅  $\eta_w$  は

$$\eta_w/h_w = h_w \cdot |\Phi_w(k)| e^{i\alpha - iK_e R} e^{i\omega_e t} \quad (7.3.2.1)$$

運動による発散波の振幅  $\eta_m$  は

$$\eta_m/h_w = \Sigma/h_w \cdot K_e \cdot |\Phi_m(k_e)| \cdot e^{i\beta + i\Sigma \omega_e t} \cdot e^{i\omega_e t} \quad (7.3.2.2)$$

以上より、船首前方における波の振幅  $\eta$  は

$$\begin{aligned}
 \eta/R_w &= (\eta_w + \eta_m)/R_w \\
 &= \left\{ |\Phi_w|_{z=0} e^{i\alpha - iK_w R} + \frac{\bar{\Sigma}}{R_w} \cdot K_e \cdot |\Phi_m|_{z=0} e^{i\beta + i\delta} \right\} e^{iw_e t} \\
 &= \frac{|\eta|}{R_w} e^{i\delta} \cdot e^{i\omega_e t} \quad (7.3.2.2')
 \end{aligned}$$

とある。

船首部の上下振幅  $\bar{\Sigma}/R_w$  ならびに波との位相差  $\delta$  は, heave & pitch の連成運動を考慮した O.S.M. により求めた。出会い角  $\chi = 180^\circ$  の向波中で、船速  $F_n = 0$  と  $0.1$  の場合、 $\bar{\Sigma}/R_w$  ならびに  $\delta$  を、 $\sqrt{L/\lambda}$  ベースに表 7.3.2.1 に示す。

表. 7.3.2.1

$F_n = 0.0 \quad \chi = 180^\circ$		
$\sqrt{L/\lambda}$	$\bar{\Sigma}/R_w$	$\delta$ (deg.)
0.4	1.054	25.7
0.6	1.315	45.4
0.8	1.621	58.1
1.0	1.507	64.6
1.2	0.758	68.2
1.4	0.177	136.7
1.6	0.098	74.3
1.8	0.013	-13.7
2.0	0.025	123.7

$F_n = 0.1 \quad \chi = 180^\circ$		
$\sqrt{L/\lambda}$	$\bar{\Sigma}/R_w$	$\delta$ (deg.)
0.4	1.043	22.8
0.6	1.293	39.0
0.8	1.653	47.2
1.0	1.726	38.5
1.2	0.667	-13.5
1.4	0.061	106.8
1.6	0.049	-45.0
1.8	0.008	50.0
2.0	0.012	134.7

また、単位振幅の上下干渉をした場合の球形アーチ、Footing の付いた軸対称柱体の発散波の速度ポテンシャルは、中心軸上に特異点を複数置いた、別所の変分原理によつて求めた。(造船学会論文集130号後尾、黄、前田 参照)

単位振幅の入射波が無限吃水の軸対称柱体にあたつた場合の波の振幅は、次の式を用いて計算した。  
いま、座標系を図 7.3.2.3

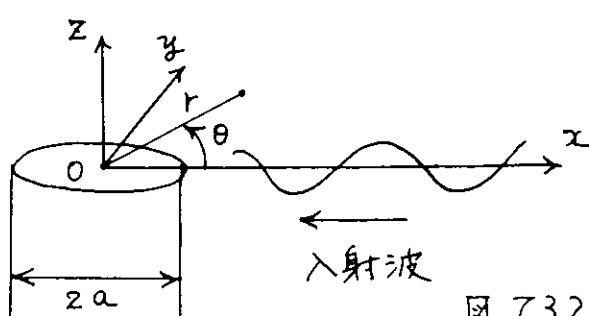


図. 7.3.2.3

単位の振幅をもつ入射波の速度ポテンシャル中。を

$$\Phi_0(K) = \frac{ig}{\omega} \cdot e^{Kz + iKx} \quad (7.3.2.3)$$

としたとき、入射波と散乱波を重ね合てた波の振幅は、

$$\Phi_w(K) \Big|_{z=0} = [\Phi_{wc} + i\Phi_{ws}] \Big|_{z=0} \quad (7.3.2.4)$$

である。 $\Phi_{wc}$ ,  $\Phi_{ws}$  は次の通りである。

$$\Phi_{wc} = \sum_{n=0}^{\infty} \varepsilon_n \cos n\theta \left[ \cos \frac{n\pi}{2} \cdot J_n(Kr) - \frac{P_n}{P_n^2 + Q_n^2} \{ S_n \cdot J_n(Kr) + T_n \cdot Y_n(Kr) \} \right] \quad (7.3.2.5)$$

$$\Phi_{ws} = \sum_{n=0}^{\infty} \varepsilon_n \cos n\theta \left[ \sin \frac{n\pi}{2} \cdot J_n(Kr) - \frac{P_n}{P_n^2 + Q_n^2} \{ T_n \cdot J_n(Kr) - S_n \cdot Y_n(Kr) \} \right] \quad (7.3.2.6)$$

ただし、

$$\varepsilon_0 = 1, \quad \varepsilon_n = 2 \quad (n \geq 1) \quad (7.3.2.7)$$

$$\left\{ \begin{array}{l} P_n = \frac{n}{Ka} \cdot J_n(Ka) - J_{n+1}(Ka) \end{array} \right. \quad (7.3.2.8)$$

$$Q_n = \frac{n}{Ka} \cdot Y_n(Ka) - Y_{n+1}(Ka) \quad (7.3.2.9)$$

$$\left\{ \begin{array}{l} S_n = P_n \cdot \cos \frac{n\pi}{2} - Q_n \cdot \sin \frac{n\pi}{2} \end{array} \right. \quad (7.3.2.10)$$

$$T_n = Q_n \cdot \cos \frac{n\pi}{2} + P_n \cdot \sin \frac{n\pi}{2} \quad (7.3.2.11)$$

また、 $J_n$ ,  $Y_n$  はそれぞれ  $n$  次の第一種、第二種ベッセル函数である。

以上の計算法により計算した結果を、船速  $F_h = 0$  に対しては図 7.3.2.4,  $F_h = 0.11$  に対しては図 7.3.2.5 に示す。図中の パラメータ  $S$  は、波高を求めていた位置の船首(F.P.)からの距離を実船換算の  $m$  で表示したものである。これらの結果からわかるることは次の通りである。発散波によつて入射波が乱される割合は、散乱波によるものとくらべて少ない。匀波においては、パラメータ  $S$  はかかわらず誤差  $10\%$  以内で計算しうる波の範囲をみると、 $\sqrt{L/h} \approx 1.4$  以下 (波長入で  $130m$  以上, 波周期で  $9s$  以上) である。また、船首からの距離で  $S=14m$  のものにあつては、同様の誤差での計算範囲は  $\sqrt{L/h} \approx 1.9$  以下 (入で  $70m$  以上,  $T_w \approx 6.5s$  以上) である。ただし、以上に述べた結論は、船首部を輻射錐柱体で置き換えることができるとした大胆な仮定のもとに導かれたものであることを考慮しなければならない。

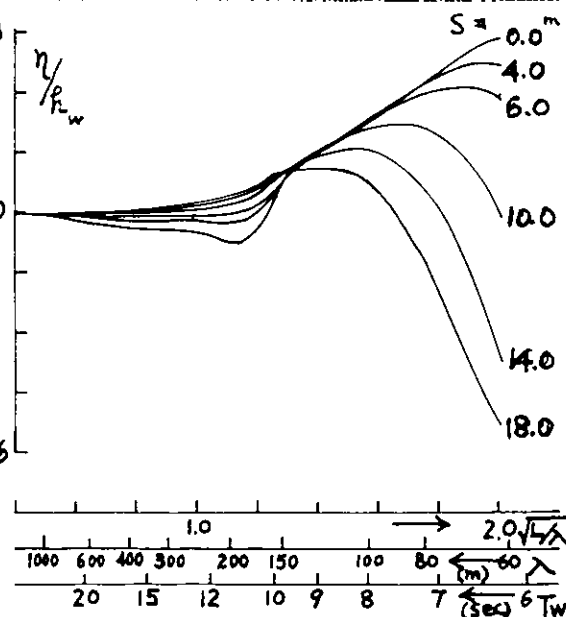
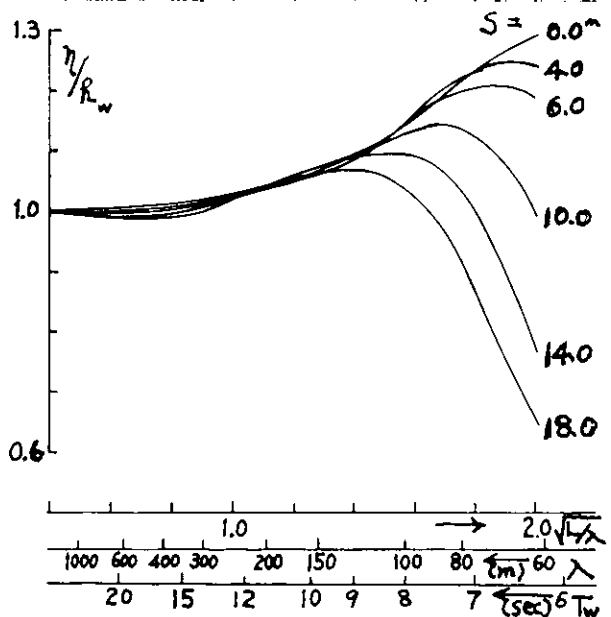
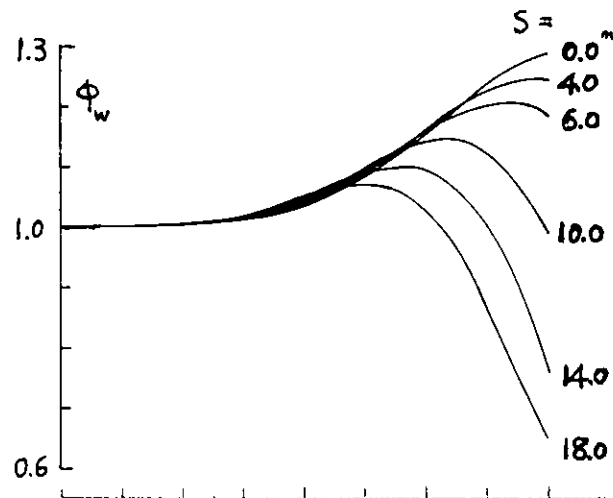
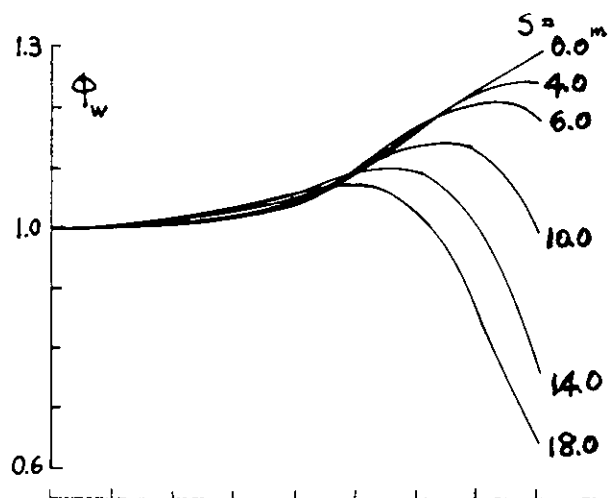
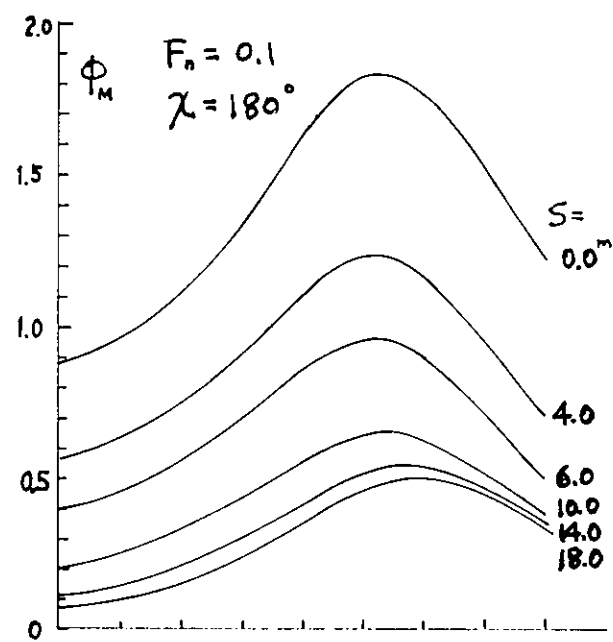
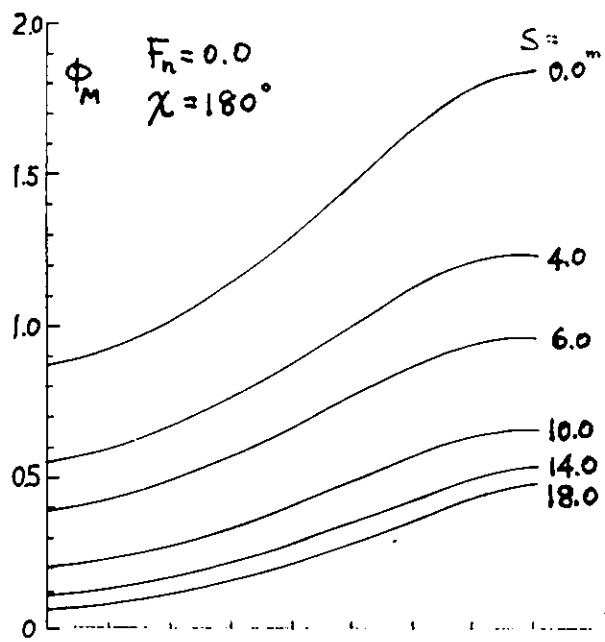


図 7.3.2.4

図 7.3.2.5

## 7.4 船体近傍の動的水位変動に関する模型実験

### 7.4.1 実験の目的

船体に固定した波高計によって海洋波を計測する試みはいくつからされているが、今回鉱石専用船（笠木山丸）の模型を使用して、船首及び船側の相対水位を測定して船体近傍の波高を求め、これが船体に乱されない場所の波高と一致するかどうかを調べる実験を行った。模型船を規則波中と不規則波中を、様々な出会い角で直進させた。実験中の船速は、平水中でフルード数  $F_L = 0.154$  (実船換算 15 knot) となるクロペラ回転数に保持したので一定な値ではない。波や運動による速度低下が生じて実際のそれは様々に変わらるが、その関係も又一つの計測項目として後に示す。模型船の主要目を表 7.4.1 に示す。

### 7.4.2 実験方法

主なる計測項目は相対水位変動と運動による加速度であるが、計測方法、計測位置の概略は図 7.4.1 に示す通りである。計測位置は船首と船側中央 weather-side に各 1ヶ所ずつ設け、船体から張り出した台に加速度計をのせ、その直下にテフロン被覆線を用いた容積型水位計を設置した。張出し台の位置は船首の場合、船首檣甲板前端より 18cm 前方、10cm 上方に加速度計が来る様な位置である。これは実船換算で船首より 10m 前方に相当する。船側の場合には、船側より直角に 10cm 離し、10cm 上方に台がくつきようにした。模型船にはこの他、Roll、Pitch 測定用のジャイロを搭載した。模型船の主要目を表 7.4.1 に示す。

実験は規則波中と不規則波中で行ったが、使用した波を表 7.4.2 に示す。規則波は波高一定 (10.5 cm) とした。不規則波は Moskowitz-Pierson 型である。

表 7.4.1 主要目

Model	KASAGISAN MARU
$L_{pp} \times B \times D$	4.5 × 0.7397 × 0.419
draft	0.2915 (m)
Trim	0.0
DISP.	0.8020 (t)
G M	0.0752 (m)
Roll Period	1.83 (sec)
$K_L$	0.236 $L_{pp}$

表 7.4.2 波浪

規則波					
$\lambda_L$	0.35	0.50	0.75	1.0	1.25

不規則波 (Beaufort 8 程相当)

平均周期 ( $T_{vm}$ )	1.39 sec
有義波高 ( $H_{vm}$ )	13.0 cm

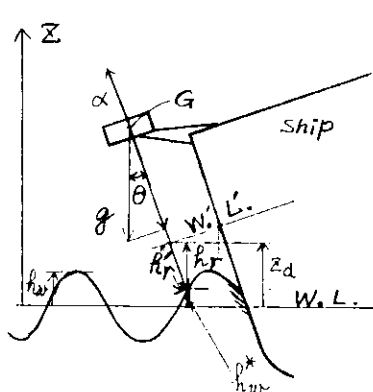
## 7.4.3 解析法 計測結果

### (1) 摆則波

前にも述べた如く、実験はクロベラ回転数一定で行つたので、航行の状態によって速度低下が生ずる。図7.4.2に示すのは出会い角をパラメーターとした入射による速度低下の様子である。図7.4.3, 4のPitch, Rollの記録を参照すればわかる様にピッティングの振幅と相関を持ち、ている。ピッティング振幅が最大である $\alpha/L = 1.0$ ,  $\chi = 180^\circ$ の附近では速度も平水中にくらべて約半分に減少する。またピッティングの振幅が大きくなるとそれ程速度低下がない場合もある。速度低下に關係する他の要因、例えは上下搖振幅、波と運動の位相差等の影響があらわれるとある。

図7.4.5(a), (b)に相対水位変動の船首、船体中央部での計測値を示す。船首の記録で顕著なのは $\alpha/L = 1.0$ 側面に向い波で大振幅の変動が生ずる事である。横波から斜め進い波に掛けてはほぼ入射波高に等しい。船側の記録では横波で大きな振幅となり、向い波ではにまじり入射波振幅に等しい。(a), (b)いずれの記録からもねがき様に船体運動と關係づけられる。船首の記録中、盛り上、たどり下はピッティングの、船側のそれはローリングの大振幅を記録する点に一致する。図7.4.6(a), (b)に示す上下加速度の船首、船側での値にも相対水位の場合と同じ傾向が見られる。明らかに船首での加速度にはピッティングの、船側の加速度にはローリングの影響が支配的である。

相対水位変動は船上から測定した値であるから運動の変位分が含まれている。船体近傍での波高を求めるには相対水位からこの運動分を除く必要である。補正は次の如き考案方に基づいて行った。入射波及び船体運動は出会い周期の正弦運動とする。更に船首、船側で測定される上下加速度には船体が傾斜する事による影響は考慮しておきたいとする。



G点で加速度計の感ずる変動分は加速度計が傾いた事による変動分と運動の加速度である。運動による加速度を $\ddot{x}$ 、全加速度を $\ddot{z}$ 、傾斜角 $\theta$ とすれば、

$$\ddot{z} = \ddot{x} + g(1 - \cos \theta)$$

これが速度変動分が与えられる。このX軸方向成分は

$$\ddot{x} = \ddot{z} \cos \theta$$

又相対水位 $h_r$ は水位計が傾かず為、計測される $h_r'$ と次の様な關係がある。

$$h_r = h_r' \cos \theta$$

ここで $\theta \approx 0$ と置けば $\cos \theta \approx 1$ となるので、 $\ddot{x}$ ,  $h_r$ はそれぞれ次の關係で置きかえられる。

$$\ddot{z} = \alpha \quad h_r = h_r'$$

必要なのは  $h_w^*$  であるが、これは次の式で与えられる。

$$h_w^* = z_d - h_r$$

この式は  $\ddot{z}$  の積分で求められるのであるが、仮定により  $\ddot{z}$  も  $h_r$  も正弦運動とするとき次の様に書ける。加速度の相対水位に対する位相差をとすれば

$$\ddot{z} = \bar{\alpha} \sin(\omega t - \varepsilon)$$

$$h_r = \bar{h}_r \sin \omega t$$

従って  $z_d, h_w^*$  は

$$z_d = -\bar{\alpha} \omega_e^2 \sin(\omega t - \varepsilon)$$

$$h_w^*(t) = -\bar{\alpha} \omega_e^2 \sin(\omega t - \varepsilon) - \bar{h} \sin \omega t$$

$$= -\sqrt{\bar{h}^2 + \bar{\alpha}^2 \omega_e^4 + 2 \bar{\alpha} \omega_e^2 \cos \varepsilon} \sin(\omega t - \varepsilon')$$

以上の事から  $\bar{h}_r, \bar{\alpha}, \varepsilon, \omega_e$  が知られる時、 $h_w^*$  の振幅は計算で求められる事がわかった。本実験ではレクチグラフに記録された計測値から、各振幅と相対水位と加速度の位相差を読みとり、補正を行ってみた。その結果が図7.4.7(a)(b)に示されたものである。いわば移動座標系から固定座標系への幾何学的変換を施しただけであるから、運動によつて生ずる波や、船体から反射される波は含まれたままである。船首の記録をみると、向い波では比較的長い波の時、入射波高の4倍弱の波高が記録される。この附近はピッティングの激しい所であるから、運動によつて生ずる波が非常に大きくなってしまうのである。又向い波の波長が短かい所では入射波より小さい波高となる。この附近は反射波との干渉で打ち消される部分が大きい為であろう。船首で計測する場合は、しかり横波から追い波にかけて記録した方が多少の変動はあるにせよ、比較的正確な波を与える事がわかる。

図7.4.7(b)の船側での記録から求めた波高を見ると船首の場合極端な変化はない。しかり横波、追波では入射波の2倍程度の波高が与えられる。これは Rollk より造波分が大きくなる為であろう。一般的には特徴は向い波で良い値を示す。これは船首で測定した場合と逆の傾向である。

船首、船側いずれで測定しても、運動が大きければ測定値が入射波を正確に表さないとは言えない。運動によつて生ずる波にしても、各運動の位相差によつて波が打ち消し合う事もあるし、又更に反射波が加わって波を消してしまう事もあるし、強める事もあるからである。

## (2) 不規則波

規則波と同様に、相対水位変動記録  $h_r(t)$  と、上下加速度の記録  $\ddot{z}(t)$  から、船体近傍の水面変動  $h_{rw}^*(t)$  を求めることができます。すなわち、

$$h_{rw}^* = \iint \ddot{z}(t) dt dt - h_r(t)$$

ここで、 $h_{rw}^*$ ,  $\ddot{z}$ ,  $h_r$ ,  $\ddot{z} = \iint \ddot{z}(t) dt dt$  のオーツスペクトラムをそれぞれ  $S_{rw}^*(f)$ ,  $S_{\ddot{z}\ddot{z}}(f)$ ,  $S_{hr}(f)$ ,  $S_{zz}(f)$  とし、 $h_r$  と  $\ddot{z}$ ,  $h_r$  と  $z$  のクロススペクトラムをそれぞれ  $S_{hr\ddot{z}}(f)$ ,  $S_{hrz}(f)$  とします。これらの間には次式で示すような関係があるので、水面変動のオーツスペクトラムを求めることができます。

$$S_{rw}^*(f) = S_{zz}(f) + S_{hr}(f) - 2R\{S_{hrz}(f)\}$$

$$S_{zz}(f) = S_{\ddot{z}\ddot{z}}(f)/(2\pi f)^4$$

$$S_{hrz}(f) = -S_{hr\ddot{z}}(f)/(2\pi f)^2$$

数値計算の場合、記録のドリフトなどのため  $S_{\ddot{z}\ddot{z}}(f)$  が  $f = 0$  で有限の値をとり、従って  $f \rightarrow 0$  で  $S_{\ddot{z}\ddot{z}}(f)/(2\pi f)^4 \rightarrow \infty$  となる。このようなときには子の或る小さい値より低い周波数成分は省略するか、適当な数値フィルターを用いる。

このようにして求めた波のスペクトラムは、船が出会い波スペクトラムであり、固定点で測る波のスペクトラムとは異っている。いま固定点で測ったスペクトラムを  $S_w(\omega)$ ,  $\omega = 2\pi f$ , とすると、この波の中を出会い角  $\chi$ , 船速  $F_n$  で航走する船の出会い波のスペクトラム  $S_e(\omega_e)$  は  $S_w(\omega)$  により次式で表わされる。

$$S_e(\omega_e) = S_w(\omega) / |1 - 2\sqrt{\frac{L}{g}} \cdot F_n \cdot \cos \chi|$$

$$\omega_e = \omega (1 - \omega \sqrt{\frac{L}{g}} \cdot F_n \cdot \cos \chi)$$

$$F_n = V/\sqrt{gL}, \quad L: \text{船の長さ}, \quad V: \text{船の速度}$$

$S_e(\omega_e) \times S_w(\omega)$  の関係は  $\cos \chi \neq 0$  に従って、異った形状を呈する。それを図示すると図 7.4.8 (a), (b), (c) のようになる。すなわち、向波、斜め向波中では  $S_e(\omega_e)$  は  $S_w(\omega)$  より  $\omega$  の大きい領域に移ると共に高さが低くなる。横波中では両者は等しい。追波、斜め追波中では  $S_e(\omega_e)$  は  $S_w(\omega)$  より  $\omega$  の小さい領域に移ると共に高さが高くなる。しかし、 $\omega_e = 0$  となる  $\omega$  を  $\omega_c$  とすると、 $\omega_e = \omega_c/2$  のときに  $S_e(\omega_e) \rightarrow \infty$  となる特異な形状を呈する。ちょうど  $S_w(\omega)$  を  $\omega_c/2$  で折りかえし、 $\omega_c$  の  $\omega_c/2$  が縦軸に一致し、 $\omega > \omega_c$  の部分は縦軸を飛びプラス側に折り返されたようなる形である。従って  $\omega_e$  軸で  $0 \sim \omega_c/2$  の間は3価関数であるから、 $S_w(\omega)$  を  $S_e(\omega_e)$  に変換することはできなかつて、逆に  $S_e(\omega_e)$  を  $S_w(\omega)$  に変換することは、追波、斜め追波中では原理的に不可能である。

いま今回の実験で測定した例として、図 7.4.9 に横波中での出会い波のスペクトラムと、固定点で測定した波スペクトラムを示す。これは船首で測ったも

のであるが、 $S_e(w_e)$  は  $S_w(w)$  より高い値を示している。これは図 7.4.7(a) に示す、規則波中で測定された波高が横波で高く出ているのに対応するものと考えることができる。青雲丸の模型実験の結果では横波中の両スペクトラムは非常によく一致した。笠木山丸は船首附近の船型が肥えており位速であるため、船の前後に反射波がかなり存在するため、両方のスペクトラムに差が生じたものであろう。規則波中の結果から類推すると向波中で船側の出会い波が、固定隻の波を比較的忠実に示すはずであるが、今回の実験では確かめるに至らなかつた。

#### 7.4.4. まとめ

船載式波浪計の使用に対し、本模型実験から得られた結論をまとめると次のようになる。

- (1) 船首波浪計は斜め追波、追波で比較的正しい波高を与える。
- (2) 船体中央部の船側波浪計は向波又は追波中で比較的正しい波高を与えるが、やや高めの値を示す。
- (3) 船側波高の理論計算値は実験値と定性的にはよく一致する。

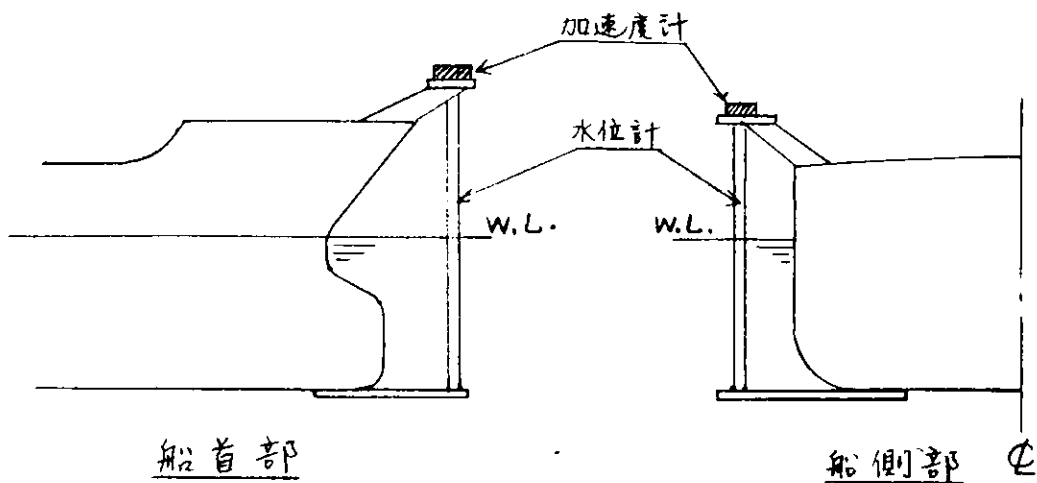


図 7.4.1 水位測定部概要図

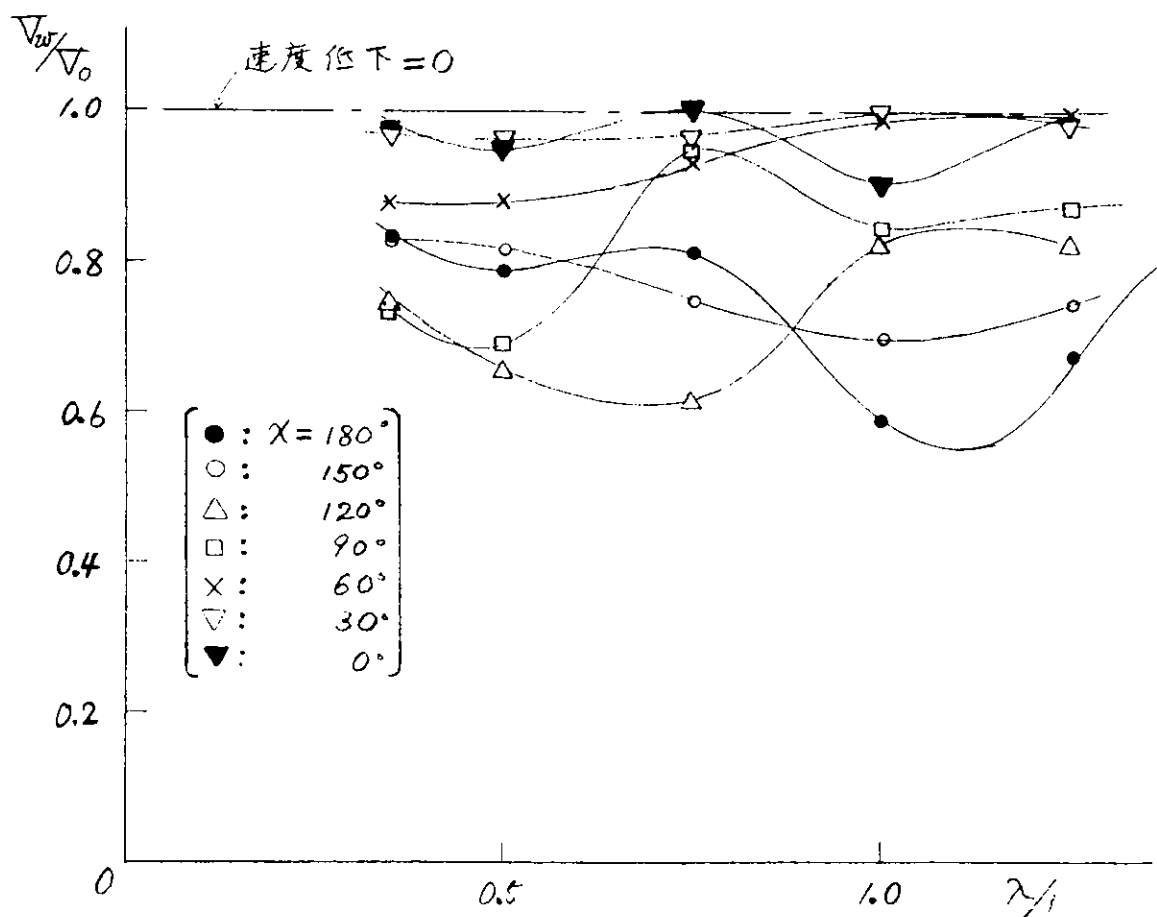


図 7.4.2 波浪中速度低下

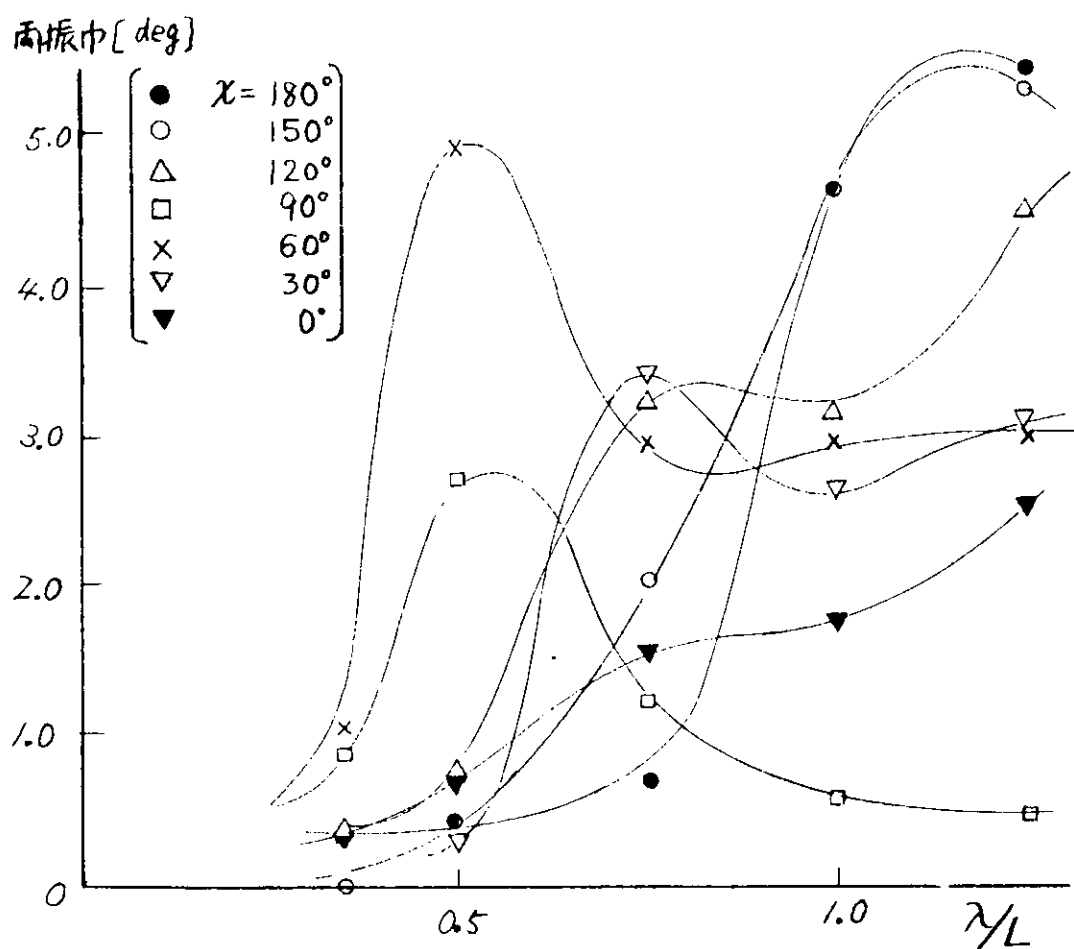


図 7.4.3  $E^\circ$ -ツィンタの振巾

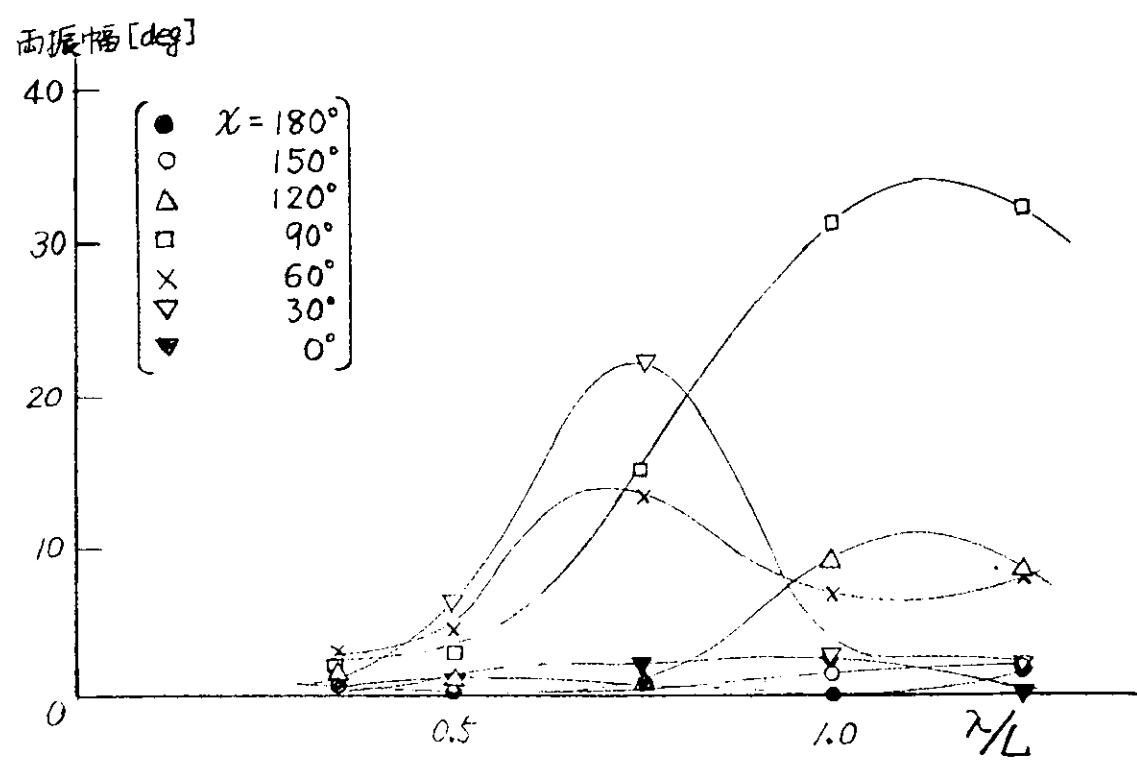


図 7.4.4 ローリングの振巾

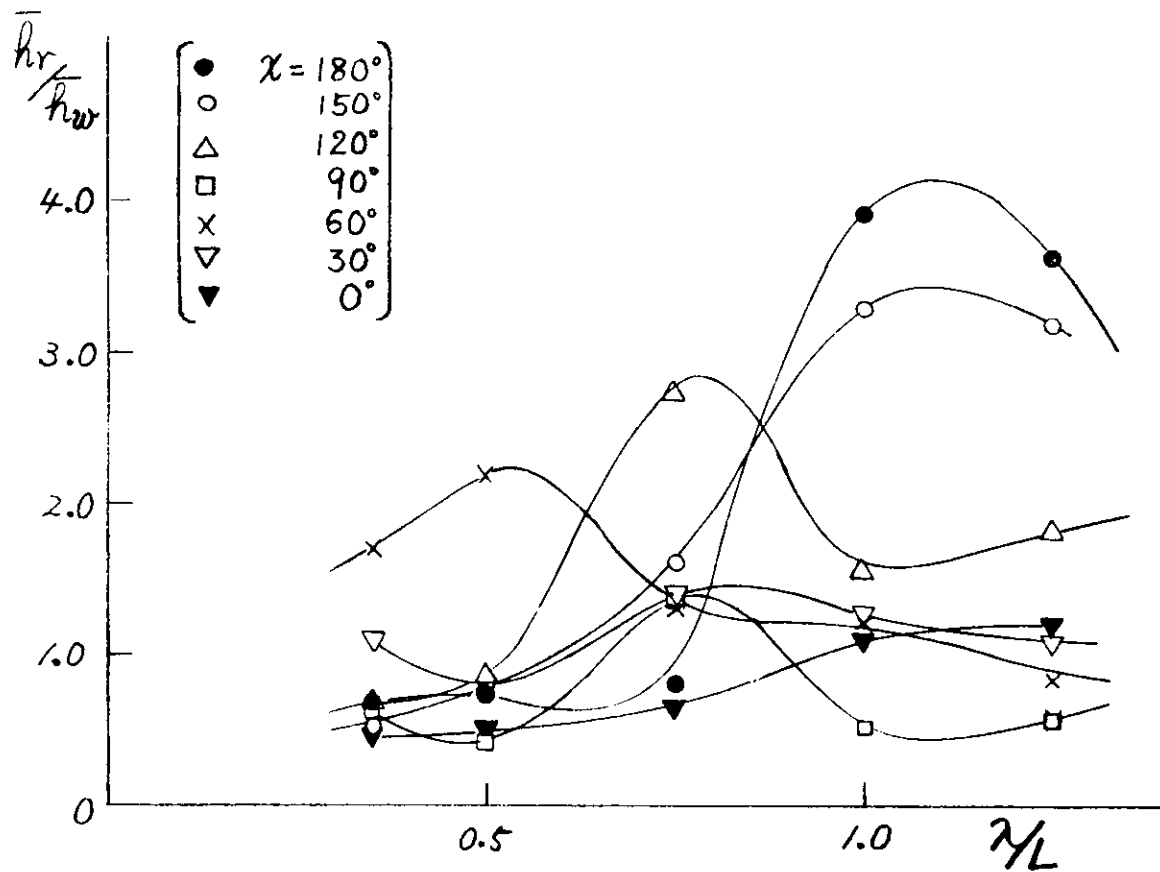


図 7.4.5 (a) 相対水位(船首)

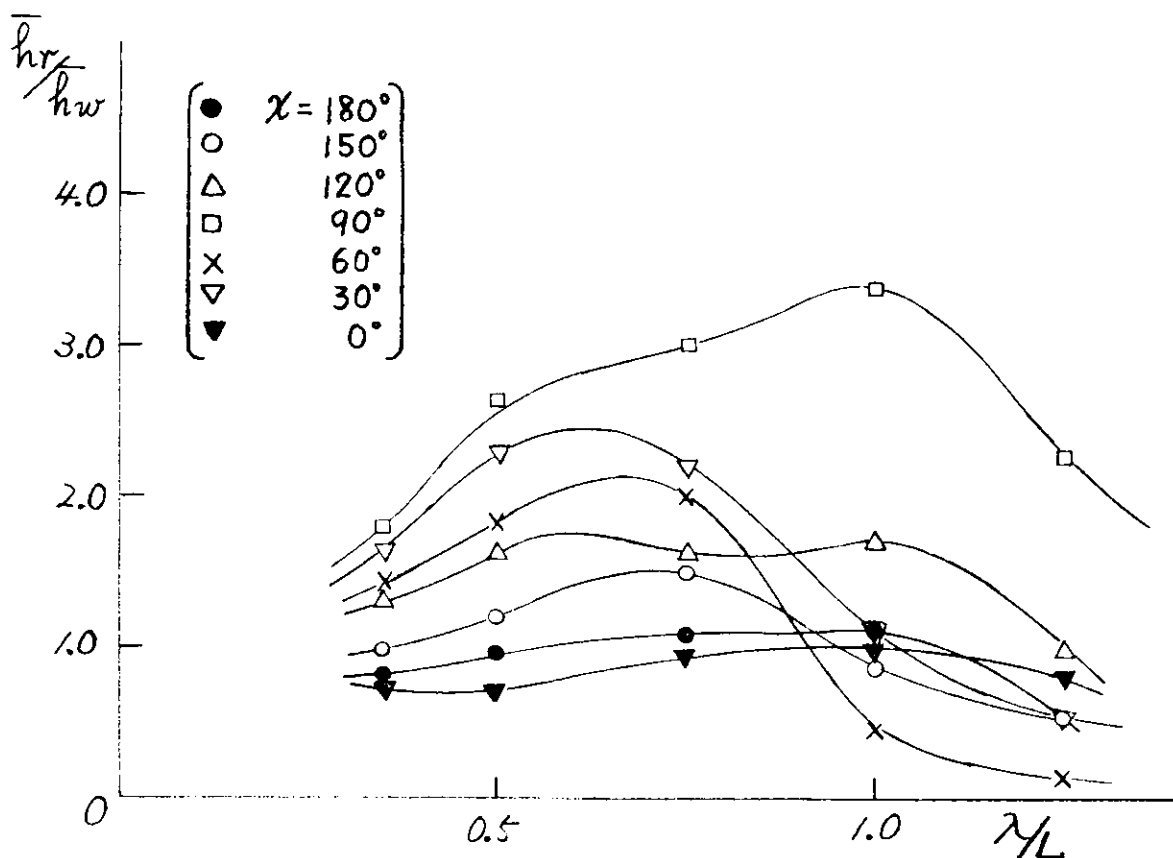


図 7.4.5 (b) 相対水位(船側)

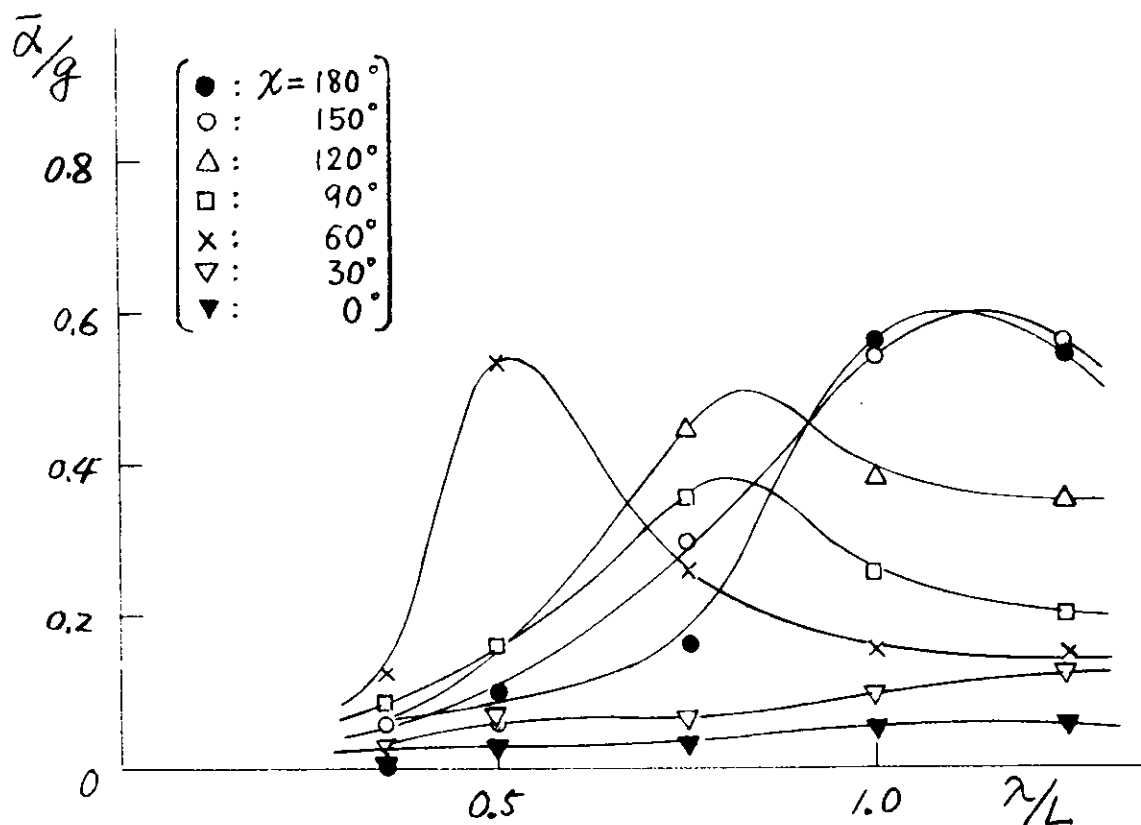


図 7.4.6 (a) 上下加速度(船首)

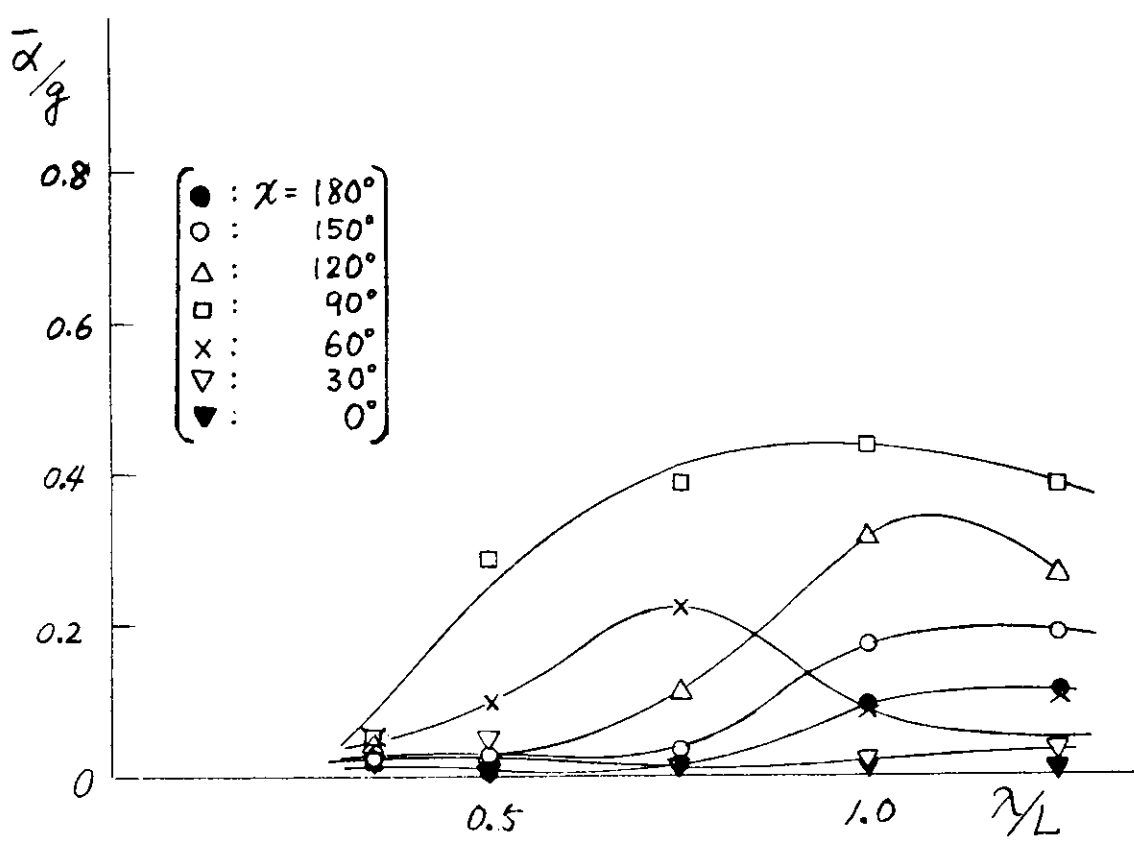


図 7.4.6 (b) 上下加速度(船側)

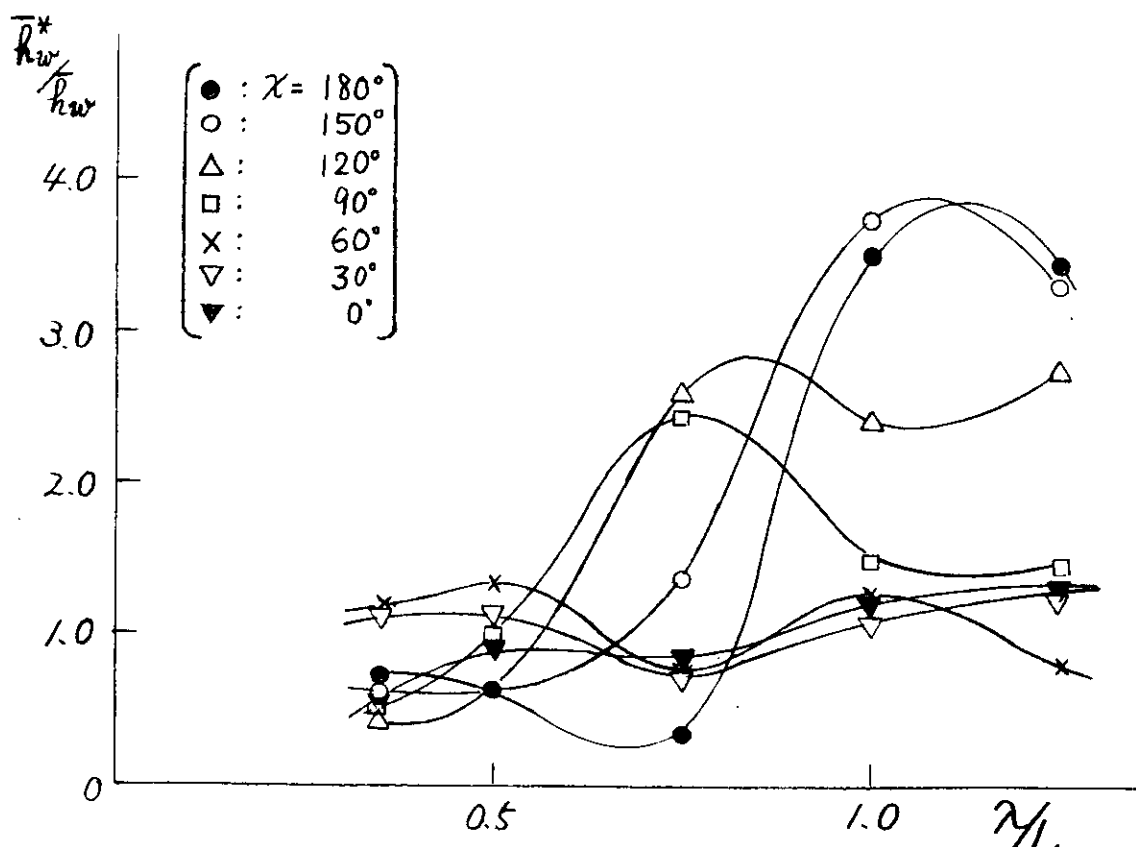


図 7.4.7 (a) 計測された波高(船首)

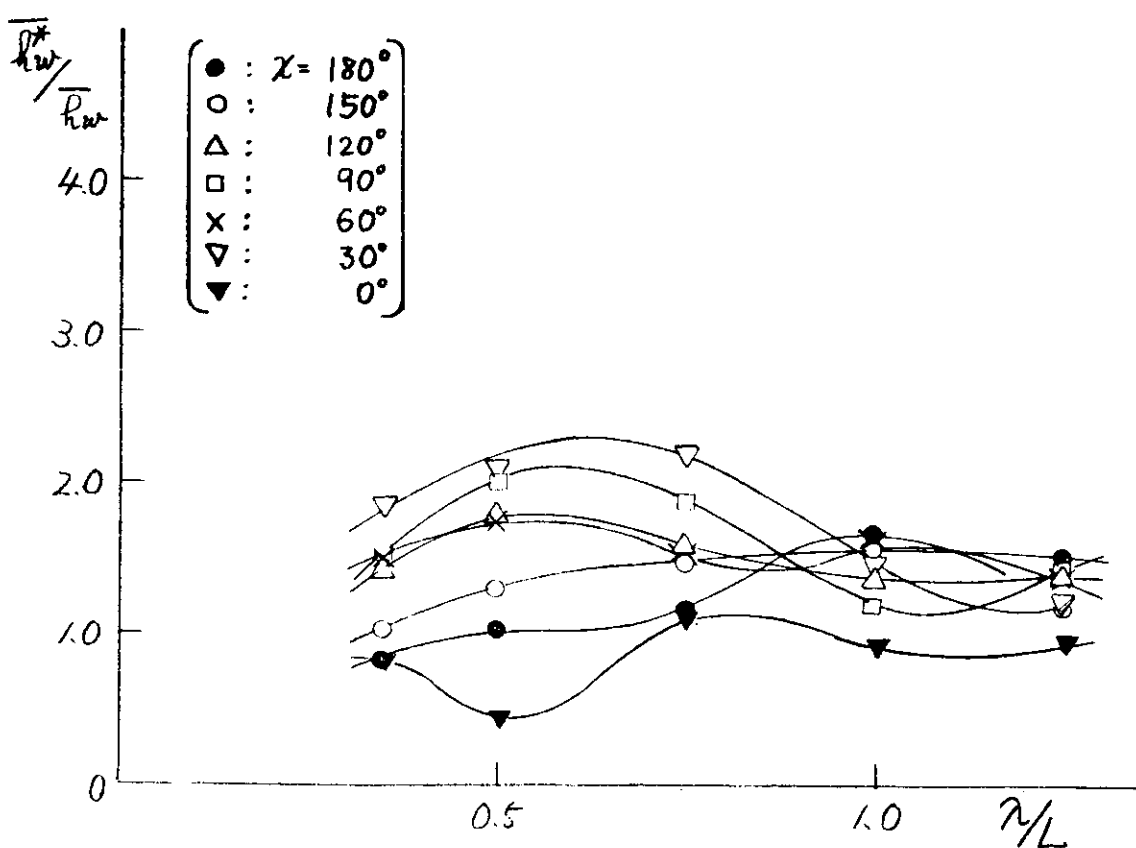


図 7.4.7 (b) 計測された波高(船側)

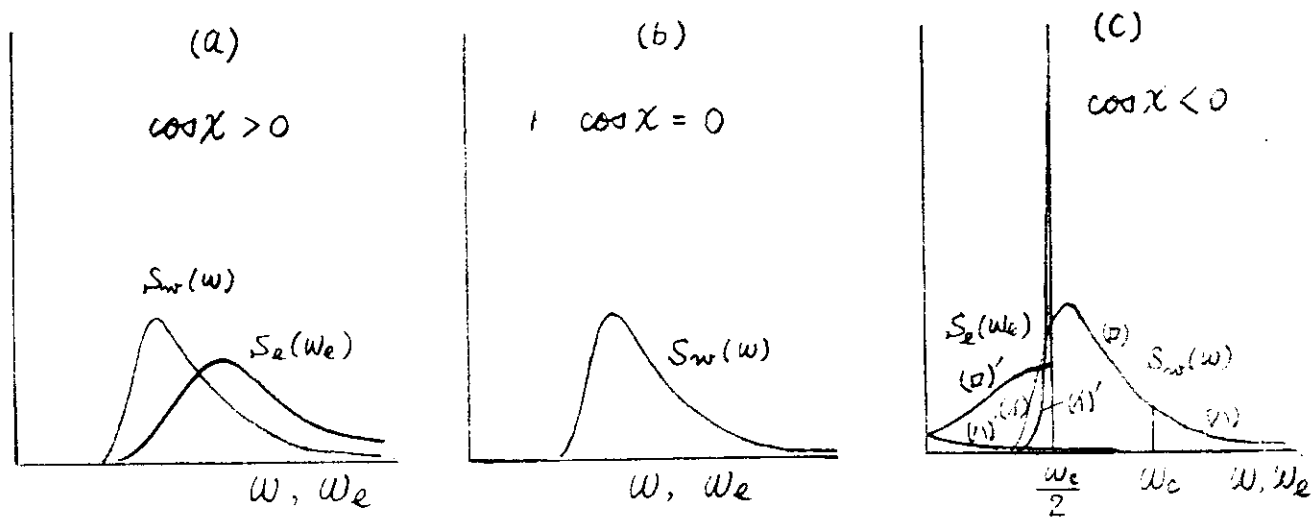


図 7.4.8 固定臭の波スペクトラムを出会い波スペクトラムに変換

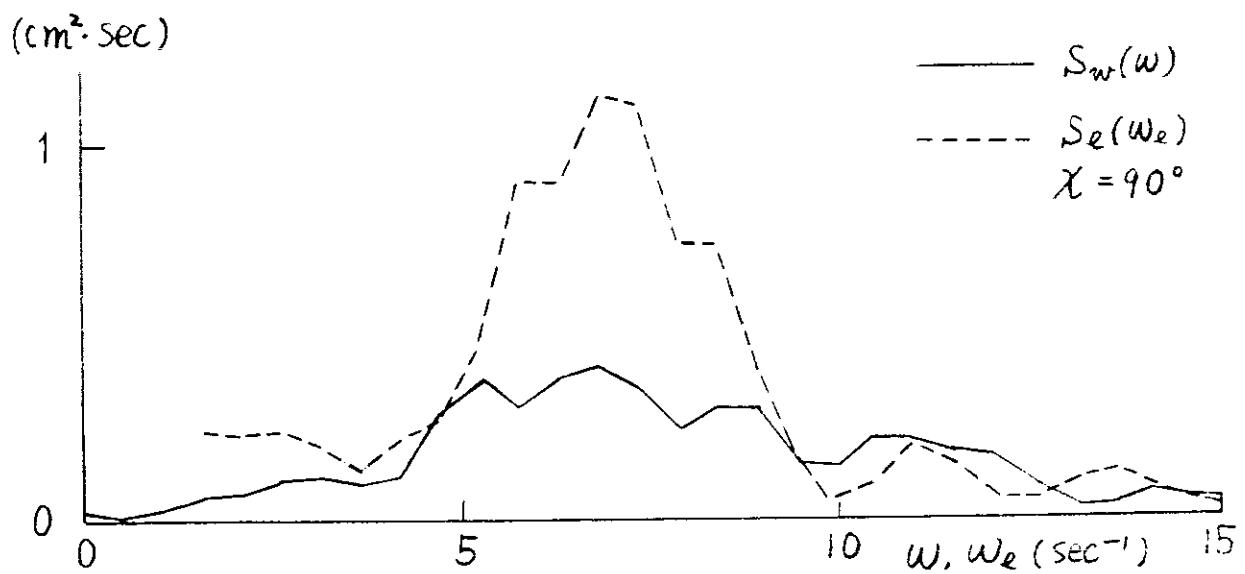


図 7.4.9 固定臭の波スペクトラムと出会い波のスペクトラム

## 8. レーダーによる波向計測法

### 8.1 研究の目的

波浪外力に関する実船試験において、波浪、風等の環境条件を正確には握る必要のあることは論をまたない。このうち波浪の観測の為に投す大型波高計等が開発されつつあるが、これらの波高計の観測結果には波向に関する情報を含まない。この様な波向の観測については港湾土木において波向観測用のレーダーを設置している例もあるので、船上のレーダーによって波向に関する情報を収集し、波高計による観測結果を補足する実船試験用の波向観測システムを開発せんとするものである。

### 8.2 レーダーによる波向観測システムの持るべき機能

上記の目的の為に本システムの持るべき機能の目標を次の通り設定した。

1. 観測範囲 1 ~ 3哩
2. 観測波浪 40 ~ 300m 波長
3. 複数の卓越波のそれぞれの方向と波長を観測すること。
4. 実船試験という特殊環境下（強風、雨、動搖等）で観測可能であること。
5. 人手を要せず、取扱い簡単なこと。

### 8.3 レーダー本体の検討

#### 8.3.1 問題点

前節の機能を持つ波向観測レーダーシステムを開発するまでの問題点は以下の通りと考えられる。

1. レーダーの PPI 映像に現われる波峰線は波峰上の細波、碎波等に基づくものと考えられるが、真実の波峰との様な関係があるか。
2. 又上記の映像は風向によつて影響を受けると考えられるが、その影響はどの様なものか。
3. 波向観測の為には船用のセンチ波レーダーで十分か。
4. 船体の動搖が映像に及ぼす影響は許容しうるものか。

これらの問題点を解明する為に

大阪港 大阪海上保安監部レーダー所

新潟港 - 港建新潟調査設計事務所

酒田港 - 港建酒田港工事事務所

のレーダー観測の実際を調査すると共に、船体運動の影響については理論計算

によって影響度を調査した。

調査結果は以下の通りである。

### 8.3.2. レーダー映像と実際の波浪との関係

レーダー波向計による波峰線の映像記録とレーダー局前方海面に設置された波高計(超音波)による波浪記録の解析値を利用し、レーダー映像と波の特性との関係の有無について考察を行なった。

以下の結果は、運輸省第一港湾建設局酒田工事事務所および新潟工事事務所におけるレーダーによる波向観測資料を整理したものである。なお、レーダーの波峰線記録のほか、次の資料を参考にした。

運輸省第一港湾建設局 新潟調査設計事務所

(1) 波浪観測台帳 第9、第10および第11集

(2) 波向観測台帳 第3、第4集

酒田港、新潟港におけるレーダーの仕様を以下に示す。

製造者名	沖電気(株) 海象観測レーダー
距離分解能	4 m
最小探知距離	6 m
発振周波数	34860 MHz (8.6 mm波)
変調パルス幅	0.022 μsec.
変調発振数	4000 Hz

8.3.1表にレーダー映像の日時を、8.3.2表に映像よりえた波長に相当する波の周期と波高計より求めた表面波の周期を与えてある。なお、映像面における波長とは、画面内に適当な区域を想定し(8.3.1図、8.3.2図参照)その域内の波峰線映像の平均間隔をとったものであり、波の周期とは、この波を浅海波と仮定し、前記波長に相当する周期を導いたものである。資料解析の結果は酒田港関係として：

8.3.3図 風速と波長の関係

8.3.4図 各区域における観測波長(PPI映像)

8.3.5図 波高計より求めた周期とレーダー映像から求めた周期との関係

8.3.6図 風向別波向観測可能回数の頻度分布

8.3.7図 波向観測可能な場合の波向と風向との関係

8.3.8図 波向観測台帳より求めた風向、風速別観測可能頻度分布  
(1970、1971冬期)

8.3.9図 波向観測台帳より求めた風向、有義波高別観測可能頻度分布  
(1970、1971冬期)

8.3.10図 波向観測台帳より求めた風向、有義波の咀度別観測可能頻度

分布(1970, 1971冬期)

新潟港関係として:

- 8.3.11図 風速と波長の関係  
8.3.12図 各区域における観測波長(PPI映像)  
8.3.13図 波向観測台帳より求めた風向別観測可能頻度分布(1971冬期)  
8.3.14図 波向観測可能な場合の波向と風向との関係(1971冬期)  
8.3.15図 波向観測台帳より求めた風向、風速別観測可能頻度分布(1971冬期)  
8.3.16図 波向観測台帳より求めた風向、有義波高別観測可能頻度分布(1971冬期)  
8.3.17図 波向観測台帳より求めた風向、有義波の咀度別観測可能頻度分布(1971冬期)

以上の各表、各図から、一部自明の事実を含み、以下の各項が分かる。

- a. 風速が大きくなれば、波長も大きい。
  - b. 波長は沖合ほど大きい。
  - c. 風向と波向が一致しているとき、波向を観測しうる可能性が多い。
  - d. 波高が大きいほど波向観測可能。
  - e. 咀度が大きいほど波向観測可能。
  - f. レーダー映像の波と、波高計の波は大体において一致している。
- d, eのいずれか、波向観測の可能性により強い効果を持つか、あるいは2要素が相乗的に働くか、更に吟味が必要であろう。これに関して、波峰線付近の波の構造とPPI映像の関係を調べる必要があろう。

8.3.3 波向観測の為には船用のセンチ波レーダーで十分か  
レーダーの映像面に現われる、いわゆる Sea Clutter については未だ十分に  
解明されていないのが現状であるが、波峰上の細波、白波等が映像として現わ  
れるものと推定される。この様な対象を荒れた海面で観測する手段として普通  
の船用センチ波レーダーと分解能の高いミリ波レーダーとを比較すると次の通  
りである。

イ. 分解能 レーダーの方位分解能は、周波数の高いほど、電波の指向性  
が鋭く、ビーム幅は波長に比例して鋭くなる。距離分解能はパルス幅に依  
存する。普通の船用センチ波レーダーとミリ波レーダーの分解能を比較す  
ると次の通りである。

船用センチ波レーダー		ミリ波レーダー(例)
方位分解能	1° ~ 2°	15'
距離分解能	25m ~ 80m	4m

すなわち、ミリ波レーダーは小目標に適しており、実際の映像もセンチ  
波に比し、はるかに纖細である。しかしながら、実船試験において観測の  
対象となる波浪は波長30m以上と考えており、波峰線の識別を主目的とし  
てるので、センチ波レーダーで不便はないものと考えられる。

ロ. 海面反射強度 ミリ波の方が強いと言われている。

ハ. 降雨、霧の影響 波長の短いほど、降雨、霧等による吸収減衰が大に  
なるので実船試験という環境で使用するにはセンチ波の方がよい。

以上、本船のレーダーを使用する方が設備が簡便になることより、船用のセ  
ンチ波レーダーで十分であると考えられた。更にセンチ波とミリ波を実地に比  
較する為に大阪港のレーダー所において調査をした。

このレーダー所にはミリ波とセンチ波のレーダーが設置されている。同所に  
における PPI スコープの写真撮影の結果は 写真 8.3.1 及び 8.3.2 の通りであ  
り、ミリ波レーダーの映像は纖細であるが、センチ波レーダーでも十分波浪の  
観測を行いうるものと考えられる。

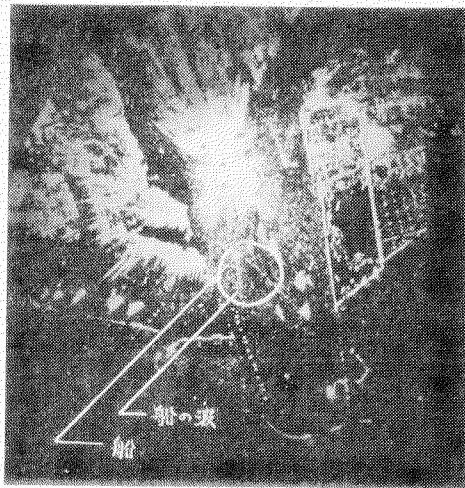


写真 8.3.1

センチ波レーダーによる映像

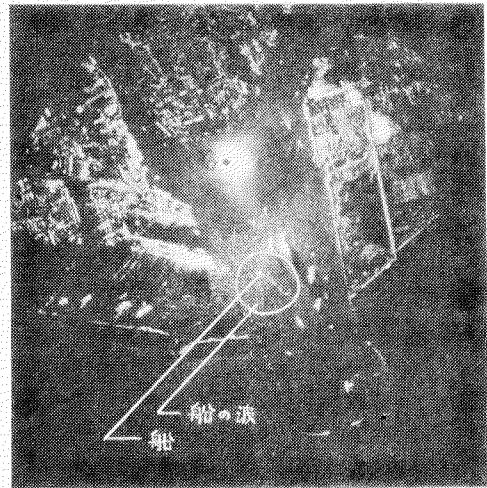


写真 8.3.2

ミリ波レーダーによる映像

#### 8.3.4 船体の動搖が映像に及ぼす影響

##### (1) 方位誤差の一般式

船体が Roll, Pitch, Yaw 等の運動とした場合、レーダーから得られる Target の方位角情報は見かけの方位角となり、眞の方位角との間に次に示す誤差を生ずる。

###### a) Roll 及び Pitch に基づく方位誤差

8.3.18 図は船の動搖中心 G を中心とする単位円を示す。本図において

GZ レーダーマストの方向

GP 左舷方向

GS 右舷方向

GB 船首方向

又し、T を Target とする。

図において船の Pitching angle を  $\phi$ , rolling angle を  $\theta$  とすればレーダーマストの方向は GZ から  $GZ'$  になり、それに伴い S.B はそれそれ  $S'B'$  となる。従って Target T に対する当初の方位角  $\alpha$  及び高度角  $\beta$  はそれぞれ  $\alpha'$ ,  $\beta'$  として観測されることになり、 $\alpha' - \alpha$  が方位誤差となる。

見かけの方位角  $\alpha'$  を幾何学的に計算する式を次式で表わすことが出来る。

$$\tan \alpha' = \frac{\cos \beta \sin \alpha \cos \theta + (\cos \beta \cos \alpha \sin \phi + \sin \beta \cos \phi) \sin \theta}{\cos \beta \cos \alpha \cos \phi - \sin \beta \sin \phi} \quad (8.3.1)$$

b) Yaw に基づく方位誤差

Yaw angle を  $\psi$  (右舷を正) とすると、これは方位角  $\alpha$  が  $\alpha - \psi$  となつたのと同じであるから、Roll Pitch Yaw を含めた見かけの方位角  $\alpha'$  は次式の通りである。

$$\tan \alpha' = \frac{\cos \beta \sin(\alpha - \psi) \cos \theta + [\cos \beta \cos(\alpha - \psi) \sin \phi + \sin \beta \cos \phi] \sin \theta}{\cos \beta \cos(\alpha - \psi) \cos \phi - \sin \beta \sin \phi} \quad (8.3.2)$$

c) Target が水平線付近にあら場合の方位誤差

アンテナ高さが 30m とし、船から 1 球離れた Target における grazing angle は  $0.9^\circ$  である。従って Target はほぼ水平線付近にあると考えてよい。従って  $\beta \approx 0$  とすれば

$$\tan \alpha' = \tan(\alpha - \psi) \frac{\cos \theta}{\cos \phi} + \tan \phi \sin \theta \quad (8.3.3)$$

となる。

## (2) 方位誤差の評価

### (a) 方位誤差の一般的性質

#### (i) Roll Pitch による方位誤差

Roll Pitch が単独に存在する場合の  $\alpha$  と  $\alpha'$  の関係はそれぞれ

$$\text{Roll のみ } \tan \alpha' = \tan \alpha \cos \theta$$

$$\text{Pitch のみ } \tan \alpha' \cos \phi = \tan \alpha$$

となる。すなわち、 $\alpha$  と  $\alpha'$  との差に対しては  $\theta$  と  $\phi$  との影響は同じである。しかし、一般の商船では Roll 角が Pitch 角より大きいので商船での方位誤差は、ほとんど Roll によって支配される。

#### (ii) Yaw による方位誤差

Yaw はそのまま方位誤差となる。

#### (iii) 誤差の最大方位

Roll のみの場合に、方位誤差を  $\Delta \alpha$  とする

$$\tan(\alpha + \Delta \alpha) = \cos \theta \tan \alpha$$

$\Delta \alpha$  を微小量として

$$\tan(\alpha + \Delta \alpha) = \tan \alpha + \Delta \alpha \frac{d \tan \alpha}{d \alpha}$$

故に

$$\Delta \alpha = \frac{\sin 2\alpha}{2} (\cos \theta - 1)$$

すなわち、 $\Delta \alpha$  を微小量とした時、誤差の最大方位は  $45^\circ, 135^\circ, 225^\circ, 315^\circ$  の方向である。

Pitching の場合も同様である。

### (b) 動搖による图形の歪み

前記の一般式により、一例として

$$\text{Roll Angle} = 40^\circ, \quad \text{Pitch Angle} = 10^\circ, \quad \text{Yaw Angle} = 0^\circ,$$

$$\text{Scope Range} = 3 \text{ N.M.}, \quad \text{Scanner 高さ} = 30 \text{ m.}$$

とし、船の進行方向と  $90^\circ, 45^\circ, 0^\circ$  の角度となす直線群の PPI Scope 上での歪みを計算し、作画した結果は 8.3.19 図以下の通りである。

本図より動搖による图形の歪みは認められるが、波向観測の目的の為には特に対策を必要とするほど大きいものではないと判断出来る。

### 8.3.5.まとめ

以上の検討結果をまとめると以下の通りである。

i). レーダー映像と実際の波浪との関係については、酒田港の PPI 映像より推定される波周期と波高計により求められる波周期の比較より、レーダー映像は波峰線を示しているものと考えられる。

ii). レーダー映像に対する環境の影響については、明確な結論は出せないが、新潟及び酒田港の観測記録を整理した結果によれば次の通りである。

- i) 波高の高いほど
- ii) 島度の高いほど
- iii) 風向と波向が近いものほど

よく観測されている。

iii) レーダー本体は船用のセンチ波レーダーでよい。

ii). 船体の動搖によって映像が歪むが、今回の目的の為には許容しうる程度である。

## 8.4 波向観測レーダーシステム案

### 8.4.1 設計の方針

前節の検討によつて、レーダー本体は本船の航海用レーダーで十分所期の目的を達しうると判断されたので、本船の航海用レーダーによる波向観測システムについて検討することにした。

本案において考慮した基本的事項は次の通りである。

i) 本システムは実船試験の為の設備であり、多様な実船試験計画に幅広く適用出来ることが望ましい。すなわち、計測室が船橋から離れていても観測可能なものとしておくと共に、本船のレーダーの航海用レーダーとしての機能を阻害しない為に、本船用レーダーより信号のみをもらい、波向観測はサブレーダーにより行うシステムとする。

ii) 観測記録の為の最低限度の装置は PPI の撮影装置とする。

iii) 実際の海面での波向は複雑であつて影像の観察のみによつては簡単に

は判断しかねる場合も考えられるので、レーダー信号を有効に活用した装置を開発する必要がある。

二) 実船試験用であるので取扱簡便なものとする。

#### 8.4.2. システムの概要

前記の方針を満足せしめカシステム案のプロック図を8.4.1図に示す。すなまち、本システムは

1. ブースター及びサブレーダー
2. 撮影及び制御装置
3. 波向記録装置

の3つの主要部分よりなり、各部の概要は次の通りである。

##### 1) ブースター及びサブレーダー

ブースターは主としてマスターレーダーの第一検波出力の映像中間周波信号の増幅、制御を行いうる回路部であつて、サブレーダーに適切なレベルの映像信号を与えると共に、マスターレーダーとサブレーダーとの相互干渉を無くすることを目的とする。

サブレーダーはマスターレーダーより、ブースターを通して必要信号を入力し、ほとんどマスターレーダーの拘束を受けずに操作、観測を行う為のレーダーである。

##### 2) 撮影装置及び制御装置

PP I 映像を自動又は手動により撮影し、同時に撮影日時及び船首方位を記録する為の装置である。

##### 3) 波向記録装置

レーダーの信号を処理して複雑な海面の映像より波向を求める装置である。

#### 8.4.3. ブースター及びサブレーダーの設計仕様(案)

ブースター及びサブレーダーの設計仕様(案)及び系統図(案)(図8.4.2及び8.4.3参照)を以下に示す。

##### 1) ブースターの仕様

- |              |                  |
|--------------|------------------|
| 1. 入力信号      | (1) 第一検波出力       |
|              | (ロ) STC LEVEL 信号 |
|              | (ハ) GAIN " "     |
| 2. 出力信号      | 映像中間周波出力信号       |
| 3. 中間周波数     | 60MHz            |
| 4. 中間周波帯域幅   | 3MHz             |
| 5. 中間周波増幅度   | 80db.            |
| 6. STC抑圧度    | 60db.            |
| 7. GAIN 調整範囲 | 30db.            |

8. 雑音指數 11.5 db以下

9. 入力電源 AC 100V 50/60 Hz

10. サブレーダー仕様

1. PPI 表示管 12インチ (12 ABP 7A)

2. 距離範囲 3/4, 1.5, 3浬

3. 距離環 1/4, 1/4, 1/2, 浬

4. 距離環確度 ± 1 %

5. 距離分解能(最小) 22M.

6. 最小探知距離 30M.

7. 操作

(1) 起動 自動 - 手動

(2) 輝度調整 手動 (半固定)

(3) 距離レンジ 手動

(4) 距離環 手動

(5) 利得調整 手動

(6) STC レベル 手動

8. 同期方式 シンクロナスマーターによる同期方式

9. 入力信号 (主レーダー、BOOSTER より)

(1) 映像中間周波信号

(2) デスペクトリーガード信号

(3) 空中線同期信号

(4) 船頭方位表示信号

(5) 变調幅切換信号

(6) 外部起動信号

10. 出力信号

(1) 利得調整信号

(2) STC 調整信号

11. 波向観測 SUB RADAR としての主たる機能

(1) 海面反射信号が距離の3乗に逆比例するために STC 回路の  
制御信号としての対数演算出力

(2) 主レーダーのレンジ切換による送信パルス幅変更に対する  
自動利得調整

12. 入力電源 AC 100V 50/60 Hz

8.4.4. 撮影及び制御装置

仕様の概要是以下の通りである。

イ) 撮影装置

1. 対象 CRT 12インチ
2. 表示データ 年月日時分、方位角
3. カメラ キヤノンモータードライブ及ぶ一般カメラによる  
他、ポラロイドカメラによるチエック撮影

口) 撮影制御装置

1. 機能 自動又は手動により、サブレーダー等の外部機器を起動し、カメラ撮影の起動を行う。  
又船時計信号及び方位信号を入力し、撮影コード用表示データーを出力する。
2. 設定 上記に必要な時刻、自動記録時間間隔(10分～10時間)  
及び連続撮影(5秒/1コマ)を設定する。
3. 電源 AC 100V +15%, -10%, 50/60 Hz

以上の仕様による装置の外形写真を次に示した。(

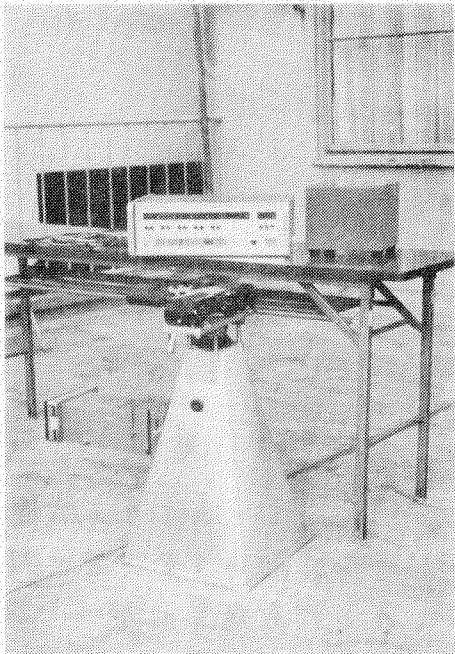


写真 8.4.1. 撮影及び制御装置

## 8.5 波向測定法の調査

レーダーの PPI 映像、又は信号を処理して波向を測定する方法には次の方法が考えられる。

### a) PPI 映像写真より視察による

映像写真上の波峰線を識別して波向を測定する方法であり、長波峰の規則正しい波浪においては十分有効である。（写真 8.5.1 参照）又、映像写真の一つの特徴として、写真 8.5.2 に見る如く波群全体の映像は 波向の方向に長くなるので、これより波向を推定する事も考えられる の明るい部分

### b) PPI 映像の連続撮影

PPI 映像を連続撮影し、これを連続的に映写すれば波峰の運動を動態的に観察しうるものと思われる。前節の撮影装置では、この目的の為に 5 秒/コマで連続撮影が出来る機能を持ってゐる。

### c) 光の回折による方法<sup>(3)</sup>

松尾氏他の開発した方法である。これは PPI 映像の陰画を白黒反転して波峰が白くなる様にし、これにナトリウム光源をピンホールを通して照射して回折を起さしめるものである。詳細は原文献によることとし測定の原理を説明すると次の通りである。すなわち、図 8.5.1 の映像の回折像を作ると図 8.5.2 の如くなり  $0m$  方向の像は  $MOM$  線上の  $1, 2$  および  $1', 2'$  のような黒点となり、 $MOM$  の方向は  $0m$  の方向と一致し、距離  $O1$  は平均波長に反比例する。二次波  $O1$  についても同様である。

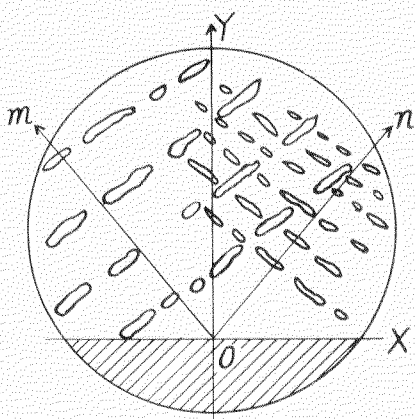


図 8.5.1. レーダー写真映像の説明図

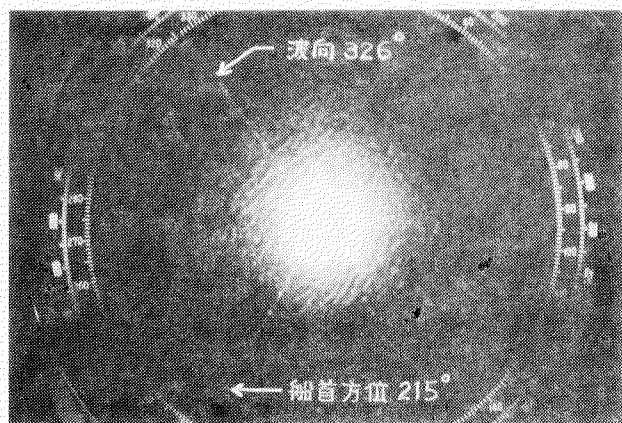


写真 8.5.2

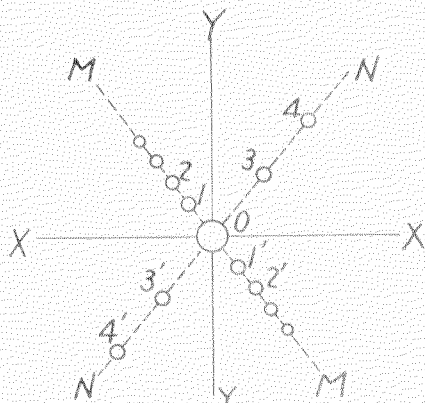


図 8.5.2 回折像モデル図

d) 反射信号を利用する

図8.5.3のPPIスコープ上の①、②、③の位置のAスコープを取ると、図8.5.4の様なパターンを示す。この様な信号より雑信号を除去整形して波峰による信号のみを取り出し、これを活用して波向を測定する方法である。

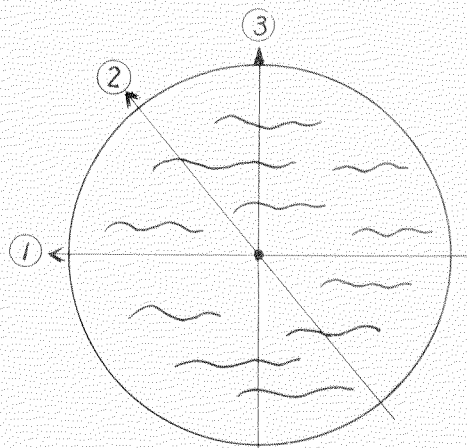


図 8.5.3

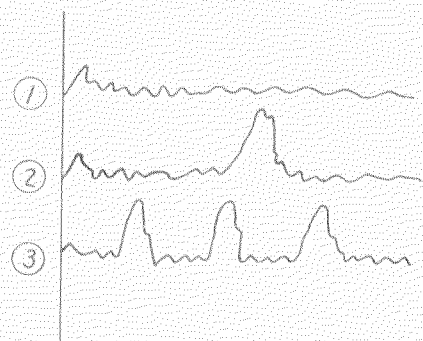


図 8.5.4

たとえば、レーダー空中線の一一定の回転角中に受信する信号の数を積算すれば、レーダーの繰返し周波数は一一定であるから、これはその方向で観測される波峰の数に比例する。そして観測される波峰の数は波浪に直角の場合にはほぼ極大となると考えられるので、これらを各方位毎に比較すれば、これより波向を測定することが出来る。

以上のうち、(a)については問題はないが、(b)については実際の波浪の連続撮影によって今後検討して見る必要がある。(c)の方法は既に実際に応用されているので、陸上で解析するには有効な方法と考えられるが、船上の解析手段としては設備の点で難点がある。(d)については、その可能性について検討を必要とするので、光学的な模型によつて実験を実施中である。

これは波浪の映像に線光源をあて、これをフォトトランジスターで走査することによつてレーダーで得る信号波と同様の信号を再現するものである。(写真8.5.3参照)

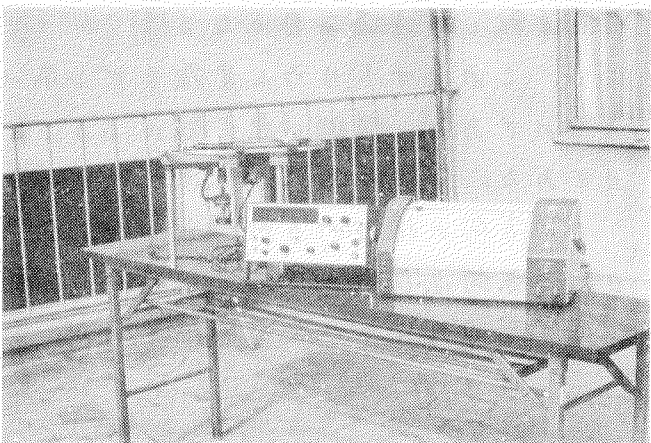


写真 8.5.3

## 参考文献

- 1) 丸川武志 9 G C 帯における海面波浪と実効反射係数  
電気通信学会雑誌 45巻 8号 昭和37年8月
- 2) 高橋智晴 海象観測用レーダー、超音波式波高計 S.46.6.21.  
(第20回直接研報“沿岸波浪観測法”抜粋)
- 3) 松尾純一他 日本沿岸の波について(第2報)  
金沢海岸のレーダー観測による波向分布  
第14回海岸工学講演会講演集 1967.
- 4) 連輸省第一港湾建設局 新潟調査設計事務所  
波浪観測台帳 第9、第10、及ぶ第11集  
波浪観測台帳 第3、第4集

## 実測の波とレーダー映像上の波

## SAKATA PORT

Data No.	年月日時	λmとその周期			波向	平均波高	風向	風速	T 1 / 3	
		Pw(-14)	Area A	Area B					Analogue	digital
1	45 1-13-10	81 8.1	63 7.3	98 8.3	97	2.50	NW	15.8	7.6	8.2
2		109 16 10.2	86 9.4	115 9.2	77	2.84	NW	14.3	8.7	9.1
3		69 14-10 7.2	63 7.3	104 8.6	79	2.29	W	11.0	8.5	9.0
4		104 16 9.8	92 10.0	129 9.5	78	2.25	NNW	12.0	8.4	9.2
5		63 16-10 6.8	63 7.3	69 6.7	66	1.00	NNW	6.0	7.7	8.9
6		86 16 8.5	69 7.8	92 7.9	83	1.83	W	13.7	7.6	8.2
7		92 17-10 8.9	75 8.4	104 8.6	88	1.88	NNW	5.7	8.9	9.8
8		92 16 8.9	86 9.4	127 9.8	79	1.69	NW	10.3	9.2	9.7
9		75 18-10 7.6	92 10.0	104 8.6	78	1.46	NW	6.7	8.4	9.0
10		86 16 8.4	69 7.8	121 9.5	51	1.62	NNW	8.3	7.7	9.9
11		75 22-10 7.6	81 8.9	92 7.9	62	2.49	NNW	13.0	7.9	8.3
12		86 16 8.5	75 8.4	104 8.6	62	1.74	NW	9.7	8.0	8.9
13		86 24-10 8.5	81 8.9	104 8.6	55	1.75	NW	9.7	8.7	9.2
14		92 16 8.9	86 9.4	104 8.6	69	1.36	NW	6.8	8.0	8.3
15		69 25-10 7.2	58 6.8	75 7.0	68	1.63	NNW	12.8	7.3	7.6
16		63 16 6.8	52 6.3	81 7.4	69	1.26	NNW	8.7	7.7	7.9
17		144 2-2-10 13.0	127 13.3	144 10.8	68	6.07	欠測	欠測	12.1	12.2
18		104 16 9.8	115 12.2	127 9.8	67	5.78	欠測	欠測	11.0	12.1
19		109 3-10 10.2	98 10.5	109 8.8	73	2.64	欠測	欠測	10.7	10.7
20		115 16 10.7	92 10.0	138 10.4	64	2.39	欠測	欠測	9.4	9.8

Data No.	年月日時	入mとその周期			波向	平均波高	風向	風速	T 1/3	
		Pw(-14)	Area A	Area B					Analogue	Digital
21	45 2-9-10	86 8.5	86 9.4	128 9.7	39	3.19	欠測	欠測	9.2	欠測
22		104 9.8	98 10.5	173 12.4	68	5.44	欠測	欠測	11.2	欠測
23		92 8.9	81 8.9	104 8.6	50	2.88	NW	16.3	8.9	8.8
24		98 9.4	86 9.4	92 7.9	42	1.78	NW	11.7	7.2	7.4
25		81 8.1	75 8.4	86 7.6	72	3.03	WNW	15.5	8.9	9.3
26		86 8.5	109 11.6	121 9.5	70	3.97	WNW	17.3	9.4	10.1
27		93 9.4	81 8.9	121 9.5	91	4.93	W	19.3	10.0	10.5
28		115 10.7	121 12.8	161 11.7	74	5.75	WNW	16.3	11.8	12.3
29		116 10.7	115 12.2	121 9.5	72	3.99	NW	16.2	10.4	11.0
30		98 9.4	92 10.0	109 8.8	70	3.12	W	13.2	9.2	10.0

↑ ↑  
↓ ↓  
Pw(-14) 実測値

註 1. 入m : Radar映像から読みとったPw(-14), AおよびB付近の五波の平均波長。

2. 入mの周期は次式による  $T^2 = \frac{2\pi}{g} \frac{\lambda_m}{\tan \frac{\pi h}{\lambda_m}}$   
(ただし hは Pw(-14) の水深 h = 14m とする)

3. 計測点は次の3点

Pw(-14) : 波高計設置場所 (水圧式)

A 別図による

B : Pw(-14)と同じ水深の海域

4. 波向 : 北から反時計回りの角度

## NIIGATA PORT

Data No.	年 月日時	λmとその周期			波向	平均 波高	風向	風速	T 1 / 3	
		A	B	C					Analogue	Digital
31	46 11-1-10	109 11.0	欠測 欠測	125 11.5	12	2.14	NNW	4.5	9.9	欠測
32	5-10	54 6.3	欠測 欠測	66 7.0	欠測	0.67	N	7.5	6.4	欠測
33	5-16	54 6.3	欠測	92 7.4	10	0.75	N	6.8	6.9	欠測
34	8-10	65 7.2	106 8.9	82 8.2	33	欠測	N	13.2	欠測	欠測
35	8-16	94 9.7	110 9.1	104 9.8	31	欠測	NW	8.0	欠測	欠測
36	15-10	49 6.9	56 6.0	54 6.1	欠測	欠測	N	5.8	欠測	欠測
37	15-16	63 7.0	93 8.1	66 7.0	32	1.41	N	9.7	7.4	欠測
38	12-1-10	88 9.1	128 10.2	122 11.3	36	欠測	欠測	欠測	欠測	欠測
39	1-16	99 10.1	135 10.6	113 10.5	34	欠測	欠測	欠測	欠測	欠測
40	3-10	66 7.3	103 8.7	66 7.0	91	欠測	欠測	欠測	欠測	欠測
41	3-16	74 7.9	128 10.2	122 11.3	86	欠測	欠測	欠測	欠測	欠測
42	4-10	107 10.8	欠測 欠測	103 9.8	34	欠測	欠測	欠測	欠測	欠測
43	4-16	79 8.4	104 8.8	84 8.3	35	欠測	欠測	欠測	欠測	欠測
44	6-10	欠測 欠測	欠測 欠測	60 6.5	欠測	欠測	欠測	欠測	欠測	欠測
45	6-16	72 7.8	欠測 欠測	83 8.2	欠測	欠測	欠測	欠測	欠測	欠測
46	7-10	63 7.0	欠測 欠測	81 8.1	欠測	欠測	欠測	欠測	欠測	欠測
47	7-16	82 9.5	88 7.7	82 8.2	35	欠測	欠測	欠測	欠測	欠測
48	8-10	71 7.7	99 8.5	71 7.3	33	欠測	欠測	欠測	欠測	欠測
49	10-10	71 7.7	112 9.2	84 8.3	35	欠測	欠測	欠測	欠測	欠測
50	13-10	65 7.2	欠測 欠測	75 7.6	38	欠測	NNW	9.9	欠測	欠測

Data No.	年月日時	$\lambda_m$ とその周期			波向	平均波高	風向	風速	T 1/3	
		A	B	C					Analogue	Digital
51	46 12-15-10	62 7.0	欠測 欠測	71 7.3	欠測	1.10	N	8.0	7.7	欠測
52	15-16	103 10.4	113 9.3	107 10.1	37	1.55	N	9.8	9.0	欠測
53	16-10	97 9.9	欠測 欠測	107 10.1	33	1.34	S	4.7	9.0	欠測
54	20-10	76 8.1	欠測 欠測	欠測 欠測	欠測	0.82	NNE	6.0	7.5	欠測
55	20-16	欠測 欠測	欠測 欠測	欠測 欠測	欠測	0.86	NE	4.3	8.3	欠測
56	21-16	72 7.7	欠測 欠測	欠測 欠測	欠測	0.63	NE	5.2	6.6	欠測
57	22-10	87 9.1	119 9.6	110 10.3	34	2.18	NNW	10.5	8.5	欠測
58	22-16	欠測 欠測	126 10.1	93 9.0	33	1.73	NNW	11.3	9.0	欠測
59	23-10	欠測 欠測	103 8.7	85 8.4	31	1.27	NNW	9.8	8.6	欠測
60	23-16	84 8.8	101 8.6	97 9.3	31	0.95	NNW	6.3	8.3	欠測

### NIIGATA EAST PORT

61	44 12-1-10	欠測 欠測	75	69	欠測	1.77	N	9.5	6.5	欠測
62	1-16	欠測	欠測	81	欠測	1.58	NNW	9.2	7.6	欠測
63	2-16	欠測	欠測	72	欠測	0.38	W	3.4	6.9	欠測
64	3-10	欠測	162	100	34	3.6	WNW	19.5	12.1	欠測
65	3-16	欠測	124	81	欠測	3.31	NW	18.0	11.4	欠測
66	4-10	欠測	132	71	32	2.21	NNW	12.7	8.4	欠測
67	4-16	欠測	129	116	32	3.82	NW	14.6	9.3	欠測
68	8-16	欠測	97	78	34	1.60	WNW	14.6	6.9	欠測
69	12-16	欠測	欠測	60	欠測	1.55	W	13.7	6.9	欠測

SAKATA PORT

1/20,000

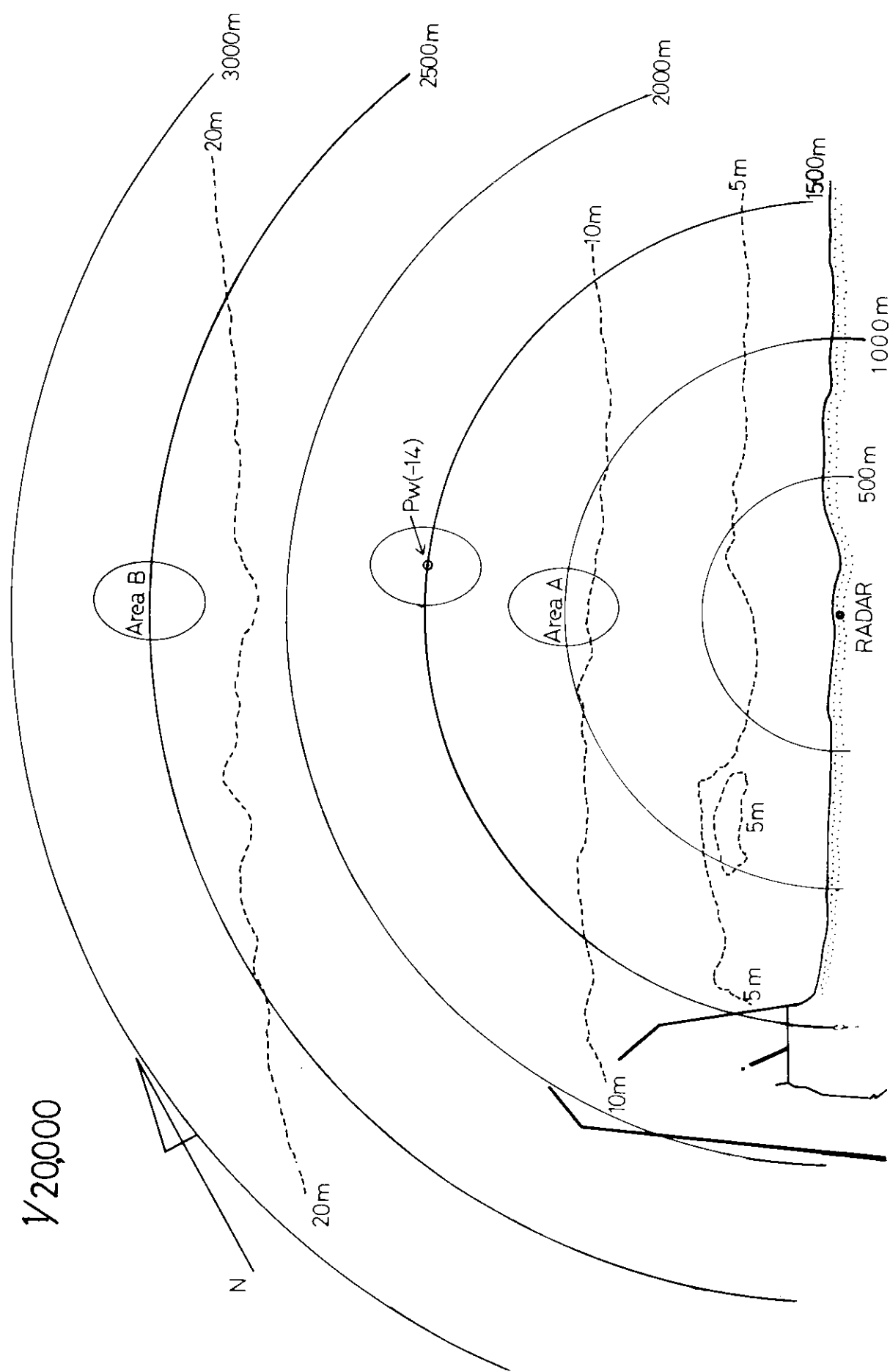
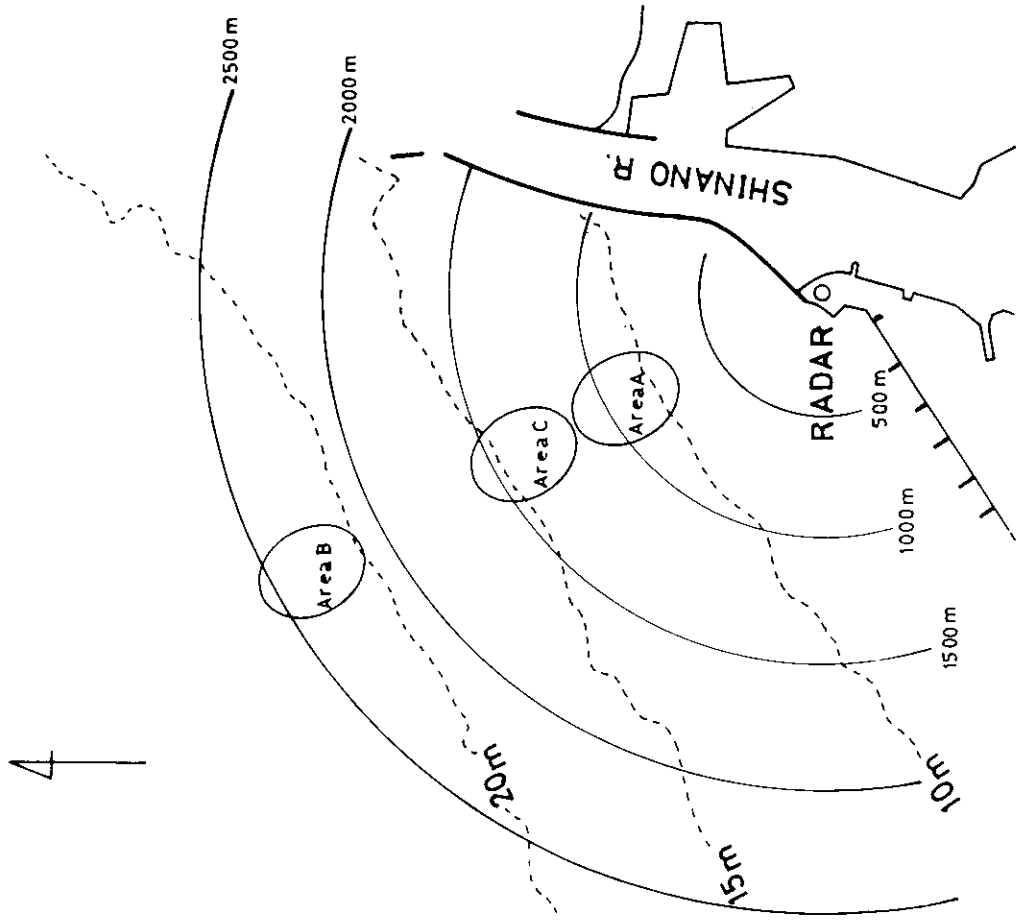


図 8.3.1

# NIIGATA PORT

1/300000



-111-

# NIIGATA EAST PORT

1/300000

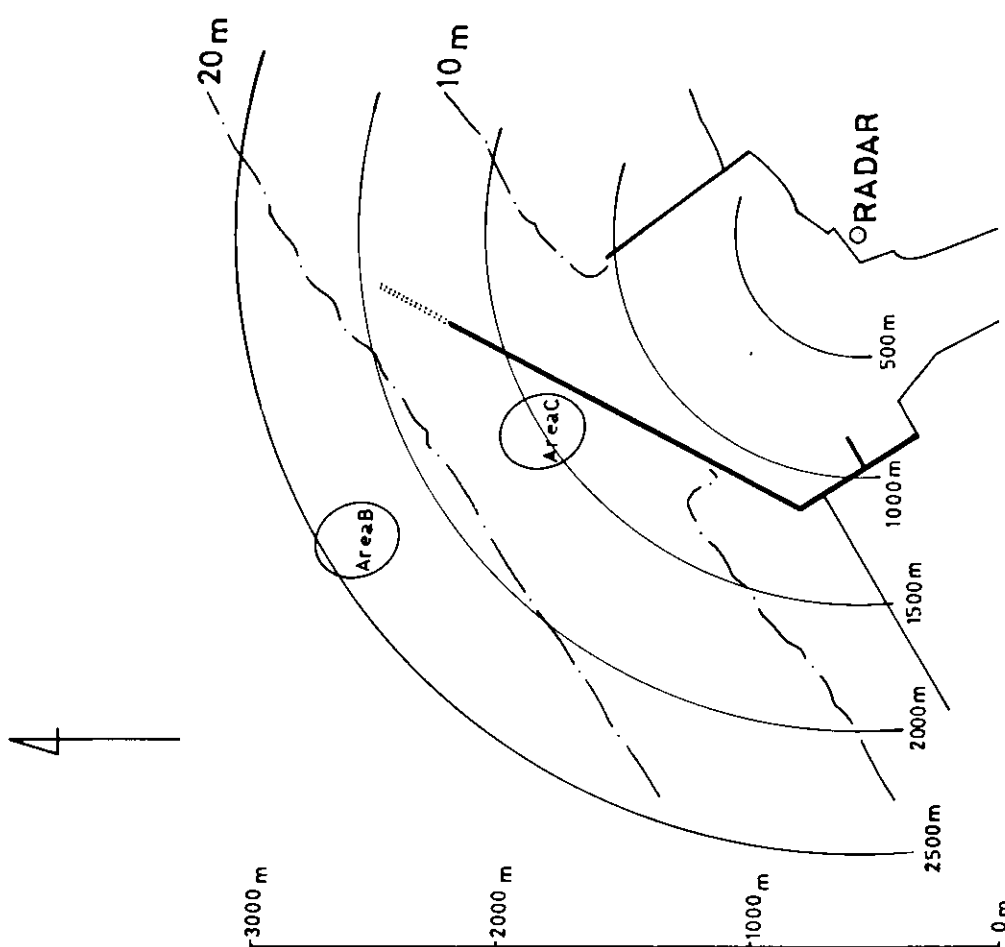


図 8.3.2

SAKATA PORT

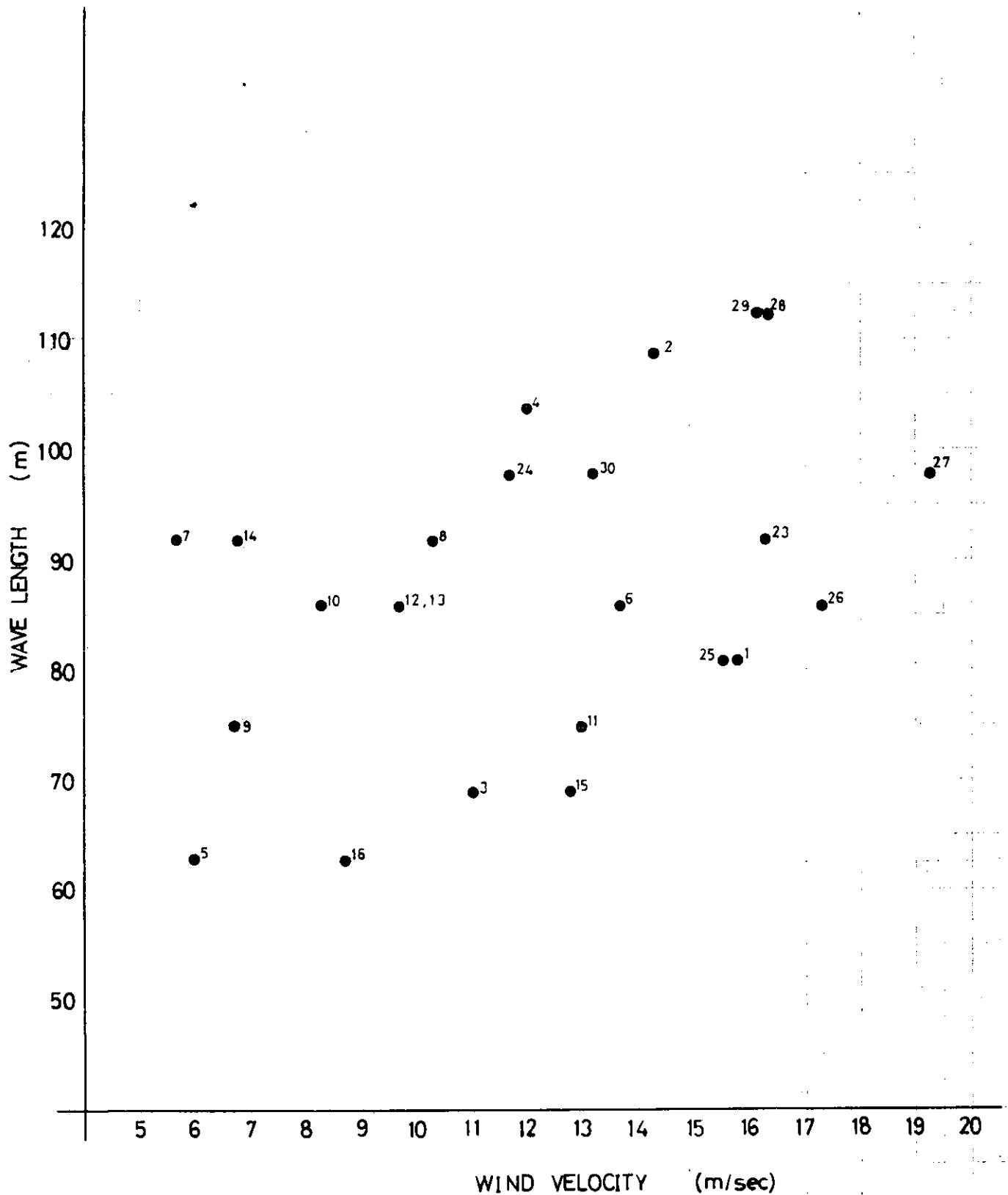


図 8. 3. 3

# SAKATA PORT

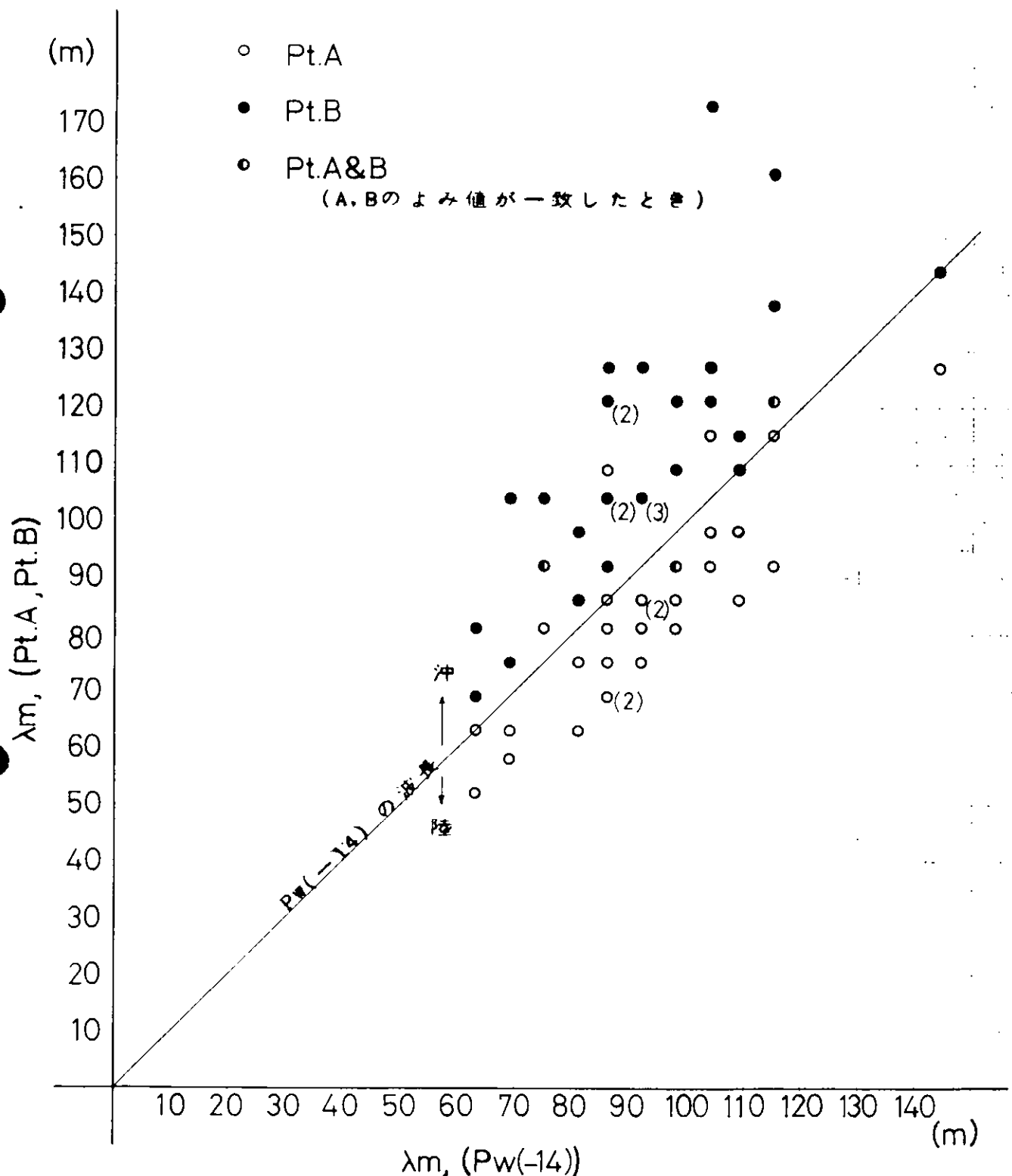
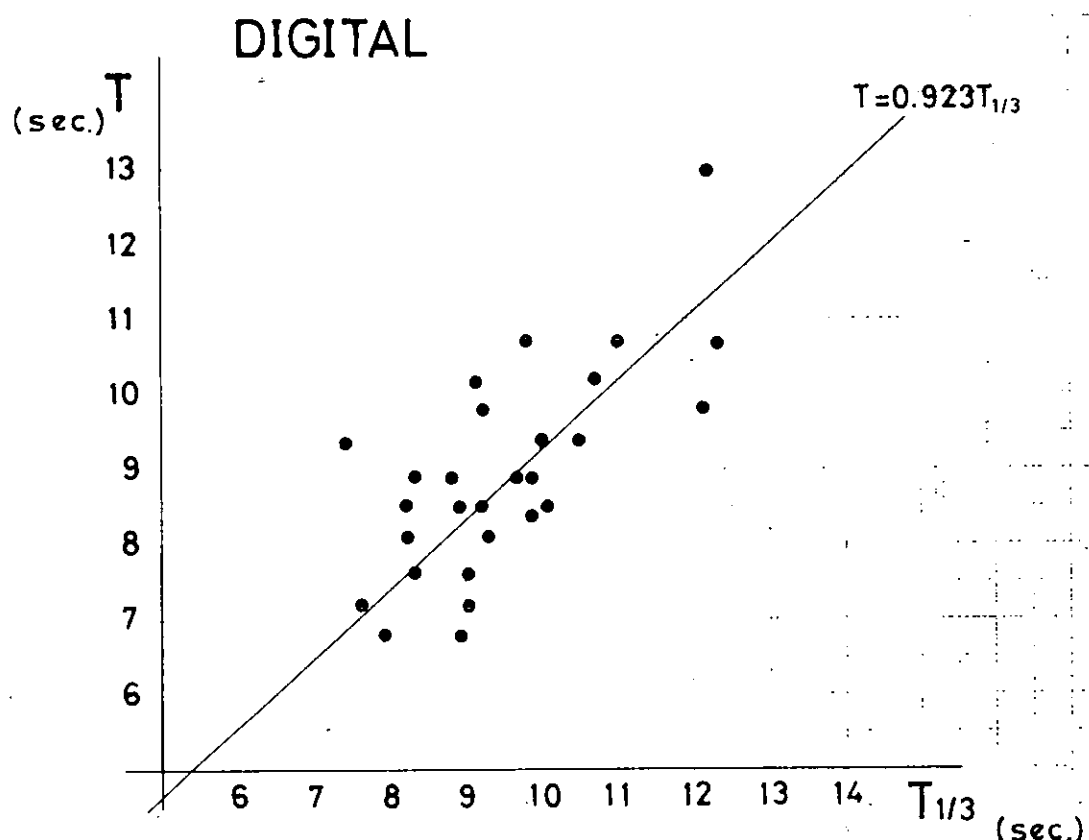
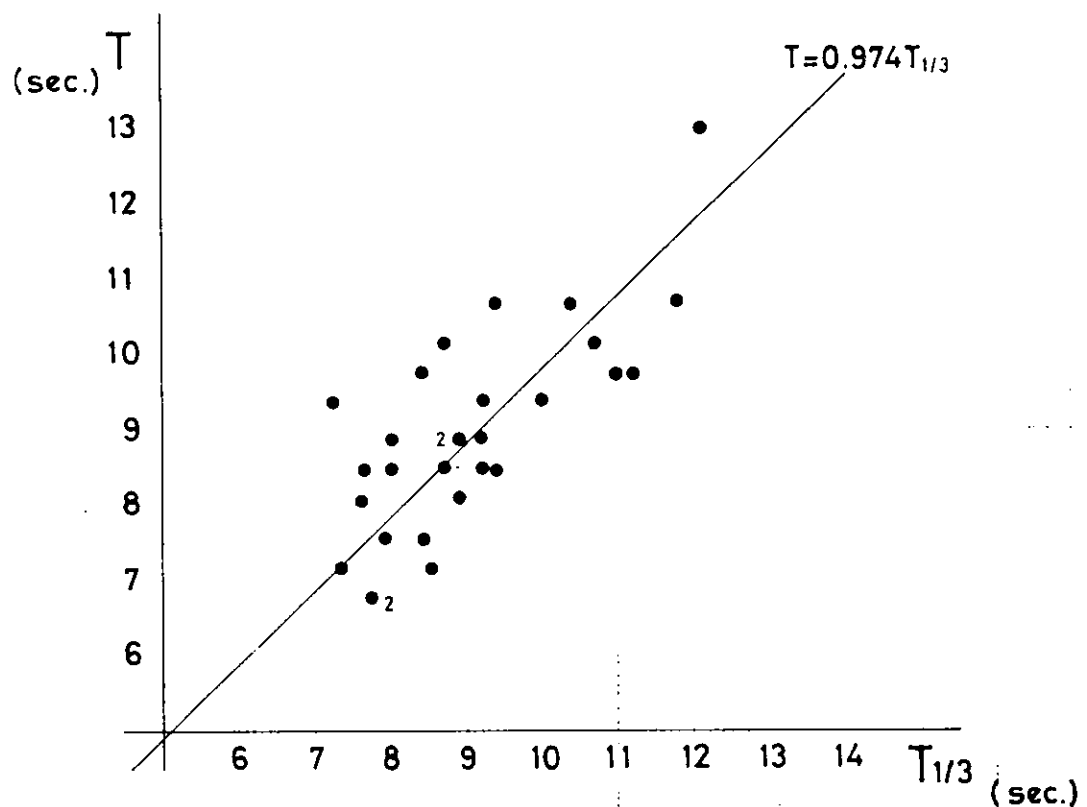


図 8. 3. 4

SAKATA PORT  
ANALOGUE



$T$  は 波長より逆算した波周期

図 8.3.5

# SAKATA PORT

winter 1970, 1971

白：波向観測可能

黒：波向欠測

ただし機器の故障は極めてまれ  
であるから欠測数はそのままPPI  
に波頂線が出なかった回数と考  
えてよい。

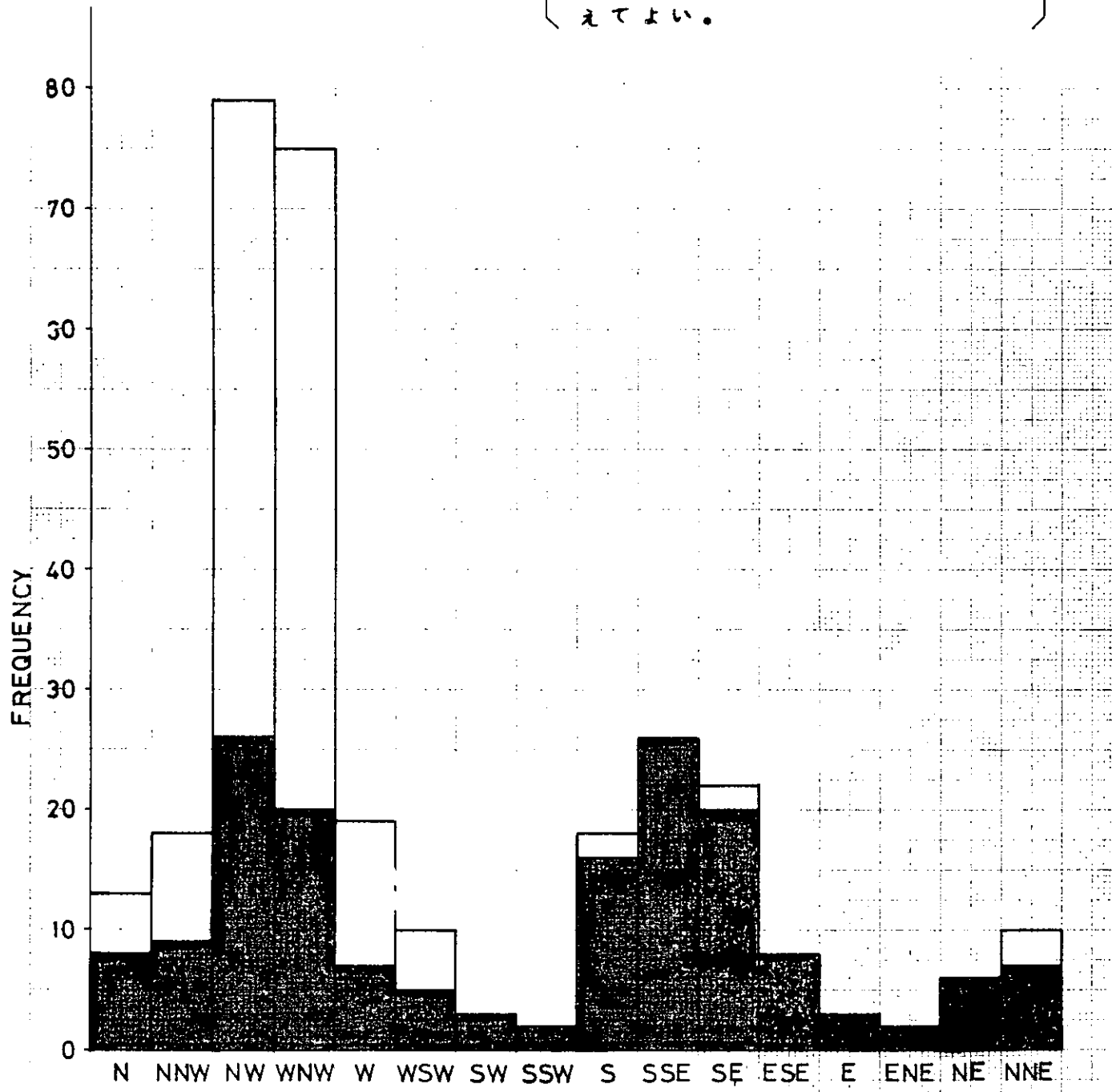


図 8.3.6

# SAKATA PORT

winter 1970, 1971

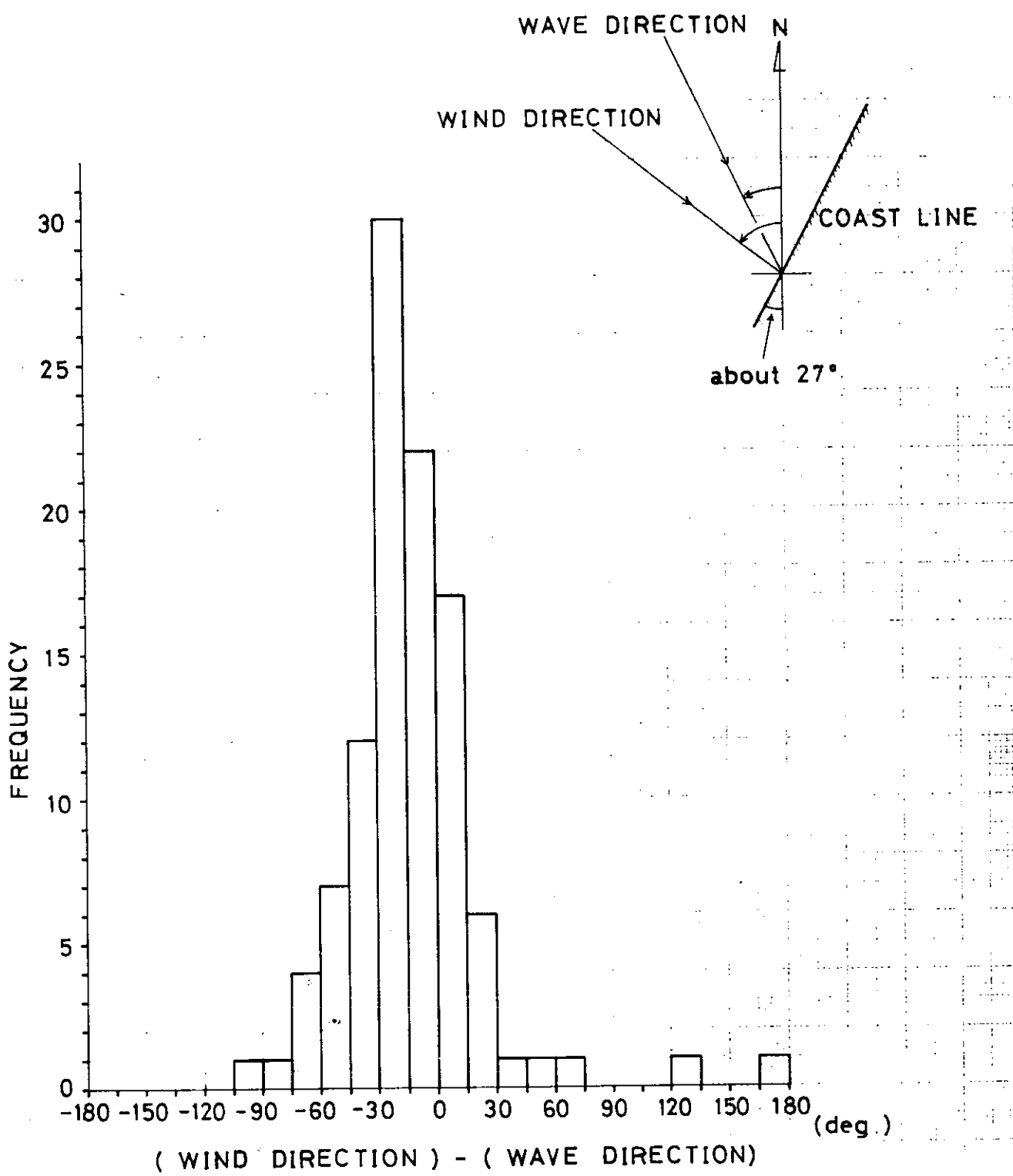


図 8.3.7

# SAKATA PORT

winter 1970, 1971

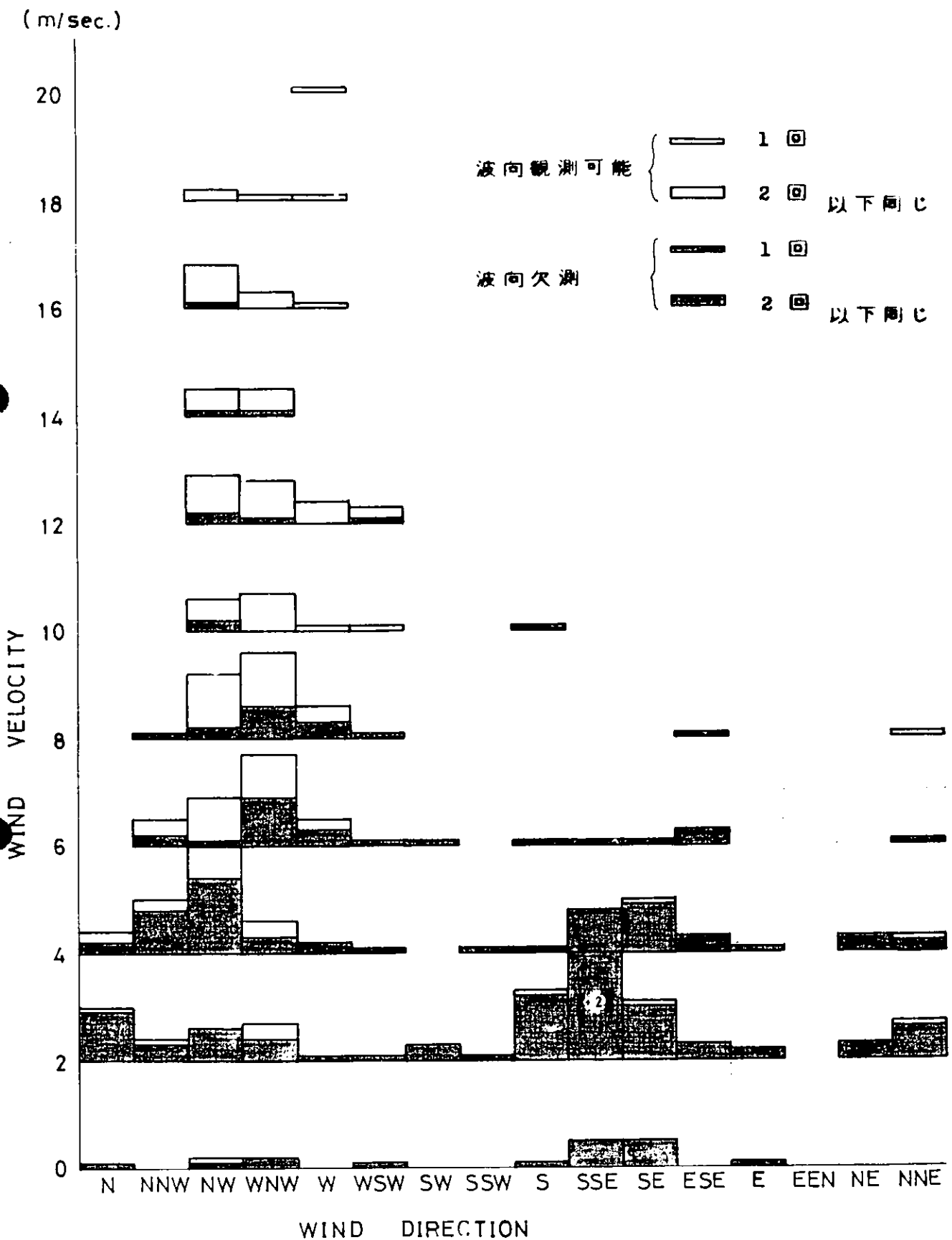


図 8.3.8

# SAKATA PORT

winter 1970, 1971

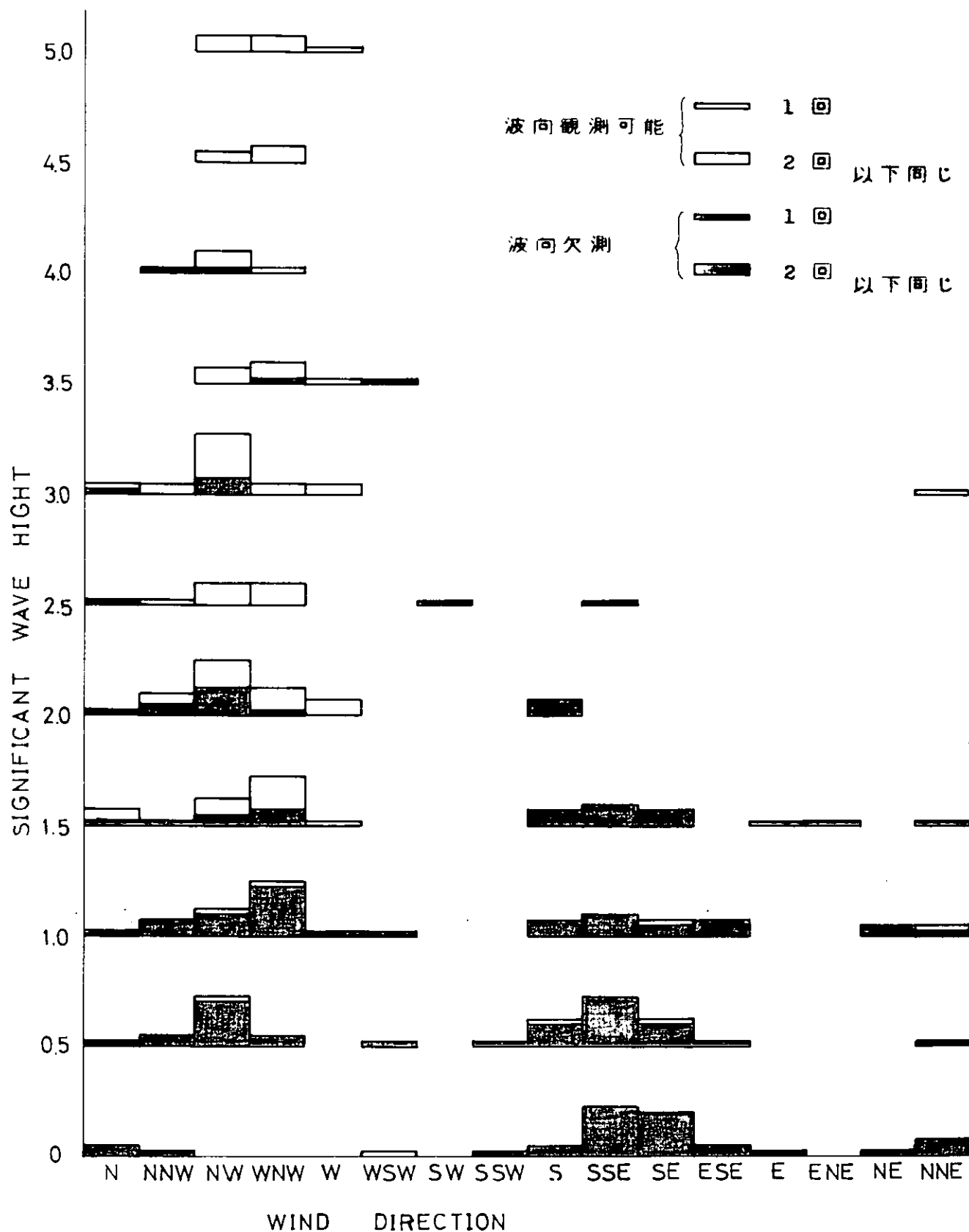


図 8.3.9

# SAKATA PORT

winter 1970, 1971

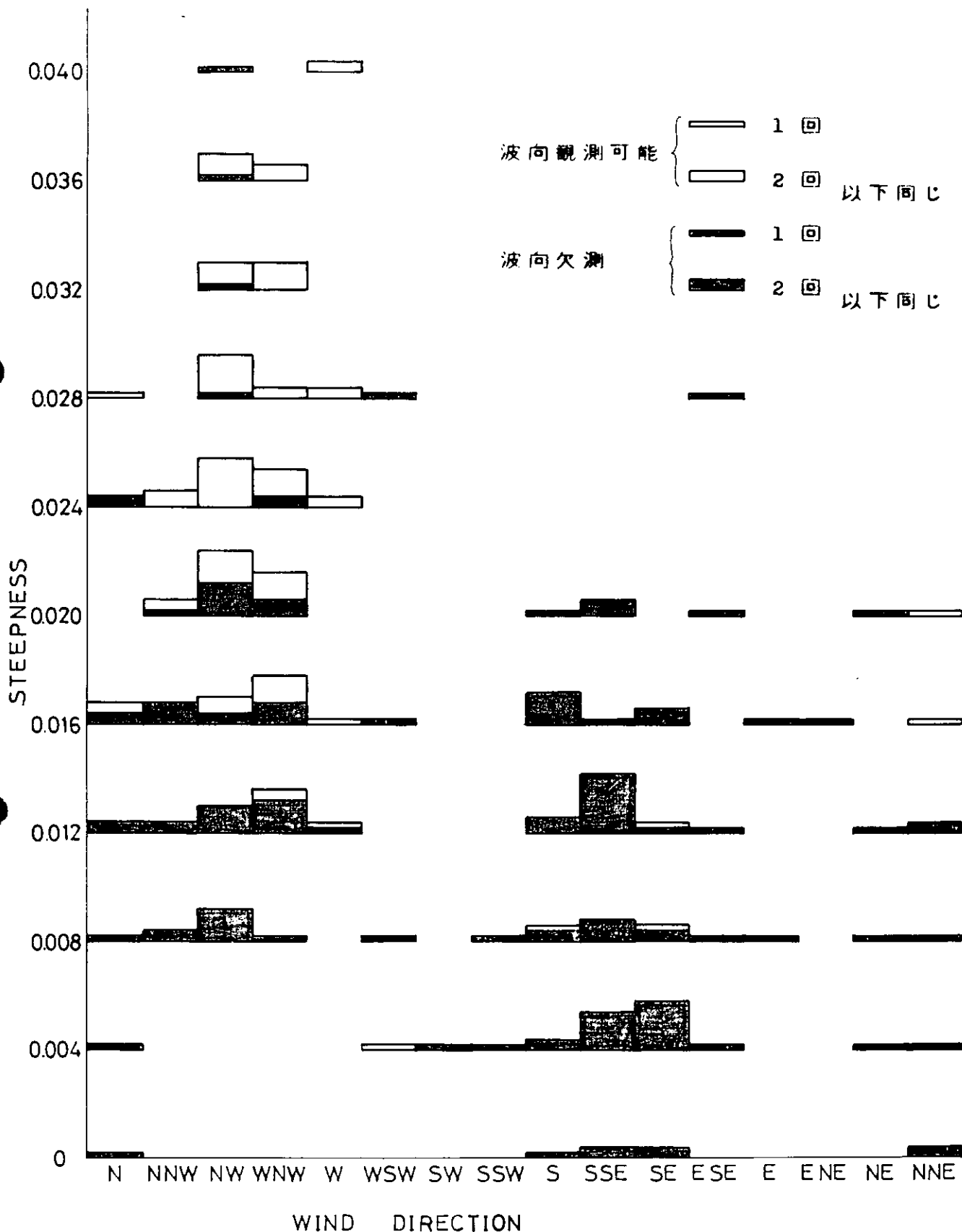


図 8.3.1.0

# NIIGATA PORT

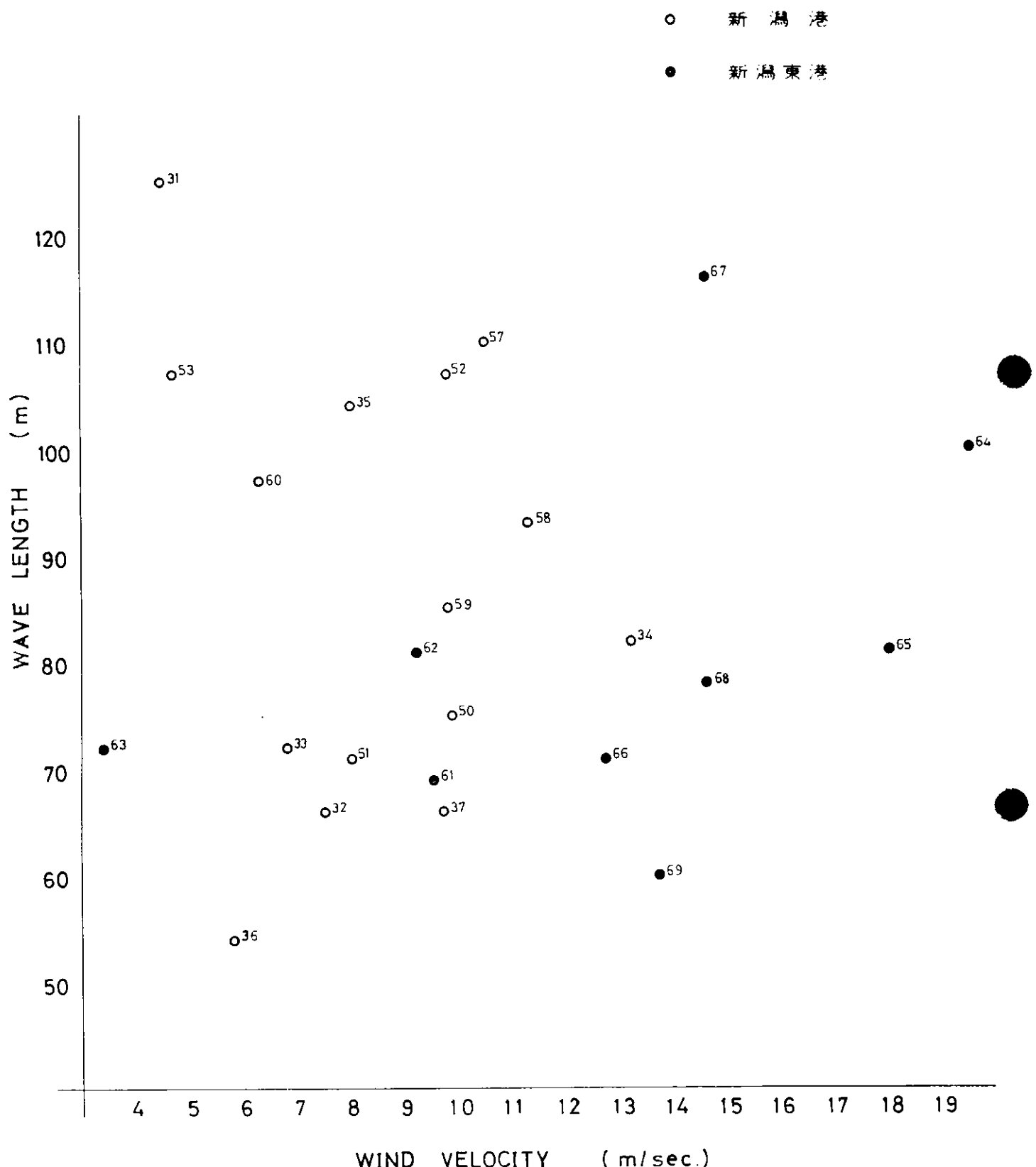


図 8.3.11

# NIIGATA PORT

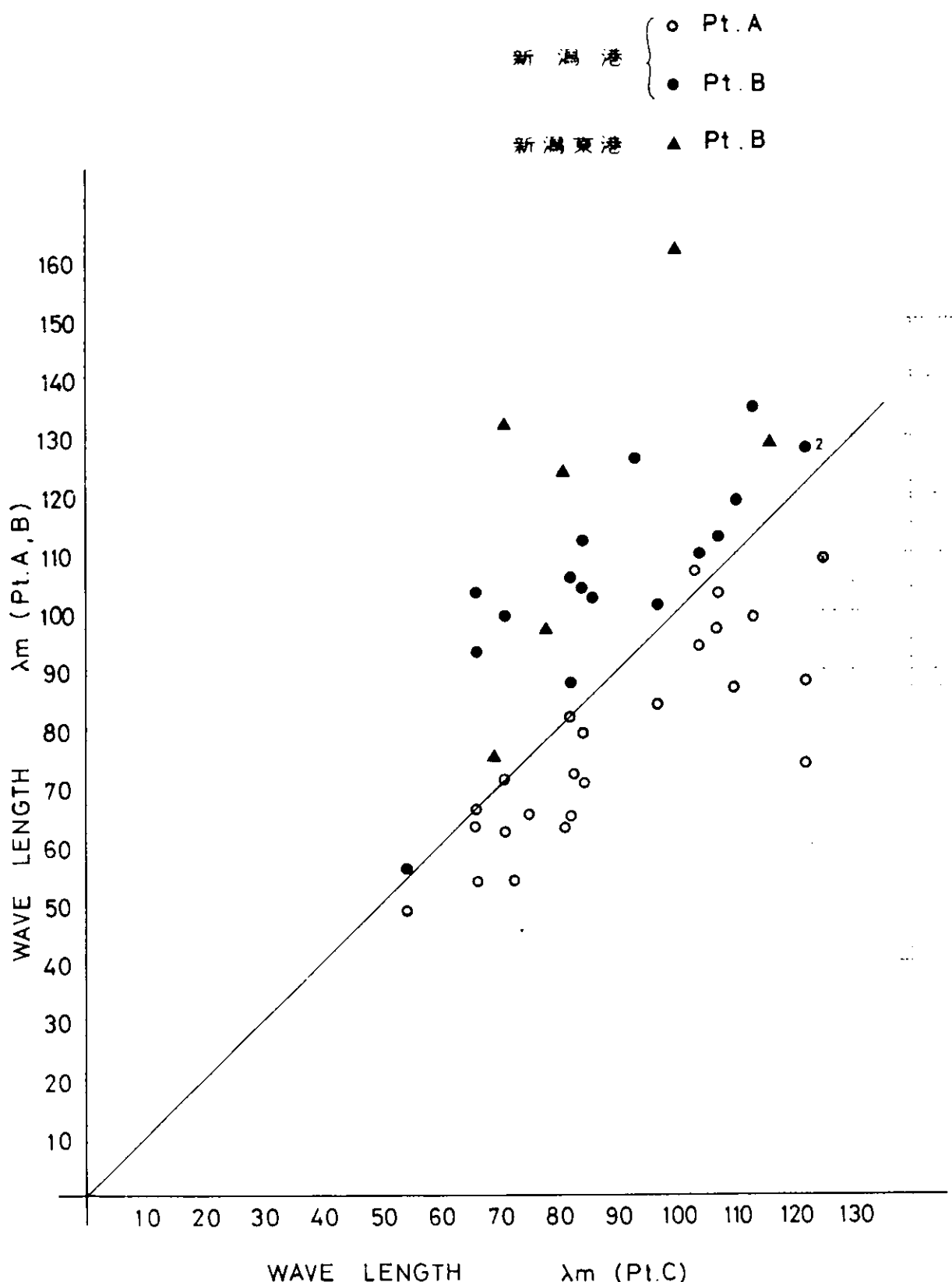


図 8.3.1.2

# NIIGATA PORT

winter 1971

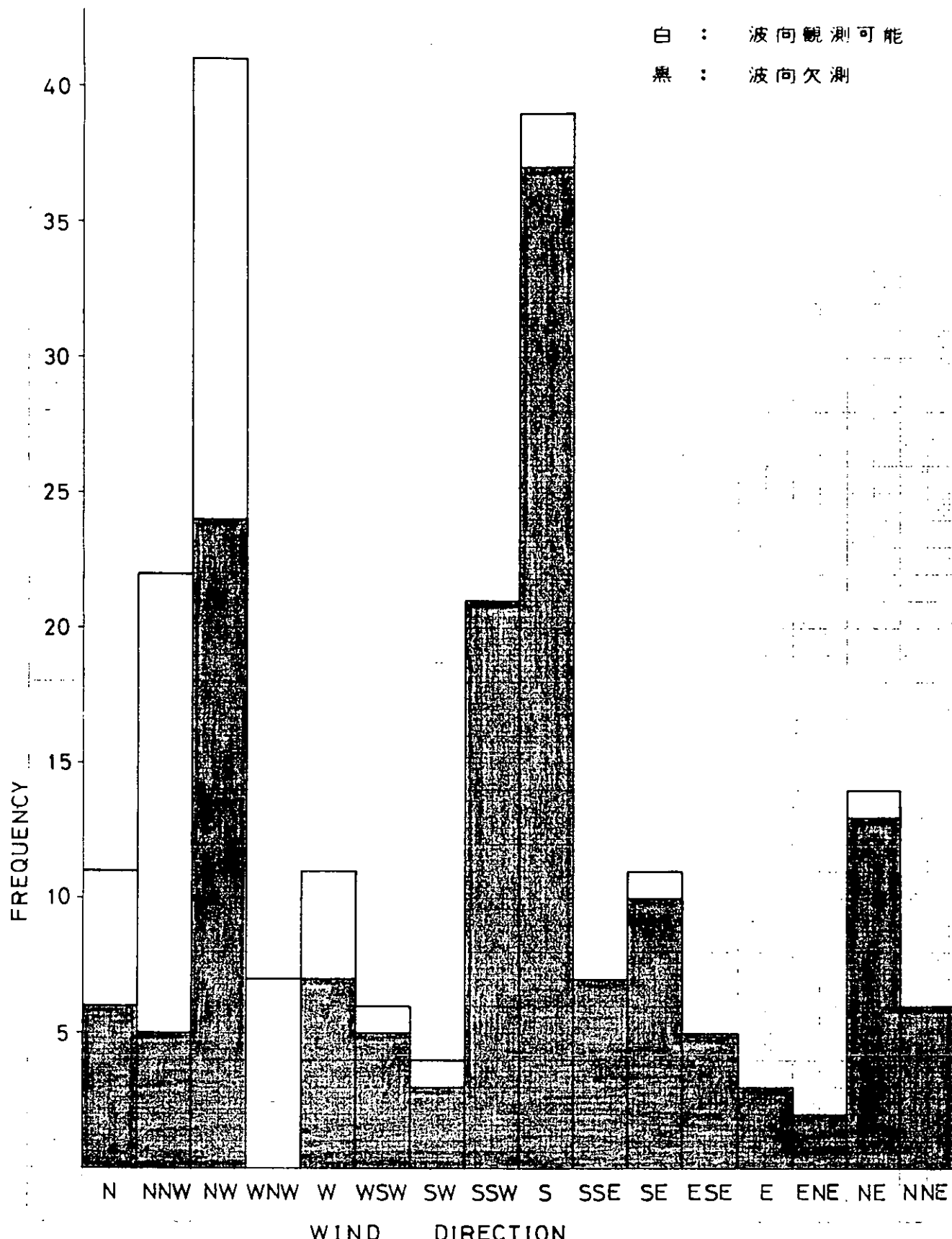
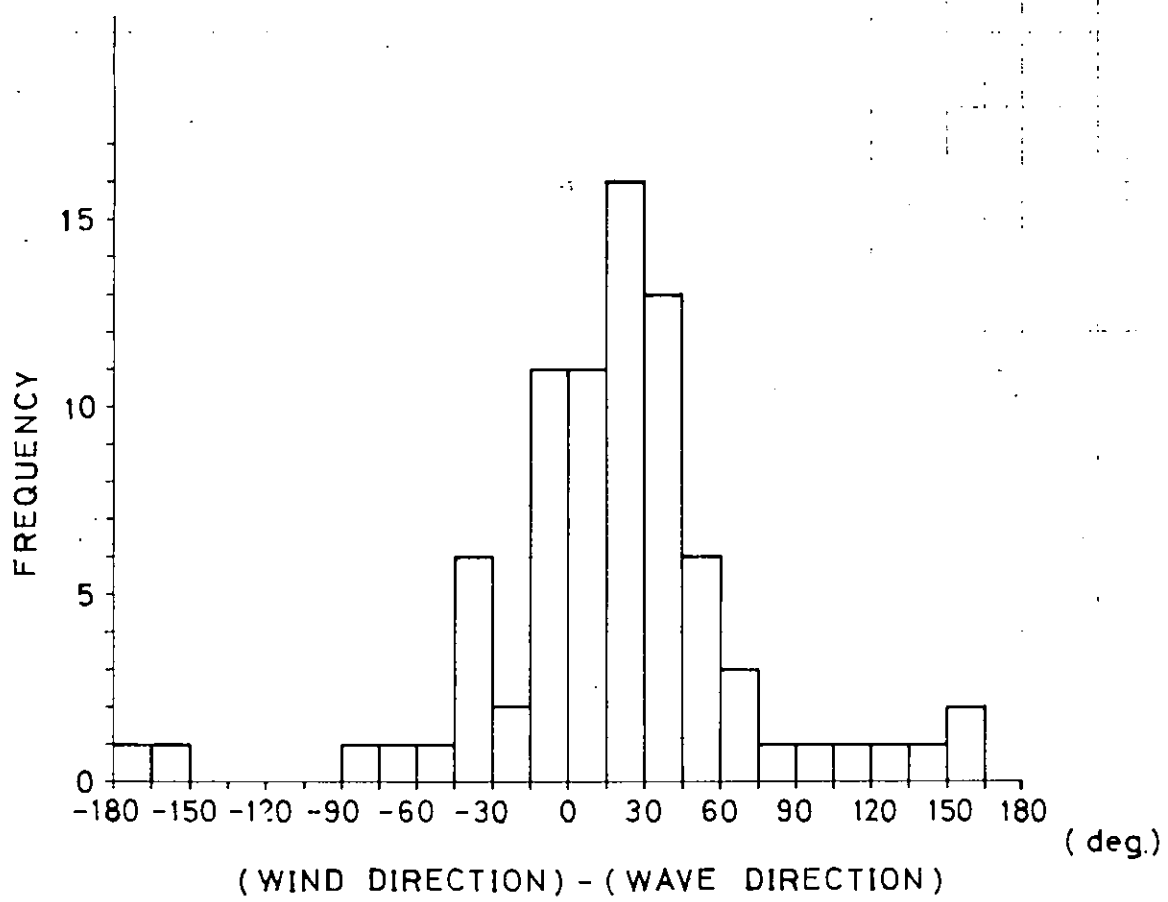
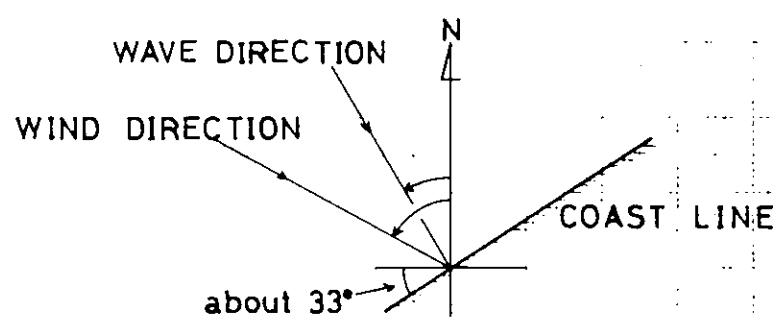


図 8.3.1.3

# NIIGATA PORT

winter 1971



# NIIGATA PORT

winter 1971

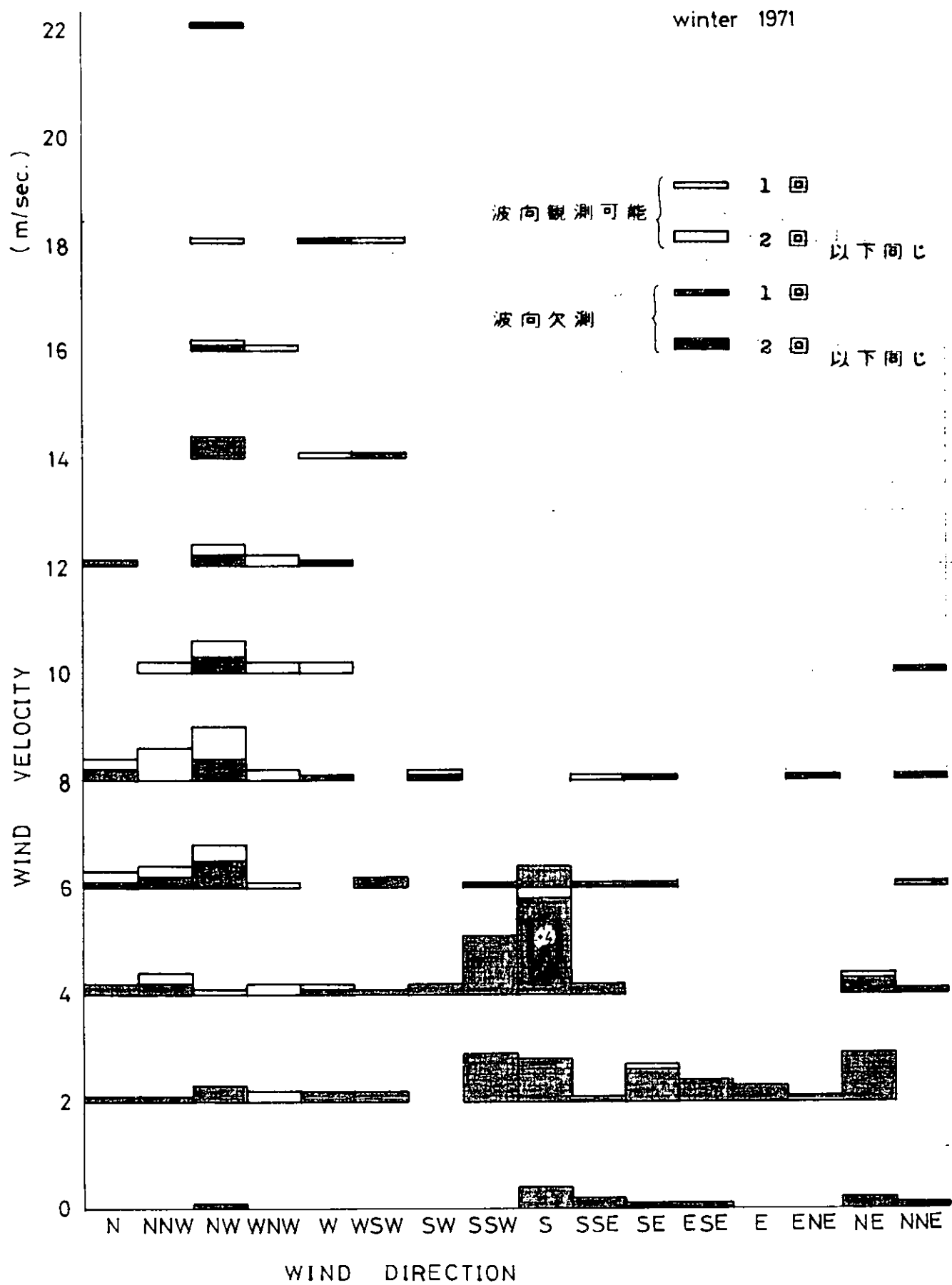


図 8.3.1.5

# NIIGATA PORT

winter 1971

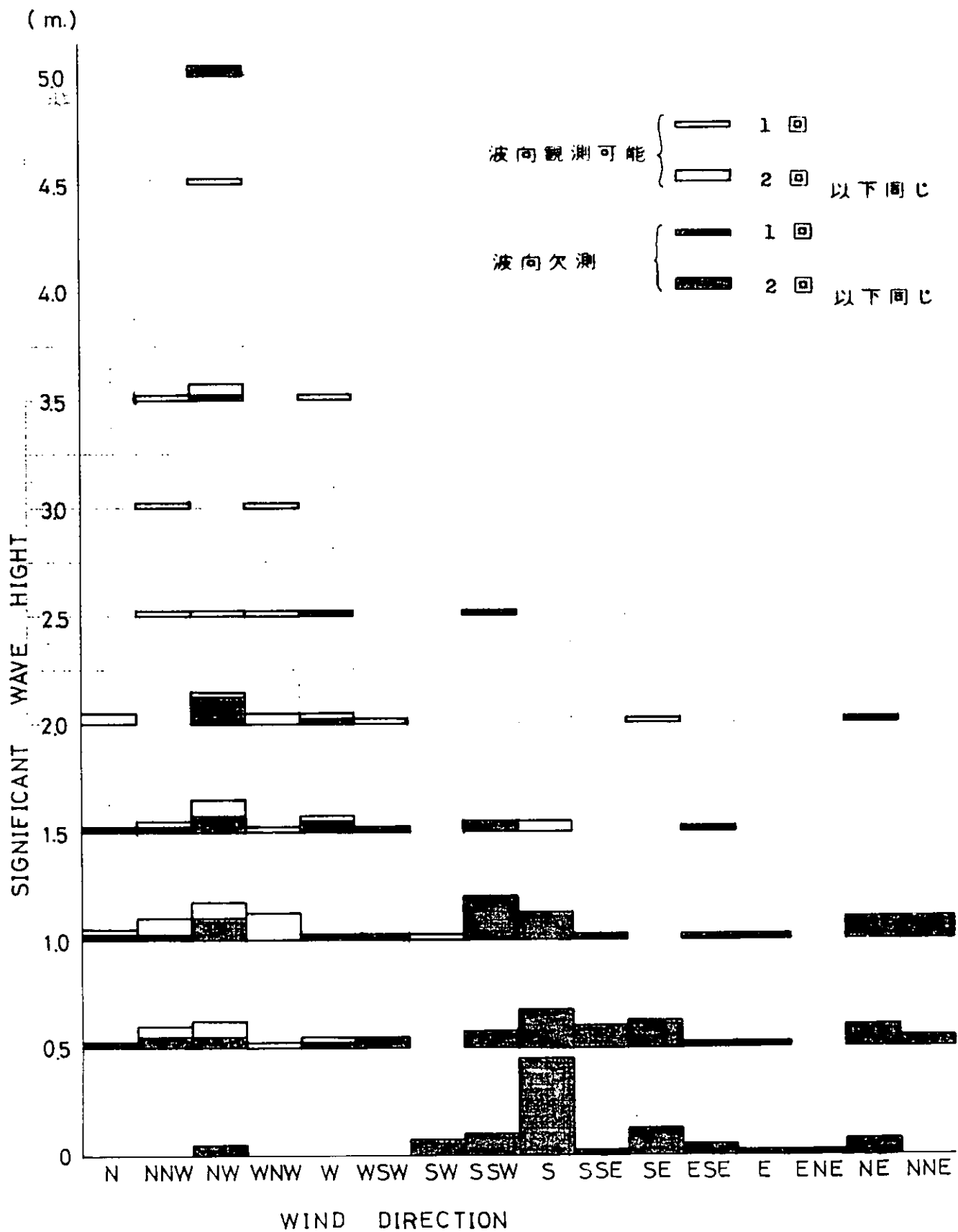


図 8.3.1.6

# NIIGATA PORT

winter 1971

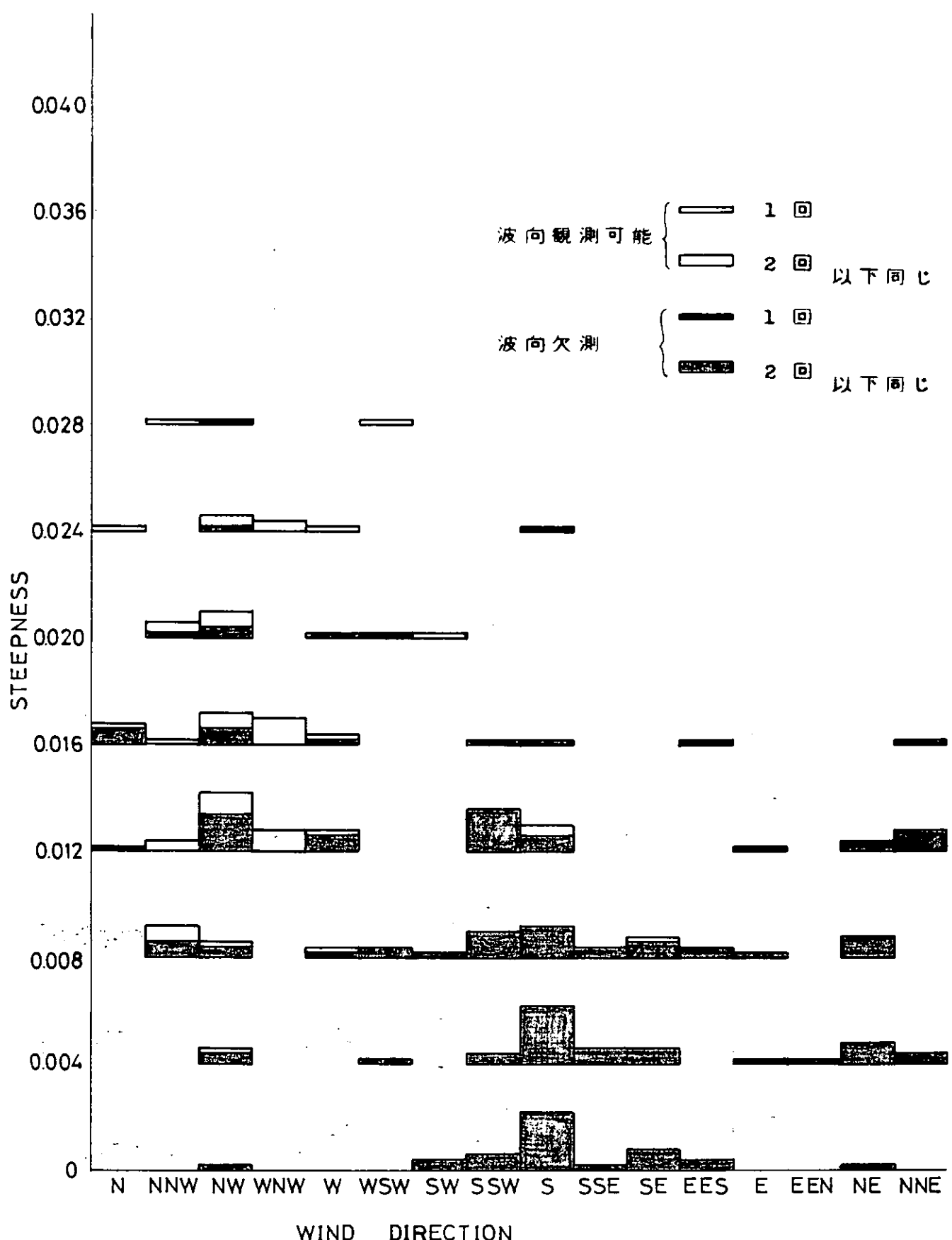


図 8.3.1.7

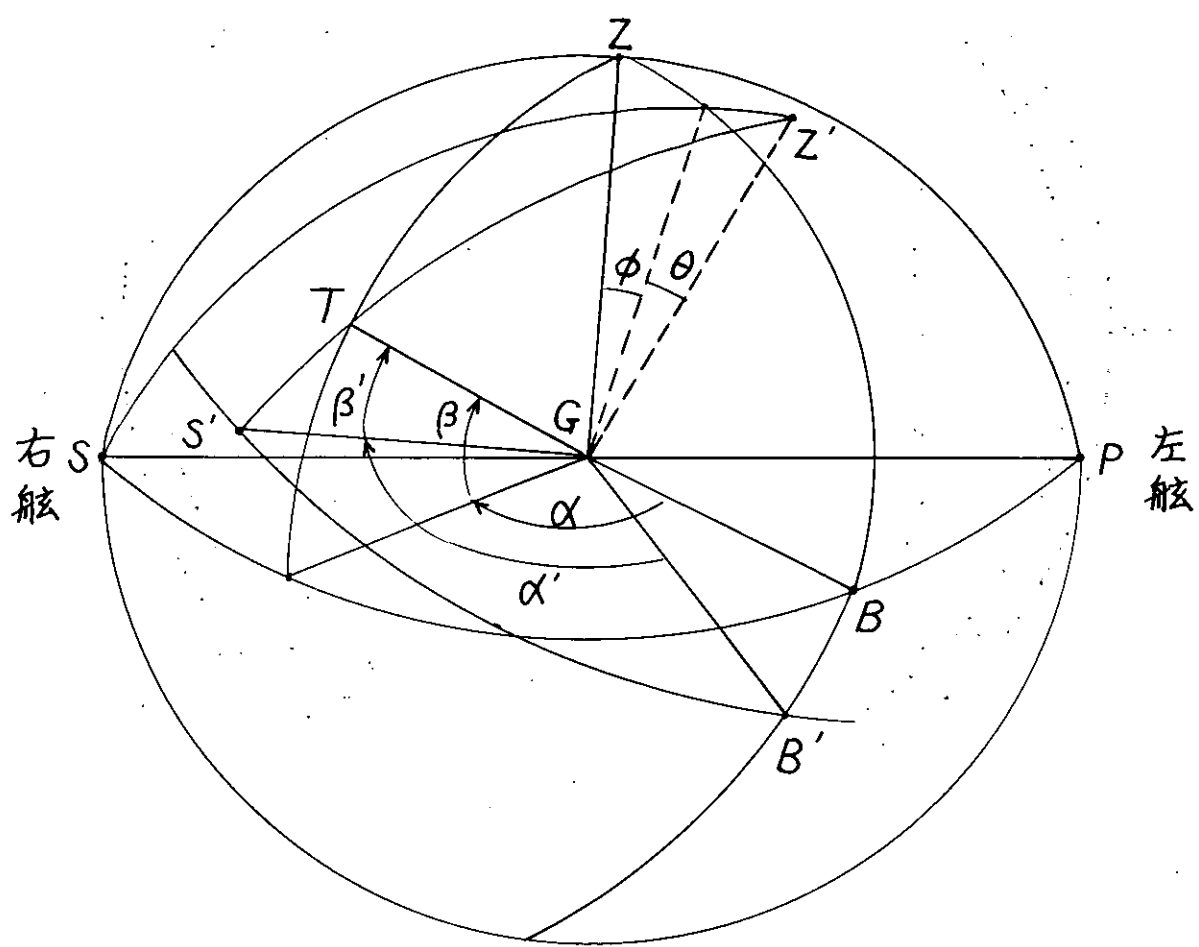


図 8.3.18 船の動搖中心を中心とする単位円

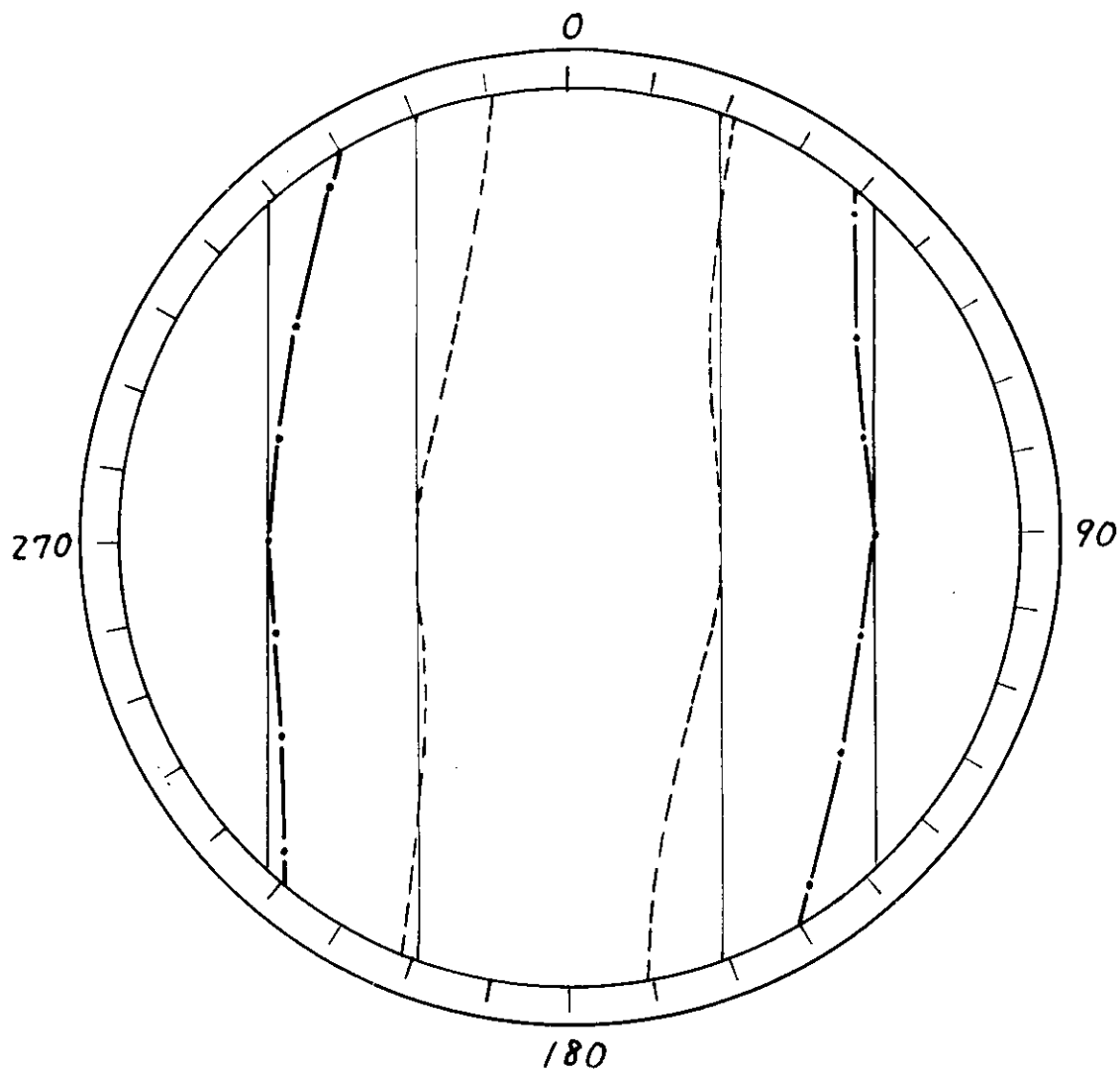


図 8.3.19. PPI-Scope の歪形

実像 ————— 真像

点線・破線 ————— 歪像

$$(\theta = 40^\circ, \phi = 10^\circ, \psi = 0)$$

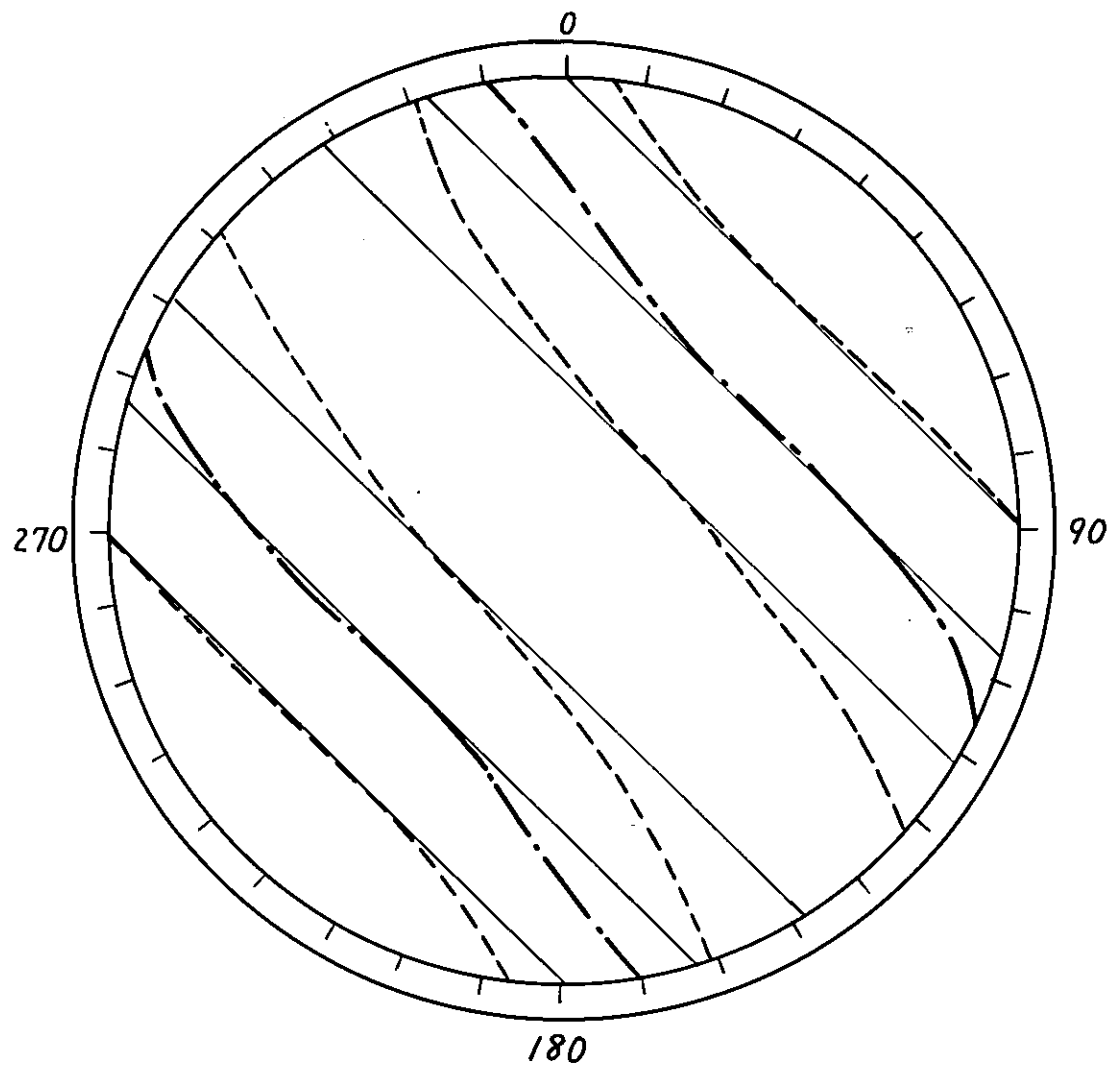


図 8.3.20. PPI-Scope の歪図形

実線 —— 真像

点線・破線 —— 歪像

$(\theta = 40^\circ, \phi = 10^\circ, \psi = 0)$

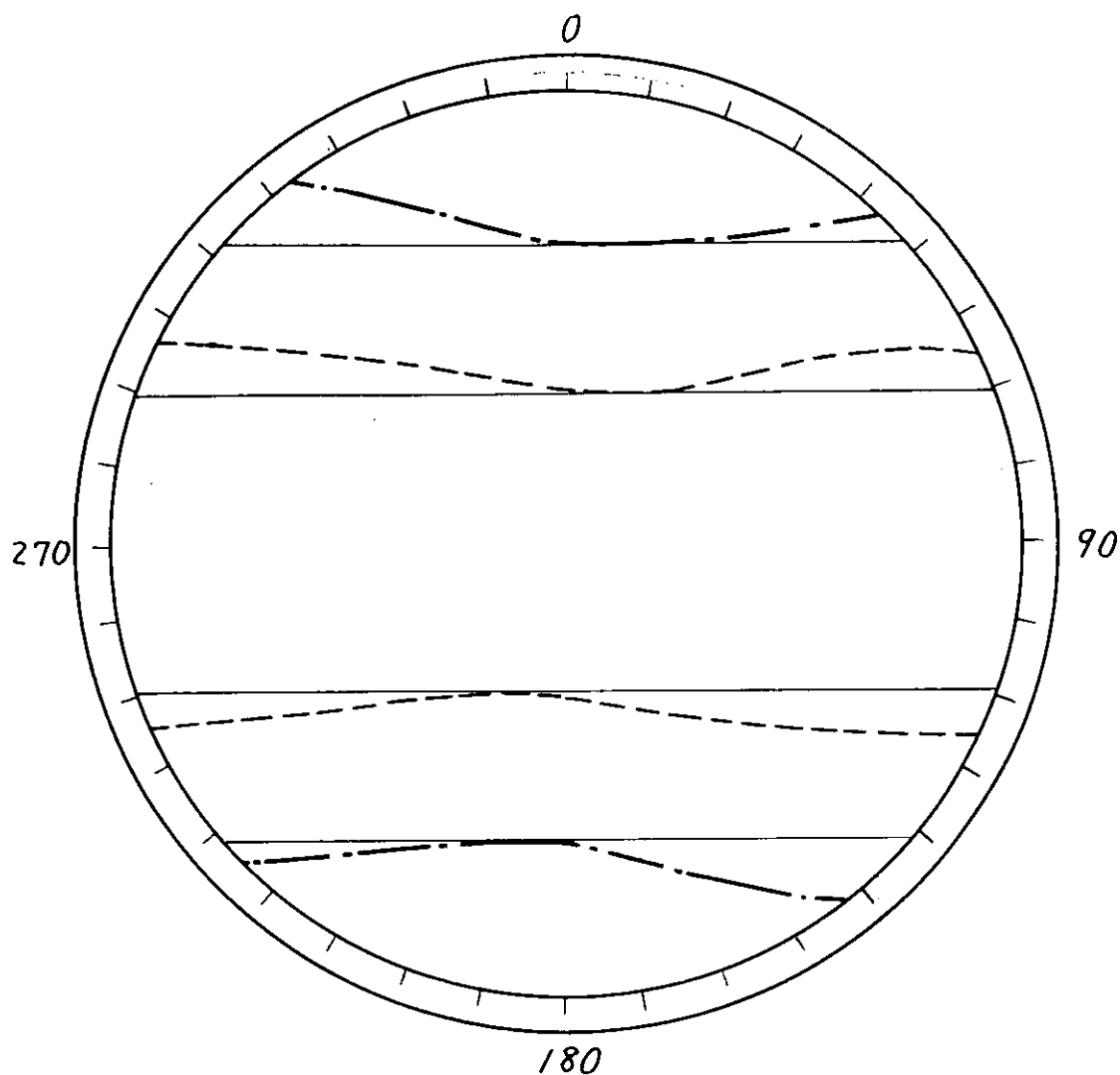


図 8.3.21 PPI-Scope の歪圖形

実線 —— 真像

点線・破線 — 歪像

$$(\theta = 40^\circ, \phi = 10^\circ, \psi = 0)$$

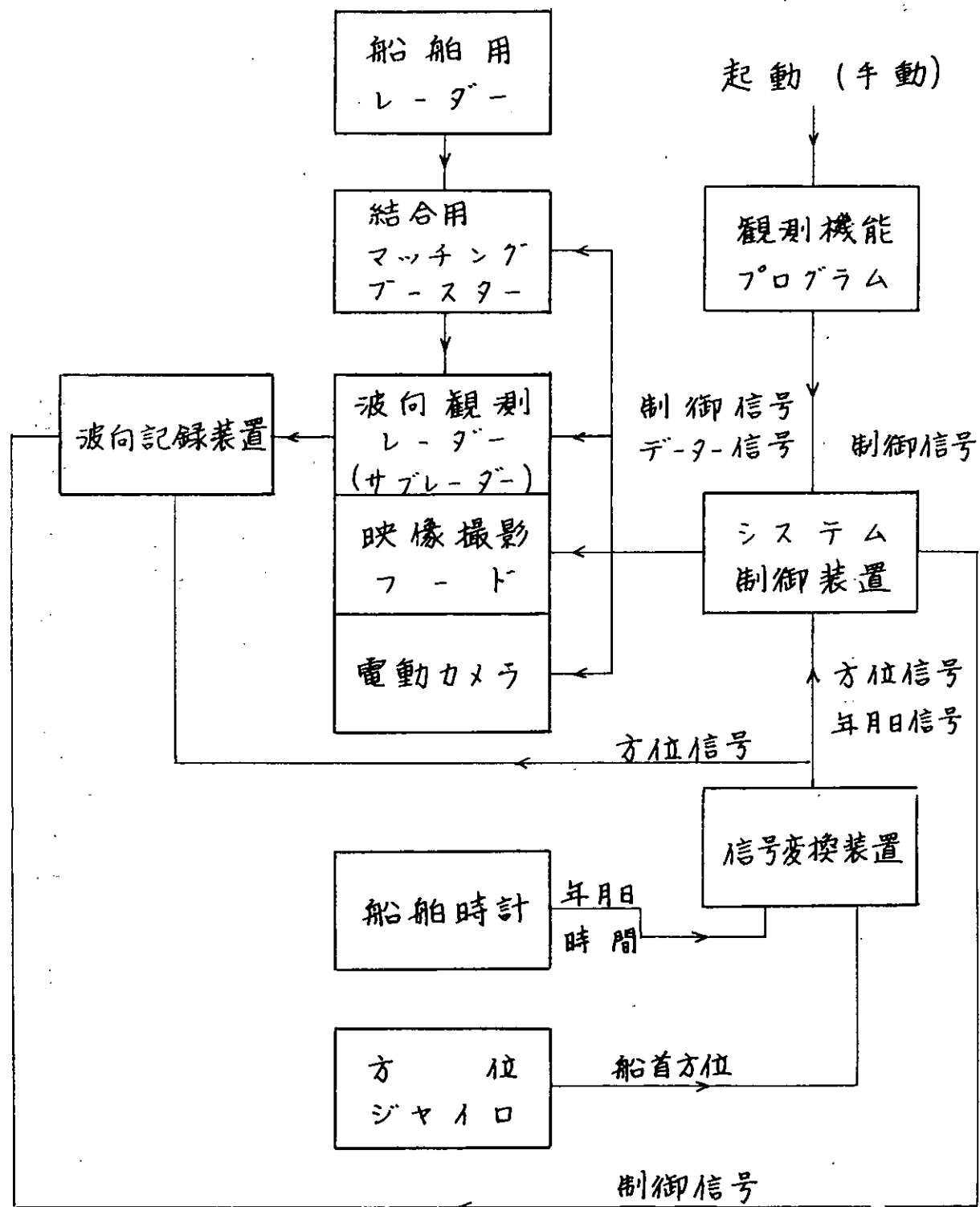


図 8.4.1 波向観測レーダーシステム ブロック図

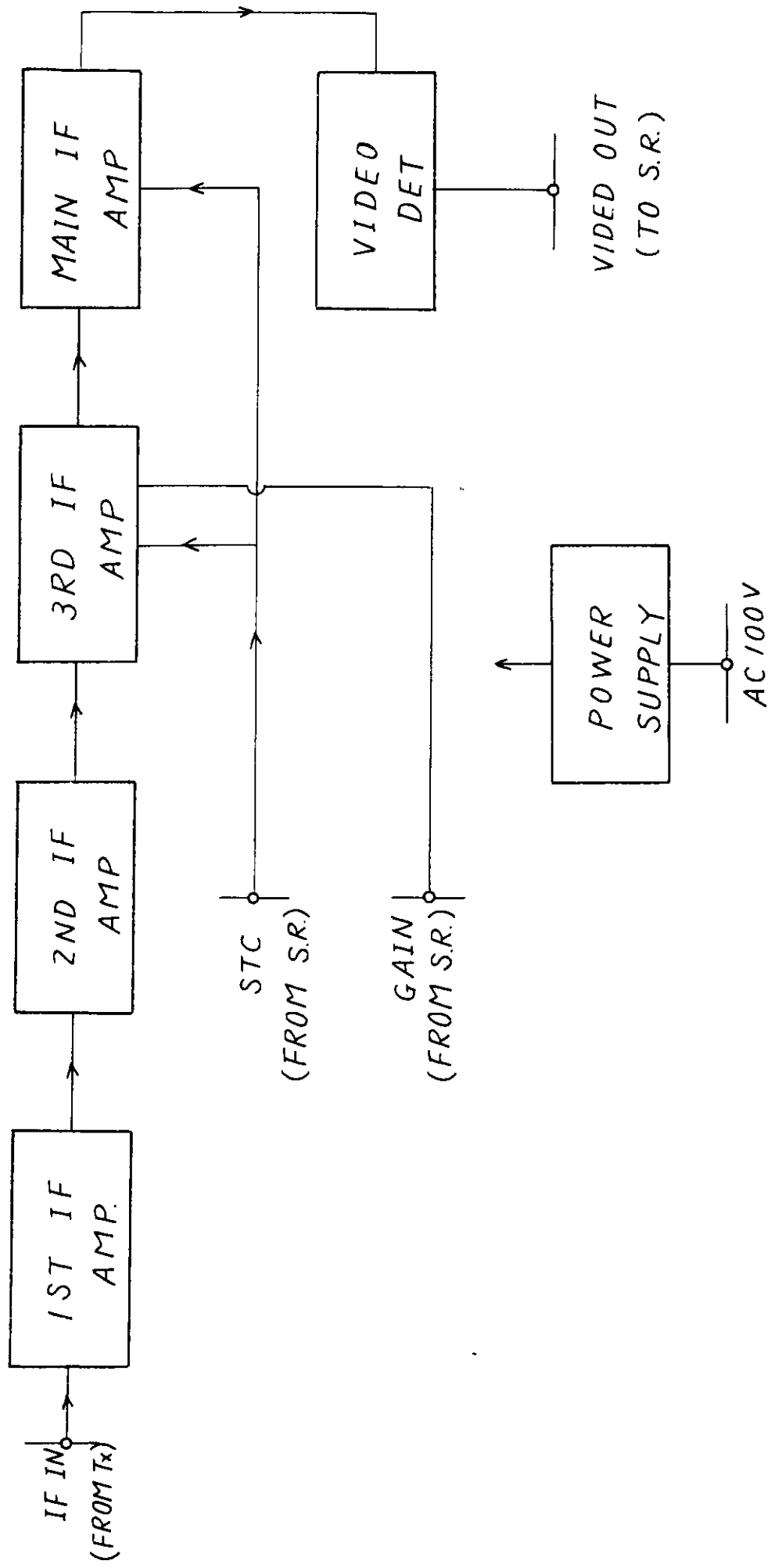


圖 8.4.2.  $\gamma$ - $\lambda$ γ - 系統圖

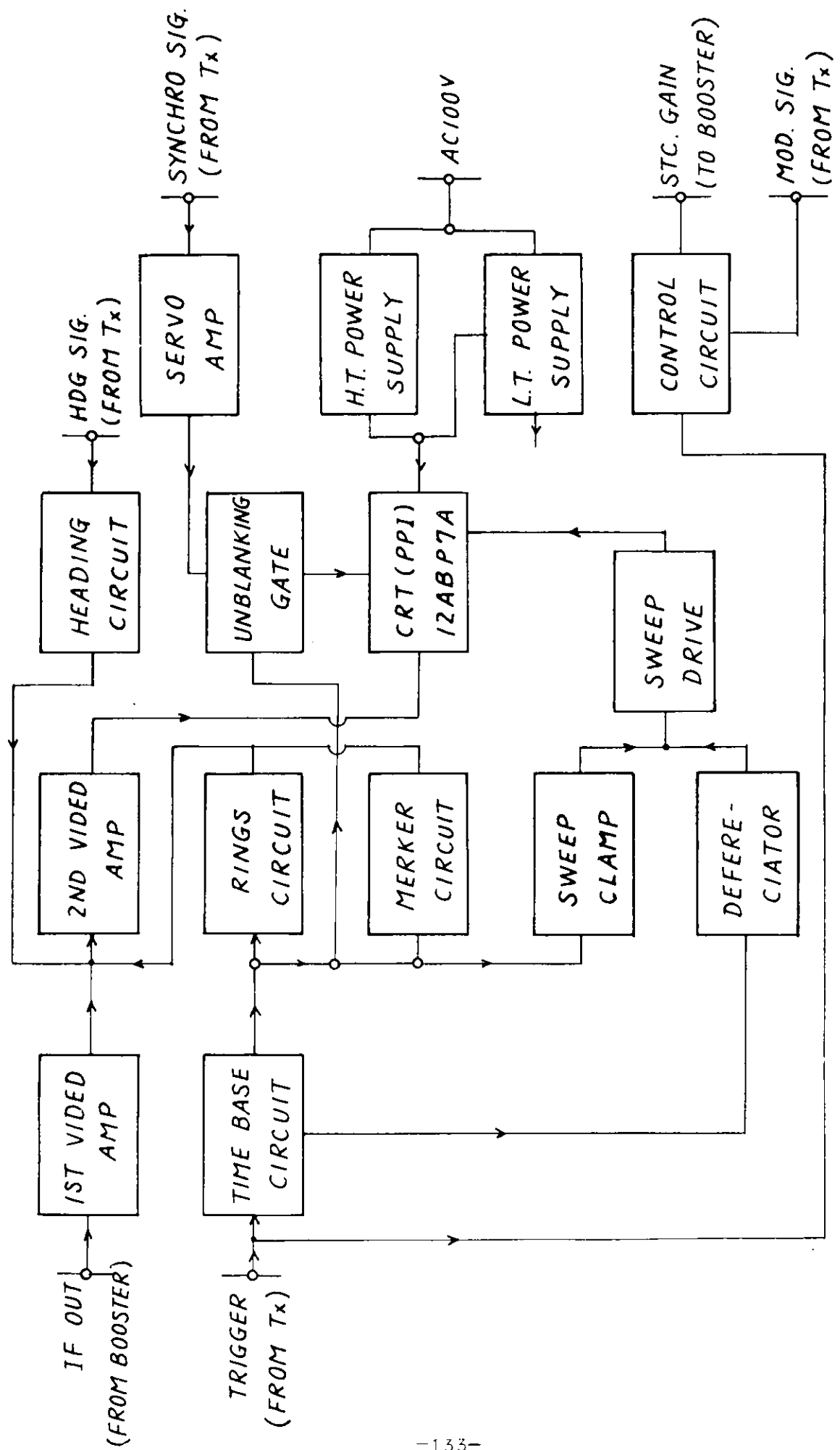
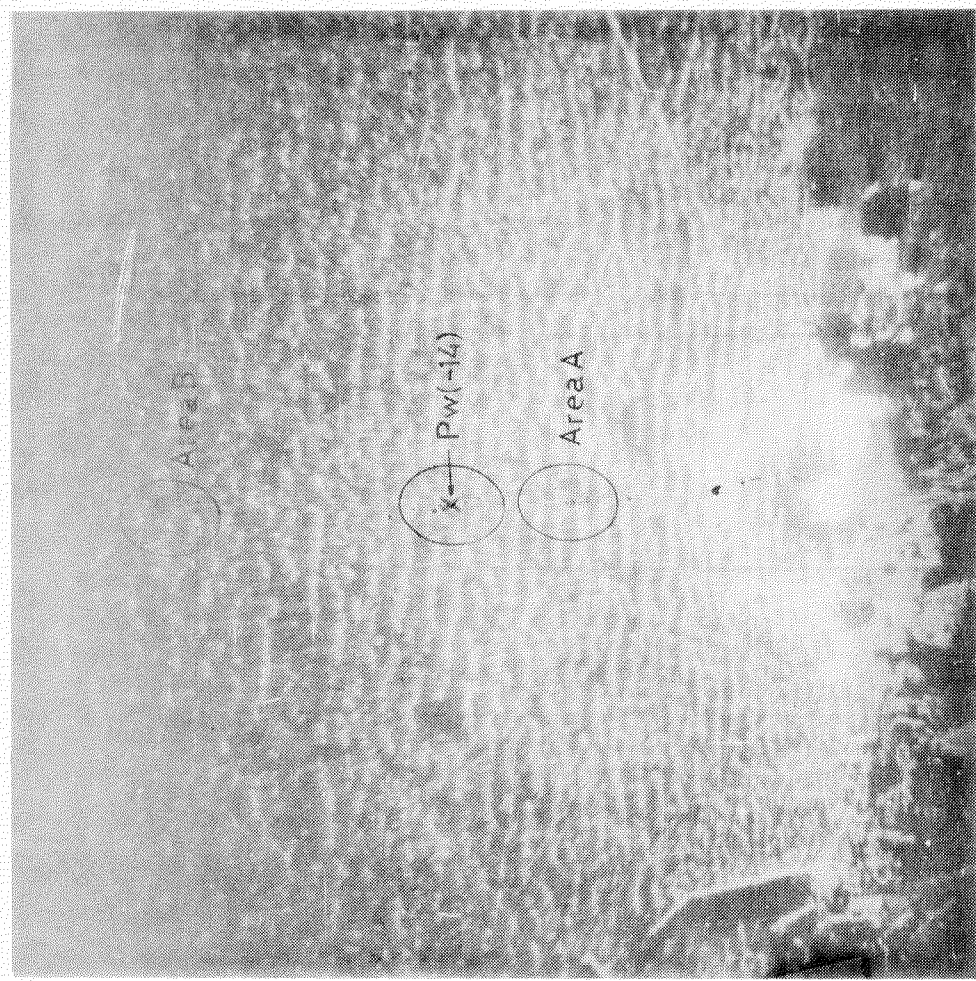
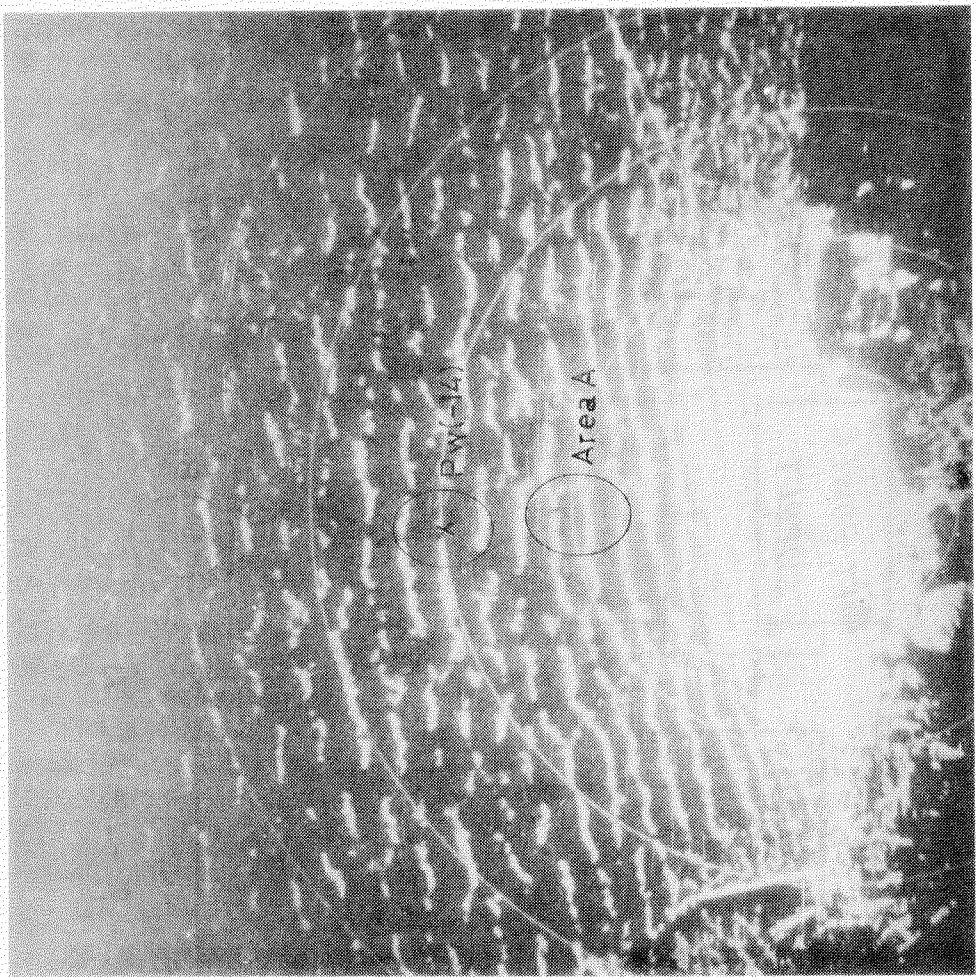


图 8.4.3 #TL-7" - 系统图



昭和45年1月22日 時  
Pw (-14)  
風向 WNW 三波向 62° 三波長 75m  
風速 13.0 m/sec 平均波高 2.49m 周期 7.6 sec

昭和45年3月17日 6時 Pw (-14)  
風向 WNW 三波向 74° 三波長 115m  
風速 16.3 m/sec 平均波高 5.75m 周期 10.7 sec  
写真 8.5.1. P.P.I. 日央像写真（三西田三巷）

## 9. 進徳丸による実船実験

今年度研究のヒリオヒメヒレ、航海訓練所進徳丸による実船実験を以下のごとく計画し、実施した。

### 9.1 実験の目的

当委員会で検討して来た、各種波浪計等機器の性能試験を行ひ、波浪計等各種機器の性能の確認および比較を行うとともに、その改良点を見出し、来年度に予定されている総合実船実験に備えるものとする。

### 9.2 実験の内容

#### 9.2.1. 平塚沖テスト

国立防災科学技術センター平塚支所の波浪観測塔の波浪計を原器として参加各種波浪計の比較実験を、主たる内容とする。

#### 9.2.2. 博多沖テスト

現す2型各種波浪計の比較実験を主として行なう。この場合、クロベリーフ型が比較の原器となる。

#### 9.2.3. 洋上での波浪計の投棄テスト

現す2型各種波浪計を実験船より投棄し、計器の作動、電波の到達等実用化試験を行なう。この場合、波浪計は回収しない。

#### 9.2.4. レーダー波高計の調査

47年度製作機器による波峯線のPPI映像の撮影およびAスコープによる反射電波の計測を隨時実施する。

#### 9.2.5. 超音波波高計による調査

船体中央部玄側における相対水位の計測を隨時実施する。

### 9.3 参加機器

#### 9.3.1. 波浪計

##### (1) 水圧式波浪計(現す2型)

東京大学(入保田気象測器) 5台

大阪府立大学(神戸電波) 4台

##### (2) 加速度式波浪計

東京大学(旭電機) 4台

以上は無線テレメータ方式。

### (3) 2 口 - V 型波浪計

九州大学 (旭電機) 1 台

これは有線テレメータ方式

### 9.3.2. レーダー波向計関係

川重、神尚文、大府大 (神戸電波) 撮影装置 1 式

### 9.3.3. 相対水位計およびその他 (船研)

超音波波浪計等 1 式

### 9.4 参加人員 (20名)

大阪府立大学田口賢士教授を実験責任者とし、東京大学前田又明助教授を実験計画立案、連絡係として、以下の人員が参加した。

東京大学	4
九州大学	4
神戸商船大学	2
大阪府立大学	2
船舶技術研究所	3 (うち 1 名は平塚で陸上計測にあたり。)
機器製作関係者	5

### 9.5 実験実施日程

48-2-7 日立造船築港工場にて進徳丸に機器の一部積込み (九大、大府大)

48-2-13 干葉港にて機器の積込み (東大、船研)

実験担当者打合せ (本船にて)

48-2-14 全員乗船完了 干葉港出港 (11:00)

実験担当者と進徳丸との打合せ

金田沖仮泊

48-2-15 平塚沖 9:00 より実験開始

潮岬、上佐沖の間で隨時実験を実施しつつ

48-2-17 ~ 六連島沖、仮泊

48-2-18 実験

48-2-19 午前中実験

午後博多入港、実験終了

48-3-4~7 神戸港にて一部機器の揚陸

48-3下旬 東京港にて残部機器の揚陸

### 9.6 結果

現在結果のとりまとめ中である。